

PROYECTO ARQUEOLÓGICO DE LA REGIÓN DE CHACULÁ

REPORTE DE LAS ACTIVIDADES DE CAMPO DE LA TEMPORADA 2015

Ulrich Wölfel

Byron Hernández

Editores

Informe Presentado al Instituto de Antropología e Historia de Guatemala

Nueva Guatemala de la Asunción, Febrero de 2016

AGRADECIMIENTOS

La ejecución de la temporada de campo 2015 del Proyecto Arqueológico de la Región de Chaculá (PARCHA), fue posible gracias al apoyo incondicional de varias instituciones y personas que respaldaron las investigaciones y cada uno de los procesos.

En primer lugar, se agradece a la Dirección General del Patrimonio Cultural y Natural, a su director Arquitecto Mario René Argueta Estrada, quien brindó el permiso legal para la realización de los trabajos. Al Departamento de Monumentos Prehispánicos y Coloniales por su valiosa colaboración en los trámites administrativos y de supervisión de campo, muy especialmente a la Maestra Ana Lucía Arroyave, Jefa del Departamento, la Licenciada Mónica Pellecer, sub jefa y la Licenciada Carmen Ramos supervisora del proyecto y quien ha brindado todo su apoyo en la ejecución del mismo.

A cada una de las personas de las comunidades Nueva Esperanza Chaculá y Espino Malpaso, en especial a la Junta Directiva de la Cooperativa Los Pinos R.L. por su colaboración e interés para el desarrollo del proyecto y a todos los trabajadores que participaron en esta temporada por su dedicación a cada una de las actividades realizadas como parte de trabajo de campo y quienes hicieron una inestimable contribución al éxito del proyecto.

Es preciso mencionar a Don Adalberto Villatoro, dueño de la Finca Tunalito El Espino, por otorgar el permiso de trabajar en la parte de Pueblo Viejo Quen Santo que se encuentra en su terreno, su generosidad de ofrecer su casa para hospedaje para los miembros del proyecto durante la temporada de campo en el sitio mencionado y su interés en el desarrollo del proyecto, así como Aldo Villatoro por su apoyo continuo durante los trabajos de campo.

Asimismo agradecemos a nuestros guías locales durante el reconocimiento en Espino Malpaso, Guaxacaná y La Trinidad. También a las alfareras que nos han mostrado parte de la práctica ancestral en el proceso de manufactura y producción cerámica en San Mateo Ixtatán, Yolcultac y Yalambojoch.

Un especial reconocimiento a la Fundación Alemana de América Antigua (Deutsche Altamerikastiftung) por su confianza en esta investigación, apoyando académica y financieramente la realización de la misma. Agradecemos mucho al Departamento de Antropología de las Américas de la Universidad de Bonn, especialmente al Dr. Kai Delvendahl, por prestarnos una estación total sin la cual las labores de mapeo no hubieran sido posibles. Por sus valiosos consejos y asesoramiento en la preparación del proyecto se agradece al Dr. Nikolai Grube y jun. Prof. Dr. Frauke Sachse, ambos de la Universidad de Bonn y a la Dra. Iken Paap del Instituto Iberoamericano, Berlin. También se agradece muchos al matemático Christian Wieschebrink por su apoyo y consejos en cuestiones técnicas.

Durante el análisis de los materiales, se contó con las visitas de arqueólogos del proyecto arqueológico Cancuén e investigadores del proyecto arqueológico Salinas de los Nueve Cerros, a quienes se agradece por su colaboración y comentarios. En especial se agradece a la Dra. Marion Popenoe de Hatch por su interés y aportes a esta investigación. Finalmente, se agradece a la licenciada Paola Torres de la Universidad de San Carlos por su interés y aportes en el análisis de materiales cerámicos y su respaldo en la preparación de la temporada, y al M.A. Victor Castillo de la Universidad de Arizona, Tucson, por continuo interés y apoyo a nuestro proyecto.

Índice general

1	Introducción <i>Ulrich Wölfel y Byron Hernández</i>	1
2	Reconocimiento arqueológico en la Región de Chaculá <i>Ulrich Wölfel</i>	8
3	Mapeo del sitio arqueológico Chaculá <i>Ulrich Wölfel</i>	33
4	Excavaciones de pozos de sondeo en los Grupos A, C, D y E del sitio arqueológico Chaculá <i>Byron Hernández, Manuel Guzmán, Dora García, Alejandro Garay</i>	48
5	Mapeo del sitio arqueológico Pueblo Viejo Quen Santo <i>Ulrich Wölfel</i>	106
6	Monumentos en el sitio arqueológico Pueblo Viejo Quen Santo <i>Ulrich Wölfel</i>	129
7	Excavaciones de pozos de sondeo en los Grupo A y B del sitio arqueológico Pueblo Viejo Quen Santo <i>Ulrich Wölfel y Alejandro Garay</i>	137
8	Análisis de cerámica <i>Dora García</i>	167
9	Análisis de materiales líticos <i>Edgar Carpio</i>	313
10	Análisis de huesos <i>Byron Hernández</i>	328
11	Análisis malacológico <i>Byron Hernández y Julio Cotóm</i>	334
12	Conclusiones <i>Ulrich Wölfel y Byron Hernández</i>	342
13	Bibliografía	345

Índice de figuras

Figura 1.1	Mapa de Guatemala indicando la Región de Chaculá	2
Figura 1.2	Mapa de la Región de Chaculá con sitios arqueológicos	7
Figura 2.1	Yal Ib'ach	18
Figura 2.2	Yal Ib'ach, pinturas rupestres encontradas en 2015 y petrograbado posiblemente moderno	19
Figura 2.3	Pueblo Viejo Quen Santo, pinturas rupestres	19
Figura 2.4	Pueblo Viejo Quen Santo, pinturas rupestres	20
Figura 2.5	Pueblo Viejo Quen Santo, pinturas rupestres	21
Figura 2.6	Pueblo Viejo Quen Santo, petrograbados en espeleotemas	21
Figura 2.7	Pueblo Viejo Quen Santo, pinturas rupestres	22
Figura 2.8	Pueblo Viejo Quen Santo IV, muro de un edificio	22
Figura 2.9	Quen Santo Cueva 9, plataforma	23
Figura 2.10	Cerro Piedra Redonda, croquis	23
Figura 2.11	Cerro Piedra Redonda, vista desde abajo de la escalinata	24
Figura 2.12	Cerro Piedra Redonda, vista desde arriba de la escalinata	24
Figura 2.13	Yal Oquil, croquis del grupo principal	25
Figura 2.14	Yal Oquil, posible piedra parada en el grupo principal	25
Figura 2.15	Yal Oquil, estructura al norte del grupo principal	26
Figura 2.16	La Planada, alineamientos de piedras	26
Figura 2.17	Kurus Cipres, croquis	27

Figura 2.18	Kurus Cipres, estructura prehispánica y cruz marcando el mojón	27
Figura 2.19	Las Aguadas, aguada grande y fragmentos de barro quemado y cerámica	28
Figura 2.20	El Volcán	28
Figura 2.21	Cerro Ixb'ul / Monumento 28, croquis	29
Figura 2.22	Cerro Ixb'ul / Monumento 28, vista de terrazas	29
Figura 2.23	Cerro Ixb'ul / Monumento 28, subterráneo abierto	30
Figura 2.24	Cenotes de Candelaria, pinturas rupestres	30
Figura 2.25	El Encanto, grupo principal de pinturas rupestres	31
Figura 2.26	El Encanto y Yal Ib'ach: motivo de círculos concéntricos y cruciforme	31
Figura 2.27	El Encanto, plataforma de casa en un campo cerca de las pinturas	32
Figura 3.1	Chaculá, Estructuras C-18 y C-19 con posible altar C-36 enfrente	38
Figura 3.2	Chaculá, Estructura C-21	38
Figura 3.3	Chaculá, Estructura C-35	39
Figura 3.4	Chaculá, Estructura E-16	39
Figura 3.5	Chaculá, Estructura E-17	40
Figura 3.6	Chaculá, Estructura E-22	40
Figura 3.7	Chaculá, Estructura E-32, con muro exento	41
Figura 3.8	Chaculá, Estructura E-37, subterráneo abierto	41
Figura 3.9	Chaculá, Estructura E-35	42
Figura 3.10	Chaculá, Estructura E-36	43
Figura 3.11	Chaculá, Estructura E-41	43
Figura 3.12	Chaculá, escalinatas con alfardas, Grupos C y E	44
Figura 3.13	Mapa del sitio arqueológico Chaculá	45

Figura 3.14	Mapa de Chaculá Grupo C	46
Figura 3.15	Mapa de Chaculá Grupo E	47
Figura 4.1	Mapa con pozos de sondeo, Chaculá, Grupo A	81
Figura 4.2	Mapa con pozos de sondeo, Chaculá, Grupo C	82
Figura 4.3	Mapa con pozos de sondeo, Chaculá, Grupo D	83
Figura 4.4	Mapa con pozos de sondeo, Chaculá, Grupo E	84
Figura 4.5	Planta final de unidad TP-A-16	85
Figura 4.6	Perfiles de unidad TP-A-16	85
Figura 4.7	Perfiles de unidad TP-A-17	85
Figura 4.8	Planta final de unidad TP-C-1	86
Figura 4.9	Planta nivel 5 de unidad TP-C-1 Ext. B	86
Figura 4.10	Planta final de unidad TP-C-1 Ext. B	87
Figura 4.11	Planta final de unidad TP-C-1 con Ext. A	87
Figura 4.12	Perfiles sur, oeste y norte de unidad TP-C-1	88
Figura 4.13	Perfiles de unidad TP-C-1	88
Figura 4.14	Planta final de unidad TP-C-2	89
Figura 4.15	Perfiles de unidad TP-C-2	89
Figura 4.16	Planta final de unidad TP-C-3	90
Figura 4.17	Perfiles suroeste y noroeste de unidad TP-C-3	90
Figura 4.18	Perfiles noreste y noreste de unidad TP-C-3	91
Figura 4.19	Planta final de unidad TP-C-4	91
Figura 4.20	Perfiles de unidad TP-C-4	91
Figura 4.21	Planta final de unidad TP-C-5	92
Figura 4.22	Perfil sur de unidad TP-C-5	92
Figura 4.23	Perfil oeste de unidad TP-C-5	92

Figura 4.24	Corte E–O de Estructura C-13	93
Figura 4.25	Planta final de unidad TP-C-6	93
Figura 4.26	Perfiles este, sur y oeste de unidad TP-C-6	94
Figura 4.27	Corte este–oeste de unidad TP-C-6	94
Figura 4.28	Planta final de unidad TP-C-7	94
Figura 4.29	Perfiles sureste, suroeste y noroeste de unidad TP-C-7	94
Figura 4.30	Planta final de unidad TP-C-8	95
Figura 4.31	Perfil oeste de unidad TP-C-8	95
Figura 4.32	Perfil norte de unidad TP-C-8	95
Figura 4.33	Planta final de unidad TP-C-9	96
Figura 4.34	Perfil este de unidad TP-C-9	96
Figura 4.35	Perfil norte de unidad TP-C-9	97
Figura 4.36	Perfiles de unidad TP-C-10	97
Figura 4.37	Planta final de unidad TP-C-11	97
Figura 4.38	Perfil oeste de unidad TP-C-11	98
Figura 4.39	Perfil sur de unidad TP-C-11	98
Figura 4.40	Planta final de unidad TP-D-1	98
Figura 4.41	Perfiles de unidad TP-D-1	98
Figura 4.42	Planta final de unidad TP-D-2	99
Figura 4.43	Perfil norte de unidad TP-D-2	99
Figura 4.44	Perfil este de unidad TP-D-2	100
Figura 4.45	Perfiles de unidad TP-D-3	100
Figura 4.46	Planta final de unidad TP-D-4	100
Figura 4.47	Perfiles de unidad TP-D-4	101
Figura 4.48	Planta final de unidad TP-E-1	101

Figura 4.49	Perfiles de unidad TP-E-1	101
Figura 4.50	Planta final de unidad TP-E-2	102
Figura 4.51	Perfiles de unidad TP-E-2	102
Figura 4.52	Planta final de unidad TP-E-3	102
Figura 4.53	Perfiles de unidad TP-E-3	103
Figura 4.54	Planta final de unidad TP-E-4	103
Figura 4.55	Perfil oeste de unidad TP-E-4	104
Figura 4.56	Perfil este de unidad TP-E-4	104
Figura 4.57	Planta general de unidad Saqueo-1	105
Figura 4.58	Perfil oeste unidad Saqueo-1	105
Figura 4.59	Perfil norte unidad Saqueo-1	105
Figura 5.1	Pueblo Viejo Quen Santo, "Estructura" A-35 / Monumento 9, la Piedra Mesa	115
Figura 5.2	Pueblo Viejo Quen Santo, Estructura A-42	115
Figura 5.3	Pueblo Viejo Quen Santo, Estructura A-43	116
Figura 5.4	Pueblo Viejo Quen Santo, Estructura A-39 con plataforma A-50 enfrente	116
Figura 5.5	Pueblo Viejo Quen Santo, pared preservada de Estructura B-16	117
Figura 5.6	Pueblo Viejo Quen Santo, Estructura B-32	117
Figura 5.7	Pueblo Viejo Quen Santo, Estructura B-37	118
Figura 5.8	Pueblo Viejo Quen Santo, Estructura B-38	118
Figura 5.9	Pueblo Viejo Quen Santo, Estructura B-21, edificio oeste del conjunto para el juego de pelota	119
Figura 5.10	Pueblo Viejo Quen Santo, Estructura B-55, edificio este del conjunto para el juego de pelota	119
Figura 5.11	Pueblo Viejo Quen Santo, Estructuras B-53, B-55, B-20 y B-19	120
Figura 5.12	Pueblo Viejo Quen Santo, pared preservada de Estructura B-53	120

Figura 5.13	Pueblo Viejo Quen Santo, alfarda y escalinata de la Estructura B-19	121
Figura 5.14	Pueblo Viejo Quen Santo, Estructuras B-49, B-27, B-50 y B-51	121
Figura 5.15	Mapa de Pueblo Viejo Quen Santo, Grupos A y B, tomado de Seler (1901: Fig. 119)	122
Figura 5.16	Mapa del sitio arqueológico Pueblo Viejo Quen Santo	123
Figura 5.17	Pueblo Viejo Quen Santo, Superficie en 2.5D del terreno mapeado	124
Figura 5.18	Pueblo Viejo Quen Santo, gráficas de la proyección de puntos en los perfiles de Seler	124
Figura 5.19	Pueblo Viejo Quen Santo, perfil norte de la trinchera de Seler en la Estructura B-23	125
Figura 5.20	Pueblo Viejo Quen Santo, perfil nor-este de la trinchera de Seler en la Estructura A-41	125
Figura 5.21	Pueblo Viejo Quen Santo, la trinchera de Seler en la Estructura B-23, lado oeste	126
Figura 5.22	Pueblo Viejo Quen Santo, la trinchera de Seler en la Estructura B-23, lado este, con partes del muro frontal visibles	126
Figura 5.23	Pueblo Viejo Quen Santo, fragmento de estuco modelado en la trinchera de Seler en la Estructura B-23	127
Figura 5.24	Pueblo Viejo Quen Santo, trinchera de Seler en la Estructura A-41, vista del lado noroeste	127
Figura 5.25	Pueblo Viejo Quen Santo, subterráneo de la trinchera de Seler en la Estructura A-41	128
Figura 5.26	Pueblo Viejo Quen Santo, tiestos de cerámica al noroeste de la trinchera de Seler en la Estructura A-41	128
Figura 7.1	Mapa con pozos de sondeo, Pueblo Viejo Quen Santo, Grupo A	156
Figura 7.2	Mapa con pozos de sondeo, Pueblo Viejo Quen Santo, Grupo B	157
Figura 7.3	Planta final de unidad TP-A-1	158
Figura 7.4	Planta nivel 1 de unidad TP-A-2	158

Figura 7.5	Planta final de unidad TP-A-2	158
Figura 7.6	Perfil norte de unidad TP-A-2	159
Figura 7.7	Planta final de unidad TP-A-3	159
Figura 7.8	Perfiles norte y este de unidad TP-A-3	159
Figura 7.9	Planta nivel 1 de unidad TP-A-4	160
Figura 7.10	Planta final de unidad TP-A-4	160
Figura 7.11	Perfiles norte y este de unidad TP-A-4	160
Figura 7.12	Planta final de unidad TP-A-5	161
Figura 7.13	Perfiles oeste y norte de unidad TP-A-5	161
Figura 7.14	Planta final de unidad TP-A-6	162
Figura 7.15	Perfil este de unidad TP-A-6	162
Figura 7.16	Planta final de unidad TP-B-1	163
Figura 7.17	Perfiles oeste, norte, este, sur de unidad TP-B-1	163
Figura 7.18	Planta final de unidad TP-B-2	163
Figura 7.19	Perfiles oeste y norte de unidad TP-B-2	164
Figura 7.20	Perfiles de unidad TP-B-3	164
Figura 7.21	Planta de unidad TP-B-3	164
Figura 7.22	Planta final de unidad TP-B-4	165
Figura 7.23	Perfiles oeste, norte y este de unidad TP-B-4	165
Figura 7.24	Planta final de unidad TP-B-5	165
Figura 7.25	Perfiles oeste y norte de unidad TP-B-5	166
Figura 8.1	Cronología de sitios de Chiapas y Guatemala (Modificado por García 2014, a partir de Ball, Bryant, Clark y Forné)	171
Figura 8.2	Ficha de registro para piezas completas y semi completas.	172
Figura 8.3	Ejemplares del tipo cerámico Pumus V. Pumus	174
Figura 8.4	Ejemplares del tipo cerámico Santa Cruz. V. Santa Cruz	175

Figura 8.5	Ejemplares del tipo cerámico Santa Cruz V. Santa Cruz Estriado	176
Figura 8.6	Ejemplares del tipo cerámico Cuatzi V. Cuatzi	176
Figura 8.7	Ejemplares del tipo Nutria V. Nutria	177
Figura 8.8	Ejemplares del tipo Chachalaca V. Chachalaca Rojo	179
Figura 8.9	Ejemplares tipo Chachalaca Rojo V. Impreso	180
Figura 8.10	Ejemplares del tipo Chachalaca V. Rojo/Negro	181
Figura 8.11	Ejemplares del tipo Tasajo V. Tasajo Rojo	182
Figura 8.12	Ejemplares del tipo Tasajo V. Tasajo Rojo	183
Figura 8.13	Ejemplares del tipo Chat Rojo V. Inciso	184
Figura 8.14	Ejemplares del tipo Tasajo V. Tasajo Rojo Estriado	184
Figura 8.15	Ejemplares del tipo Chanal V. Gubiado	185
Figura 8.16	Ejemplares del tipo Tang/Nichel V. policromo	186
Figura 8.17	Ejemplares del tipo Musaraña V. Rojo/Naranja	186
Figura 8.18	Ejemplares del tipo Danta V. Café	187
Figura 8.19	Ejemplares del tipo Yol	188
Figura 8.20	Ejemplares del tipo Patal V. Patal Blanco	188
Figura 8.21	Ejemplares del Tipo Las Rosas V. Blanco	189
Figura 8.23	Ejemplares del tipo Tartaleta V. Compuesto	191
Figura 8.24	Ejemplares del tipo Huelga Rojo/Negro	192
Figura 8.26	Tabla de conteo final de los tipos ya identificados (García y Torres 2015), totales por grupo	193
Figura 8.27	Ejemplares tipo Lagarto V. sin Engobe	194
Figura 8.28	Ejemplares del tipo Lagarto V. Estriado	195
Figura 8.29	Ejemplares del tipo Chachalaca Rojo V. Estriado	195
Figura 8.30	Ejemplares del tipo Chachalaca Rojo V. modelado	196
Figura 8.31	Ejemplar del tipo Chachalaca Rojo/Negro V. Impreso	196

Figura 8.32	Ejemplares del tipo Tasajo Rojo V. Impreso	197
Figura 8.33	Ejemplares del tipo Tasajo Rojo V. Inciso	198
Figura 8.34	Ejemplares del tipo Tasajo Rojo V. Modelado	199
Figura 8.35	Ejemplares del tipo Tasajo Rojo V. Acanalado	199
Figura 8.36	Ejemplares del tipo Tasajo Rojo V. Aplicado	200
Figura 8.37	Ejemplares del tipo Chat Rojo	201
Figura 8.38	Ejemplares del tipo Sasben Café Negro	201
Figura 8.39	Ejemplares del tipo Sasben Café Negro V. Impreso	202
Figura 8.40	Ejemplares del tipo Sasben Café Negro V. Acanalado	203
Figura 8.41	Ejemplares del tipo Sasben Café Negro V. Inciso	203
Figura 8.42	Ejemplar del tipo Sasben Café Negro V. Modelado	204
Figura 8.43	Ejemplar del tipo Patal Blanco V. Estriado	204
Figura 8.44	Ejemplares del tipo Sat Modelado	205
Figura 8.45	Ejemplares del tipo Senso Compuesto	206
Figura 8.46	Ejemplares del tipo Nichel Rojo	207
Figura 8.47	Ejemplares del tipo Yerba Buena	208
Figura 8.48	Ejemplares del tipo Bon polícromo	209
Figura 8.49	Ejemplar del tipo Bon polícromo V. inciso	209
Figura 8.50	Ejemplares del tipo Altar	210
Figura 8.51	Ejemplares del tipo Cox Inciso Naranja	211
Figura 8.53	Ejemplar de Balancan Anaranjado	212
Figura 8.54	Ejemplar del tipo Kavas Rojo/Anaranjado sobre blanco	213
Figura 8.55	Ejemplar del tipo Sha Rojo	213
Figura 8.56	Ejemplar de cerámica café, San Fernando	214
Figura 8.57	Ejemplares del tipo Chachalaca Rojo V. Tanilná	215

Figura 8.58	Tabla de conteo final de nuevos tipos y variedades identificados, totales por grupo	216
Figura 8.59	Gráfica de frecuencias de tipos por grupo	217
Figura 8.60	Ejemplares del tipo Máquina Café	218
Figura 8.61	Ejemplares del tipo Máquina Modelado	219
Figura 8.62	Ejemplares del tipo Infierno Negro	219
Figura 8.63	Ejemplares del tipo Chaquiste Impreso	220
Figura 8.64	Tabla de conteo final de tipos y variedades identificados, totales por grupo	220
Figura 8.65	Ejemplares del tipo Mostaza Rojo sobre Natural	222
Figura 8.66	Ejemplares del tipo Plomizo	223
Figura 8.67	Tabla de conteo final de tipos y variedades identificados, totales por grupo	223
Figura 8.68	Tabla de conteo final de tipos no identificados por grupo	224
Figura 8.69	Tabla de conteo final por grupo y región	232
Figura 8.70	Gráfica de frecuencias de tipos por región en cada grupo	233
Figura 8.71	Ejemplar del tipo Chichón Rojo	234
Figura 8.72	Ejemplares del tipo Lapak Rojo Café sin Engobe	234
Figura 8.73	Tabla de conteo final por grupo y tipo	235
Figura 8.74	Ejemplares del tipo Chachalaca Rojo	236
Figura 8.75	Ejemplares del tipo Chachalaca Rojo	237
Figura 8.76	Ejemplares del tipo Chachalaca Rojo Estriado	238
Figura 8.77	Ejemplares del tipo Chachalaca Rojo Impreso	239
Figura 8.78	Ejemplares del tipo Chachalaca Rojo/Negro	240
Figura 8.79	Ejemplares del tipo Chachalaca Rojo Impreso Estriado	240
Figura 8.80	Ejemplares del tipo Tasajo Rojo	241
Figura 8.81	Ejemplares del tipo Tasajo Rojo Estriado	242

Figura 8.82	Ejemplar del tipo Tasajo Rojo Inciso	242
Figura 8.83	Ejemplares del tipo Tasajo Rojo Acanalado	243
Figura 8.84	Ejemplares del tipo Lagarto sin Engobe	244
Figura 8.85	Ejemplares del tipo Lagarto Estriado	245
Figura 8.86	Ejemplares del tipo Lagarto Estriado-Aplicado	245
Figura 8.87	Ejemplares del tipo Santa Cruz	246
Figura 8.88	Ejemplares del tipo Santa Cruz Estriado	247
Figura 8.89	Ejemplar del tipo Santa Cruz Impreso	247
Figura 8.90	Ejemplar del tipo Cuatzi	248
Figura 8.91	Ejemplar del tipo Pumus estucado	249
Figura 8.92	Ejemplar del tipo Chat Rojo	249
Figura 8.93	Ejemplar del tipo Sha Rojo	250
Figura 8.94	Ejemplares del tipo Canta Café	250
Figura 8.95	Ejemplares del tipo Nichel Rojo	251
Figura 8.96	Ejemplar del tipo Las Rosas Blanco	252
Figura 8.97	Ejemplar del tipo Tang/Nichel	252
Figura 8.98	Ejemplares del tipo Musaraña	253
Figura 8.99	Ejemplares del tipo Huelga Rojo/Negro	253
Figura 8.100	Ejemplar del tipo Yerba Buena	254
Figura 8.101	Ejemplares del tipo Sasben Café Negro	255
Figura 8.102	Ejemplares del tipo Sasben Café Negro Acanalado	256
Figura 8.103	Ejemplares del tipo Chascal Naranja Impreso	257
Figura 8.104	Ejemplares del tipo Cox Naranja Inciso	258
Figura 8.105	Ejemplar del tipo Guatero	258
Figura 8.106	Ejemplares del tipo Bon Polícromo	259

Figura 8.107	Ejemplar del tipo Bon Polícromo Acanalado	260
Figura 8.108	Ejemplares del tipo Altar Naranja	260
Figura 8.109	Ejemplares del tipo Tekor Naranja	261
Figura 8.110	Ejemplares del tipo Nutria	262
Figura 8.111	Ejemplares del tipo Senso Compuesto	262
Figura 8.112	Ejemplares del tipo Tartaleta Compuesto	263
Figura 8.113	Cuadro de conteo de material por tipo y grupo	264
Figura 8.114	Gráfica de frecuencia de tipos por tipo y grupo	265
Figura 8.115	Ejemplares del tipo Infierno Negro	266
Figura 8.116	Ejemplares del tipo Máquina Café	267
Figura 8.117	Tabla de frecuencia de tipos por grupo	267
Figura 8.118	Ejemplares del tipo Rojo Mate	268
Figura 8.119	Tabla de frecuencia de tipo por grupo	268
Figura 8.120	Tabla de frecuencia de tipos indeterminados	269
Figura 8.121	Tabla de conteo de material por grupo y región, para el período Clásico Tardío	269
Figura 8.122	Gráfica de frecuencias por región durante el período Clásico Tardío en Pueblo Viejo Quen Santo	270
Figura 8.123	Ejemplares del tipo Chachalaca Rojo Posclásico	271
Figura 8.124	Ejemplares de cerámica posclásica	271
Figura 8.125	Ejemplares del tipo Plomizo Tohil	272
Figura 8.126	Tabla de conteo de material por tipo y grupo para el Posclásico	272
Figura 8.127	Tabla de conteo de cerámica por período cronológico	272
Figura 8.128	Gráfica de frecuencia por período	273
Figura 8.129	Mapa indicando la ubicación de la grieta en Quen Santo	297
Figura 8.130	Cerámica de Río Lagartero	308

Figura 8.131	Cerámica de Pueblo Viejo Quen Santo	309
Figura 8.132	Cerámica de Yal Ib'ach	309
Figura 8.133	Elaboración de cerámica en San Mateo Ixtatán	310
Figura 8.134	Elaboración de cerámica en Yalambojoch	311
Figura 8.135	Elaboración de cerámica en Yolcultac	311
Figura 9.1	Cantidades de materiales líticos en Chaculá y Pueblo Viejo Quen Santo	322
Figura 9.2	Procedencias de materiales de obsidiana en Chaculá y Pueblo Viejo Quen Santo	322
Figura 9.3	Chaculá, Segmento medial de navaja prismática de la fuente de El Chayal con huellas de uso	323
Figura 9.4	Chaculá, Lote de artefactos de obsidiana fuentes El Chayal y San Martín Jilotepeque	323
Figura 9.5	Chaculá, Segmentos proximales de navaja prismática de la fuente de El Chayal	323
Figura 9.6	Chaculá, Punta de proyectil bifacial de tipo triangular	324
Figura 9.7	Chaculá, Conjunto de artefactos de pedernal de diversos colores	324
Figura 9.8	Chaculá, Fragmento de piedra de moler de tipo plano apoda de andesita	325
Figura 9.9	Chaculá, Segmento de objeto esférico de cuarzo rosado	325
Figura 9.10	Chaculá, Pulidor de riolita con huellas de desgaste	325
Figura 9.11	Chaculá, Roca de color rojizo, posible óxido de hierro	325
Figura 9.12	Pueblo Viejo Quen Santo, Conjunto de artefactos de obsidiana con predominio de los segmentos de navaja prismática Fuentes El Chayal y San Martín Jilotepeque	326
Figura 9.13	Pueblo Viejo Quen Santo, Conjunto de segmentos mediales de navaja prismática con predominio de la fuente de El Chayal	326
Figura 9.14	Pueblo Viejo Quen Santo, Variedad de objetos de pedernal de diversos colores	327

Figura 9.15	Pueblo Viejo Quen Santo, Navaja de pedernal	327
Figura 10.1	Chaculá, TP-C-3, Nivel 3, diáfisis de un radio humano	329
Figura 10.2	Chaculá, TP-C-6, Nivel 2, Ext. C, epífisis proximal de fémur	330
Figura 10.3	Chaculá, TP-E-3, Nivel 2, epífisis distal de hueso animal ungulado	331
Figura 10.4	Pueblo Viejo Quen Santo, TP-B-1, Nivel 2, Ext. A, fragmento no determinado de hueso largo	332
Figura 10.5	Pueblo Viejo Quen Santo, TP-B-1, Nivel 3, fragmento de hueso no determinado	332
Figura 11.1	Chaculá, TP-C-5, Nivel 5, Caracol dulce acuícola	335
Figura 11.2	Chaculá, TP-C-5, Nivel 5, Caracol terrestre	336
Figura 11.3	Chaculá, TP-C-5, Nivel 5, Caracol indeterminado	336
Figura 11.4	Chaculá, TP-C-8, Nivel 3, Caracol dulce acuícola	338
Figura 11.5	Chaculá, Saqueo 1, Caracol dulce acuícola	339
Figura 11.6	Pueblo Viejo Quen Santo, TP-B-3, Nivel 5, Caracol dulce acuícola	340
Figura 11.7	Pueblo Viejo Quen Santo, TP-B-4, Nivel 2, Caracol dulce acuícola	341

Índice de cuadros

Cuadro 8.1	Nomenclatura de marcaje del material arqueológico.	168
Cuadro 9.1	Chaculá: Artefactos de obsidiana	318
Cuadro 9.2	Chaculá: Artefactos de Pedernal	319
Cuadro 9.3	Chaculá: Lítica Mayor	319
Cuadro 9.4	Pueblo Viejo Quen Santo: Artefactos de Obsidiana	320
Cuadro 9.5	Pueblo Viejo Quen Santo: Artefactos de Pedernal	320
Cuadro 9.6	Pueblo Viejo Quen Santo: Pedernal	321

1 Introducción

Ulrich Wölfel y Byron Hernández

Ubicado en la esquina nor-occidental de las tierras altas de Guatemala, en norte del Municipio de Nentón, departamento de Huehuetenango, Guatemala (Figura 1.1), fronteriza con Chiapas, México, al norte y oeste, la región de Chaculá ocupa una posición transicional entre los Altos Cuchumatanes al este y el valle de Comitán en Chiapas al oeste.

Las investigaciones en la región dan inicio a finales del siglo XIX, con las investigaciones del alemán Eduard Seler quién realizó una breve temporada de campo entre Junio y Septiembre del año 1896, los resultados de la cual fueron publicados en su libro *Die alten Ansiedlungen von Chaculá im Distrikte Nenton des Departements Huehuetenango der Republik Guatemala* (Seler 1901), convirtiéndose en una de las primeras zonas protagonistas de la arqueología en Guatemala. A la postre se quedó al margen de estudios de esta naturaleza.

Es solo en años recientes que el interés en la región despertó de nuevo, con un proyecto enfocado en las cuevas de Quen Santo ejecutado entre 2007 y 2008 por Sergio Garza y James Brady (Brady 2009) y desde el año 2013 el Proyecto Arqueológico de la Región de Chaculá (PARCHA) con investigaciones más extensas en toda la región. El proyecto PARCHA fue establecido con el fin de (a) localizar sitios arqueológicos que fueron reportados por Seler en la región, b) elaborar mapas precisos de dos sitios arqueológico principales de la región, Chaculá y Pueblo Viejo Quen Santo, c) investigar la cronología regional a partir de excavaciones estratigráficas y estudios de los materiales recuperados y finalmente, d) promover el registro y la protección de los sitios arqueológicos.

La primera temporada de PARCHA en 2013 fue dirigido por Víctor Castillo y Ulrich Wölfel. En esta temporada se realizaron reconocimientos en la zona y se inicia la elaboración del mapa del sitio Chaculá. En 2014 se continúa con las investigaciones sumando una fase de excavaciones de sondeo para efectuar una cronología preliminar de Chaculá y se pudo establecer una ocupación del lugar en el Clásico Tardío. En esta oportunidad, Wölfel fue apoyado por la arqueóloga Paola Torres.

La tercera temporada de campo del proyecto PARCHA se llevó a cabo a partir del 4

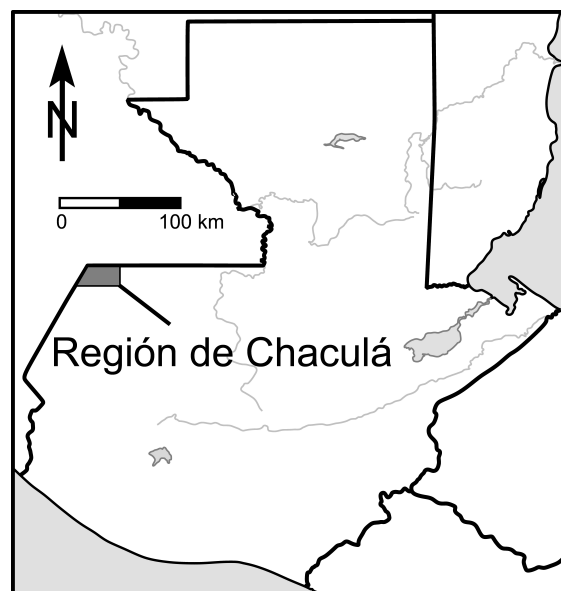


Figura 1.1 Mapa de Guatemala indicando la Región de Chaculá, dibujo por U. Wölfel

de Agosto 2015 hasta el 25 de Noviembre 2015 en las aldeas Nueva Esperanza Chaculá y Espino Malpaso, así como sus alrededores, en el norte del municipio de Nentón, Departamento de Huehuetenango. Para la sede del proyecto y el laboratorio de campo se rentó una casa en Nueva Esperanza Chaculá. Esta temporada de campo tuvo la característica de continuar con las excavaciones en Chaculá, de igual forma la elaboración del mapa y a la vez extendió los trabajos hacia el sitio Pueblo Viejo Quen Santo, ubicado en la Finca Tunalito El Espino, en donde se consiguió actualizar el mapa que realizara Eduard Seler en 1896 y la excavación de once pozos de sondeo.

Los integrantes del personal de campo de la temporada 2015 consistieron en las siguientes personas:

- Ulrich Wölfel, director, encargado de excavaciones en Pueblo Viejo Quen Santo, reconocimiento y mapeo,
- Byron Hernández, co-director, encargado de excavaciones en Chaculá y del laboratorio,
- Dora García, arqueóloga de campo y auxiliar de laboratorio,
- Alejandro Garay, arqueólogo de campo,
- Jackeline Quiñonez, arqueóloga de campo,
- Manuel Guzmán, arqueólogo de campo,

- Tania Cantoral, dibujante de campo.

El personal operativo del proyecto estuvo integrado por personas de las aldeas Nuevas Esperanza Chaculá y Espino Malpaso, quienes fueron capacitados por integrantes del proyecto en excavación, reconocimiento y mapeo.

Específicamente las tareas de campo consistieron en

1. reconocimiento de sitios arqueológicos en la región de Chaculá,
2. reconocimiento y mapeo en los Grupos C y E del sitio arqueológico Chaculá,
3. excavaciones de pozos de sondeo en los Grupos A, C, D y E del sitio arqueológico Chaculá,
4. reconocimiento y mapeo en los Grupos A y B del sitio arqueológico Pueblo Viejo Quen Santo,
5. excavaciones de pozos de sondeo en los Grupos A y B del sitio arqueológico Pueblo Viejo Quen Santo,
6. documentación etnográfica de la producción alfarera en la región de Chaculá y áreas vecinas en los Altos Cuchumatanes.

Cabe mencionar que todos los trabajos realizados durante la temporada se ejecutaron según el Reglamento para Desarrollar Trabajos de Investigación Arqueológica y Disciplinas Afines, dentro del Capítulo I, artículo 6 del inciso 1, según Acuerdo Ministerial 001-2012 de fecha 02 de enero de 2012: Reconocimiento programático y sistemático de superficie o subacuático, con o sin recolección de bienes culturales, que involucren o no pozos de sondeo".

1.1. Objetivos

Los objetivos específicos del Proyecto Arqueológico de la Región de Chaculá en la temporada de 2015 fueron los siguientes:

1. localizar las estructuras reportadas por Eduard Seler en su publicación de 1901 con coordenadas de GPS, así como documentar con fotografías y dibujos su estado de conservación actual,
2. identificar nuevos sitios y estructuras en la periferia de Chaculá a través de coordenadas de GPS y mediante fotografías y croquis,

3. proseguir con la elaboración de un mapa y registro fotográfico de estructuras en los Grupos C y E del sitio arqueológico Chaculá,
4. iniciar la elaboración de un mapa y registro fotográfico de estructuras en los Grupos A y B del sitio arqueológico Pueblo Viejo Quen Santo,
5. documentar con fotografías, dibujos y medidas las excavaciones realizadas y descritas por Eduard Seler en Pueblo Viejo Quen Santo,
6. continuar con la definición cronológica para el sitio arqueológico Chaculá en base a la cerámica recuperada en los pozos de sondeo propuestos en los Grupos A, C, D y E,
7. iniciar la elaboración de la cronología para el sitio arqueológico Pueblo Viejo Quen Santo en base a la cerámica recuperada en los pozos de sondeo propuestos en los Grupos A y B.

1.2. Metodología de investigación

Durante la temporada 2015 del proyecto fueron realizados cinco operaciones principales.

1.2.1. *Operación 1: Reconocimiento regional*

El reconocimiento de otros sitios arqueológicos se llevó a cabo con recorridos durante los fines de semana con ayuda y conocimiento de guías locales. La ubicación de los sitios se realizó por medio de GPS, con lo cual se podrá aumentar la base de datos para el GIS del proyecto y actualizar el corpus arqueológico de la región.

1.2.2. *Operación 2: Mapeo en el sitio arqueológico Chaculá*

Como producto de los trabajos iniciales de mapeo ejecutados en 2013, existe un polígono de puntos fijos marcados de forma permanente con cemento, los cuales establecen una red de medida orientada norte-sur. Las coordenadas de los puntos son medidos con estación total y GPS para conectar la red local de medida a la red global de medida con coordenadas UTM. Todos estos datos se encuentran guardados en la base de datos del sistema de información geográfica (GIS).

Para el mapeo se utilizó una estación total electrónica usando la red orientada al norte y que fue descrita anteriormente, en donde todas las medidas serán guardadas en el GIS. Utilizando un script desarrollado por PARCHA, se conectarán los puntos formando un

mapa preliminar de las estructuras medidas. En base a este mapa preliminar se dibujará los edificios para el mapa final con el software LibreCAD.

1.2.3. Operación 3: Excavaciones de pozos de sondeo en Chaculá

Se realizaron 22 unidades de sondeo, distribuidas en los Grupos A, C, D y E, con dimensiones iniciales de 1m x 1m, los cuales en algunos casos fueron ampliados de acuerdo a los rasgos encontrados.

El registro se llevó a cabo por niveles estratigráficos y culturales hasta llegar a suelo estéril o roca madre (la cual consiste en caliza en el caso de Chaculá). Se realizaron lotes arbitrarios para la obtención de materiales que permitieron la realización de una cronología más específica. Se documentó las unidades y los hallazgos con notas de campo, fotografías y dibujos realizados a escala 1:20. Al finalizar, todas las excavaciones fueron rellenadas adecuadamente.

1.2.4. Operación 4: Excavación en “Las Siete Cuerdas”, Chaculá

Esta operación no se realizó. El lugar en que se hubiera ubicado la excavación se encuentra en un terreno particular y no se logró obtener el permiso de la dueña actual para realizar la investigación.

1.2.5. Operación 5: Mapeo en el sitio arqueológico Pueblo Viejo Quen Santo

De igual manera que en Chaculá, se utilizó la estación total para el levantamiento topográfico. En el mapa realizado por Seler, no está dividido en grupos, sin embargo, se consideró por separado las partes norte y sur del sitio, debido a que estos dos conjuntos se encuentran a una distancia de 180 m entre ellos. La parte más al norte se registró como Grupo A, y la del sur Grupo B

1.2.6. Operación 6: Excavaciones de pozos de sondeo en Pueblo Viejo Quen Santo

Al igual que las excavaciones de Chaculá, estos tuvieron como fin la recuperación de materiales para estudiar la secuencia cronológica de los Grupo A y B, por lo que se analizó la estratigrafía de las plazas y plataformas del sitio y se recuperó material cerámico de contextos estratigráficos controlados para incluirlos en el análisis de laboratorio. De esta manera se extenderá la cronología regional que hasta ahora se basa solamente en los

materiales excavados en Chaculá y algunos hallazgos de superficie realizados durante los reconocimientos.

1.2.7. Análisis de Laboratorio

Todos los materiales recuperados fueron llevados al laboratorio, en donde se procedió a lavar y posteriormente a marcarlos para su análisis correspondiente. La nomenclatura consiste en (1) un código para identificar el sitio arqueológico (CHA = Chaculá y QSO = Quen Santo), (2) un código para identificar el pozo (compuesto por la letra del grupo en el sitio y el número del pozo) (3) el número del nivel excavado y (4) el número del lote recuperado. De esta manera, un tiesto por ejemplo de Quen Santo, pozo TP-A-1, nivel 3 y lote 1, se marcaría "QSO-A1-3-1".

Para el estudio de la cerámica se utilizó el sistema tipo-variedad, el cual permite clasificar la cerámica en categorías tipológicas jerarquizadas bien definidas y conocidas (clases, tipos, grupos y variedades cerámicas).

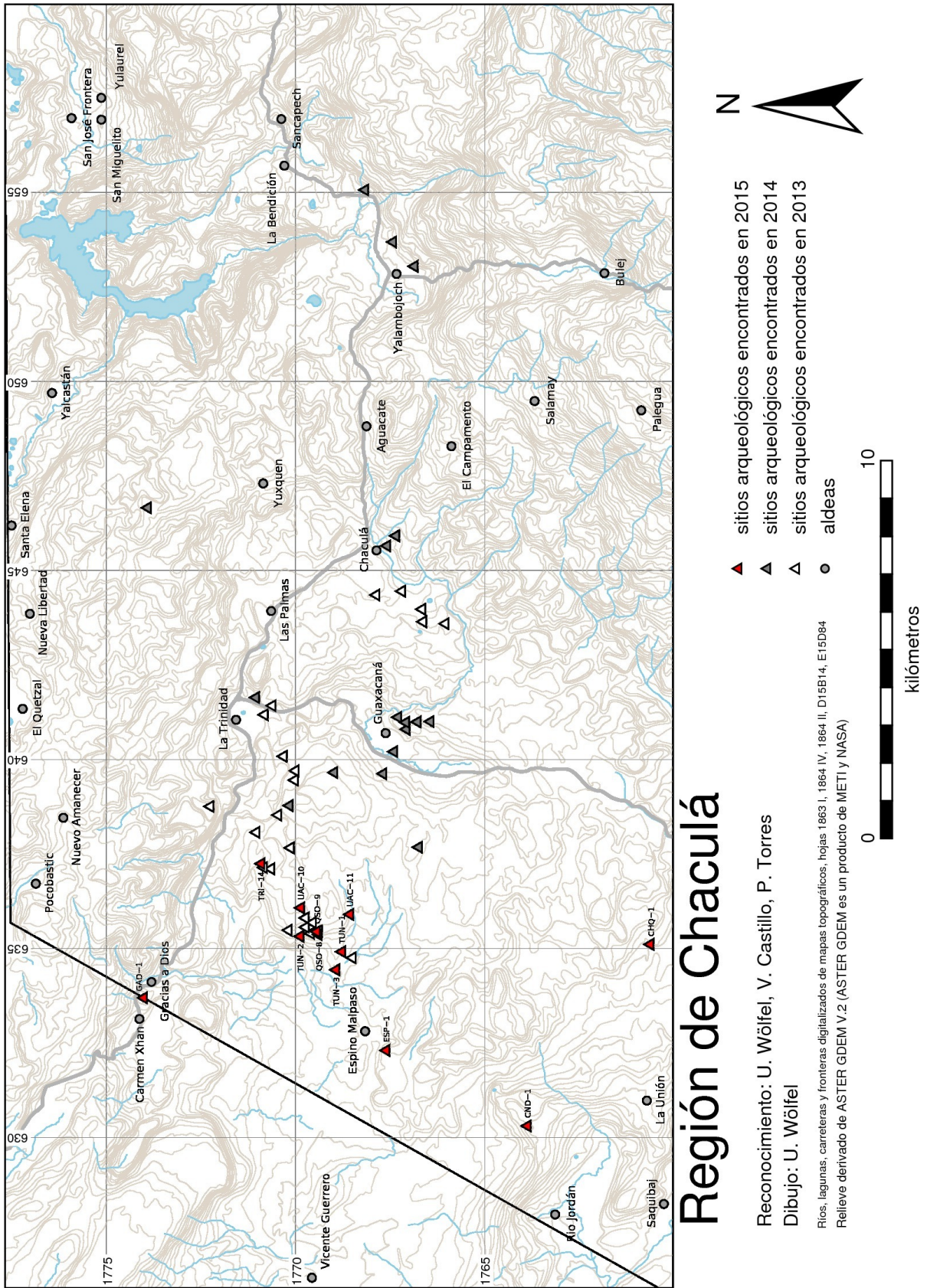


Figura 1.2 Mapa de la Región de Chaculá con sitios arqueológicos, dibujo por U. Wölfel

2 Reconocimiento arqueológico en la Región de Chaculá

Ulrich Wölfel

En las temporadas 2013 y 2014 de PARCHA el objetivo principal del reconocimiento era reubicar los sitios arqueológicos mencionados por Seler (1901). Debido al cumplimiento exitoso de este objetivo, en 2015 los objetivos principales consistían en (a) profundizar el reconocimiento alrededor del sitio arqueológico Pueblo Viejo Quen Santo, ubicando sitios no reportados por Seler y (b) visitar y documentar sitios con arte rupestre en la región. De los sitios mencionados por Seler, solamente quedan pendientes dos grupos menores de Uaxac Canal y la “Cueva de los Murciélagos”, cerca de Uaxac Canal. Por falta de tiempo, no se logró reconocer estos sitios en 2015.

El reconocimiento se llevó a cabo con caminatas, acompañado por guías locales de Espino Malpaso y Chaculá. Como en los años pasados, los aspectos más importantes del reconocimiento fueron la ubicación y georeferenciación de los sitios localizados y la evaluación somera del estado de preservación de las estructuras. En sitios con un alto grado de destrucción o los de menor tamaño, el registro básicamente consistió en documentación fotográfica. Se realizaron croquis sin escala para documentar los sitios. Se espera que futuras investigaciones en el área logren generar mapas precisos de los sitios que fueron descubiertos durante esta temporada.

La nomenclatura de los sitios sigue el patrón XXX-Y, siendo XXX una abreviatura que nombra la comunidad, donde se ubica cada sitio, Y representa el número del sitio. Por ejemplo, TRI-14 = sitio número 14 en terreno de La Trinidad (otras abreviaturas usadas son UAC = Uaxac Canal, QSO = Quen Santo, TUN = Tunalito El Espino, ESP = Espino Malpaso, CHQ = Chaquial, CND = Candelaria). Cuando alguno de los guías o habitantes de las vecindades reportó un nombre local o un topónimo del lugar donde se encuentra el sitio, el nombre aparece junto al código de nomenclatura. Las coordenadas reportadas fueron tomadas con un GPS (Garmin GPS 60, hay unas excepciones indicadas en el texto) y convertidos al sistema UTM (dátum referencial: NAD83) usando GRASS GIS.

2.1. La Trinidad

TRI-14 [UTM: 637244, 1770905], *Yal Ib'ach, Estructura*

Al este del barranco de Yal Ib'ach se encuentra una pequeña estructura en mal estado de preservación. Por su ubicación cerca de la única parte con una pendiente tan ligero que permite el acceso fácil al fondo del barranco, existe la posibilidad que esta plataforma era relacionada con la “entrada” al barranco.

Nuevas investigaciones en Yal Ib'ach

El sitio Yal Ib'ach fue reconocido por primera vez en 2013 por PARCHA. Debido a la brevedad de la primera visita, se decidió realizar una nueva documentación de las pinturas rupestres. Se tomó fotografías de todas las pinturas, utilizando una escala estándar del IFRAO (International Federation of Rock Art Organisations). Para buscar nuevas pinturas, se utilizó un Android-Tablet con un App desarrollado específicamente para esta tarea. El App graba imágenes con la cámara del tablet y convierte los colores usando un algoritmo para decorrelar y estirar los colores (inglés: *decorrelation stretching* Gillespie et al. 1986; Harman 2005). En esta manera, pinturas con colores apagados vuelven ser visibles de nuevo en la pantalla. Con la ayuda del tablet y el App se logró detectar pinturas anteriormente no vistas.

Entre las pinturas adicionales encontradas en 2015, destaca un diseño complejo en el lado norte del barranco de Yal Ib'ach, cerca de pinturas ya descritas en 2013. Consiste de partes geométricos con triángulos, rectángulos y líneas, además de plumas o volutas, todo en color anaranjado (Figura 2.1). En la parte mas a la derecha dos diseños cruciformes, tienen cierta semejanza al signo “k'an” utilizado por los Mayas del Clásico. Debido a los colores apagados es difícil distinguir detalles sin la ayuda de un aumento de la imagen con *decorrelation stretching* (Figura 2.1, abajo). La composición de este diseño recuerde las decoraciones en vasijas de cerámica Postclásica del tipo Chupaflor rojo y negro (Bryant et al. 2005b:581–584; Fig. 9.19) encontrada en el sitio Canajasté, Chiapas, México, que se encuentra a menos que un kilometro de la frontera con Guatemala, unos 14.5 km al sur-oeste de Yal Ib'ach en línea directa.

Otras pinturas descubiertas en 2015 incluyen una posible cara con ojos grandes y boca abierta en rojo al lado norte (Figura 2.2(1)), diseños geométricos (Figura 2.2(2)) y cruciformes (Figura 2.2(3)) al lado sur del barranco y el único petrograbado en Yal Ib'ach que muestra una cara torcida con contornos rectangulares que podría ser elaborado o retocado recientemente (Figura 2.2(4)), aunque caras torcidas ya fueron reportadas en la iconografía de la región por Seler (1901:113–115; Fig. 146, 149, 151, 153).

2.2. Quen Santo

Durante los trabajos en Pueblo Viejo Quen Santo se llevaron a cabo varios recorridos de reconocimiento.

QSO-8 [UTM: 635368, 1769394], *Pueblo Viejo IV*

Al oeste de la cresta encima de la cual quedan los Grupos A y B de Pueblo Viejo Quen Santo, se encuentran varios grupos de estructuras, como el grupo de la Estructura 44 en el mapa de Seler (que por PARCHA de denominará Grupo C). Otro de estos grupos está designado QSO-8 (o Pueblo Viejo VI) por el momento, hasta que recibe su letra, cuando será incluido en el mapa del sitio. Este grupo dista unos 90 metros de QSO-9 (pinturas rupestres en la pared del barranco).

En este grupo se observaron tres estructuras, dos de estos encima de una plataforma que comparten. Los muros están parcialmente preservadas (Figura 2.8) y en el interior se observa las líneas de piedras talladas que indican la presencia de bancos.

QSO-9 [UTM: 635442, 1769440], *Pueblo Viejo Quen Santo, Arte Rupestre*

La pared occidental del barranco que limita la cresta encima de la cual se encuentra Pueblo Viejo Quen Santo tiene varias partes con arte rupestre.

En una parte alta, abajo de la Estructura B-23 de Pueblo Viejo Quen Santo, se encuentran dos grupos de manos en negativo, pintadas en color anaranjado (Figura 2.3). El primer grupo tiene una mano completa y otra mano parcial y mal preservada, el otro grupo tiene dos manos completas. Estos son los primeros ejemplos de manos en negativo halladas en la región.

Cerca de las manos se encuentran varios grupos de pinturas en color rojo que forman un par entre una imagen zoomorfa – en todos los casos son mamíferos cuadrúpedos con colas – y un motivo abstracto. Figura 2.4(1) muestra un círculo con un punto grueso en su centro y siete rayas alrededor, Figura 2.4(2) también muestra un círculo, pero con un punto más pequeño en su centro y sin rayas, en ambos casos el animal se encuentra encima del círculo. En la Figura 2.4(3) el círculo se encuentra a la izquierda del animal y contiene dos líneas gruesas cruzadas en su centro, un círculo parecido al primero, pero sin punto en el centro y con ocho rayas se encuentra encima del animal. Figura 2.4(4) muestra un animal borroso a la derecha de tres círculos en color azul. Finalmente, en la Figura 2.4(5) aparece un animal con una cola gruesa y hacia arriba que, debido a esta posición característica de la cola, fue identificado por uno de los asistentes del proyecto, Julián Pérez, como un pizote (Popti': *no' tz'utz'*). Encima del posible pizote se encuentra un motivo rectangular con unas líneas adjuntas. Todos estos pares de figuras

se encuentran distribuidos en la pared de piedra en alturas grandes, por lo cual se supone que fueron pintadas desde ramas de arboles cercanas.

Otros diseños cerca de estas pinturas incluyen un dibujo con líneas onduladas (Figura 2.4(6)) y círculos con rayas y líneas adjuntas (Figura 2.4(7)) que son difíciles de interpretar. En una grieta que se encuentra abajo del Edificio B-23 y llega hasta la superficie en Pueblo Viejo, se encuentran unos motivos abstractos pintados en color negro (Figura 2.4(8)).

Al lado de los círculos con rayas en Figura 2.4(7), se halló un espeleotema grande con varias caras grabados en la caliza (Figura 2.5). Debido a la forma natural del espeleotema, la cara central con ojos y boca (Figura 2.5, derecha) puede ser re-interpretada como agujeros de la nariz y boca de una cabeza con cráneo elongado (formado por la parte superior del espeleotema).

Más al sur de este grupo de arte rupestre se encuentran otros, aproximadamente abajo de las estructuras B-16 y B-17 de Pueblo Viejo. En una grieta en la pared dos espeleotemas muestran caras grabados (Figura 2.6) con una (Figura 2.5, izquierda) retocada recientemente. Existen varias pinturas, aunque la mayor parte no presentan motivos reconocibles y tienen un carácter mejor descrito como “manchas” (Figura 2.7(3)). Entre las pinturas reconocibles se notó motivos antropomorfos (Figura 2.7(1)), zoomorfos (Figura 2.7(2)) y un motivo con rayas circulares (Figura 2.7(4)) que se asemeja al dibujo al lado del cenote grande de Candelaria (Sección 2.8).

Unas de la pinturas rupestres (Figura 2.3, derecha; Figura 2.4) y petrograbados (Figura 2.5) fueron encontrados anteriormente por Christian Christensen (comunicación personal, 2014), uno de los integrantes del proyecto de Sergio Garza y James Brady en las cuevas de Quen Santo entre 2007–2008, aunque no publicados hasta la fecha.

Cueva 9 de Quen Santo

Muy cerca de la pared en que se encuentran las pinturas rupestres existe una cueva que fue denominado Quen Santo Cueva 9, debido a que la cuenta de cuevas en Quen Santo reportado por Brady (2009) llegó hasta Cueva 8.

La cueva tiene una profundidad de unos 13 m. Después de una entrada poco inclinada, pero muy angosta se llega a un saliente de roca, que se encuentra a unos 10 m arriba del fondo de la cueva. Para bajar se necesita un lazo. En un reconocimiento breve solo uno de los asistentes locales del proyecto, Julián Pérez, se bajó para explorar la cueva. Cerca de la entrada, hacia el sur, existe una parte plana, un rasgo natural que posiblemente fue modificado para crear una pequeña plataforma (Figura 2.9). Existen varios lugares con artefactos, sobre todo de cerámica quebrada.

2.3. Tunalito El Espino

El terreno de la finca Tunalito El Espino, en que también se encuentra la mayor parte del sitio Pueblo Viejo Quen Santo, era el enfoque principal en el reconocimiento de esta temporada. Visitas a unos de los mojones de la finca resultaron en el descubrimiento de nuevos sitios arqueológicos (TUN-1, TUN-2, UAC-10).

TUN-1 [UTM: 634916, 1768771], *Cerro Piedra Redonda*

Buscando uno de los mojones de la finca, se encontró un cerro pequeño encima de que se halló una pequeña estructura saqueada (Figura 2.10). Entre el escombros se encontraron varios fragmentos de incensarios con decoraciones aplicadas. Al lado nor-este del cerro se encuentra una escalinata que, al ser limpiado, resulta llegar desde la planada al pie del cerro hasta la cumbre. La parte superior se encuentra en un buen estado de conservación y se identificó 20 gradas bien visibles (Figuras 2.11 y 2.12). Las partes más bajas están cubiertas con brosa.

Según un informante de Espino Malpaso había una piedra redonda encima del cerro (cerca de la estructura) que tenía un “dibujo de un sol” y midió 0.40 m–0.50 m (diámetro) con un grosor de 0.15 m–0.20 m. Durante la visita no se logró encontrar esta piedra.

Al pie del cerro (lado este) existe una pequeña estructura en la planada. La planada contiene varios alineamientos de piedras que podrían haber sido terrazas para nivelar el ligero desnivel en esta parte del terreno (véase también abajo, La Planada).

TUN-2 [UTM: 635319, 1769873], *Yal Oquil*

Seler reporta el topónimo *Yal Oquil* y lo traduce como “agua del coyote” (Seler 1901:130). La palabra *ok'il* para “coyote” existe en Tzeltal y Tojolabal (nota que en Chuj es *okes*). En el croquis para la delimitación de la finca Tunalito El Espino (AGCA Huehuetenango, Paq. 15, Exp. #6) y el mapa topográfica (Yolnajib, hoja 1864 II) se encuentran dos nombres de mojones en esta área: “Yal oquil de Guillén” y “Yal oquil de Kanter”. Estos se refieren a dos familias de terratenientes que eran propietarios de las fincas “La Trinidad” (Kanter) y “Gracias a Dios” (Guillén).

En una visita al mojón Yal Oquil (de Guillén) se notó que antes de llegar al mojón (marcado solamente con una cerca de alambre de espino) el camino que baja desde las cuevas de Quen Santo a San Antonio pasa por varios grupos de ruinas. Se nombró estas ruinas “Yal Oquil”, porque según informantes locales, el topónimo aplica a todo el área alrededor del mojón. Varios edificios se encuentran aisladas (Figura 2.14) en la pendiente del cerro. Un grupo de cuatro estructuras parece haber sido el “centro” de este sitio disperso (Figura 2.13). Al lado de la pequeña plataforma enfrente de uno de los

edificios se encontró una piedra elongada quebrada en dos fragmentos (Figura 2.15). Es posible que esta piedra que destaca por su forma, originalmente estaba erigida sobre la plataforma y que consta otro ejemplo de una “piedra parada”, como en Chaculá, Grupo A y B (Castillo 2013:59, 63; Fig. 4.6) o en Uaxac Canal (Wölfel 2015b:13–14; Fig. 2.11). Dos de las estructuras muestran grandes agujeros de saqueo. Debido a la brevedad de la visita, es probable que existen más grupos de estructuras en este sitio. Por tal razón sería importante realizar un reconocimiento más sistemático de este sitio en el futuro.

TUN-3 [UTM: 634437, 1768929], *La Planada*

En una amplia planada, al oeste del plan de la Piedra Redonda, se observan varios alineamientos de piedras que siguen por cientos de metros. Estos son muy parecidos a los alineamientos que identifica Seler (1901:98, Fig. 114; Lam. XXI) como antiguas terrazas agrícolas. Hoy en día la planada está usada como pastos para ganado.

Al norte de la planada se encuentran unos montículos muy bajos que podrían ser restos de plataformas de casas. Sin embargo, una búsqueda intensa no resultó en el hallazgo de ni un fragmento de cerámica, por lo cual existen dudas acerca de la identificación de este sitio, aunque en una parte aparecen dos piedras talladas que forman una línea.

2.4. Uaxac Canal

UAC-10 [UTM: 636075, 1769861], *Kurus Cipres, Curuz Cipres*

En una visita al mojón “Kurus Cipres” entre las fincas Tunalito El Espino, Gracias a Dios, Guaxacaná y La Trinidad se encontró una estructura prehispánica sobre la cual está puesto el mojón (Figura 2.18), marcado con una cruz de madera. Al este del mojón, en terrenos de Guaxacaná y La Trinidad existen dos estructuras más, que forman un pequeño sitio arqueológico (Figura 2.17). El mojón aparece bajo el nombre “Cipres” en el mapa elaborado por el agrimensor cuando se definió los límites de la finca (AGCA Huehuetenango, Paq. 15, Exp. #6). Este mojón aparentemente es idéntico con “Yal oquil de Kanter”, como indicado en el mapa del agrimensor (ibid., fol. 71), debido a una re-medicación de los terrenos de las fincas Gracias a Dios y La Trinidad llevada a cabo cuando se delimitó la finca Tunalito en 1896 (ibid., fol. 58r–61v). Al parecer, el mojón recibe visitas frecuentes, posiblemente debido a conflictos entre las comunidades de La Trinidad y Guaxacaná. Por esto se ve manchas de pintura roja en la cruz y en piedras, que también marcan la línea divisora entre los terrenos de ambas comunidades sobre piedras en otras partes. La estructura del mojón es la peor preservada, se nota que piedras talladas fueron puestas como base para erigir la cruz. Las otras estructuras

están parcialmente cubiertas con vegetación que sirve para su protección.

UAC-11 [UTM: 635901, 1768561], *Las Aguadas*

Una de las preguntas más importantes para el sitio arqueológico Pueblo Viejo Quen Santo es la obtención de agua. Mientras en el caso de Chaculá se han detectado varias aguadas que hasta hoy en día funcionan para almacenar agua, incluso las construcciones excavadas por PARCHA 2015 (véase el capítulo 4) y la “laguna” al oeste de la “casa grande” de la finca Chaculá, el caso de Pueblo Viejo Quen Santo no es tan claro. Dentro del área central del sitio, conformado por los Grupos A y B, situado en la cresta del cerro, no se han detectado este tipo de reservorios grandes. Solamente unas pilas fueron notadas durante el mapeo.

En busca de depresiones alrededor del sitio, se nota la presencia de varias pequeñas de estas hacia el sur, como la dolina al pie de la antigua ciudad mencionada por Seler (1901:98–99), en el fondo de la cual él encontró un círculo de piedras en que halló una urna funeraria. Entre los posibles aguadas destaca un conjunto de tres depresiones a las cuales se encuentra asociada una pequeña plataforma de un edificio. El sitio, denominado “Las Aguadas” por PARCHA, se encuentra a unos 800 m al sur-este del parte mapeado de Grupo B. Las depresiones están bien visibles en imágenes satelitales de Google Earth, con diámetros de aproximadamente 43 m, 56 m y 64 m (medidas tomadas con Google Earth). En el fondo de la depresión nor-oriental (la más grande) se encontraron fragmentos de barro quemado, así como unos pocos fragmentos de cerámica (Figura 2.19). Para resolver la cuestión del almacenamiento de agua necesario para sostener la población en Pueblo Viejo Quen Santo se requiere investigaciones más profundas en el futuro, con un reconocimiento sistemático y excavaciones para comprobar cuáles eran los lugares que de hecho sirvieron como aguadas.

2.5. Espino Malpaso

La aldea Espino Malpaso se encuentra a unos cinco kilómetros al sur de Gracias a Dios. Está directamente vecindada con la finca Tunalito El Espino, en el casco de la cual se quedó parte del equipo de PARCHA 2015 durante las investigaciones en Pueblo Viejo Quen Santo.

ESP-1 [UTM: 632302, 1767605], *El Volcán*

Según un informante de Espino Malpaso, el cerro que se encuentra al oeste de dicha aldea, por su forma cónica llamado “El Volcán”, tiene estructuras prehispánicas en su

cumbre. En un reconocimiento breve se logró confirmar esta información. Se encontró un muro al lado sur-este que sirve para nivelar parte de la cumbre (Figura 2.20). Por la densa vegetación era difícil reconocer más estructuras, aunque en varias partes se encontró posibles alineamientos de piedras. La vista desde el cerro es amplia e incluye partes del valle de Comitán, en Chiapas, México, y el cerro Hokanal en terreno de la aldea La Trinidad encima del cual fue encontrado un muro circundando su cumbre durante el reconocimiento de PARCHA 2013 (Wölfel 2013).

2.6. Gracias a Dios

GAD-1 [UTM: 633694, 1774013], *Cerro Ixb'ul, Monumento 28*

El cerro Ixb'ul se encuentra en la frontera entre Guatemala y Chiapas (México). Es uno de los marcadores de la línea fronteriza y aparece como punto de referencia en discusiones de esta frontera desde el siglo XIX (Pineda 1999:22). Al lado oriental del cerro se encuentra la aldea Gracias a Dios (Guatemala), al lado occidental la aldea Carmen Xhan (México).

La cumbre y los lados sur-este a sur-oeste del pendiente del cerro contienen un sitio arqueológico. En la literatura este sitio aparece bajo diferentes nombres. El mapa de Tulane da el nombre del sitio como "Ixbul". En el mapa topográfico de Guatemala, hoja 1864 II (Instituto Geográfico Militar 1992) aparece el "Sitio arqueológico Monumento 28", aunque en un lugar equivocado (aproximadamente 800 m al nor-este del sitio). Este nombre se refiere a uno de los dos monumentos fronterizos, con números 27 y 28, que se encuentran en el sitio. Uno (28) de los monumentos de hecho se encuentra encima de una plataforma prehispánica.

En la cumbre del cerro existe una pequeña plaza con cuatro estructuras circundándola (Figura 2.21). La plataforma más grande, hacia el norte, muestra restos de una escalinata con seis gradas y alfardas a los lados. Es encima de esta plataforma donde se encuentra el Monumento 28. Las otras estructuras tienen grandes saqueos. Construcciones de terrazas ayudan a nivelar partes del cerro, como la cumbre con la plaza y en los pendientes hacia el sur y este (Figura 2.22). Sobre estas plataformas están construidas más estructuras. Una de estas contiene dos subterráneos abiertos. Estos subterráneos están contruidos con piedras bien talladas. Se reconoce bien la bóveda falsa (Figura 2.23). Partes del sitio están en uso para agricultura y por esto las plataformas más bajas fueron parcialmente destruidas.

El sitio Cerro Ixb'ul es conocido en la literatura arqueológica, aunque las descripciones lo mencionan de paso y con poco detalle. Eduard Seler (1901) y su esposa Cecilie Seler (1900) pasaron en su viaje a Guatemala por Gracias a Dios y mencionan el cerro Ixb'ul

en sus libros como el cerro fronterizo entre Guatemala y México, pero la ausencia de una descripción del sitio arqueológico indica que no lo conocían. En su *Monografía del Departamento de Huehuetenango* Recinos (1913:205) menciona dos sitios cerca de Gracias a Dios, uno llamado Los Cimientos y el otro Ajalún. No es claro si uno de los dos se refiere al sitio Cerro Ixb'ul. El nombre *Ajalún* es de interés por ser parte del nombre indígena de la aldea La Trinidad (“Ajaluñh K'u”) y por posiblemente también ser parte del nombre *Sajalumatic* que aparece en el mapa topográfico de Guatemala, hoja 1864 II (Instituto Geográfico Militar 1992), unos 2 km al nor-este de Gracias a Dios. No se puede analizar la palabra “ajaluñh” en idioma Chuj, que significa que probablemente es de otro idioma Maya, como Tzeltal o Tojolabal, como es el caso con varios otros topónimos en la región.

Blom y La Farge (1927:439, 510) describen el cerro Ixb'ul y notan las terrazas y el monumento fronterizo colocado encima de la estructura en la cumbre (“The sides of the Cerro Ixbul are terraced in several places and the boundary mark stands on a small artificial pyramid.”).

Heitzmann (1972) hace referencia a un “complejo de cementerio” en las colinas al oeste de Gracias a Dios. Ya en los años 1970 este sitio mostraba muchos saqueos. Según un informante (y colector) los cuerpos en las tumbas fueron enterrados en posición sentada. También se nota que un informante (no es claro si es la misma persona) dice que *este cementerio es una de las fuentes principales de artefactos ilegales entrando al sur de México* (“this cemetery is one of the chief sources of illegal artifacts entering southern Mexico”, Heitzmann 1972:34).

Los sitios alrededor de la aldea Gracias a Dios merecen otra visita de reconocimiento en el futuro. Seler (1901:186–187, Fig. 271) muestra una piedra esculpida que encontró en el patio de la hacienda Gracias a Dios. Blom y La Farge (1927:439, Fig. 368) muestran una cabeza de piedra que encontraron al lado de un pozo. Es esta piedra a que se refiere la ficha de campo de Edwin Shook (CIRMA: GT-CIRMA-AH-023-08-037) para el lugar “Gracias a Dios”. En los varios viajes del proyecto entre Espino Malpaso y Gracias a Dios, se notó la presencia de muros megalíticos al lado del camino, cerca de la subida final a Gracias a Dios. Otros sitios cerca de Gracias a Dios aparecen en el mapa topográfico de Guatemala, hoja 1864 II (Instituto Geográfico Militar 1992), con los nombres “Copalar” y “El Roblar”. De ambos sitios no existe más información publicada, por lo cual sería importante localizarlos y documentar sus estructuras y el estado actual de conservación.

2.7. Chaquial

CHQ-1 [UTM: 635109, 1760622], *El Encanto*

A unos 2.5 km al oeste de la aldea Chaquial se encuentra un sitio de pinturas rupestres llamado “El Encanto”. Este sitio ha sido reportado anteriormente por varios investigadores, como Pérez de Batres et al. (2002) y Ericastilla Godoy (2004). Llegando a Chaquial, se paga una cuota de 60 Q por grupo a los dueños del terreno en que se encuentra el sitio para obtener el permiso de entrar. El fin de la visita de PARCHA era conocer al sitio y tomar fotografías que puedan servir de referencia para comparaciones con otros sitios de arte rupestre en la región.

El grupo principal de pinturas muestra una gran densidad de motivos que hace difícil separar grupos individuales e identificar algunos motivos (Figura 2.25). Aparte de este grupo, anteriormente reportado, se encontraron pinturas en otras partes de la misma pared rocosa, pero en posiciones más aisladas y de mucho menor densidad. Algunos motivos parecen muy similares a ejemplos encontrados en otros sitios de la región Chaculá, sobre todo en Yal Ib’ach. Por ejemplo, en Yal I’bach, en la pared norte, se encuentran círculos concéntricos en color rojo con un punto azul celeste en el centro, al lado hay un diseño cruciforme en color rojo con una línea trasando el contorno adentro en azul celeste (Figura 2.26). Motivos casi iguales se encuentran en El Encanto, incluso la posición de estas pinturas es igual, en el techo de un abrigo.

Regresando del abrigo, a unos 320 m en línea directa al sur de las pinturas, se encontraron los restos de una pequeña plataforma de una casa (Figura 2.27). Aunque este edificio se encuentra en un mal estado de conservación, debido al uso para agricultura de esta área, se notó una similitud de la construcción con las plataformas de edificios que se han encontrado en otros sitios del Clásico Tardío en la región más al norte.

2.8. Candelaria

CND-1 [UTM: 630304, 1763869], *Cenotes de Candelaria*

En una excursión a los Cenotes de Candelaria (Figura 2.24, izquierda) con fines recreativos se tomó la oportunidad de visitar las pinturas rupestres que se encuentran en la pared de piedra al norte del cenote grande. La gran inclinación del terreno hace difícil el acceso al lugar de las pinturas. Las pinturas están ejecutadas en color rojo (Figura 2.24). Se distingue dos motivos, unas manchas a la derecha y un motivo redondo con rayas alrededor a la izquierda. Aunque los colores son fuertes, no se logra distinguir mucho más de estos motivos, ni con *decorrelation stretching*.

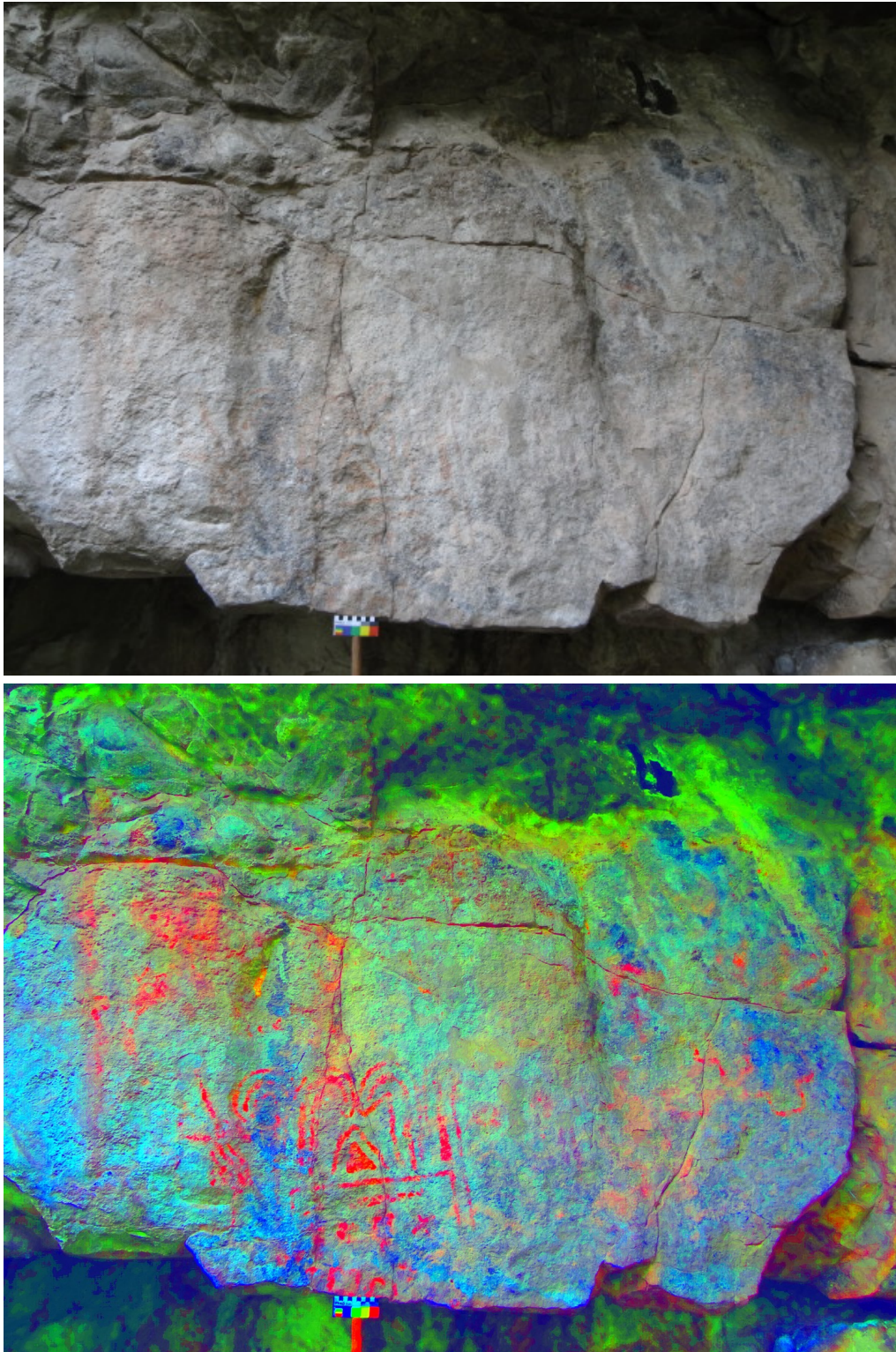


Figura 2.1 Yal Ib'ach, panel con pinturas rupestres encontrado en 2015, fotografía original (arriba) y fotografía con colores decorrelados (abajo), fotografía por U. Wölfel

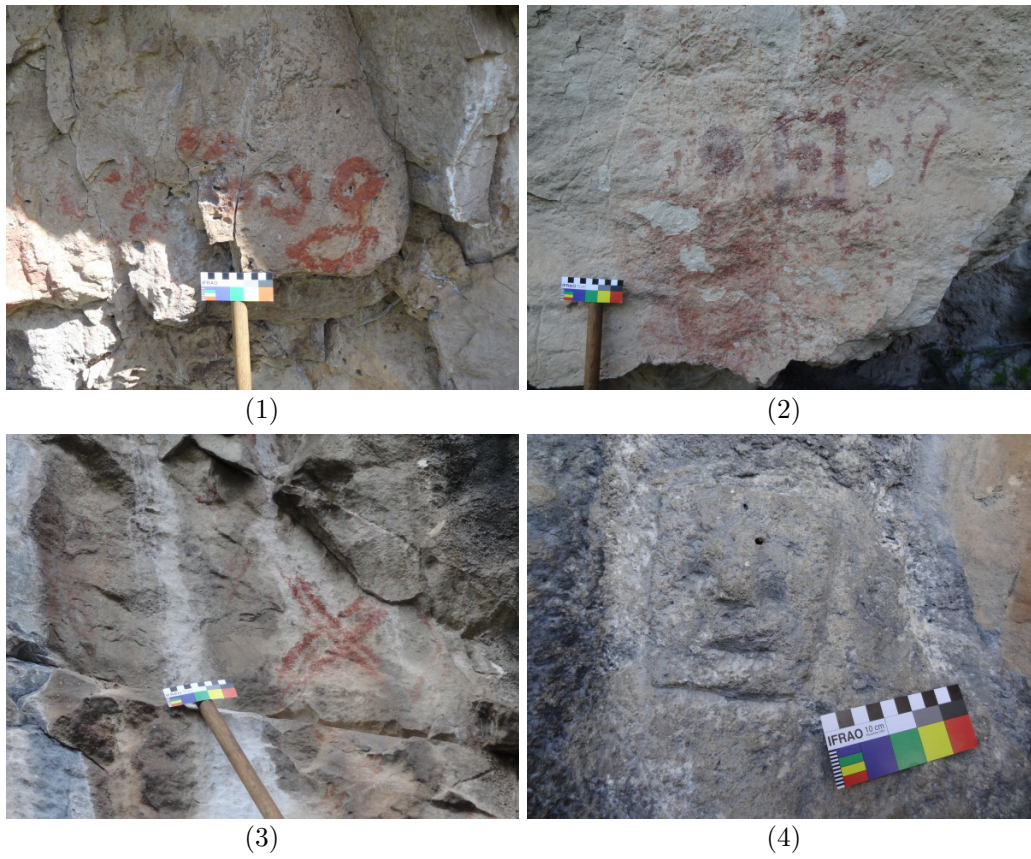


Figura 2.2 Yal Ib'ach, pinturas rupestres encontradas en 2015 (1-3) y petrograbado posiblemente moderno (4), fotografías por J. Pérez (1) y U. Wölfel (2-4)



Figura 2.3 Pueblo Viejo Quen Santo, pinturas rupestres, manos en negativo fotografías por J. Pérez

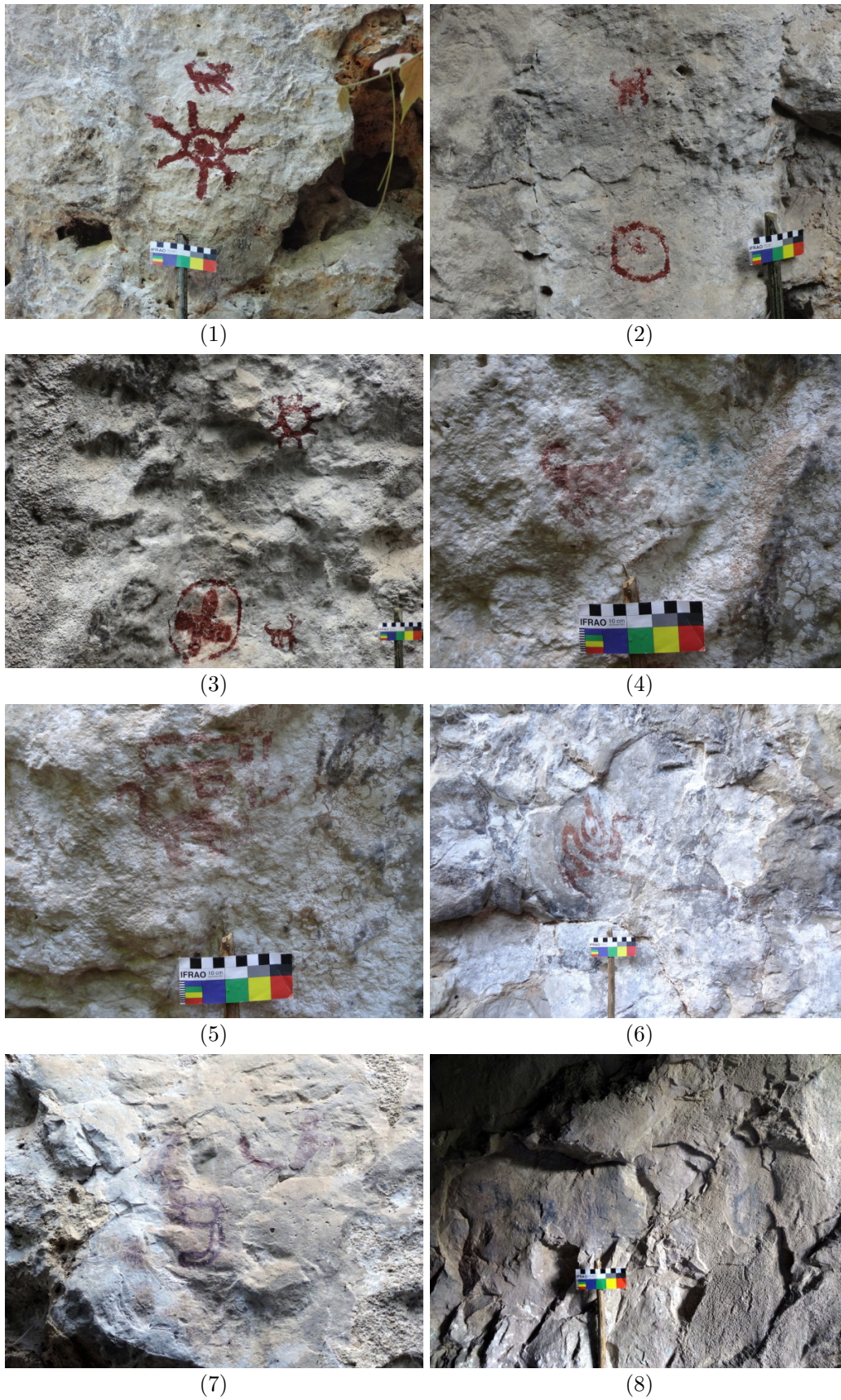


Figura 2.4 Pueblo Viejo Quen Santo, pinturas rupestres, fotografías por J. Pérez (1-3) y U. Wölfel (4-8)

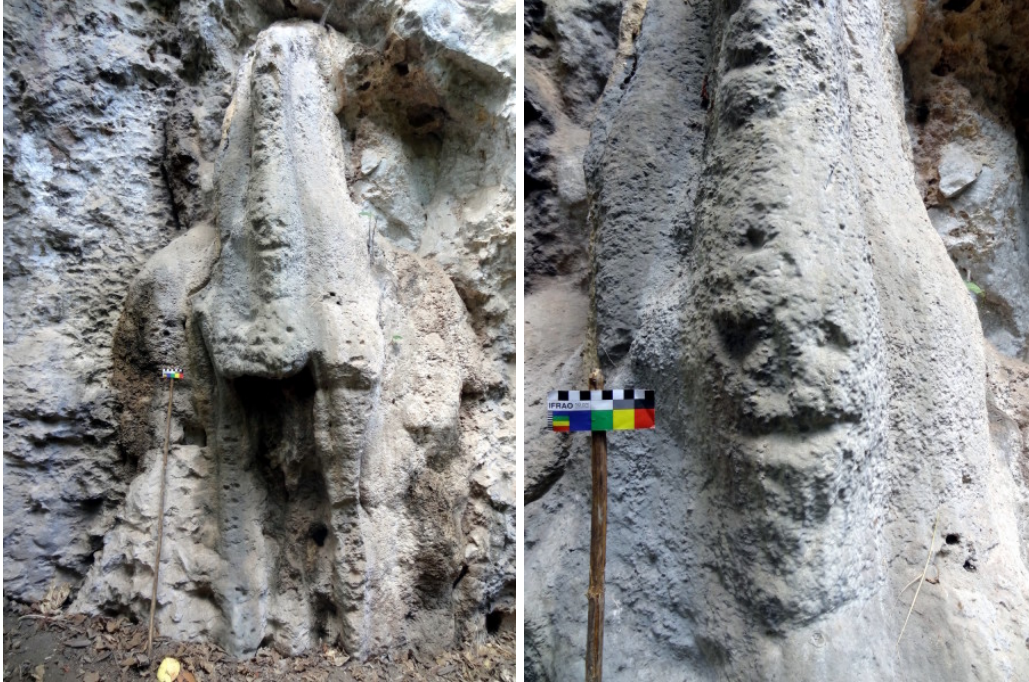


Figura 2.5 Pueblo Viejo Quen Santo, petrograbados en un espeleotema, fotografías por U. Wölfel

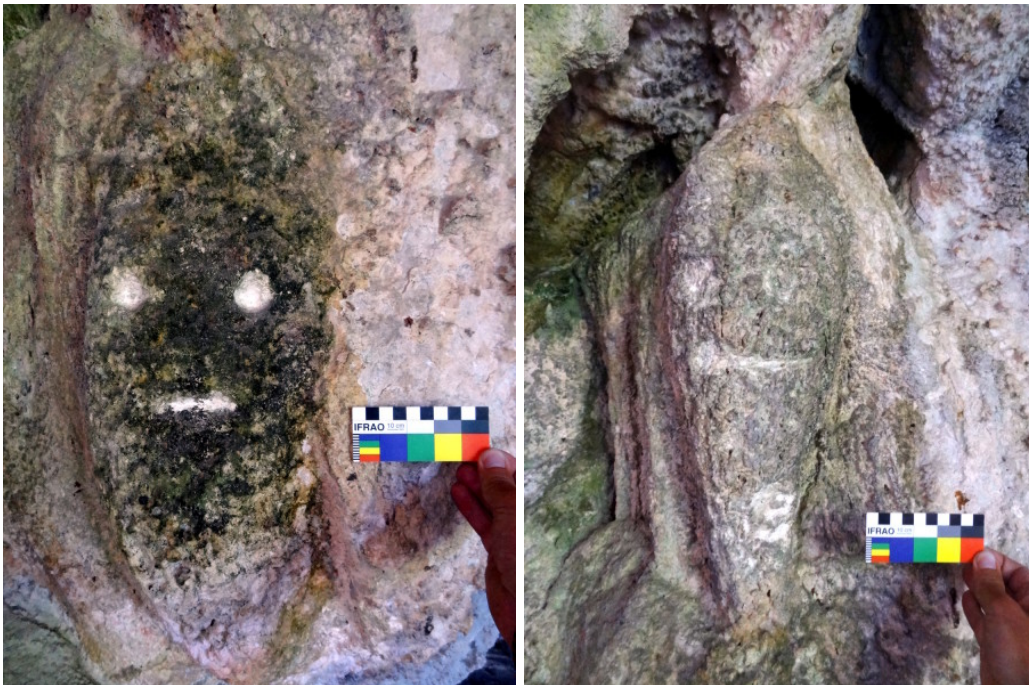


Figura 2.6 Pueblo Viejo Quen Santo, petrograbados en espeleotemas, fotografías por U. Wölfel (izquierda) y J. Pérez (derecha)

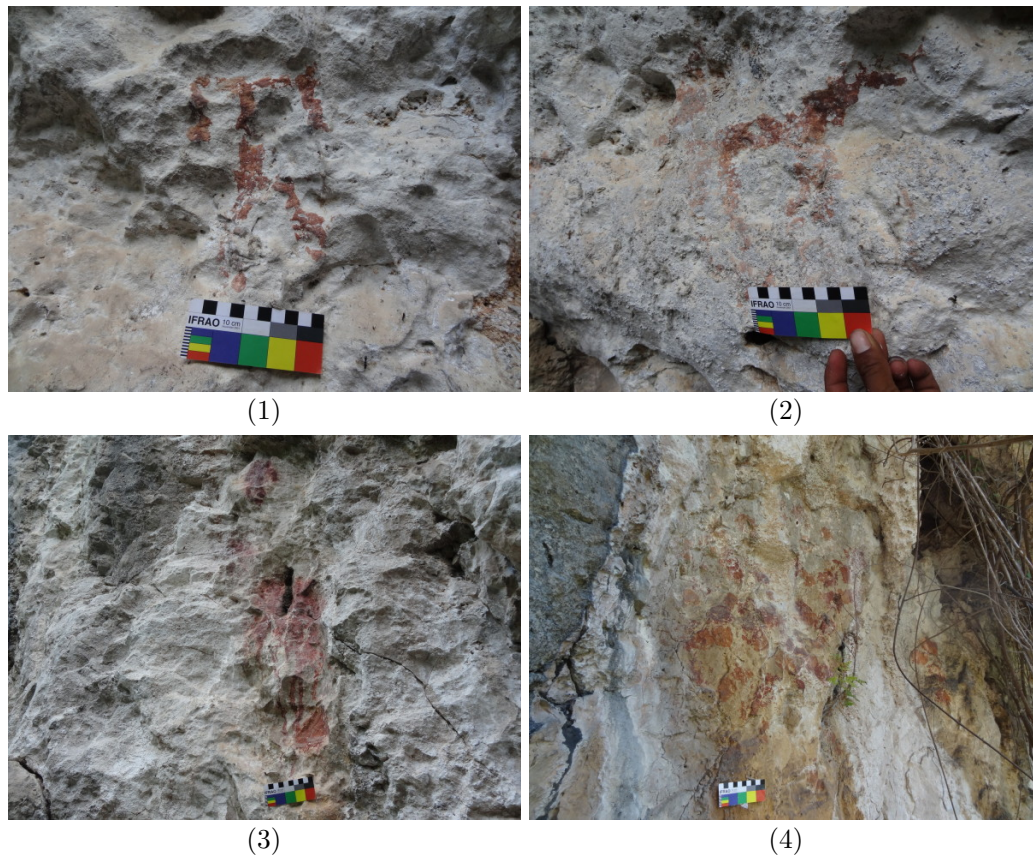


Figura 2.7 Pueblo Viejo Quen Santo, pinturas rupestres, fotografías por U. Wölfel



Figura 2.8 Pueblo Viejo Quen Santo IV, muro de un edificio, fotografía por U. Wölfel



Figura 2.9 Quen Santo Cueva 9, plataforma, fotografía por J. Pérez

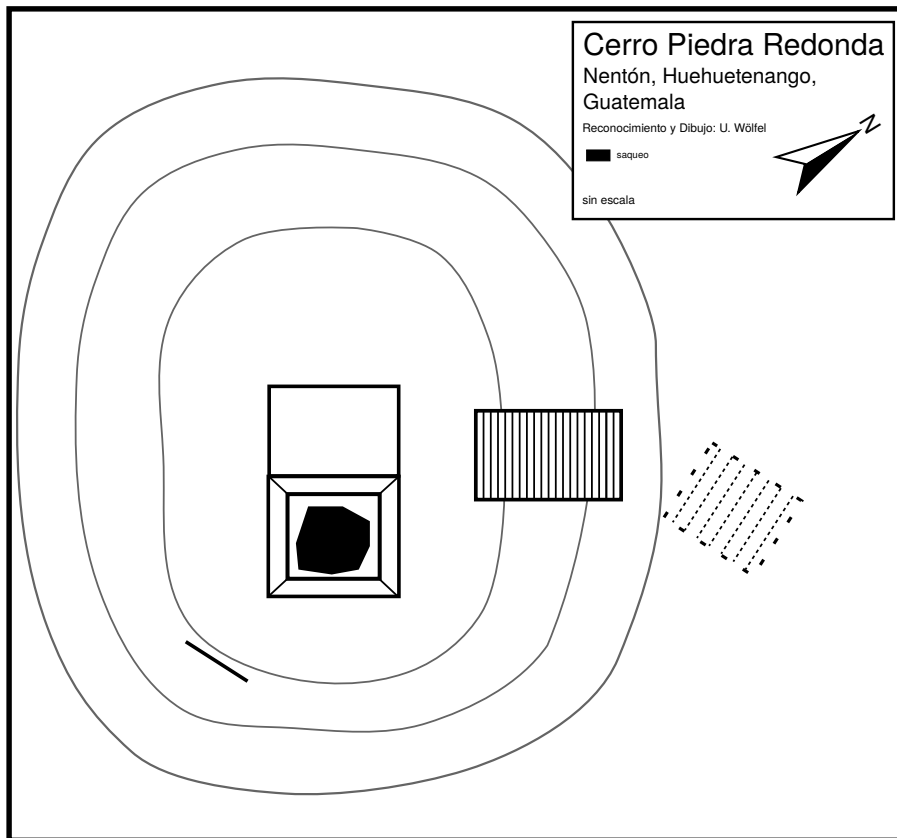


Figura 2.10 Cerro Piedra Redonda, croquis, dibujo por U. Wölfel



Figura 2.11 Cerro Piedra Redonda, vista desde abajo de la escalinata, fotografía por U. Wölfel



Figura 2.12 Cerro Piedra Redonda, vista desde arriba de la escalinata, fotografía por U. Wölfel

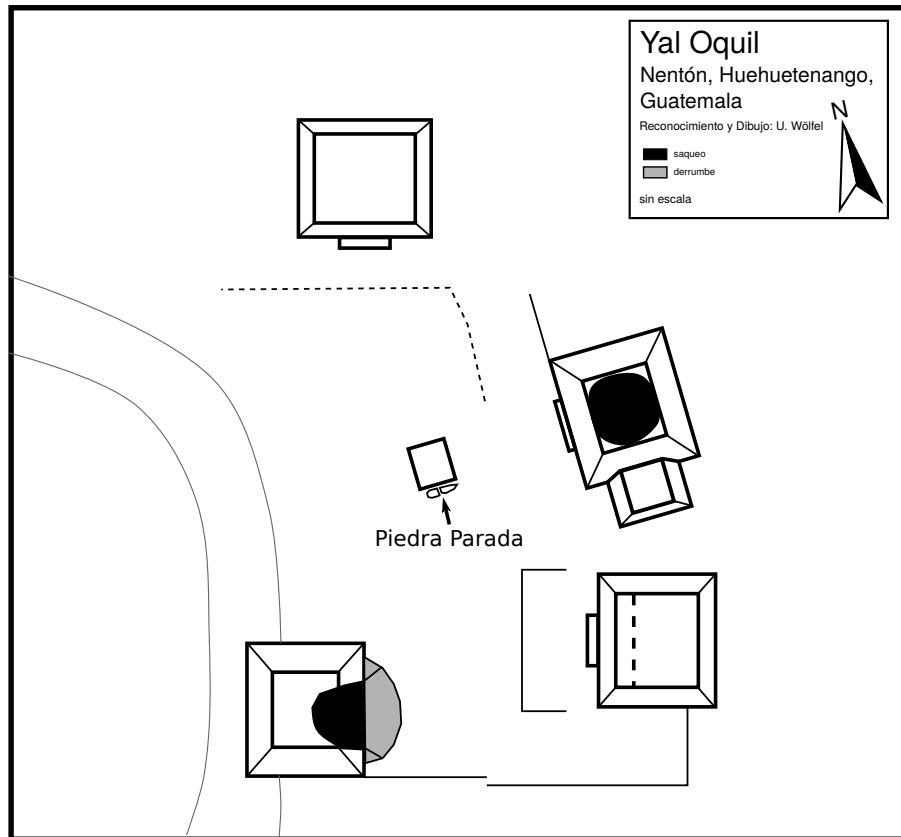


Figura 2.13 Yal Oquil, croquis del grupo principal, dibujo por U. Wölfel



Figura 2.14 Yal Oquil, posible piedra parada en el grupo principal, fotografía por U. Wölfel



Figura 2.15 Yal Oquil, estructura al norte del grupo principal, fotografía por U. Wölfel



Figura 2.16 La Planada, alineamientos de piedras, fotografía por U. Wölfel

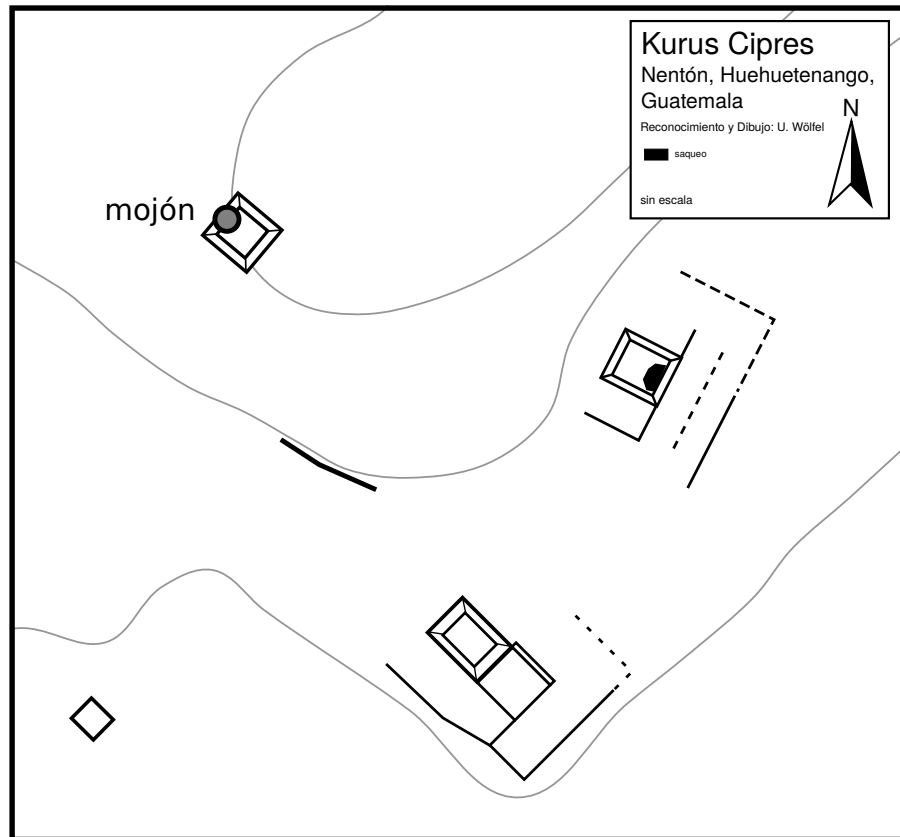


Figura 2.17 Kurus Cipres, croquis, dibujo por U. Wölfel



Figura 2.18 Kurus Cipres, estructura prehispánica (izquierda) y cruz marcando el mojón (derecha), fotografía por U. Wölfel

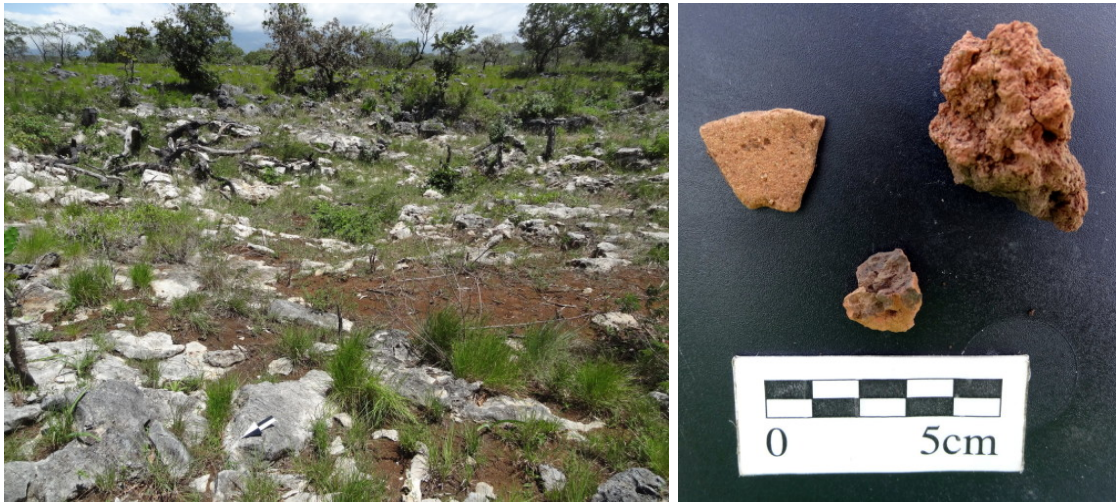


Figura 2.19 Las Aguadas, aguada grande (izquierda) y fragmentos de barro quemado y cerámica (derecha), fotografías por U. Wölfel



Figura 2.20 El Volcán, fotografía por U. Wölfel

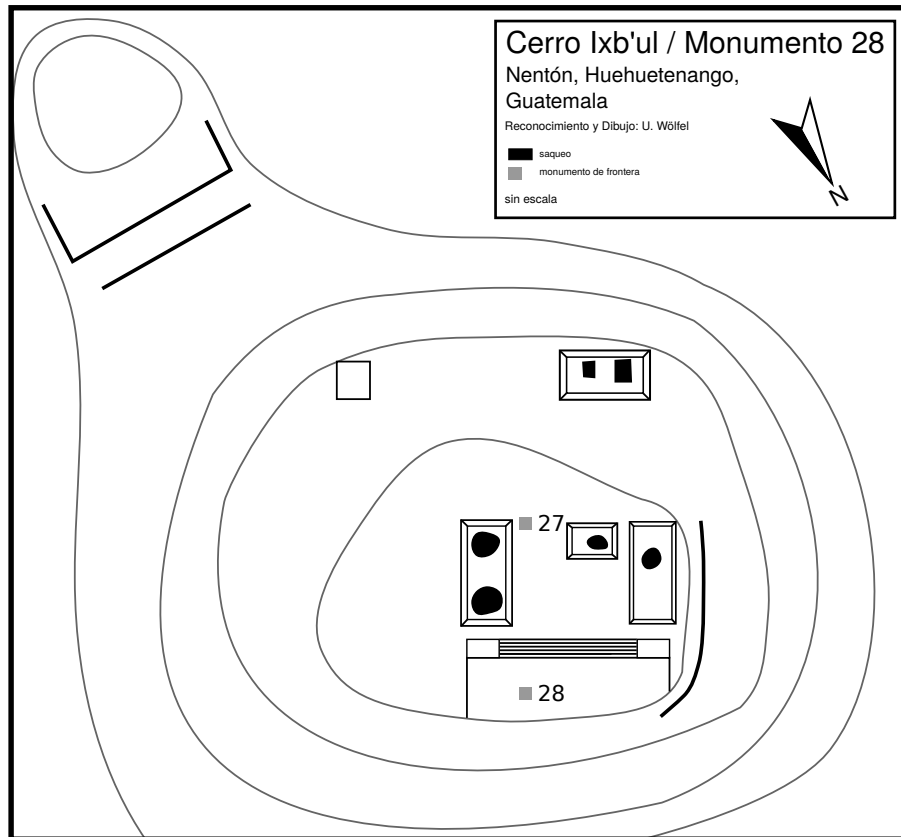


Figura 2.21 Cerro Ixb'ul / Monumento 28, croquis, dibujo por U. Wölfel



Figura 2.22 Cerro Ixb'ul / Monumento 28, vista de terrazas, fotografía por U. Wölfel



Figura 2.23 Cerro Ixb'ul / Monumento 28, subterráneo abierto, fotografía por U. Wölfel



Figura 2.24 Cenotes de Candelaria, pinturas rupestres, fotografías por U. Wölfel (izquierda) e I. Andrés (derecha)



Figura 2.25 El Encanto, grupo principal de pinturas rupestres, fotografía por U. Wölfel



Figura 2.26 El Encanto y Yal Ib'ach: motivo de círculos concéntricos y cruciforme, fotografías por U. Wölfel



Figura 2.27 El Encanto, plataforma de casa en un campo cerca de las pinturas, fotografías por U. Wölfel

3 Mapeo del sitio arqueológico Chaculá

Ulrich Wölfel

La segunda operación de la temporada 2015 de PARCHA consistió en la continuación de los trabajos de limpieza y mapeo en el sitio arqueológico Chaculá. Durante PARCHA 2013 dos grupos (Grupo A y Grupo B) fueron mapeados en un área de estudio escogido por tener una gran densidad de estructuras prehispánicas. Esta área se caracteriza por un bosque denso en un terreno ligeramente montañoso. En 2014 se logró mapear partes de tres grupos previamente desconocidos (Grupos C, D y E). Para 2015 el fin del mapeo era continuar la exploración y el mapeo en los Grupos C, D y E, de los cuales solamente unas partes fueron mapeadas en 2014 (Figura 3.13).

La metodología empleada en el mapeo consistió en la división del área con brechas de 1.50 m de ancho con un espacio de aproximadamente 40.00 m entre cada dos brechas vecinas. Las brechas sirvieron para (a) facilitar el acceso en la exploración, con el fin de identificar estructuras prehispánicas y limpiarlas de la maleza y (b) la medición de las estructuras para producir los datos en los cuales se basa el mapa.

Gracias a los trabajos iniciales de mapeo por PARCHA en 2013, existe un polígono de puntos fijos marcados de forma permanente con cemento, los cuales establecen una red de medida orientada norte-sur. Las coordenadas de los puntos son medidos por una estación total y también con GPS. Los puntos de GPS sirvieron para conectar la red local de medida a la red global de medida con coordenadas UTM. Todos estos datos se encuentran guardados en la base de datos del sistema de información geográfica (GIS).

La medición fue llevada a cabo con una estación total (Sokkia SET5X), partiendo de los puntos fijos y puntos temporales que fueron marcados con estacas y clavos durante el mapeo. Aparte de la medición de las estructuras, se mapeó también la topografía del área que consiste en varias colinas y conos de denudación. Esta topografía está directamente relacionada con el patrón de asentamiento que se encuentra en el sitio arqueológico Chaculá.

La diferencia en la metodología del mapeo usadas en las temporadas 2013 y 2014 mostró ciertas ventajas y desventajas de cada una. El enfoque en un grupo entero potencialmente resulta en un mapa más completo del mismo grupo (PARCHA 2013, Grupo A),

pero es más arbitrario en cuanto a la selección de los áreas. Usando brechas, dividiendo un área cuadrada predeterminada, resulta en un mapeo más sistemático y tiene más potencial descubrirse grupos desconocidos (en 2014 fueron hallados los Grupos C, D, E, así como una parte desconocida del Grupo B), pero en el caso de Chaculá los límites de los grupos (determinados por la topografía) no coincidieron bien con los límites del mapeo (determinados por un rectángulo delimitando el espacio entre Grupos A y B). Por esto, en 2015 se enfocó otra vez en dos grupos (C y E) con el fin de mapearlos por completo. Se utilizó brechas en estas partes de los grupos donde se reconoció edificios adicionales.

3.1. El Grupo C

En la temporada 2015 se mapeó un total de 16 edificios en el Grupo C (Figura 3.14). Con esto, el número total de estructuras incluidos en el mapa asciende a 39 (en 2014 fueron mapeados 23 edificios). Entre las estructuras adicionales destaca un complejo habitacional formado por las estructuras C-16–C-20 y el pequeño altar C-36. Los edificios principales, C-18 y C-19, se encuentran uno al lado del otro, con los frentes orientados hacia la planada del grupo, al oeste. Las escalinatas están parcialmente preservadas y se ve todavía las alfardas (Figura 3.12a,b). Construido sobre la misma terraza y formando una 'L' con estos dos edificios, se encuentra la Estructura C-20. Este patrón se observa en varias partes del sitio, particularmente en C-10–C-12 que se encuentran a menos que 50.00 m hacia el este. Un cuadro de piedras muy bajo, C-36, podría haber sido un altar centrado enfrente de C-18 y C-19 (Figura 3.1). Al norte de esta terraza se encuentran dos filas de piedras que sirven para delimitar terrazas nivelando una ligera pendiente que sube hacia C-16 y C-17, dos estructuras más pequeñas y peor preservadas. Comparando con el complejo monumental al este, existe una similitud con las Estructuras C-5–C-6, al margen norte del complejo. No es claro si estas semejanzas significan que todas las estructuras forman un solo complejo o si resultan de un intento de imitación, a escalas diferentes.

Cuando el equipo de PARCHA llegó al sitio en agosto de 2015, el reservorio de agua en la planada de Grupo C, C-21, no contenía agua (Figura 3.2). Gracias al haber secado, se pudo observar las piedras que constituyen el revestimiento del reservorio y así confirmar que se trata de una construcción humana. Aparte de este reservorio, no se reconocieron otras estructuras en la planada de Grupo C. Al oeste de la planada existe una pequeña subida del terreno que luego baja hacia otra planada. Esta no fue reconocida. En la parte sur-oeste del grupo quedan dos plataformas pequeñas, C-38 y C-39, construidas sobre unas terrazas en la pendiente del cerro. Al parecer, estos son edificios aislados que

aparentemente no forman complejos habitacionales. Al sur de estas estructuras sube el terreno para formar una cresta que se considera la división natural entre los Grupos C y E. Los edificios encontrados al lado sur de la cresta están orientados hacia el sur, es decir, la planada del Grupo E, por lo cual se los asignó a este grupo.

3.2. El Grupo E

Los trabajos de mapeo en el Grupo E de Chaculá lograron añadir 36 edificios adicionales a los 15 que fueron incluidos en el mapa preparado en 2014, resultando en un número total de 51 edificios en este grupo (Figura 3.15). Con una extensión de 56225 m² mapeados, este grupo es el más extenso de los cinco grupos investigados. El patrón de asentamiento sigue el patrón general de Chaculá, con terrazas y plataformas nivelando los pendientes de colinas para facilitar la construcción de plataformas de casas. Los pendientes se encuentran alrededor de una depresión natural, que en su parte occidental muestra un reservorio de agua, el cual contiene agua durante todo el año. Aún no se ha determinado si este reservorio es de origen natural o si fue construido por los habitantes de la antigua ciudad. Entre los vecinos de la actual aldea de Chaculá se conoce este reservorio con el nombre de “laguna ranera”, debido a la abundancia de ranas y sapos en este pozo.

Se reconoció varios conjuntos de edificios con carácter habitacional, por ejemplo E-17 y E-18, siempre construidos sobre plataformas comunes (Figura 3.5). Este patrón ya fue observado en otras partes del sitio (Castillo 2013; Wölfel 2015a). Varios conjuntos se encuentran en un excelente estado de conservación, como por ejemplo las Estructuras E-21 y E-22, los cuales comparten una plataforma construida con bloques de piedra parcialmente talladas y de aproximadamente de igual tamaño (Figura 3.6). La escalinata de E-21 es muy bien preservada (Figura 3.12c), las cuatro gradas todavía sirven para subir a la estructura. Un subterráneo abierto se encuentra en E-21. Posiblemente las dos estructuras al lado, E-27 y E-28, formaban parte del mismo conjunto.

Aparte de estos conjuntos de edificios existen estructuras aisladas, sin otros edificios o plataformas en su cercanía. Ejemplos de este patrón existen en todos los grupos, como en Grupo C la Estructura C-35 (Figura 3.3), en Grupo E las Estructuras E-16 (Figura 3.4), E-32, E-42, E-46, E-51 (Figura 3.12f), entre otros. Estos edificios tienen plataformas enfrente y muestran los rasgos típicos de casas habitacionales, como gradas, una fila de piedras que marca el límite entre la zona de entrada e interior de la casa (que era construida con materiales perecederos), y en varios casos bancos.

Un rasgo interesante son los muros exentos que se observó en las Estructuras E-32 (Figura 3.7) y E-44. Fueron construidas con piedras talladas y no talladas los cuales fueron

puestos uno sobre el otro sin argamasa o relleno. Por esta manera de construcción y sus posiciones a los lados de edificios, se los puede considerar posteriores a la construcción original de los edificios en el Clásico Tardío. Ejemplos similares existen en varias partes del sitio, el ejemplo más notable es el Muro AM-6 que sube desde A-14, pasa por A-47 y termina cerca del conjunto A-49–A-51 (Castillo 2013:60; Fig. 4.3). Debido a la ausencia de un relleno y así de artefactos asociados con los muros exentos es difícil dar un fechamiento más exacto para estos. Pero su asociación directa con edificios prehispánicos puede indicar que no se trata de construcciones modernas, sino más bien modificaciones efectuadas mientras los edificios todavía estaban expuestos y en uso.

El complejo principal del Grupo E está conformado por las Estructuras E-35 a E-43. Los dos edificios más grandes son E-35 (Figura 3.9) y E-36 (Figura 3.10) que se encuentran ubicados frente a frente, separados por una pequeña plaza sobre una terraza. La cumbre de E-36 se eleva aproximadamente 8.00 m encima de la plaza enfrente, mientras el punto más alto de E-35 se levanta no muchos más que un metro sobre la misma plaza. Sin embargo, desde la cumbre hasta la pie de esta estructura (o más bien el derrumbe de la misma) la diferencia en elevación asciende a unos 5.00 m. Con sus ocho metros de altura, E-36 es el edificio más alto mapeado hasta la fecha en Chaculá, el “templo del oeste”, B-1–B-3, se eleva unos 5.50 m sobre la plataforma grande en su frente. La gran cantidad de derrumbe sugiere que ambos, E-35 y E-36, tenían paredes de piedra. En el centro de la plaza entre las dos estructuras monumentales, se encuentra un pequeño altar, E-41 (Figura 3.11).

Los dos edificios, E-35 y E-36, parecen peculiares por sus tamaños y la posible presencia de paredes de piedra. Sin embargo, los edificios alrededor de E-36 forman conjuntos similares a los que en otras partes han sido considerados habitacionales. Por ejemplo, E-37 y E-42 comparten una terraza y E-37 muestra rasgos arquitectónicos como una escalinata con alfardas (Figura 3.12d), una fila de piedras que divide entre el espacio de la entrada y el interior del edificio, así como un banco y un subterráneo abierto (Figura 3.8). En una manera muy similar, se puede considerar E-38 (Figura 3.12e) y E-39 como parte de un conjunto habitacional.

Aunque E-35 es muy derrumbado, se podría comparar esta estructura con las plataformas sobresalientes (Wölfel 2015a:50–51) que se encuentran enfrente de algunos edificios principales y que sobresalen de la plataforma del conjunto, como es el caso de C-9. Estos podrían haber sido estructuras con una función ritual, como altares o santuarios familiares, asociados directamente con el linaje de los habitantes del complejo. Siguiendo esta interpretación, sería de gran interés investigar la función y cronología de los edificios E-35, E-36 y E-41, para determinar si el pequeño altar E-41 es contemporáneo o posterior a los demás construcciones.

En resumen, el mapeo de 2015 ayudó mucho en ampliar el conocimiento del patrón de asentamiento en los Grupos C y E del sitio arqueológico Chaculá. Se confirmó los patrones ya reconocidos en 2013 y 2014. El carácter habitacional de la mayoría de los edificios indica que existía una población permanente en la parte sur del sitio Chaculá y que las actividades ceremoniales en estos grupos eran de carácter más privado que público. La presencia en cada uno de los cinco grupos de un complejo monumental que destaca por su extensión y tamaño muestra una estratificación social bien marcada en esta ciudad.



Figura 3.1 Chaculá, Estructuras C-18 y C-19 con posible altar C-36 enfrente, fotografía por B. Hernández



Figura 3.2 Chaculá, Estructura C-21, fotografía por U. Wölfel



Figura 3.3 Chaculá, Estructura C-35, fotografía por B. Hernández



Figura 3.4 Chaculá, Estructura E-16, fotografía por B. Hernández



Figura 3.5 Chaculá, Estructura E-17, fotografía por B. Hernández



Figura 3.6 Chaculá, Estructura E-22, fotografía por B. Hernández



Figura 3.7 Chaculá, Estructura E-32, con muro exento, fotografía por B. Hernández



Figura 3.8 Chaculá, Estructura E-37, subterráneo abierto, fotografía por B. Hernández



Figura 3.9 Chaculá, Estructura E-35, fotografías por B. Hernández



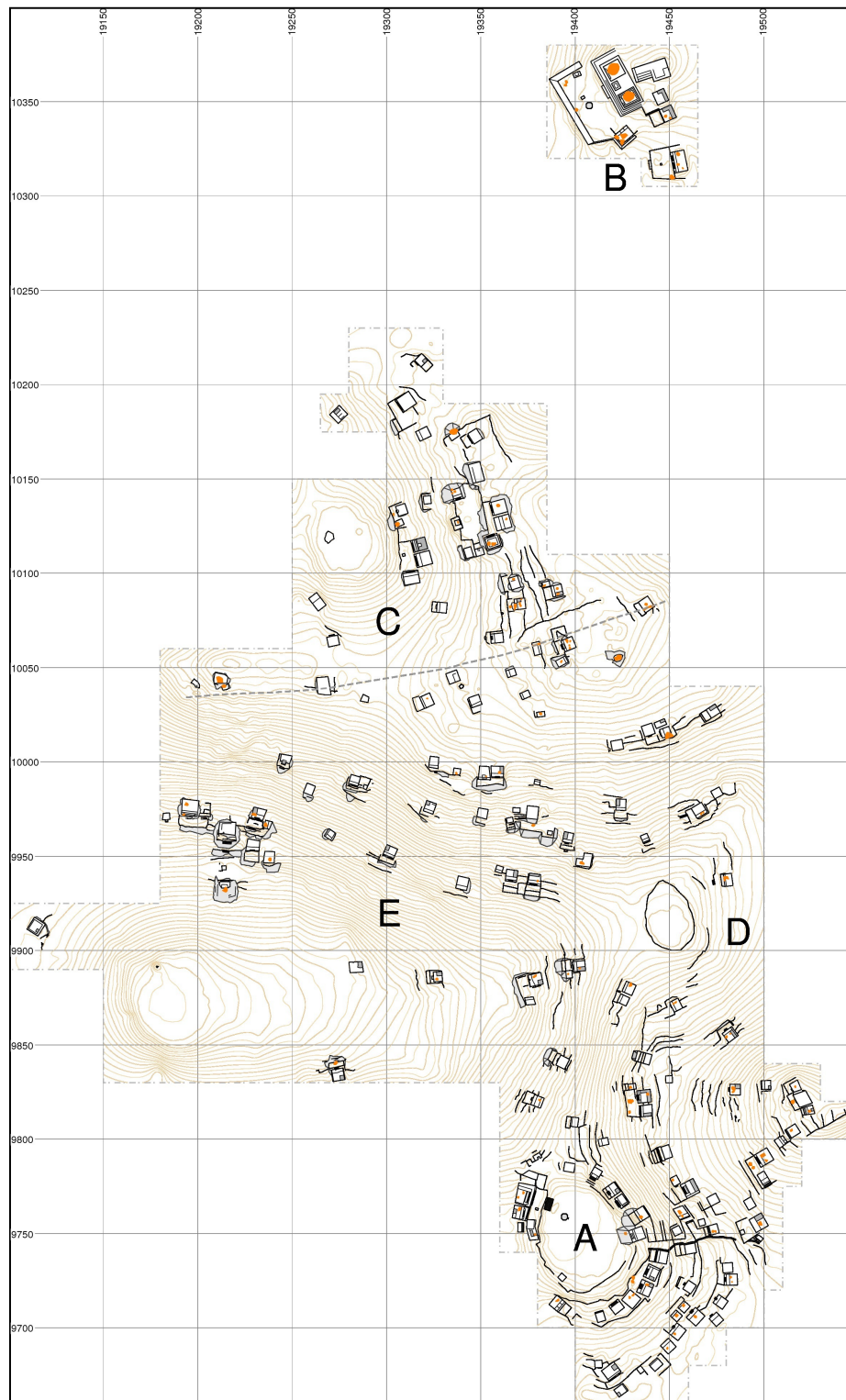
Figura 3.10 Chaculá, Estructura E-36, fotografía por B. Hernández



Figura 3.11 Chaculá, Estructura E-41, fotografía por B. Hernández



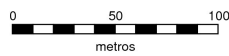
Figura 3.12 Chaculá, escalinatas con alfardas, Grupos C y E: (a) C-18; (b) C-19; (c) E-21; (d) E-37; (e) E-38; (f) E-51, fotografías por B. Hernández



Sitio Arqueológico Chaculá

Mapeo: U. Wölfel, Victor Castillo, A. Garay
 Dibujo: U. Wölfel

Intervalo de curvas: 50 centímetros



- tubo de metal
- piedra parada
- agujeros
- bancos
- muro AM-6
- cuevas
- - - limite del mapeo



Figura 3.13 Mapa del sitio arqueológico Chaculá, dibujo por U. Wölfel

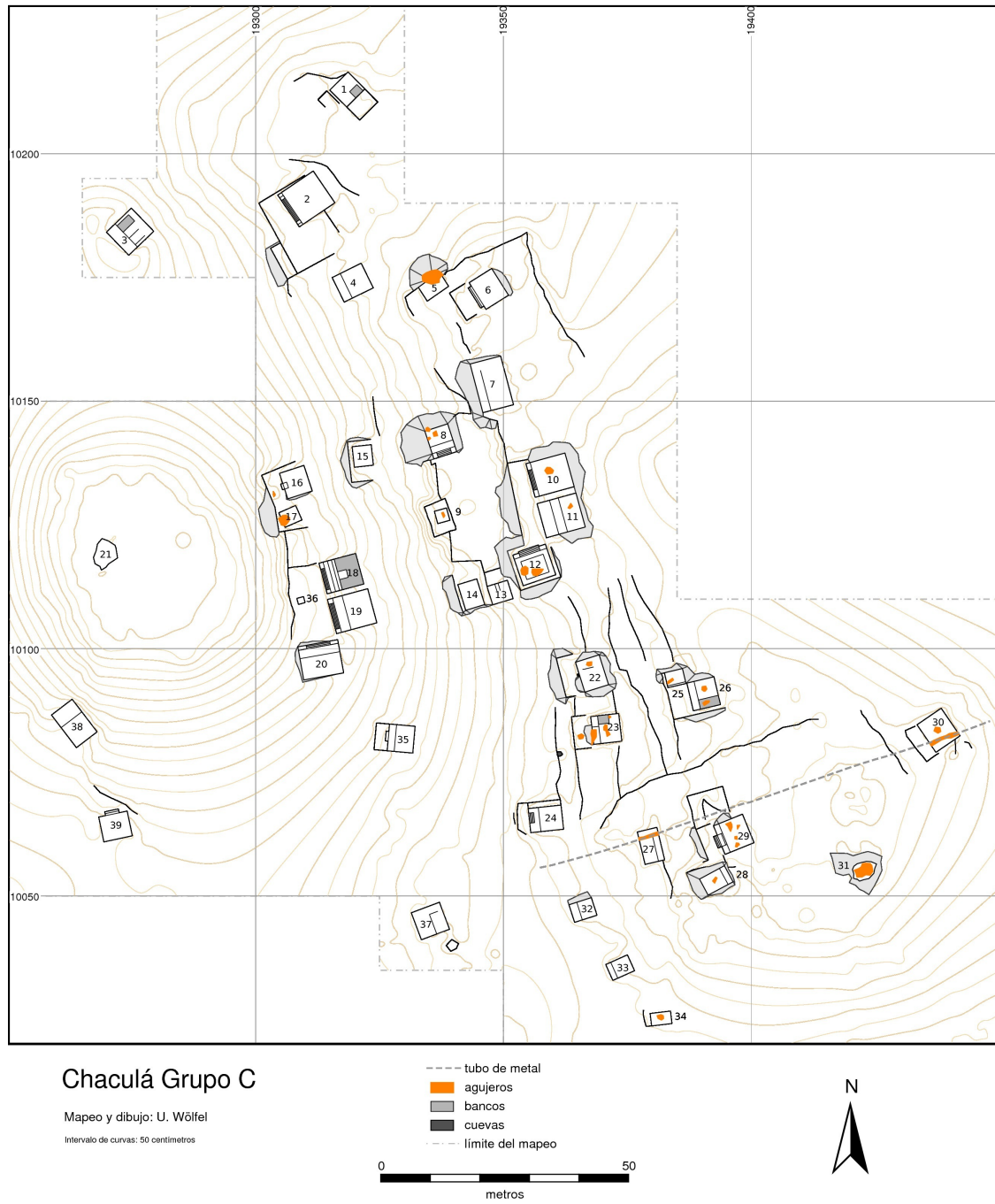


Figura 3.14 Mapa de Chaculá Grupo C, dibujo por U. Wölfel

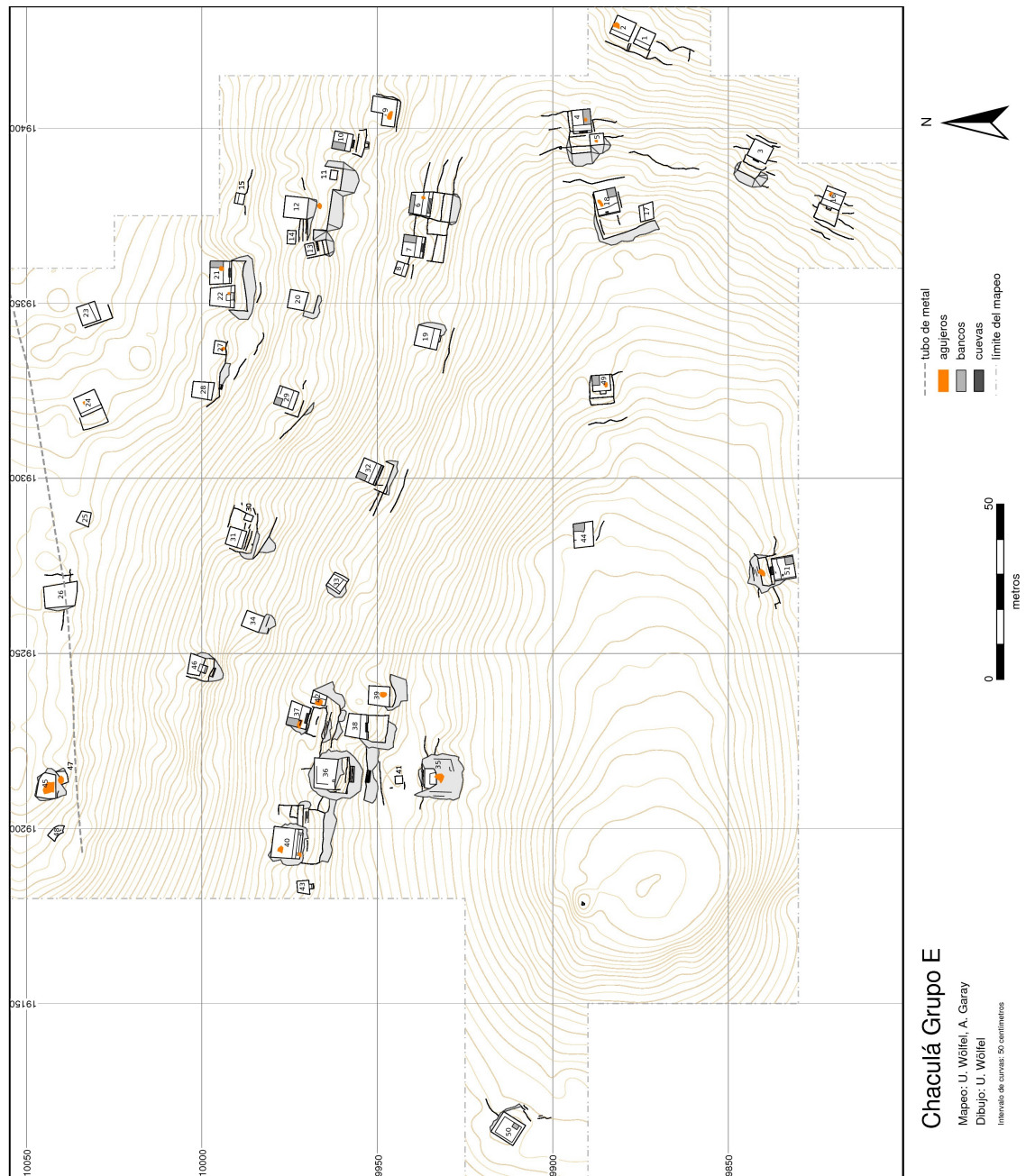


Figura 3.15 Mapa de Chaculá Grupo E, dibujo por U. Wölfel

4 Excavaciones de pozos de sondeo en los Grupos A, C, D y E del sitio arqueológico Chaculá

*Byron Hernández, Manuel Guzmán, Dora García,
Alejandro Garay*

Continuando el programa de excavaciones en el sitio arqueológico Chaculá iniciado por PARCHA en el año 2014, se ejecutó un total de 20 pozos sondeo en los Grupos A, C, D y E (Figuras 4.1, 4.2, 4.3, 4.4). Los trabajos efectuados corresponden a la Operación 3 de PARCHA 2015. El objetivo de estas nuevas excavaciones era obtener más informaciones acerca de la cronología del asentamiento en dichos grupos, así como las posibles funciones de algunas de sus estructuras. Debido a los resultados de la temporada 2014, en la cual se determinó una sola fase de construcción en todos los 20 pozos excavados, se dio atención especial al aspecto de la estratigrafía para averiguar si los Grupos C, D y E también conforman a este patrón.

Las dimensiones de las unidades fueron determinados de acuerdo al objetivo de cada excavación. Todos los pozos de sondeo tenían dimensiones iniciales de 1.00 m × 1.00 m, los cuales en algunos casos fueron ampliados para el seguimiento y de acuerdo a los rasgos encontrados. La excavación vertical se llevó a cabo por niveles estratigráficos y culturales hasta llegar a suelo estéril o roca madre, la cual consiste en caliza en Chaculá. Se llevó a cabo la documentación de las unidades y los hallazgos con notas de campo, fotografías y dibujos realizados a escala 1:20. Las coordenadas de cada uno de los pozos fueron medidas por medio de la estación total. Al finalizar, todas las excavaciones fueron rellenadas adecuadamente.

De los 21 pozos de sondeo se ubicaron dos en Grupo A, once en Grupo C, cuatro en Grupo D y cuatro en Grupo E. Los pozos fueron ubicados (a) cerca de edificios con carácter habitacional con el objetivo principal de localizar basureros y (b) en plataformas cerca de edificios con el fin de buscar rasgos arquitectónicos (pisos de estuco) para la observación de la sucesión cronológica relativa para lograr el fechamiento de los edificios

con que están asociados.

Además de los 21 pozos de sondeo se realizó una excavación de rescate en la Estructura D-6, debido a que en esta estructura se descubrió un saqueo reciente.

Grupo A

Unidad: TP-A-16

Dimensiones: 1.00 m × 1.00 m

No. Estratos: 2

No. Lotes: 1

Profundidad Máxima: 0.77 m

Ubicación: 12 metros al sur de la piedra parada, en el reservorio del grupo

Objetivo: localizar un basurero para poder confirmar la cronología establecida en las excavaciones de la temporada del año anterior

Figuras: 4.5, 4.6

Descripción: Se pudo observar dos estratos naturales y se definió un lote de material cerámico lo cual se describe a continuación.

Estrato 1: Humus, compuesto por raíces pequeñas, hojas, y mucha saturación de humedad lo cual formaba un lodo muy viscoso. No se observó material.

Estrato 2: Barro café con presencia de pocas raíces. La saturación de humedad provocaba que este estrato se tornara en un lodo acuoso y viscoso. El agua se filtraba desde el suelo del pozo por lo cual se suspendió la excavación al encontrar el nivel freático.

Lote 1: 10 tiestos muy pequeños y erosionados.

Comentarios: La presencia de poco material en la excavación demuestra la evidente actividad humana en el lugar aunque esta no sea más que una acción muy esporádica. A la vez, a partir de los estratos naturales y la presencia de nivel freático a poca profundidad, y las áreas inundadas en las proximidades de la excavación refuerzan la afirmación de que este lugar fue utilizado como reservorio de agua.

Unidad: TP-A-17

Dimensiones: 1.00 m × 1.00 m

No. Estratos: 3

No. Lotes: 1

Profundidad Máxima: 0.54 m

Ubicación: en el reservorio del Grupo A

Objetivo: realizar fechamiento del reservorio con el material hallado

Figuras: 4.7

Descripción: En la excavación efectuada de acuerdo a los niveles estratigráficos de la unidad se definieron 3 niveles y 1 lote, descritos a continuación:

Estrato 1: capa de humus. Compuesto principalmente por hojas húmedas descompuestas. Presentó un grosor máximo de 0.05 m. No se identificó ningún lote debido a la ausencia de material.

Estrato 2: relleno. Barro gris. Muy húmedo, de consistencia compacta y de textura granulosa. Presentó un grosor máximo de 0.49 m. Se definió un lote con el material recolectado en este nivel.

Lote 1: 46 tiestos.

Estrato 3: Barro café amarillento muy compacto y húmedo. Nivel estéril de la unidad. No se encontró material asociado a este. Finaliza la excavación

Comentarios: Se confirma que la función original del área fue en efecto la de un reservorio debido a la propiedad de los niveles inferiores de retener el agua filtrada y drenada desde los terrenos más elevados en donde se encuentran ubicadas las estructuras que conforman el Grupo A. El poco material recolectado confirma una sola fase de ocupación en el área.

Grupo C

Unidad: TP-C-1

Dimensiones: 2.00 m × 1.00 m

No. Estratos: 6

No. Lotes: 18

Profundidad Máxima: 2.97 m

Ubicación: depresión al noroeste del reservorio del Grupo C

Objetivo: localizar presencia de estuco o algún recubrimiento y rasgos estructurales que demostrara la función del área como reservorio

Figuras: 4.8, 4.9, 4.10, 4.11, 4.12, 4.13

Descripción: Se encontró al sur del pozo un relleno compuesto por varios tipos de tierra y piedra. Hacia el norte se observaron estratos de barro compacto. Se encontró abundante material, principalmente cerámica el cual se registró en 18 lotes diferentes. La excavación original inició con dimensiones de 1.00 m × 1.00 m, la cual se extendió 0.50 m al sur, esta ampliación se designó como Extensión A. Posteriormente se efectuó otra prolongación de 0.50 m en la misma dirección y se nombró Extensión B. Los hallazgos se describen a continuación.

Estrato 1: Humus, compuesto por raíces pequeñas, piedras de diferentes tamaños cuyo diámetro máximo en promedio eran de 0.15 m. Se recuperó un lote de material.

Lote 1: 17 tiestos erosionados distribuidos en todo el estrato

Estrato 2: Barro café oscuro compacto con presencia de raíces pequeñas y piedras. Se definieron dos lotes de cerámica.

Lote 2: 21 tiestos erosionados.

Lote 3: 2 tiestos erosionados en la Extensión A

Estrato 3: A este nivel se unificó el pozo original con la Extensión A, por lo cual el registro de los materiales se realizó como una sola unidad de excavación. Este estrato se componía por barro de color gris, compacto, craquelado en la superficie, con presencia de raíces y piedras de un diámetro promedio de 0.20 m.

Lote 4: 32 tiestos erosionados

Lote 5: 9 tiestos que posiblemente pertenecen a una vasija semi completa. Se localizaron en el extremo noreste de la excavación.

Lote 6: 85 tiestos dispersos en todo el estrato.

Lote 7: 75 tiestos erosionados

Intrusión en estrato gris. Barro negro, compacto. Presencia de algunas raíces pequeñas y piedras de diámetro promedio de 0.10 m. Esta coloración se observó únicamente junto al perfil sureste del pozo.

Lote 8: 1 caracol

Lote 9: 300 tiestos erosionados dispersos en todo barro color gris.

Lote 10: 36 tiestos erosionados en el barro gris, junto al barro café.

Lote 11: 33 tiestos dispersos en el barro color café.

Lote 12: 25 tiestos en barro gris.

Extensión B

Estrato 4: Barro color negro, poco compacto con presencia de pequeñas raíces y rocas de diferentes tamaños. Este estrato es el primero que se localizó en la Extensión B de la excavación. De aquí en adelante, únicamente se profundizó en esta extensión por las coloraciones de los diferentes barros encontrados.

Lote 13: 80 tiestos erosionados. 1 molar de animal, posiblemente equino.

Lote 14: 24 tiestos, 170 caracoles, 1 fragmento de hueso largo, posiblemente animal.

Estrato 5: Barro color gris oscuro. Presencia de rocas de distintos tamaños. El suelo se observó con mucha saturación de humedad.

Lote 15: 57 tiestos junto al perfil oeste. 6 fragmentos de hueso posiblemente de cráneo, asociados a los tiestos anteriores. 1 fragmento de figurilla (mano).

Lote 16: 125 tiestos erosionados provenientes de una inserción de color negro al este del estrato gris.

Estrato 6: Barro color gris claro. Saturado de mucha humedad lo que producía un lodo acuoso, similar al cemento. Presencia de rocas de diferentes tamaños.

Lote 17: 90 tiestos erosionados.

Lote 18: 19 tiestos, junto a un estrato color café claro.

Comentarios: se finalizó la excavación por las dificultades que presentaba la presencia del nivel freático, lo estrecho del pozo y las rocas en su interior.

Por los diferentes estratos y lo revuelto de los mismos, se puede inferir la clara intervención humana en la modificación de este espacio. Esta afirmación puede sustentarse por los hallazgos efectuados.

A pesar de encontrarse distintas concentraciones de material, estos no parecían corresponder a piezas que pudieran estar completas o semi-completas, por el contrario, aparentaban ser parte de los rellenos por encontrarse en coloraciones específicas de la tierra.

Por la distribución de los materiales puede considerarse este depósito como un basurero.

Aunque no se encontraron evidencias de ningún material que recubriera la superficie o demostraran la presencia de elementos estructurales bien definidos, si puede establecerse que el lugar funcionó como depósito de agua de mayor permanencia al momento de que el reservorio completo pudiera secarse. Esto puede reforzarse por lo impermeable de los diferentes estratos encontrados. También por las observaciones efectuadas durante la temporada de excavación, en donde se apreció la presencia de agua en el lugar durante todo el tiempo de lluvia y durante la ausencia de las mismas.

Unidad: TP-C-2

Dimensiones: 1.00 m × 1.00 m

No. Estratos: 5

No. Lotes: 3

Profundidad Máxima: 1.44 m

Ubicación: pequeña depresión del reservorio del Grupo C

Objetivo: asociar la pequeña depresión con la función de un antiguo reservorio e identificar basurero para realizar fechamiento del área

Figuras: 4.14, 4.15

Descripción: En la excavación efectuada de acuerdo a los niveles estratigráficos de la unidad se definieron 5 niveles y 3 lotes, descritos a continuación:

Estrato 1: delgada capa de humus. Compuesto principalmente por raíces pequeñas y hojas. Presentó un grosor máximo de 0.04 m. Se identificó un lote.

Lote 1: 3 tiestos.

Estrato 2: relleno. Barro marrón. Húmedo, de consistencia compacta y de textura granulosa. Presentó un grosor máximo de 0.25 m. No se identificó ningún lote debido a la ausencia de material.

Estrato 3: relleno. Barro gris oscuro, muy compacto, mezclado con piedras caliza medianas. Presentó un grosor máximo de 0.33 m. Se definió un lote con el material recolectado en este nivel.

Lote 2: 47 tiestos.

Estrato 4: relleno. Piedras grandes de caliza con barro gris muy compacto y húmedo. Presentó un grosor máximo de 0.80 m. Se identificó un lote.

Lote 3: 5 tiestos.

Estrato 5: Barro café amarillento muy compacto con piedras grandes de caliza. Nivel estéril de la unidad. No se encontró material asociado a este. Se detuvo la excavación.

Comentarios: En esta unidad se logró determinar que la función original del área fue en efecto la de un reservorio debido a la propiedad de los niveles inferiores de retener el agua filtrada y drenada desde los terrenos más elevados en donde se encuentran ubicadas las estructuras que conforman el Grupo C.

Unidad: TP-C-3

Dimensiones: 1.00 m × 1.00 m

No. Estratos: 4

No. Lotes: 5

Profundidad Máxima: 1.38 m

Ubicación: Estructura C-9, al suroeste de la plaza

Objetivo: definir parte de los muros de la estructura en relación al subterráneo ubicado en este, posibles pisos y obtener materiales cerámicos para cronología

Figuras: 4.16, 4.17, 4.18

Descripción: A partir de niveles estratigráficos, se definieron 4 estratos y 5 lotes, además de una extensión al suroeste de la unidad de excavación para encontrar el límite del subterráneo.

Estrato 1: Broza superficial y humus húmedo con abundantes raíces, con un grosor de 0.50 m.

Lote 1: 20 tiestos.

Estrato 2: Tierra negra de consistencia dura y chiclosa que se va compactando en terrones. Aparecen algunas piedras pequeñas sueltas, el grosor de este estrato es de 0.20 m. De este estrato se separan dos lotes debido a la evidencia de carbón asociado a una pieza posiblemente semi-completa.

Lote 2: 30 tiestos, 2 obsidiana.

Lote 3: 10 tiestos, 1 muestra de carbón

Estrato 3: Relleno de tierra negra dura y compacta con piedrín, con un grosor de 0.15 m. En este estrato se encontró un fragmento de hueso largo, posiblemente de un brazo humano, asociado al nivel anterior con los restos de una vasija y carbón. Estos hallazgos localizados al suroeste de la unidad, hacia la plataforma del subterráneo. Se separaron dos lotes de material a partir del hallazgo.

Lote 4: 9 Fragmentos de vasija semi-completa, 5 fragmentos de hueso.

Lote 5: 35 tiestos.

Estrato 4: Nivel estéril, roca caliza. Sin evidencia de materiales.

Comentarios: En esta unidad no fue posible identificar ningún piso debido a la erosión del terreno. Sin embargo se definió el estrato cultural (tierra negra dura y compacta), con abundancia de cerámica y evidencia de hueso y una vasija completa del período Clásico Tardío. Arquitectónicamente se definieron los dos muros, el primero que corresponde a la plataforma principal adecuada a la terraza de este conjunto y un segundo de la pequeña plataforma donde se ubica uno de los denominados “subterráneos”. Del material de cernido del último estrato se recuperó un fragmento de hueso, posiblemente un diente animal.

Unidad: TP-C-3, Extensión A

Dimensiones: 1.00 m × 1.00 m

No. de Estratos: 2

No. de Lotes: 2

Profundidad Máxima: 1.20 m

Objetivo: Se realizó una extensión de 1.00 m × 1.00 m hacia el suroeste del pozo inicial, con el propósito de definir mejor el muro de la pequeña plataforma, además de la naturaleza y el acondicionamiento del “subterráneo” a ésta.

Figuras: 4.16, 4.17, 4.18

Descripción: Siguiendo los niveles estratigráficos, se lograron definir dos estratos y dos lotes respectivamente.

Estrato 1: Humus suelto con abundantes raíces y broza, con grosor de 0.70 m.

Lote 1: 465 tiestos, 5 obsidiana.

Estrato 2: Relleno de tierra negra con piedras grandes y pequeñas abundantes, y raíces con grosor de 0.28 m. que se va acondicionando a la pared del subterráneo, construido en el terreno natural de roca caliza, en declive hacia el muro de la plataforma de éste.

Lote 2: 368 tiestos, 1 obsidiana.

Comentarios: La extensión realizada permitió definir como el subterráneo fue construido con rocas naturales colocadas siguiendo la disposición de la terraza y el suelo natural, dándole forma a dicha cámara, sin el uso de algún tipo de argamasa. La presencia de una vasija completa, asociada a carbón y restos óseos, son elementos importantes que podrían estar asociados a estos subterráneos, aunque aún es necesario obtener más elementos de análisis a partir de futuras excavaciones en este tipo de construcciones para poder determinar de mejor manera su uso y naturaleza.

Unidad: TP-C-4

Dimensiones: 1.00 m × 1.00 m

No. Estratos: 3

No. Lotes: 1

Profundidad Máxima: 0.46 m

Ubicación: al pie de la esquina noreste de la Estructura C-6

Objetivo: identificar basurero asociado a la estructura

Figuras: 4.19, 4.20

Descripción: En la excavación efectuada de acuerdo a los niveles estratigráficos de la unidad se definieron 3 niveles y 1 lote, descritos a continuación:

Estrato 1: capa de humus conformada principalmente de hojas secas y abundantes raíces. Presentó un grosor máximo de 0.04 m. No se identificó ningún lote por ausencia de material.

Estrato 2: relleno. Barro marrón mezclado con raíces piedras de caliza de pequeño tamaño. Húmedo, de consistencia compacta y de textura granulosa. Presentó un grosor máximo de 0.30 m. Se identificó un lote.

Lote 1: 16 tuestos.

Estrato 3: Barro café amarillento muy compacto con piedra caliza de mediano tamaño. Nivel estéril de la unidad. No se encontró material asociado a este. Final de la excavación.

Comentarios: La pequeña cantidad de material recolectado en esta unidad confirma la ausencia de basurero alguno en el área norte de la Estructura C-6 que corresponde a uno de sus lados. No se identifica más de una etapa de ocupación.

Unidad: TP-C-5

Dimensiones: 1.00 m × 1.00 m

No. Estratos: 6

No. Lotes: 6

Profundidad Máxima: 1.93 m

Ubicación: localizada en una terraza delimitada por las Estructuras C-9, C-10, C-11, C-12, C-13 y C-14, específicamente al norte de la Estructura C-13, alineada a dos hileras de piedra labrada las cuales parecen limitar un corredor que se adentra en la estructura

Objetivo: conocer la estratigrafía del sector

Figuras: 4.21, 4.22, 4.23, 4.24

Descripción: fueron identificados seis estratos naturales y culturales de los cuales se registraron seis lotes que se describen a continuación:

Estrato 1: Conformado por una capa de tierra café medio con piedrines pequeños y pocas piedras grandes concentradas hacia el perfil este, presentó muchas raíces pequeñas y medianas. Mostró una consistencia poco compacta y algunos terrones por la humedad. Se alcanzó una profundidad de 1.37 m hacia la esquina sur.

Lote 1: Se recuperó cerámica.

Estrato 2: presentó una estructura interna heterogénea por la presencia de piedras medianas con cerámica y raíces dentro de una matriz de tierra color café oscuro, arcilloso y medio compacto. Se finalizó en una profundidad 1.44 m en la esquina sur.

Lote 1: Se recuperó cerámica y obsidiana.

Estrato 3: el estrato presentó la misma composición que el nivel anterior, se hizo una separación en el registro ya que se observó menor cantidad de cerámica y mayor presencia de piedras medianas. Se alcanzó una profundidad de 1.57 m en la esquina sur.

Lote 1: Se recuperó cerámica.

Estrato 4: La matriz de este nivel consistió en tierra café oscuro con piedras pequeñas, medianas y grandes, algunos piedrines y raíces medianas. Se llegó a una profundidad en su esquina sur de 1.63 m.

Lote 1: se recuperó cerámica.

Estrato 5: compuesto por barro muy compacto con piedras pequeñas y grandes. Se profundizó hasta 1.63 m en su esquina sur.

Lote 1: cerámica, pedernal, jute y caracol.

Estrato 6: Nivel de arcilla de consistencia muy compacta con piedrines y poca piedra mediana. Se alcanzó una profundidad de 1.73 m.

Lote 1: Se recuperó cerámica y jute.

Comentarios: La unidad de excavación presentó seis estratos, en el primero de ellos se observaron algunas piedras grandes hacia el este que probablemente consistan en piedras de derrumbe provenientes de la Estructura C-13 las cuales fueron removidas por la vegetación, específicamente por un árbol que se observó muy cerca de la esquina este del trazo del sondeo. El segundo estrato podría evidenciar el último nivel de ocupación aunque es difícil de determinar por la ausencia de estuco, probablemente por su cercanía a la superficie, pero su abundante cerámica

y los piedrines podrían indicar el último nivel de ocupación y el relleno de nivelación del piso y parte del relleno de la plataforma sobre la cual fue construida la Estructura C-13.

El tercer estrato presentó las mismas características que el nivel anterior solamente que con menor cantidad de cerámica, este es posible que consista, junto con el estrato anterior, en el relleno de nivelación de la plataforma que sirvió de base para la construcción de la Estructura C-13. Los niveles cuatro, cinco y seis consisten en capas de nivelación conformadas por piedras de distintos tamaños y la estructura interna de cada estrato varió de color y dureza hacia la capa más profunda.

Se finalizó la excavación debido a que se redujo el área del sondeo.

Los datos parciales obtenidos sobre la cronología del sondeo indican presencia de material Clásico Tardío.

El datum se ubicó a 1.10 m al sureste del pozo de sondeo. Con el fin de identificarlo se removió la corteza y se realizó una marca.

Una aproximación a la arquitectura

La Estructura C-13 localizada al sureste de la terraza, consiste en una construcción de aproximadamente 4.10 m × 3.80 m, presenta un solo acceso que abre hacia el patio. El ingreso a la estructura es a partir de una plataforma constituida por una hilera de piedra labrada formando un descanso de 1.93 m que conduce a dos alineamientos de por lo menos una hilera de piedras labradas dispuestas horizontalmente de noreste a suroeste separadas cada una por 0.40 m, el primer alineamiento se encuentra a -1.23 m y el segundo a -1.16 m desde el datum. Hacia el centro de ambos alineamientos se observó un vano que consiste un pasillo de aproximadamente 0.75 m de ancho y 3.80 m de largo el cual divide la estructura en dos secciones.

La sección al este del pasillo consiste en una plataforma de una hilera de piedras labradas dispuestas horizontalmente a excepción del alineamiento al sureste que corresponde al muro que limita la terraza en este sector. La segunda sección de la estructura consiste en dos alineamientos de piedra conformados por lo menos por una hilera de piedra horizontal, ambas hileras desfasadas por 0.40 m, la primera (sureste) más profunda que la segunda (suroeste).

En cuanto a la descripción de la arquitectura es necesario mencionar que se realizó en base a observación de superficie por lo que se necesita complementar y/o corregir los datos anteriores con los del técnico en arqueología Alejandro Garay quien realizó la excavación de la unidad TP-C-6 dentro de la misma estructura.

Unidad: TP-C-6

Dimensiones: 1.50 m × 2.00 m

Las dimensiones originales de esta unidad fueron de 1.00 m × 1.00 m, pero al finalizar la excavación en la unidad original, se decidió realizar una serie de 4 ampliaciones de 0.50 m × 1.00 m de manera consecutiva, ampliando la superficie excavada en un metro cuadrado al sur (Extensiones B y C) y medio metro cuadrado al oeste (Extensiones A y D), el propósito de estas extensiones fue definir mejor la disposición y límites de los muros interiores de la Estructura C-13. Cada una de estas extensiones fue excavada de manera independiente, una de la otra y de la unidad original.

No. Estratos: 3

No. Lotes: 16

Profundidad Máxima: 1.82 m

Ubicación: al centro y sur de la Estructura C-13

Objetivo: determinar si la Estructura C-13 fue un temazcal

Figuras: 4.25, 4.26, 4.27

Descripción: Se identificaron tres estratos y dieciséis lotes en la unidad, que se describen a continuación.

Estrato 1: Capa orgánica con hojas, raíces y humus. Color café oscuro, poco compactada y con presencia de pedrín y varias piedras de derrumbe. Presentó un grosor máximo de 0.30 m. Solo se identificó un lote. Este estrato fue registrado tanto en la unidad original, como en las extensiones.

Lote 1 (unidad original): 88 tiestos.

Lote 1 (extensión oeste-A): 20 tiestos.

Lote 1 (extensión sur-B): 21 tiestos.

Lote 1 (extensión sur-C): 8 tiestos.

Lote 1 (extensión suroeste-D): 17 tiestos.

Estrato 2: Capa de tierra café oscura compacta y arcillosa con raíces y pedrín de caliza como inclusión (menor a 2.0 cm de diámetro). A partir de los cambios menores observados en la estratigrafía, se separó el material excavado en dos lotes. En el Lote 1 el pedrín era escaso, mientras que en Lote 2 se observó

una presencia abundante del mismo pedrín. Este estrato presentó un grosor máximo de 0.41 m en el Lote 1 y de 0.22 m en el Lote 2. Se identificó este estrato en todas las unidades excavadas, excepto en la extensión oeste-A, donde se lo registró pero no se observó mayor presencia de pedrín.

Lote 1 (unidad original): 70 tiestos.

Lote 1 (extensión oeste-A): 32 tiestos y 1 caracol pequeño.

Lote 1 (extensión sur-B): 33 tiestos, 8 fragmentos de carbón y 1 fragmento de obsidiana.

Lote 1 (extensión sur-C): 24 tiestos y 1 fragmento de hueso.

Lote 1 (extensión suroeste-D): 17 tiestos.

Lote 2 (unidad original): 61 tiestos y 7 fragmentos de carbón.

Lote 2 (extensión sur-B): 99 tiestos.

Lote 2 (extensión sur-C): 113 tiestos y 1 fragmento de obsidiana.

Lote 2 (extensión suroeste-D): 20 tiestos.

Estrato 3: Corresponde con un depósito de tierra gris fina y arenosa con mucho carbón, ubicado al noroeste de la unidad original, dentro del Estrato 2. Se observaron algunos cambios menores en la estratigrafía, por lo que el material excavado se separó en dos lotes: el Lote 1 se registró donde la tierra gris tuvo algunas inclusiones de pedrín de caliza (de menos de 2.0 cm de diámetro) y piedra, al excavar estas inclusiones desaparecieron, por lo que el material encontrado más abajo se registró como el lote 2. Este estrato presentó un grosor máximo de 0.12 m en el Lote 1 y de 0.30 m en el Lote 2.

Lote 1: 146 tiestos y 7 fragmentos de carbón.

Lote 2: 21 tiestos, 17 fragmentos de carbón, 1 raíz carbonizada y 1 muestra de tierra.

Comentarios: Se documentaron tres muros en este estrato, todos ellos se encuentran conectados, formando una U. Solo se excavó frente a ellos, para delimitarlos mejor. El que fue registrado al este de la excavación es el que se encuentra mejor conservado, mientras que su paralelo al oeste ha perdido varias piedras de sus hileras. Es probable que dichas piedras hayan sido removidas de su lugar por las cercanas raíces de un árbol, que penetraron profundamente en la estructura. Al sur se encontraba el más pequeño y deteriorado de los tres, sobre todo en sus esquineros con los otros muros. Algunas de sus piedras sobresalen en la superficie.

El espacio en U que forman los muros registrados es muy pequeño, se sugirió en algún momento que esta disposición podría corresponder con el interior de un temazcal, pero la ausencia de piedras de río, que son fundamentales en la generación del vapor al interior del mismo, hace que dicha identificación no pueda sostenerse.

La parte más baja del Estrato 2, donde se definió el Lote 2, parece corresponder con el piso en uso en época prehispánica, ya que su composición de tierra con mucho piedrín parece propia de un piso preparado. Se excavó hasta este estrato en toda la unidad, ya que los muros de la estructura C-13 ya habían sido definidos claramente y el área de excavación se restringía solamente al espacio entre dichos muros, haciendo difícil continuar. A partir de lo excavado se puede definir solo una etapa de ocupación y construcción para esta estructura.

La presencia del Estrato 3 de manera intrusiva y exclusiva en la parte norte del pozo hace pensar que su origen es natural y no cultural, quizás debido a la raíz de un árbol que fue golpeado por un rayo y se carbonizó en el lugar que ocupaba dentro de la tierra. Se encontraron varios fragmentos de raíz quemados durante la excavación, lo que brinda apoyo a dicha explicación.

Unidad: TP-C-7

Dimensiones: 1.00 m × 1.00 m

No. Estratos: 4

No. Lotes: 4

Profundidad Máxima: 1.28 m

Ubicación: entre Estructuras C-11 y C-12 en su parte posterior

Objetivo: encontrar un posible basurero

Figuras: 4.28, 4.29

Descripción: A partir de niveles stratigráficos, se definieron 4 estratos y 4 lotes, respectivamente.

Estrato 1: Capa gruesa de broza y humus húmedo, con un grosor de 0.36 m.

Lote 1: 2 tiestos.

Estrato 2: Tierra negra dura y compacta en terrones con raíces abundantes, con un grosor de 0.29 m. Al noreste del pozo se encontró una piedra tallada posiblemente de derrumbe de uno de los edificios.

Lote 2: 82 tiestos, 1 obsidiana.

Estrato 3: Tierra negra dura y compacta con piedrín y pómez, con grosor de 0.37 m.

Lote 3: 41 tiestos, 1 obsidiana, 1 pedernal.

Estrato 4: Tierra café claro con vetas oscuras, piedrín y pómez con un grosor de 0.13 m. Al inicio de este estrato se encontró un fragmento de hueso de animal y restos de carbón.

Lote 4: 3 tiestos, 1 hueso, muestra de carbón.

Comentarios: Los resultados de esta excavación fueron distintos a el objetivo esperado, encontrar un posible basurero. Sin embargo la evidencia permitió recuperar materiales en estratos definidos para el área.

Unidad: TP-C-8

Dimensiones: 1.00 m × 1.00 m

No. Estratos: 4

No. Lotes: 5

Profundidad Máxima: 1.34 m

Ubicación: ubicado sobre lo que parece ser una plataforma justo en un área parecida a un corredor entre las Estructuras C-22 y C-23

Objetivo: conocer la estratigrafía del sector

Figuras: 4.30, 4.31, 4.32

Descripción: se observaron cuatro estratos naturales y culturales en los que se identificaron cinco lotes descritos en los párrafos a continuación.

Estrato 1: Estrato de color café medio claro con pocas raíces. Este y el estrato cero podrían corresponder a un mismo nivel. Se alcanzó una profundidad máxima de 0.82 m. No presentó material arqueológico.

Estrato 2: Nivel de tierra negra arcillosa, y poco compacta con bastantes raíces. Con la finalidad de llevar un control apropiado del material se decidió separar el estrato en dos lotes.

Lote 1: se finalizó a una profundidad de 1.03 m, se recuperó cerámica y fragmentos de obsidiana.

Lote 2: se finalizó una profundidad de 1.15 m y se recuperó cerámica.

Estrato 3: Consiste en una capa de tierra arcillosa de color negro de consistencia compacta y viscosa con inclusiones de piedrines pequeños que presentan medidas promedio entre 2.5 cm y 0.5 cm. Se observó un cambio en el estrato a una profundidad de 1.25 m.

Lote 1: se recuperó cerámica, un jute y carbón.

Estrato 4: corresponde a un nivel cuya matriz está conformada por arcilla grisácea con inclusiones de piedrines pequeños, pocas raíces pequeñas y algunas medianas. Las piedras presentaron coloración amarillenta y son porosas. Se llegó a una profundidad máxima de 1.45 m hasta estrato estéril.

Lote 1: se recuperó cerámica.

Comentarios: Los estratos de este sondeo parecen corresponder a capas de nivelación y relleno de la plataforma sobre la que se encuentran construidas las Estructuras C-22 y C-23. Del primer estrato no se recuperó material arqueológico probablemente por la poca profundidad que alcanzó antes de cambiar de color. El segundo nivel presentó relativamente mayor cantidad de cerámica que el resto de estratos del sondeo, lo que podría corresponder a la capa de ocupación o al primer relleno constructivo de la plataforma y, aunque fue posible identificar una diferencia en la composición de los estratos uno y dos aun no se logró determinar a qué contexto arqueológico corresponden, para ello se hará necesario continuar con las excavaciones en este sector. El nivel tres y cuatro fueron interpretados como capas de relleno constructivo ya que se observó presencia de piedrines y piedras hasta encontrar la roca natural, en estos estratos se recuperó menor cantidad de cerámica que en los lotes del nivel dos.

La cronología parcial de este sondeo corresponde al período Clásico Tardío.

El datum de esta unidad fue localizado a 1.22 m al oeste del sondeo. Se removió la corteza y se realizó una marca para identificarlo.

Unidad: TP-C-9

Dimensiones: 1.00 m × 1.00 m

No. Estratos: 5

No. Lotes: 8

Profundidad Máxima: 1.18 m

Ubicación: localizada sobre una plataforma observable al noroeste de la Estructura C-29 al pie de una elevación de terreno que presenta una orientación distinta a la plataforma sobre la que se encuentra la Estructura C-29 y parece consistir en una construcción antrópica

Objetivo: conocer la estratigrafía del sector

Figuras: 4.33, 4.34, 4.35

Descripción: fueron identificados cinco estratos naturales y culturales de los cuales se registraron ocho lotes que se describen a continuación:

Estrato 1: Nivel compuesto por tierra negra con raíces y pocos piedrines. Presentó algunos terrones por la humedad del terreno a causa de lluvias recientes. Se observó un cambio en la matriz a una profundidad de 0.77 m.

Lote 1: se recuperó cerámica y una lasca de obsidiana.

Estrato 2: la estructura interna de la matriz consistió en tierra negra con pocos piedrines blancos y poco compactos casi como la consistencia de un yeso. Se encontraron dos piedras medianas hacia el perfil sureste y una piedra grande hacia la esquina noroeste. Se observó abundante cerámica, algunos de los tiestos continúan entre los perfiles. Se alcanzó una profundidad máxima de 0.80 m.

Lote 1: se recuperó abundante cerámica y a 0.83 m de profundidad, a 0.37 m del perfil sur se encontraron tiestos que parecen ser de una misma vasija.

Estrato 3: consistió en tierra arcillosa negra muy compacta. Este nivel fue dividido en dos lotes por cuestiones de control del material, el primer lote corresponde en lo recuperado hacia el norte del pozo y el lote 2 conformado por los hallazgos hacia el oeste del pozo. Se finalizó la excavación de este nivel a 0.92 m de profundidad.

Lote 1: se recolectó abundante cerámica, pedernal, cuarzo, carbón, obsidiana y piedra negra brillante.

Lote 2: se recuperó cerámica.

Estrato 4: consiste en tierra negra con piedrines y piedras medianas, la tierra se presenta menos compacta. Del medio del pozo hacia el norte, en un principio parecía no presentar material arqueológico pero unos centímetros más abajo se comenzó a observar gran cantidad de cerámica bajo las piedras. Se dividió el nivel en tres lotes, el primer lote corresponde al material recuperado del centro

del pozo hacia el norte, el segundo lote consiste en el material recuperado del medio del pozo al sur y el tercero conformado por restos de una vasija casi completa en la esquina sureste del pozo que presentó características de exposición térmica. Se llegó a una profundidad máxima de 1.01 m.

Lote 1: presentó la mayor concentración de cerámica, una piedra indeterminada, carbón, pedernal y obsidiana.

Lote 2: se recuperó menor concentración de cerámica y pedernal.

Lote 3: tiestos de una misma vasija, pedernal y obsidiana.

Estrato 5: la matriz compuesta por tierra café medio con piedras grandes, piedrines y raíces pequeñas. Se observó que las piedras de mayores dimensiones consisten en la roca natural. Se finalizó la excavación a 1.19 m de profundidad ya que se llegó a estrato estéril.

Lote 1: se recuperó cerámica y una piedra trabajada indeterminada.

Comentarios: El sondeo TP-C-9 aportó abundante cerámica proveniente específicamente de los estratos tres, cuatro y cinco. Tales niveles parecen conformar un tipo de depósito en el que se además de cerámica se recuperaron otros materiales arqueológicos como distintos tipos de lítica y carbón. Se finalizó la excavación en nivel estéril.

La observación parcial del material indica que esta unidad data para el Clásico Tardío.

El datum de esta unidad fue ubicado al noroeste del sondeo en un árbol al que se le removió la corteza para su mejor identificación.

Unidad: TP-C-10

Dimensiones: 1.00 m × 1.00 m

No. Estratos: 3

No. Lotes: 1

Profundidad Máxima: 1.10 m

Ubicación: área periférica este del reservorio del Grupo C

Objetivo: determinar la composición estratigráfica del reservorio del Grupo C en niveles superiores

Figuras: 4.36

Descripción: En la excavación efectuada de acuerdo a los niveles estratigráficos de la unidad se definieron 3 niveles y 1 lote, descritos a continuación:

Estrato 1: delgada capa de humus con barro marrón muy húmedo y con abundantes raíces. Presentó un grosor máximo de 0.07 m. No se identificó ningún lote por ausencia de material.

Estrato 2: relleno. Barro gris con raíces. Húmedo, de consistencia compacta y de textura granulosa. Presentó un grosor máximo de 0.85 m. Se identificó un lote.

Lote 1: 22 tiestos.

Estrato 3: Barro café amarillento muy compacto. Nivel estéril de la unidad. No se encontró material asociado a este. Final de la excavación.

Comentarios: Los aspectos destacables en la unidad es la ausencia de piedra caliza de gran tamaño que se encontró en cantidad considerable en las unidades excavadas en la depresión del reservorio, a la menor profundidad que se requirió para llegar a suelo estéril y el poco material asociado. Esto indica que el área periférica del reservorio no fue modificado, permaneciendo inalterable la estratigrafía natural del terreno.

Unidad: TP-C-11

Dimensiones: 1.00 m × 1.00 m

No. Estratos: 3

No. Lotes: 3

Profundidad Máxima: 0.86 m

Ubicación: la excavación fue localizada al sureste del TP-C-9, sobre la elevación de terreno de distinta orientación con evidencias de ser antrópica

Objetivo: conocer la estratigrafía de la elevación del terreno y corroborar si se trata de una plataforma, de ser este el caso intentar conocer diferencias en la cronología de esta unidad con la unidad TP-C-9 para verificar si se trata de una primera etapa de la plataforma

Figuras: 4.37, 4.38, 4.39

Descripción: fueron identificados tres estratos naturales y culturales de los cuales se registraron tres lotes que se describen a continuación:

Estrato 1: compuesto por tierra café medio con raíces. Se llegó a una profundidad máxima de 0.56 m.

Lote 1: se recuperó cerámica y pedernal.

Estrato 2: tierra color café negro con piedras, algunas de ellas labradas. Hacia el sector este se observan piedras en superficie que corresponden a la roca natural. Se excavó a una profundidad máxima de 0.78 m.

Lote 1: se recuperó cerámica y pedernal.

Estrato 3: consiste en tierra café medio con piedrines, piedras y pocas raíces.

Lote 1: se recolectó cerámica.

Comentarios: A pesar de su cercanía con la unidad TP-C-9, de esta excavación no se recuperó gran cantidad de cerámica. En el caso de este sondeo se fue descubriendo la roca natural desde el nivel de superficie hasta el segundo estrato en el que se finalizó la excavación ya que se corroboró que si se trataba del nivel natural. En conclusión se confirmó que esta elevación en el terreno consiste en un elemento natural aunque se recomienda continuar con excavaciones en este sector para conocer si a pesar de su carácter natural pudo haber sido modificado y aprovechado por los antiguos pobladores del lugar.

Luego de un análisis preliminar del material la unidad data para el Clásico Tardío.

El datum corresponde al mismo utilizado para las profundidades de la unidad TP-C-9.

Grupo D

Unidad: TP-D-1

Dimensiones: 1.00 m × 1.00 m

No. Estratos: 2

No. Lotes: 1

Profundidad Máxima: 0.50 m

Ubicación: en el extremo norte del reservorio del Grupo D

Objetivo: localizar material cultural y efectuar fechamiento del lugar

Figuras: 4.40, 4.41

Descripción: Se observó un solo nivel cultural. No se recupero mucho material arqueológico. Baja saturación de humedad.

Estrato 1: Humus, formado por tierra negra, abundante presencia de hojas y raíces pequeñas. No se recupero ningún material.

Estrato 2: Barro compacto color café oscuro con poca presencia de raíces pequeñas. La humedad es mayor que en el estrato anterior.

Lote 1: 20 tiestos

Comentarios: Se detuvo la excavación por encontrar suelo estéril, el cual estaba compuesto por tierra amarilla arenosa y piedrín. Por los estratos encontrados puede inferirse que esta parte del reservorio no sufrió modificaciones por acción humana pues no se localizaron rellenos ni acondicionamientos específicos, sin embargo, por la evidencia cultural, se puede determinar la presencia de actividad en el lugar y estos restos pueden indicar los niveles a los que se encontraba el agua al momento de la ocupación.

Unidad: TP-D-2

Dimensiones: 2.00 m × 2.00 m

No. Estratos: 2

No. Lotes: 4

Profundidad Máxima: 0.30 m

Ubicación: junto al lado sur de Estructura D-5

Objetivo: localizar algún basurero para efectuar fechamiento del grupo de estructuras del área a partir del material que se encuentre

Figuras: 4.42, 4.43, 4.44

Descripción: Se pudo observar un estrato cultural y se localizó roca madre muy a flor de tierra. El pozo se trazó con medidas iniciales de 1.00 m × 1.00 m. Posteriormente se realizaron 3 extensiones con el fin de recuperar más material y observar de mejor manera la roca madre. A estas ampliaciones se les designó como A, B, C.

Estrato 1: Humus, formado por tierra negra, abundante presencia de hojas y raíces pequeñas. No se recupero ningún material.

Estrato 2: Barro compacto color café claro con presencia de abundantes raíces pequeñas. Este estrato se encontró entre las separaciones de la roca madre.

Lote 1: 128 tiestos

Extensión A

Estrato 1: Humus, formado por tierra negra, abundante presencia de hojas y raíces pequeñas. No se recupero ningún material.

Estrato 2: Barro compacto color café claro con presencia de abundantes raíces pequeñas. Este estrato se encontró entre las separaciones de la roca madre.

Lote 2: 36 tiestos

Extensión B

Estrato 1: Humus, formado por tierra negra, abundante presencia de hojas y raíces pequeñas. No se recupero ningún material.

Estrato 2: Aproximadamente el 90% de toda la extensión estaba ocupada por la roca madre, en el resto se encontró el mismo barro café oscuro que en el resto de la excavación, el cual solo extrajo de la separación que había entre los bloques de la roca madre.

Lote 3: 39 tiestos

Extensión C

Estrato 1: Humus, formado por tierra negra, abundante presencia de hojas y raíces pequeñas. No se recupero ningún material.

Estrato 2: Al igual que en la Extensión B, la mayor parte del espacio estaba ocupado por la roca madre. El estrato cultural era el mismo que en el resto de la excavación.

Lote 4: 30 tiestos

Comentarios: La excavación se finaliza por la dificultad que presenta excavar entre las ranuras de la roca madre, la cual presentaba formas cuadrangulares con relativa simetría. No se pudo localizar ningún basurero. Esto puede deberse a que por el

contexto espacial del lugar donde se efectuó la excavación podría tratarse de un patio asociado a la Estructura D-5.

Por lo cercano de la roca madre a la superficie, se puede inferir que esta pudo ser utilizada como piso pues la misma tenía una faz bastante plana. Esto puede ser por las formas cuadrangulares observadas, puesto que se encontraron lo que aparentarían ser seis bloques diferentes formados a partir de la roca original y dentro de estas separaciones fue donde se pudo profundizar para recuperar el material.

Probablemente las formas tan geométricas pueden responder a modificaciones realizadas por los habitantes del lugar, posiblemente para drenar aguas pluviales, por la pendiente observada.

Unidad: TP-D-3

Dimensiones: 1.00 m × 1.00 m

No. Estratos: 3

No. Lotes: 1

Profundidad Máxima: 1.00 m

Ubicación: en la sección sur del reservorio del Grupo D

Objetivo: identificar basurero para realizar fechamiento del reservorio y del sitio en general

Figuras: 4.45

Descripción: En la excavación efectuada de acuerdo a los niveles estratigráficos de la unidad se definieron 3 niveles y 1 lote, descritos a continuación:

Estrato 1: capa de humus mezclada con barro marrón muy húmedo y granuloso. Presentó un grosor máximo de 0.04 m. No se identificó ningún lote por ausencia de material.

Estrato 2: relleno. Barro marrón muy húmedo, de consistencia compacta, textura granulosa y mezclado con gran cantidad de pequeñas raíces. Presentó un grosor máximo de 0.90 m. No se identificó ningún lote por ausencia de material.

Estrato 3: Barro gris. Húmedo, de consistencia muy compacta, textura granulosa y mezclado con cierta cantidad de piedrín de caliza. A una profundidad

aproximada de 0.40 m todavía se encontró material. Se identificó un lote. En los siguientes 0.60 m de profundidad ya no se recolectó material. Final de la excavación.

Lote 1: 6 tiestos.

Comentarios: Debido a la constante filtración de agua dentro de la unidad durante su excavación, se confirma la función de la depresión del área como reservorio del Grupo D. No se halló basurero asociado al reservorio.

Unidad: TP-D-4

Dimensiones: 1.00 m × 1.00 m

No. Estratos: 3

No. Lotes: 1

Profundidad Máxima: 0.63 m

Ubicación: al pie de la esquina noreste de la Estructura D-3

Objetivo: identificar basurero asociado a la estructura

Figuras: 4.46, 4.47

Descripción: En la excavación efectuada de acuerdo a los niveles estratigráficos de la unidad se definieron 3 niveles y 1 lote, descritos a continuación:

Estrato 1: capa de humus muy húmedo conformado principalmente por hojas y pequeñas raíces. Presentó un grosor máximo de 0.05 m. No se identificó ningún lote por ausencia de material.

Estrato 2: relleno. Barro marrón muy húmedo, de consistencia compacta, textura granulosa y mezclado con gran cantidad de pequeñas raíces. Presentó un grosor máximo de 0.58 m. Se identificó un lote.

Lote 1: 7 tiestos.

Estrato 3: Roca madre y barro café amarillento muy compacto. Nivel estéril de la unidad. No se encontró material asociado a este. Final de la excavación.

Comentarios: No se halló basurero asociado a la estructura debido a la ubicación de la unidad en un área relativamente inclinada hacia el sur, en dirección al reservorio del Grupo D.

*Grupo E***Unidad:** TP-E-1**Dimensiones:** 1.00 m × 1.00 m**No. Estratos:** 3**No. Lotes:** 1**Profundidad Máxima:** 0.60 m**Ubicación:** en la sección posterior de la Estructura E-8**Objetivo:** identificar basurero asociado a la estructura**Figuras:** 4.48, 4.49**Descripción:** En la excavación efectuada de acuerdo a los niveles estratigráficos de la unidad se definieron 3 niveles y 1 lote, descritos a continuación:

Estrato 1: delgada capa de humus. Compuesto principalmente por raíces pequeñas y hojas. Presentó un grosor máximo de 0.05 m. No se identificó ningún lote debido a la ausencia de material.

Estrato 2: Relleno. Barro marrón compactado y mezclado con abundante cantidad de piedra caliza de mediano tamaño. Húmedo y de textura granulosa. Presentó un grosor máximo de 0.55 m. Se identificó un lote.

Lote 1: 294 tiestos, 1 fragmento de piedra de moler y 1 fragmento de estuco.

Estrato 3: Roca madre. Nivel estéril de la unidad. No se encontró material asociado a este. Finaliza la excavación.

Comentarios: Prestando atención a la irregularidad de la roca madre se comprende la necesidad de nivelar el terreno con el relleno que conforma el estrato 2. Aunque los materiales encontrados en la unidad corresponden exclusivamente al estrato mencionado, puede confirmarse la presencia de una sola ocupación constructiva en el área.

Unidad: TP-E-2**Dimensiones:** 1.00 m × 1.00 m**No. Estratos:** 4

No. Lotes: 3

Profundidad Máxima: 0.55 m

Ubicación: al pie de las esquinas noreste y noroeste de las Estructuras E-12 y E-14 respectivamente

Objetivo: identificar basurero asociado a las estructuras para su respectivo fechamiento

Figuras: 4.50, 4.51

Descripción: En la excavación efectuada de acuerdo a los niveles estratigráficos de la unidad se definieron 4 niveles y 3 lotes, descritos a continuación:

Estrato 1: delgada capa de humus. Compuesto principalmente por abundantes raíces pequeñas y hojas. Presentó un grosor máximo de 0.02 m. Se identificó un lote.

Lote 1: 9 tiestos.

Estrato 2: relleno. Barro marrón con abundantes raíces. Húmedo, de consistencia compacta y de textura granulosa. Presentó un grosor máximo de 0.25 m. Se definió un lote con el material recolectado en este nivel.

Lote 2: 263 tiestos, 6 lascas de pedernal, 2 cuarzos y 1 navaja prismática de obsidiana.

Estrato 3: relleno. Piedra caliza de gran tamaño mezclada con barro marrón granuloso compactado. Presentó un grosor máximo de 0.22 m. Se definió un lote con el material recolectado en este nivel.

Lote 3: 48 tiestos.

Estrato 4: Roca madre y barro gris granuloso muy compacto. Nivel estéril de la unidad. No se encontró material asociado a este. Finaliza la excavación.

Comentarios: De acuerdo a las observaciones hechas en cada estrato se confirma que debido a la configuración de la roca madre se haya tenido que nivelar con el relleno que conforma el estrato 3 la plataforma sobre la cual se asientan las Estructuras E-12 y E-14. Aunque la cantidad de material hallado en la excavación no indica la existencia de un basurero en el área, sí es suficiente para determinar la única fase de ocupación asociada con las dichas estructuras.

Unidad: TP-E-3

Dimensiones: 1.00 m × 1.00 m

No. Estratos: 2

No. Lotes: 8

Profundidad Máxima: 0.60 m

Ubicación: al pie de la Estructura E-12, en su esquina sureste

Objetivo: ubicación de algún basurero para recuperar material cultural y efectuar fechamiento del lugar

Figuras: 4.52, 4.53

Descripción: Se observaron dos estratos culturales. En el primero se encontraron algunos tiestos erosionados. En el segundo se recuperó bastante material cerámico, dentro del cual pueden encontrarse vasijas completas o semi completas.

Estrato 1: Humus, formado por tierra negra suelta, abundante presencia de hojas y raíces pequeñas.

Lote 1: 11 tiestos

Estrato 2: Barro compacto color café oscuro con presencia de raíces pequeñas y piedras de diferentes tamaños, en su mayoría sobrepasan los 0.20 m.

Lote 2: 200 tiestos, 2 fragmentos de navaja de obsidiana, fragmento de posible pedernal

Lote 3: Más de 200 tiestos y un fragmento de hueso animal

Lote 4: Más de 50 tiestos, un fragmento de obsidiana. Al centro del pozo.

Lote 5: Más de 50 tiestos, punta de pedernal de 0.02 m. Junto al perfil oeste.

Lote 6: 15 tiestos posiblemente de dos vasijas distintas. Una punta de pedernal de aproximadamente 0.08 m de largo. Junto al perfil norte.

Lote 7: Más de 100 tiestos dispersos en todo el nivel y que no pudieron asociarse a los lotes anteriores.

Lote 8: Más de 200 tiestos dispersos en el relleno.

Comentarios: Se finalizó la excavación por encontrarse suelo estéril. Por el contexto en que fueron encontrados los materiales se puede deducir que la abundante presencia de estos forme parte del relleno que se utilizó para la construcción de la

plataforma en que se excavó. No se considera que se trate de un basurero por la forma en que fueron encontrados los restos de las posibles vasijas pues en el caso del lote 4, a pesar de que los remanentes fueron encontrados juntos, los mismos estaban fragmentados posiblemente por acción de la roca que los presionaba, lo cual indica la colocación y no el lanzamiento de la pieza. De igual manera en el lote 6, los hallazgos demostraban que podía tratarse de una vasija conteniendo o cubriendo a la otra, y la punta de pedernal se encontró con su vértice distal hacia el nadir indicando posible colocación intencional, situación muy difícil de darse en un basurero.

Por lo anterior, todo el contexto puede manifestar el aprovechamiento de utensilios caídos en desuso para ser aprovechados como relleno en infraestructura. No se descarta la posibilidad de una cuestión ritual en el caso de los materiales que denotan una colocación específica, sin embargo para poder afirmar y sustentar de mejor manera esto, se debe contar con mayor evidencia que demuestre la existencia de un patrón en este tipo de cuestiones culturales en el sitio.

Unidad: TP-E-4

Dimensiones: 1.00 m × 1.00 m

No. Estratos: 5

No. Lotes: 5

Profundidad Máxima: 1.45 m

Ubicación: se localizó entre las Estructuras E-4 y E-5. En una pequeña área ubicada al sur de las construcciones

Objetivo: conocer la estratigrafía del sector

Figuras: 4.54, 4.55, 4.56

Descripción: fueron identificados cinco estratos naturales y culturales de los cuales se registraron cinco lotes que se describen a continuación:

Estrato 1: nivel compuesto por tierra café negro con algunos piedrines y raíces.
Se alcanzó una profundidad máxima de 0.73 m.

Lote 1: se recuperó cerámica.

Estrato 2: conformado por una matriz de tierra café negro, medio compacta con gravas, piedrines, poca piedra y algunas raíces. Se excavó hasta una profundidad de 0.97 m.

Lote 1: se recuperó cerámica, carbón, una muestra de piedra brillante y barro quemado.

Estrato 3: la matriz está compuesta por tierra café negra con gravas de aproximadamente 0.15 cm × 0.01 cm mezclado con barro cocido. Se excavó hasta una profundidad máxima de 1.17 m.

Lote 1: se recolectó cerámica, carbón, pedernal, barro quemado, obsidiana y piedra de río.

Estrato 4: Consiste en tierra café negro, compacta, con piedras, gravas y raíces.

Lote 1: se recuperó cerámica, carbón, obsidiana y una muestra de material púrpura brillante.

Estrato 5: Está formado por tierra café claro con piedrines de color amarillento. Se excavó hasta una profundidad de 1.45 m.

Lote 1: se recuperó cerámica.

Comentarios: La composición de los estratos de este sondeo permite presumir que los niveles dos, tres y cuatro consisten en rellenos de nivelación, probablemente de carácter natural, con presencia de material arqueológico que pudo haberse depositado en las profundidades por el intercambio entre estratos que ocurre por la gravedad y los movimientos que produce la vegetación en el terreno. El último nivel identificado presentó un color amarillento quizás por su cercanía con la roca natural.

La unidad TP-E-4 presentó datos parciales de cronología para el Clásico Tardío.

El datum fue ubicado en un árbol al noroeste del sondeo, se removió la corteza y se identificó el punto exacto.

4.1. Excavación de rescate de un saqueo en la Estructura D-6

El Saqueo 1 fue una alteración reciente hallada por un grupo de arqueólogos el día 24 de agosto de 2015, se encontraron evidencias de una fogata y de piedras de la estructura aprovechadas como sentaderos. Se realizaron las debidas notificaciones al Departamento de Monumentos Prehispánicos y Coloniales (DEMOPRE) del Instituto de Antropología e Historia (IDAEH) y a los representantes de la cooperativa Los Pinos R.L. de Chaculá.

Casi toda la parte sur de la terraza fue removida, dañando la arquitectura de la plataforma (Estructura D-6). La terraza estuvo construida con piedras de grandes dimensiones que los saqueadores retiraron, probablemente con la ayuda de una palanca, destruyendo instantáneamente parte de la plataforma, incluyendo el subterráneo. La Estructura D-6 fue alterada desde su parte central hacia el sur, removiendo todas las piedras que pudieron haber limitado la construcción hacia este sector.

Probablemente los saqueadores intentaban conocer el contenido del subterráneo, ya que su morfología es singular, semejando una especie de cueva cubierta con lajas dejando un espacio vacío en el interior. Los responsables de esta alteración parecen haber encontrado por lo menos cuatro vasijas completas que fragmentaron y dejaron abandonadas dentro y en los alrededores próximos al saqueo.

El día 31 de agosto de 2015, se observó destrucción reciente del piso de estuco del subterráneo, indicando la presencia de algún individuo o individuos dentro de la excavación durante la ausencia de los arqueólogos encargados, a esta alteración se le nombró como Saqueo 1A. Se comunicaron los detalles del hecho a las instancias respectivas.

Unidad: Saqueo 1

Dimensiones: 2.40 m (N-S) y 4.30 m (E-O)

No. Estratos: 1

No. Lotes: 1

Profundidad Máxima: 1.75 m

Ubicación: El Saqueo 1 fue encontrado en una terraza de 1.36 m de altura máxima conservada. Se ubica hacia el norte del Grupo D y contiene a las Estructuras D-5, D-6, D-7, D-8 y D-9. La depredación tuvo lugar específicamente en el subterráneo localizado en la plataforma denominada como Estructura D-6.

Objetivo: limpiar, registrar y rellenar debidamente el saqueo con la finalidad de recuperar la mayor cantidad de información de esta alteración en la terraza y plataforma

Figuras: 4.57, 4.58, 4.59

Descripción: esta unidad se trata de un saqueo reciente que dañó gran parte de la terraza y la Estructura D-6. En esta plataforma se conservó evidencia de un subterráneo que fue parcialmente desmantelado, dañando la parte sur y el sector este del mismo. También fue alterado el nivel de estuco que conformaba el piso del subterráneo. Se llevó a cabo la limpieza y registro del saqueo con fotografías y

dibujos, posteriormente fue rellenado para mejorar la estabilidad de la estructura, especialmente de la terraza. Fue registrado un solo nivel y un solo lote.

Estrato 1: corresponde a un nivel de tierra café negro, suelto y poco compacto.

El material arqueológico recuperado pertenece a los estratos alterados por los saqueadores. No fue posible diferenciar estratos por colores o consistencias ya que toda el área se encontró totalmente alterada.

Lote 1: se recuperó cerámica, pedernal, hueso y muestras del estuco del piso.

Comentarios: La limpieza general del área afectada permitió encontrar las hileras de piedra que no fueron alteradas, tanto de la terraza como de la plataforma con el fin de conocer las dimensiones reales de la destrucción, así mismo las medidas originales de la plataforma y del subterráneo.

En conclusión el Saqueo midió 2.40 m (N-S), 4.30 m (E-O) y 1.75 m de profundidad. El subterráneo presentó un ancho de 1.05 m, 1.80 m de largo y una profundidad de aproximadamente 1.00 m desde una laja conservada que indica el inicio del subterráneo hasta el nivel de piso conservado en el interior del mismo.

4.2. Conclusiones

Como objetivo de la investigación en Chaculá, se establecía la recuperación de material cerámico para definir la cronología del sitio, lo cual se consiguió satisfactoriamente por medio de los pozos de sondeo efectuados en los Grupos A, C, D, E.

Se recuperó suficiente material cerámico que confirmó los hallazgos obtenidos en la temporada 2014, los cuales ubican el sitio en el período clásico tardío. Los materiales líticos son evidencia de actividades diversas de los antiguos habitantes de Chaculá. También se localizaron restos óseos en su mayoría de fauna, los cuales en un futuro, con los análisis osteológicos correspondientes se podrían obtener datos de importancia como su alimentación y conocer si los especímenes a los que corresponden eran endémicos de la zona.

Dado a que el fechamiento de la cerámica obtenida en las excavaciones corresponde a la misma temporalidad de la recuperada el año anterior, puede corroborarse la idea de que este sitio fue construido con demasiada premura, lo cual puede constatarse en la misma arquitectura, pues los bloques de mampostería no fueron tallados como en sitios cercanos y tampoco se encontraron evidencias de pisos que pusieran de manifiesto la dedicación al urbanismo que se demuestra en áreas aledañas.

A pesar de lo anterior, también se obtuvieron datos que pueden ser indicativos del nivel tecnológico que estas personas poseían y esto puede ser un elemento determinante

que facilitara el asentamiento de esta comunidad en el lugar.

Sobre lo anterior pueden resaltarse aspectos como la arquitectura, la cual mantiene características similares a las observadas en sitios como Quen Santo, San Francisco, Chincultik, entre otros, lo cual puede estar reflejando patrones culturales en común.

A lo anterior se suman los datos obtenidos en los pozos de sondeo realizados en los reservorios de los Grupos A, C y D, principalmente del segundo de los anteriores y el monitoreo que se mantuvo durante más de un mes en las excavaciones y su entorno, específicamente al comportamiento de las aguas pluviales en el lugar, lo cual permitió apreciar la forma en que la captación de este recurso se pudo realizar de una manera eficiente y a la vez denota el conocimiento tecnológico de los constructores de Chaculá.

No se debe olvidar que los datos preliminares hasta el momento, indican que sitios aledaños han tenido ocupación previa y posterior a la de Chaculá, lo cual indica que al momento su construcción, la zona era habitada y posteriormente se deja en desuso y sus vecinos continúan la ocupación. En consecuencia de lo anterior surgen algunas preguntas importantes: ¿Quiénes eran los antiguos habitantes de Chaculá? ¿De dónde vinieron estas personas? ¿Por qué abandonan su ciudad? ¿A dónde fueron?

Por estas razones, se considera de suma importancia darle continuidad a las investigaciones en la región pues es claro que debió existir una relación entre los fundadores de Chaculá y sus vecinos ya establecidos en los alrededores. Estos aspectos podrían encontrarse en los remanentes arquitectónicos, tecnológicos, artísticos, por mencionar algunos.

Debe de considerarse que existen muchos sitios arqueológicos en relativa cercanía a Chaculá, los cuales se encuentran en jurisdicción de comunidades indígenas las cuales deben ser tomadas en cuenta no solo como parte operativa como suele darse sino como fuente de información que permita observar características sociales que puedan aportar datos a las investigaciones y con ello complementar la información obtenida de los registros arqueológicos.



Figura 4.1 Mapa con pozos de sondeo, Chaculá, Grupo A, dibujo por U. Wölfel

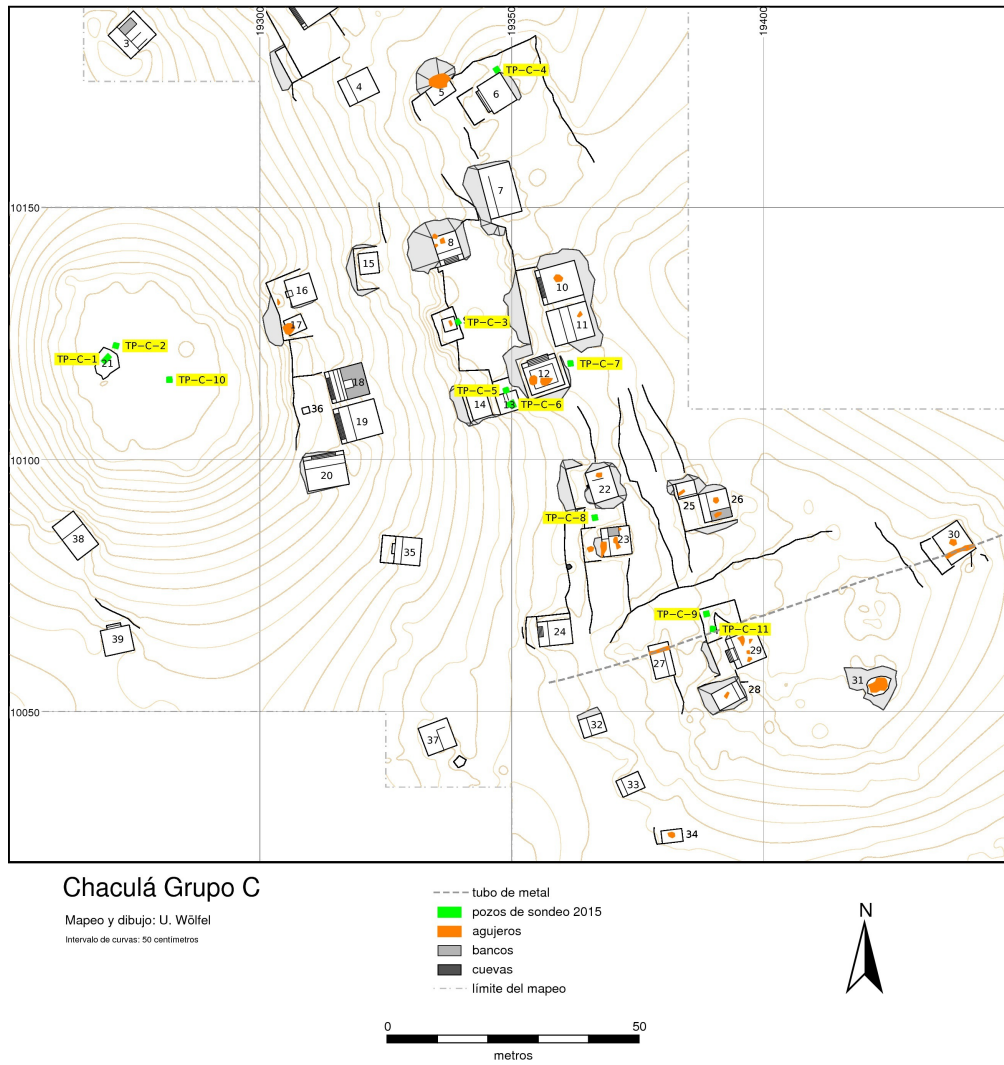
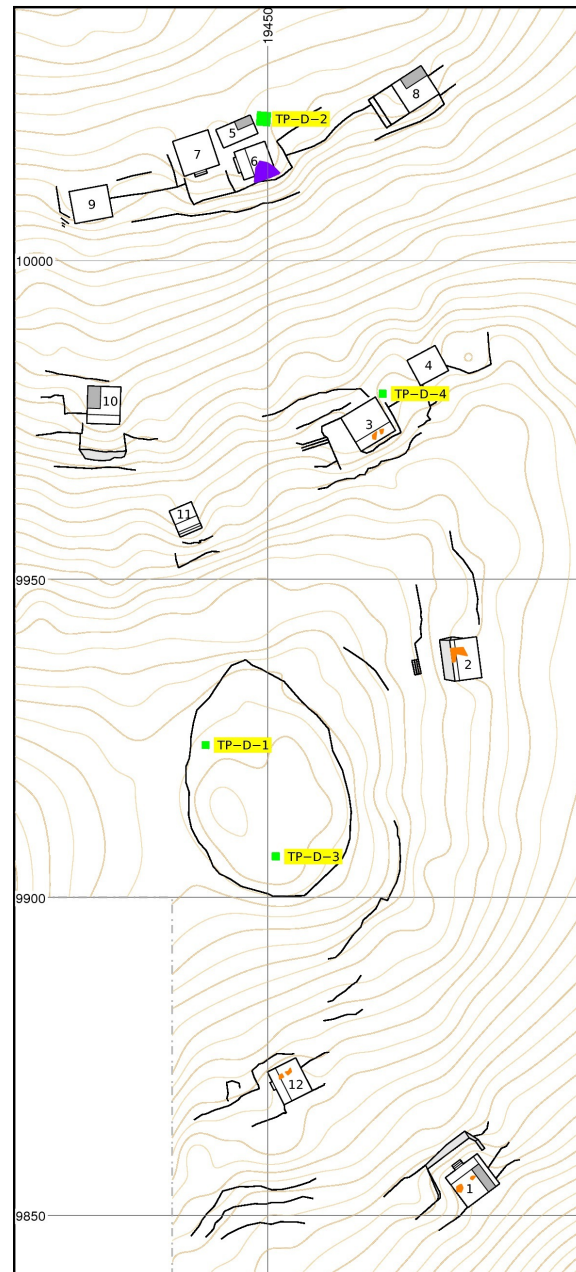


Figura 4.2 Mapa con pozos de sondeo, Chaculá, Grupo C, dibujo por U. Wölfel



Chaculá Grupo D

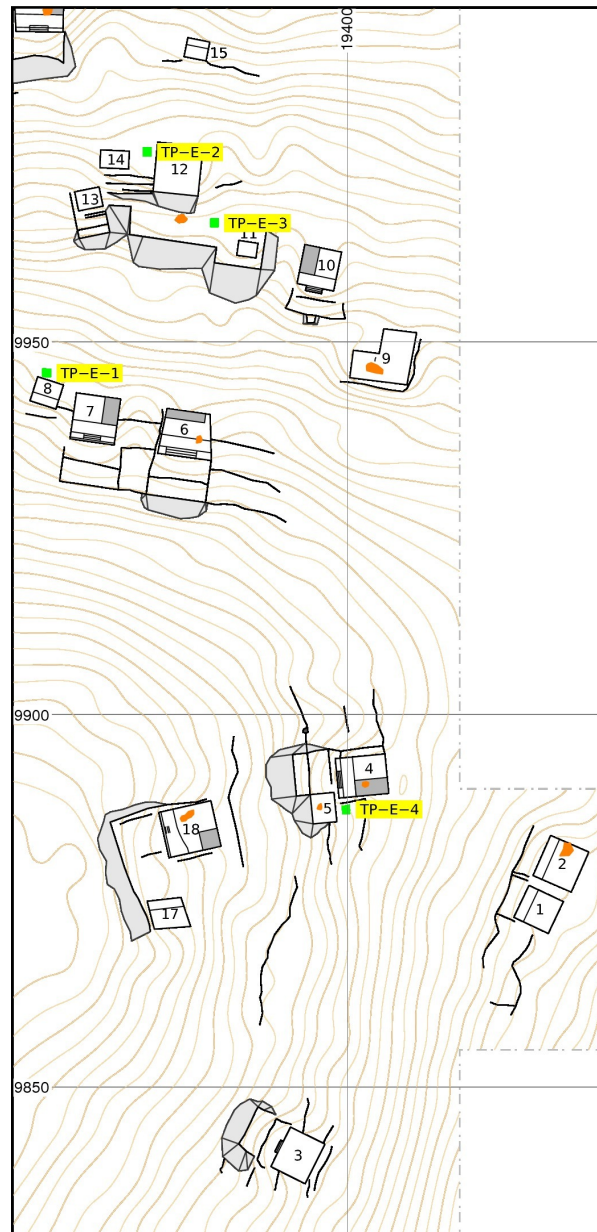
Mapeo y dibujo: U. Wölfel

Intervalo de curvas: 50 centímetros

- pozos de sondeo 2015
- saqueo en estructura D-6
- agujeros
- bancos
- - - límite del mapeo



Figura 4.3 Mapa con pozos de sondeo, Chaculá, Grupo D, dibujo por U. Wölfel



Chaculá Grupo E

Mapeo: U. Wölfel, A. Garay

Dibujo: U. Wölfel

Intervalo de curvas: 50 centímetros

- pozos de sondeo 2015
- agujeros
- bancos
- cuevas
- - - límite del mapeo



Figura 4.4 Mapa con pozos de sondeo, Chaculá, Grupo E, dibujo por U. Wölfel

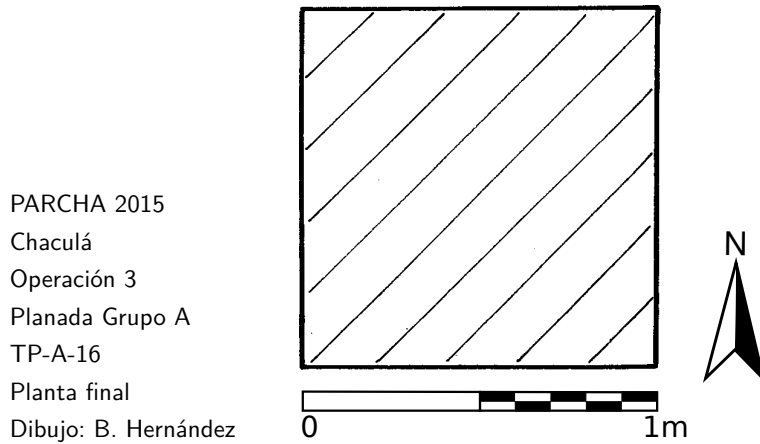


Figura 4.5 Planta final de unidad TP-A-16, dibujo por B. Hernández

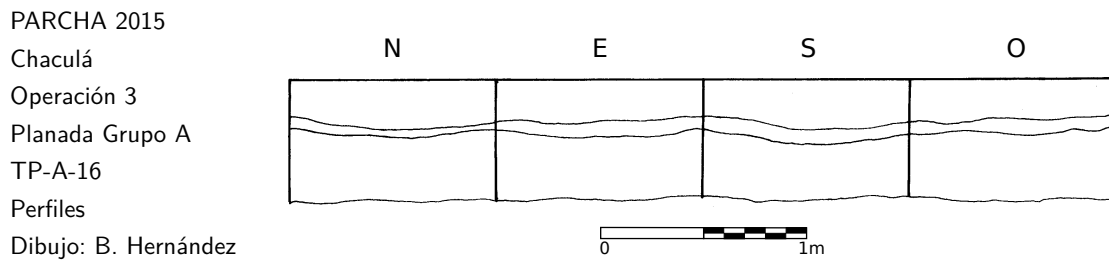


Figura 4.6 Perfiles de unidad TP-A-16, dibujo por B. Hernández

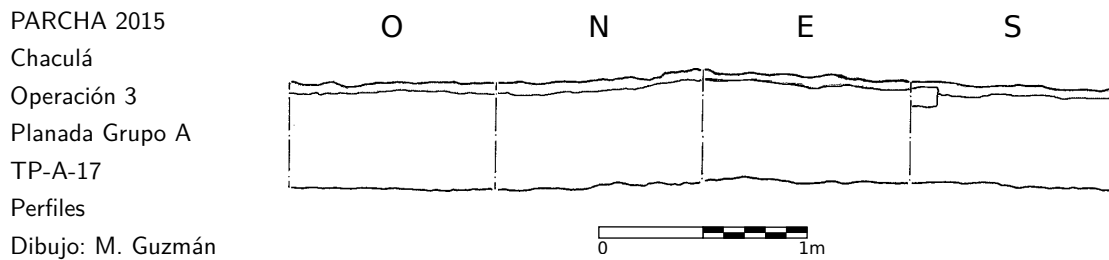


Figura 4.7 Perfiles de unidad TP-A-17, dibujo por M. Guzmán

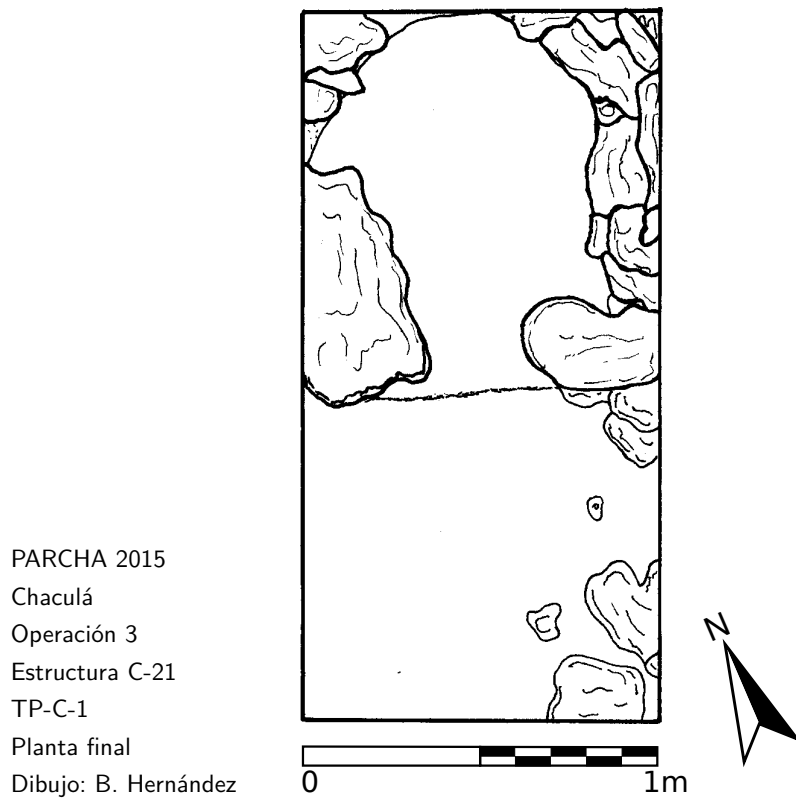


Figura 4.8 Planta final de unidad TP-C-1, dibujo por B. Hernández

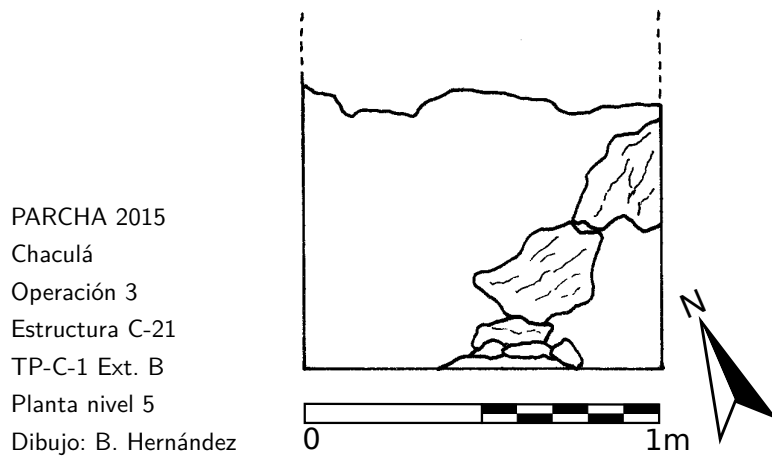


Figura 4.9 Planta nivel 5 de unidad TP-C-1 Ext. B, dibujo por B. Hernández

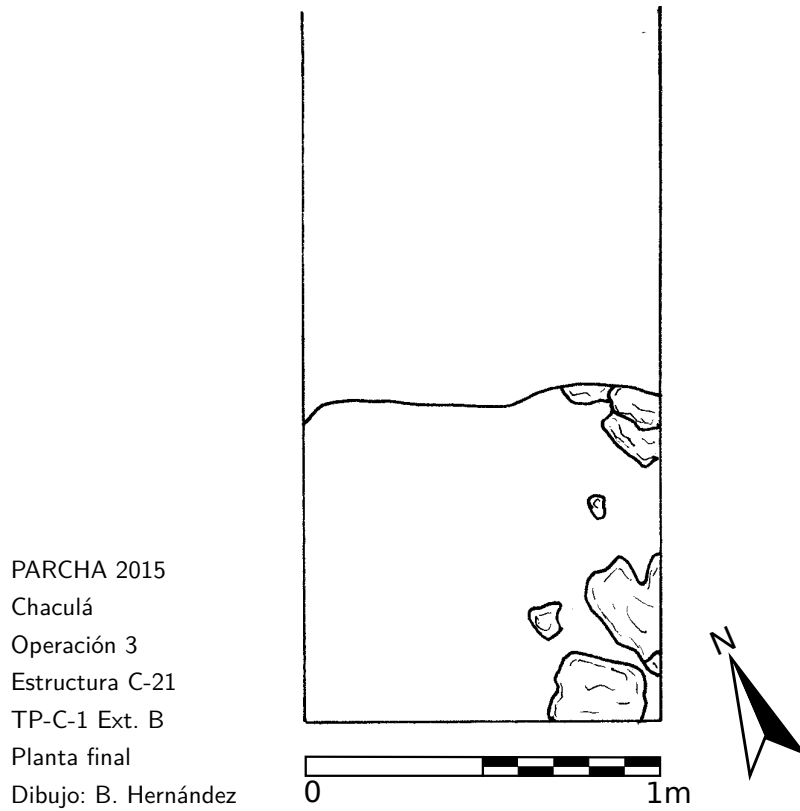


Figura 4.10 Planta final de unidad TP-C-1 Ext. B, dibujo por B. Hernández

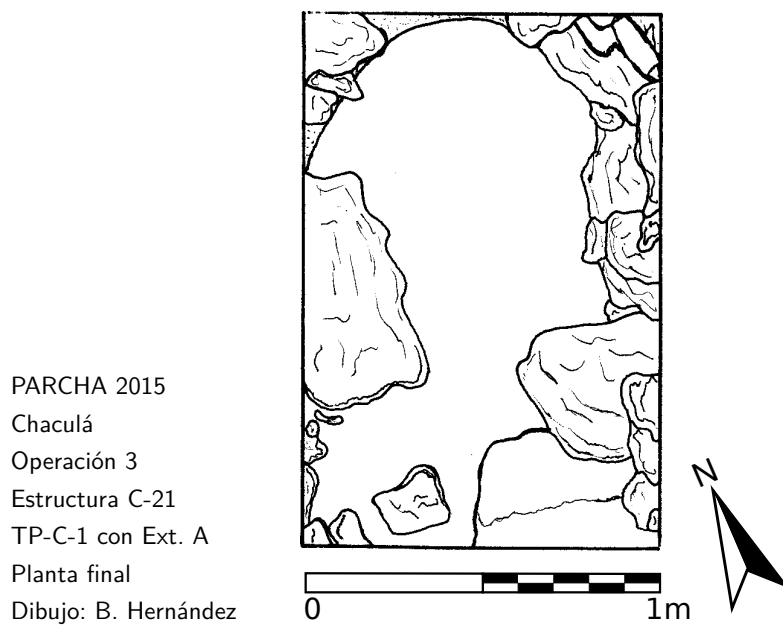


Figura 4.11 Planta final de unidad TP-C-1 con Ext. A, dibujo por B. Hernández

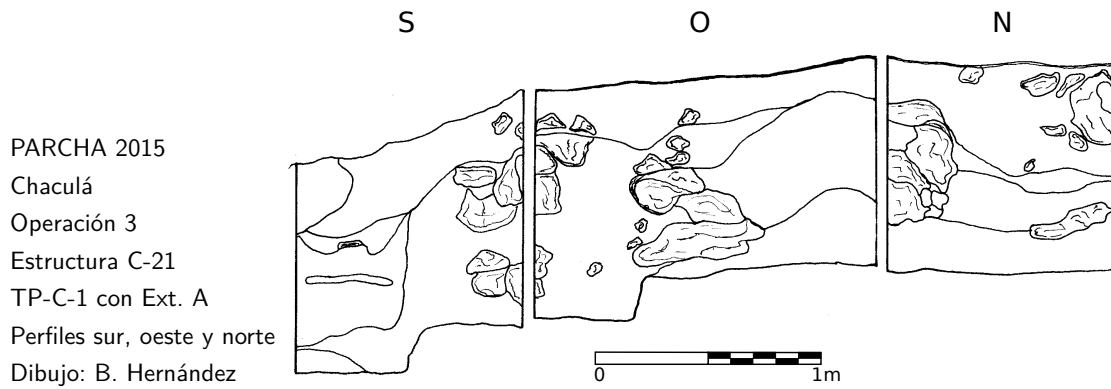


Figura 4.12 Perfiles sur, oeste y norte de unidad TP-C-1 con Ext. A, dibujo por B. Hernández

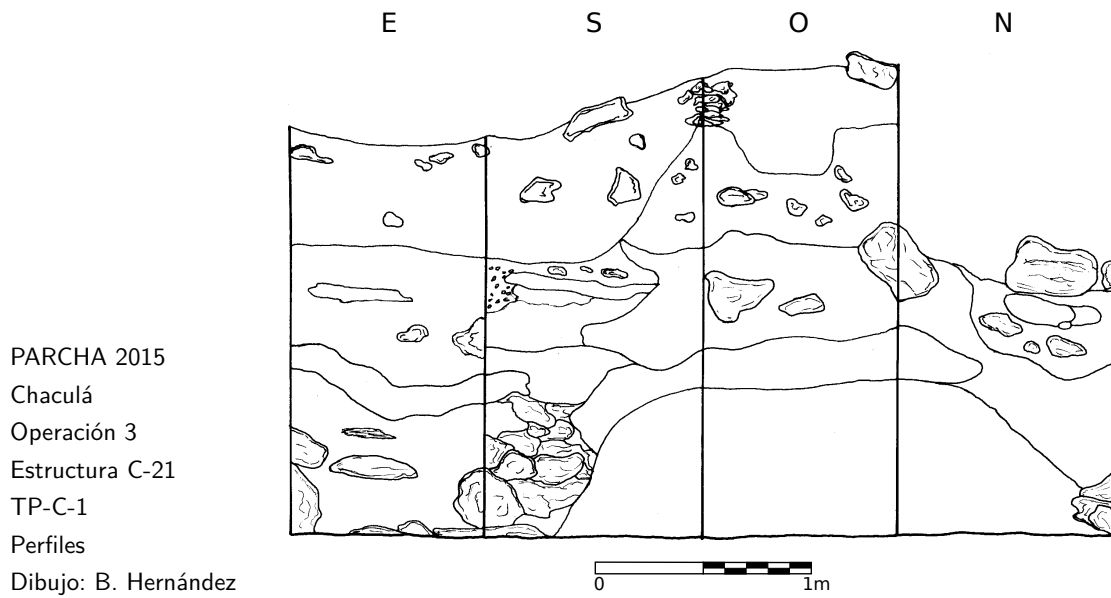


Figura 4.13 Perfiles de unidad TP-C-1, dibujo por B. Hernández

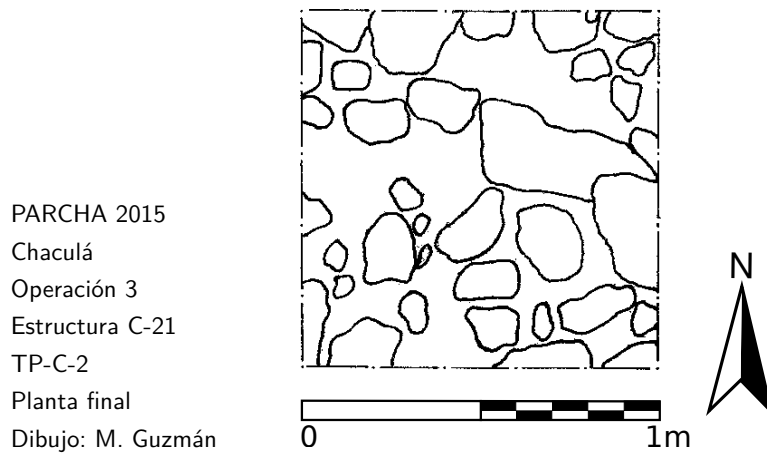


Figura 4.14 Planta final de unidad TP-C-2, dibujo por M. Guzmán

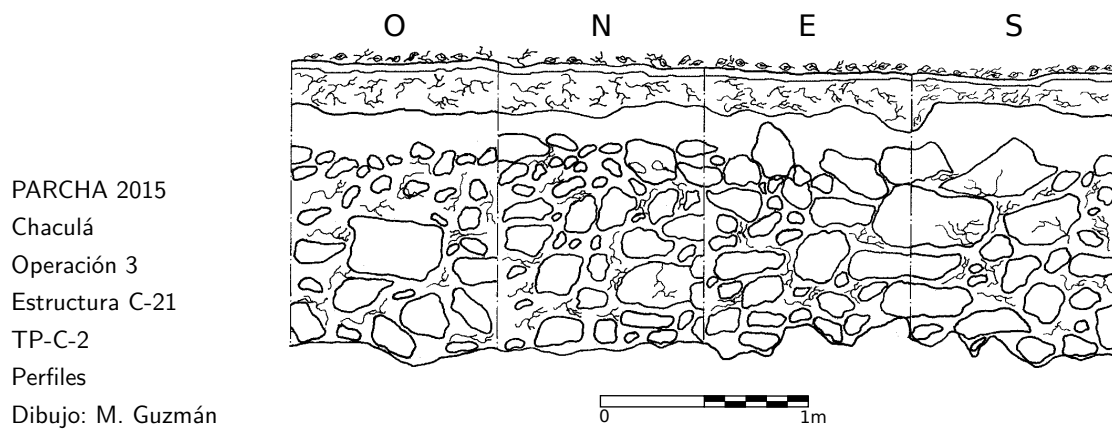


Figura 4.15 Perfiles de unidad TP-C-2, dibujo por M. Guzmán

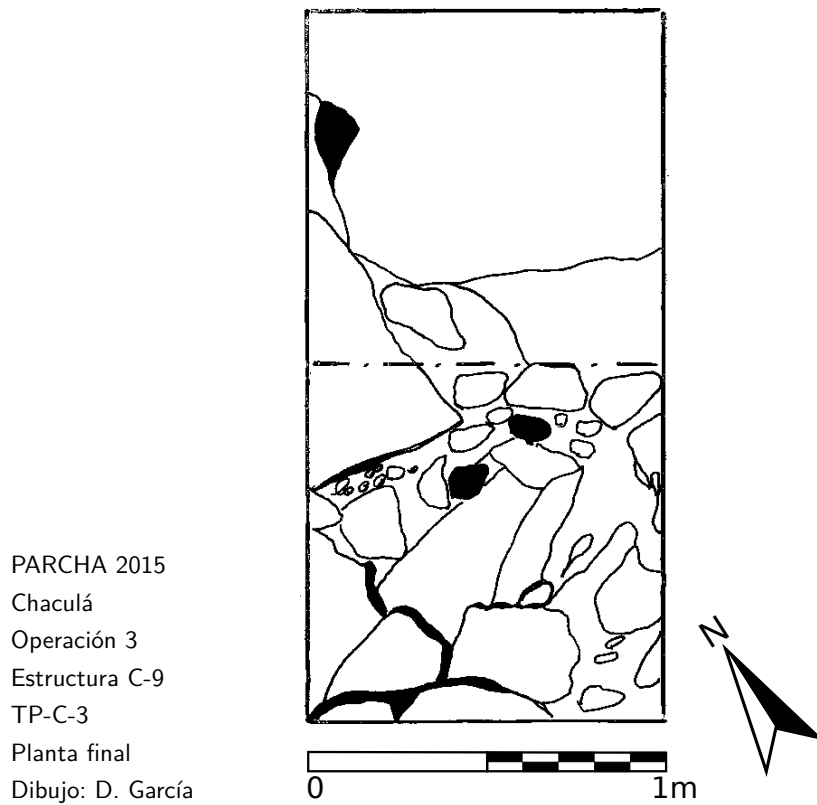


Figura 4.16 Planta final de unidad TP-C-3, dibujo por D. García

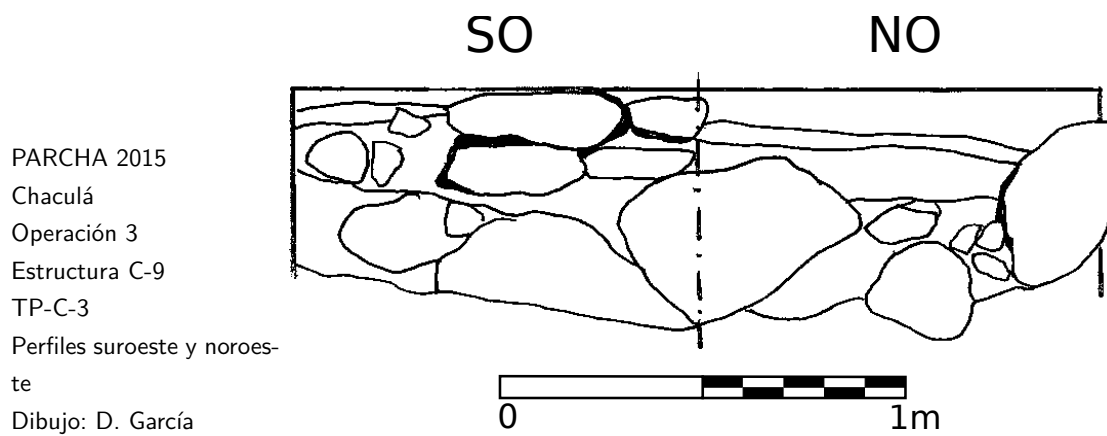


Figura 4.17 Perfiles suroeste y noroeste de unidad TP-C-3, dibujo por D. García

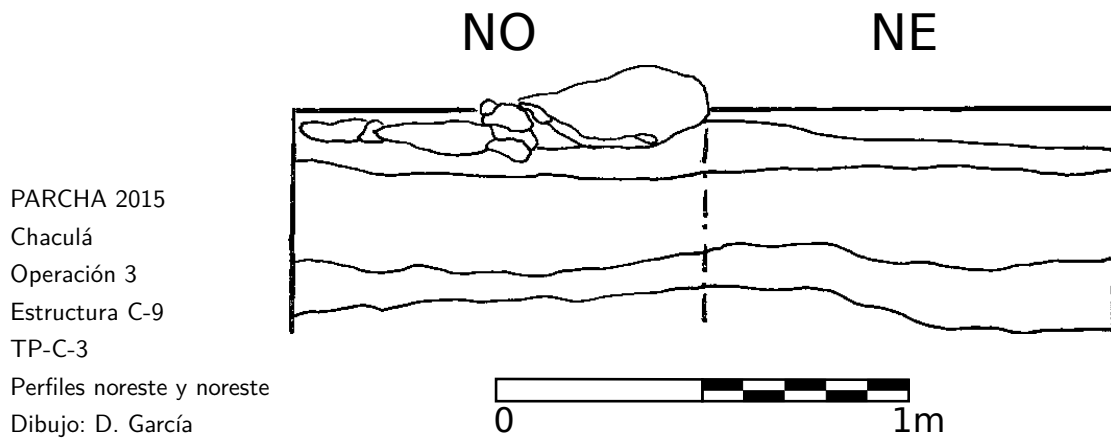


Figura 4.18 Perfiles noroste y noreste de unidad TP-C-3, dibujo por D. García

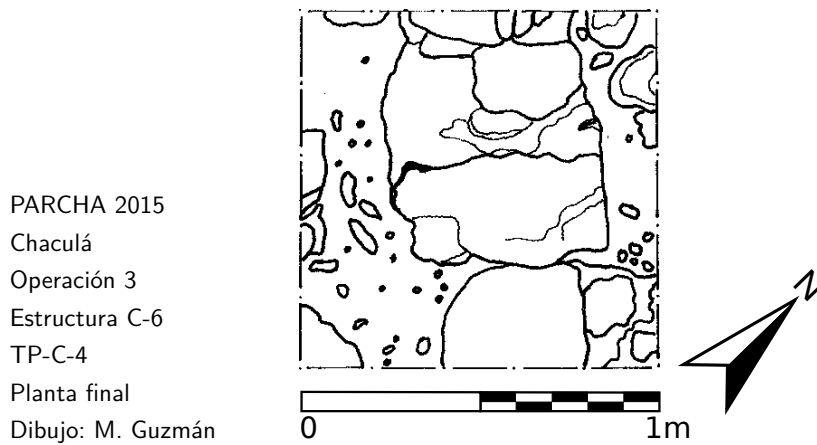


Figura 4.19 Planta final de unidad TP-C-4, dibujo por M. Guzmán

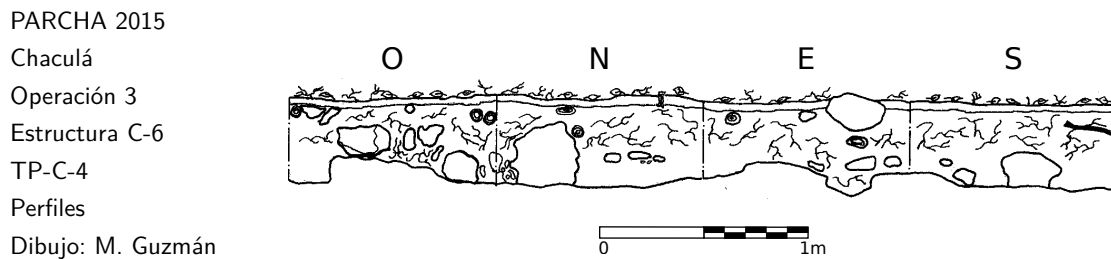


Figura 4.20 Perfiles de unidad TP-C-4, dibujo por M. Guzmán



Figura 4.21 Planta final de unidad TP-C-5, dibujo por J. Quiñonez

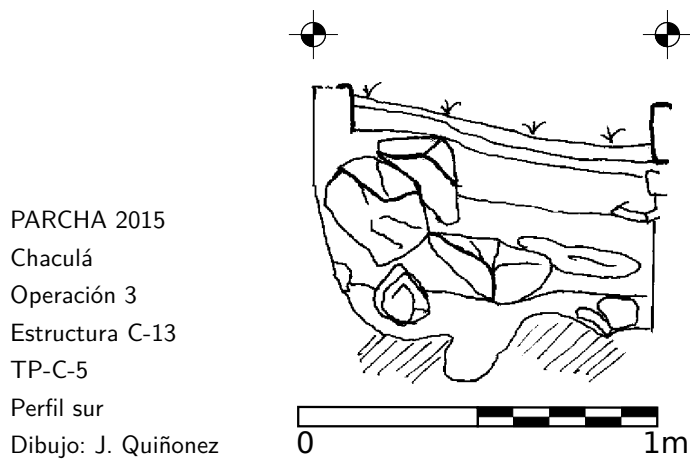


Figura 4.22 Perfil sur de unidad TP-C-5, dibujo por J. Quiñonez

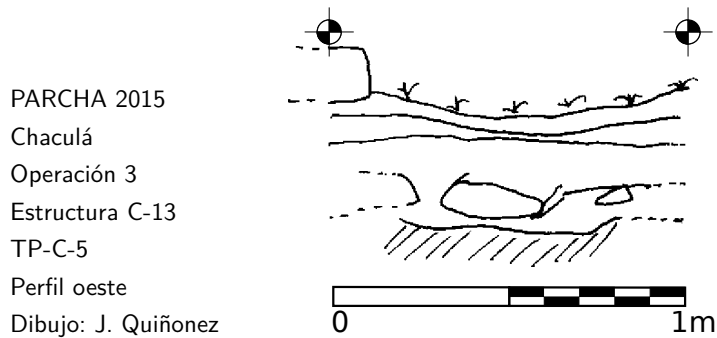


Figura 4.23 Perfil oeste de unidad TP-C-5, dibujo por J. Quiñonez

PARCHA 2015
Chaculá
Operación 3
Estructura C-13
Corte E-O
Dibujo: J. Quiñonez

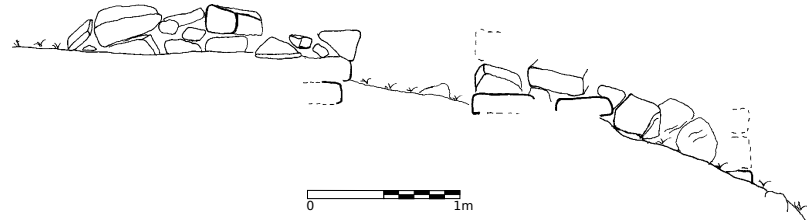


Figura 4.24 Corte E-O de Estructura C-13, dibujo por J. Quiñonez

PARCHA 2015
Chaculá
Operación 3
Estructura C-13
TP-C-6
Planta final
Dibujo: A. Garay

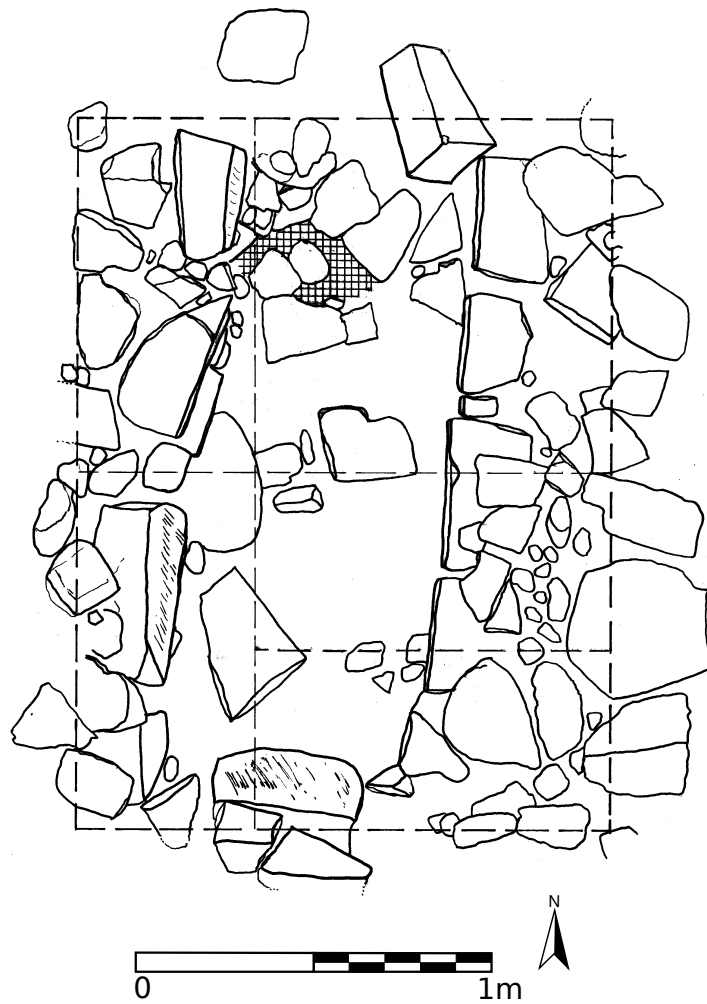


Figura 4.25 Planta final de unidad TP-C-6, dibujo por A. Garay

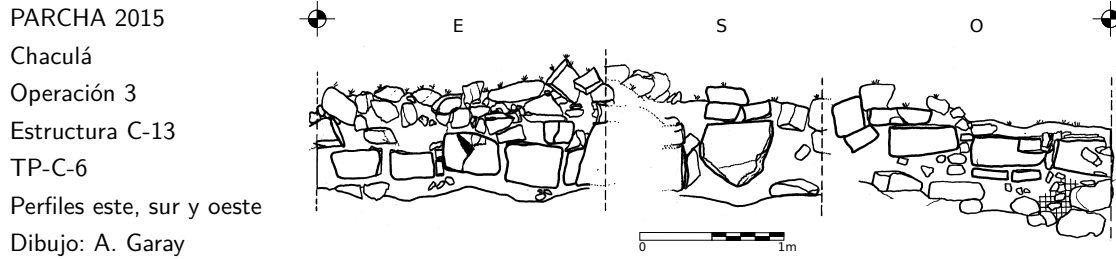


Figura 4.26 Perfiles este, sur y oeste de unidad TP-C-6, dibujo por A. Garay

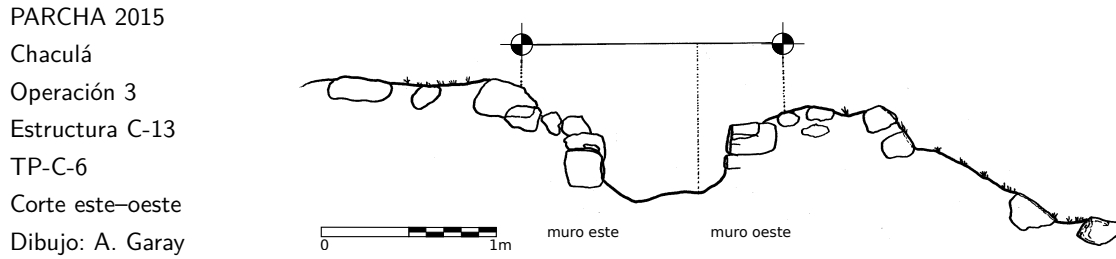


Figura 4.27 Corte este-oeste de unidad TP-C-6, dibujo por A. Garay

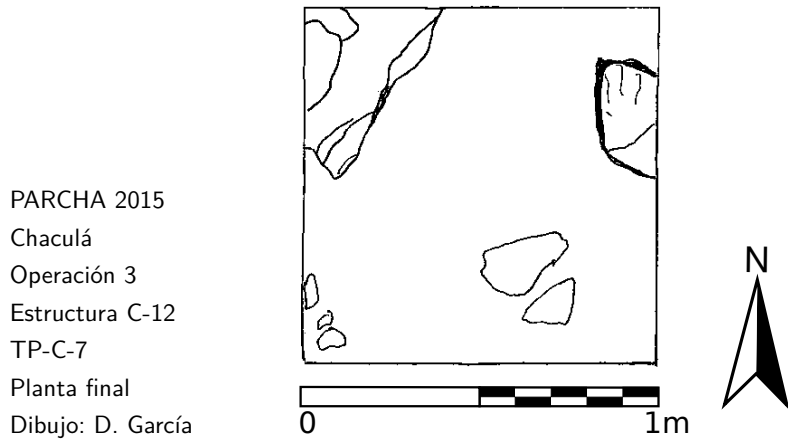


Figura 4.28 Planta final de unidad TP-C-7, dibujo por D. García

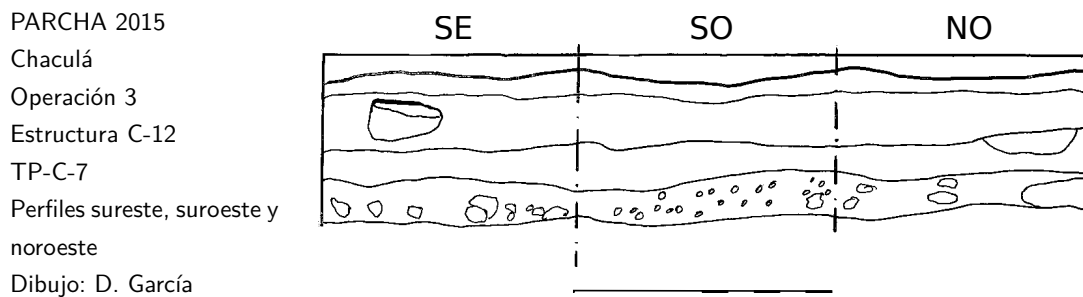


Figura 4.29 Perfiles sureste, suroeste y noroeste de unidad TP-C-7, dibujo por D. García

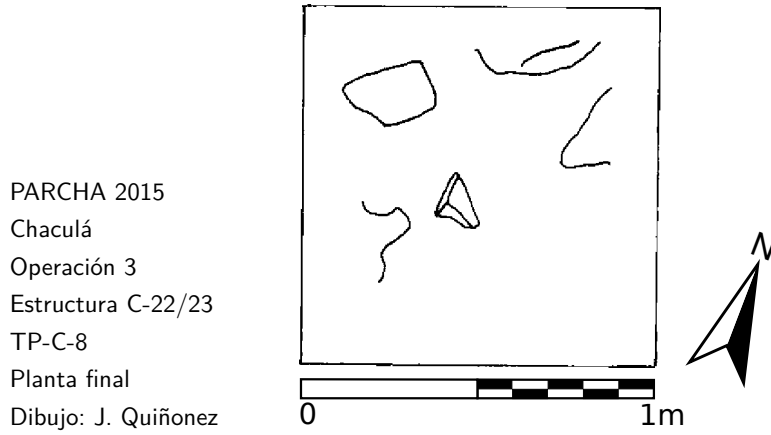


Figura 4.30 Planta final de unidad TP-C-8, dibujo por J. Quiñonez

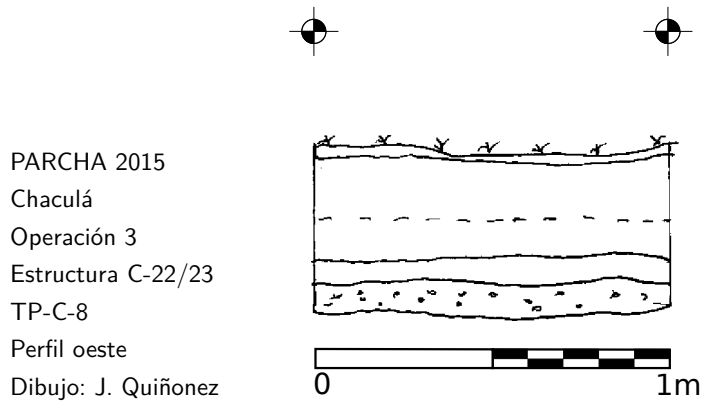


Figura 4.31 Perfil oeste de unidad TP-C-8, dibujo por J. Quiñonez

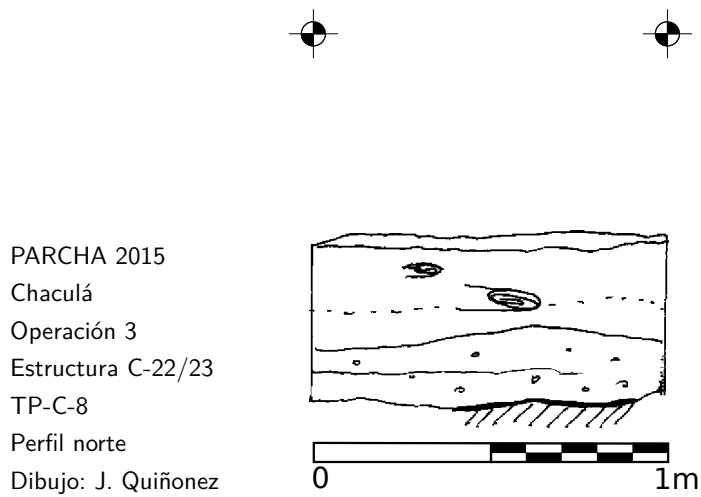


Figura 4.32 Perfil norte de unidad TP-C-8, dibujo por J. Quiñonez

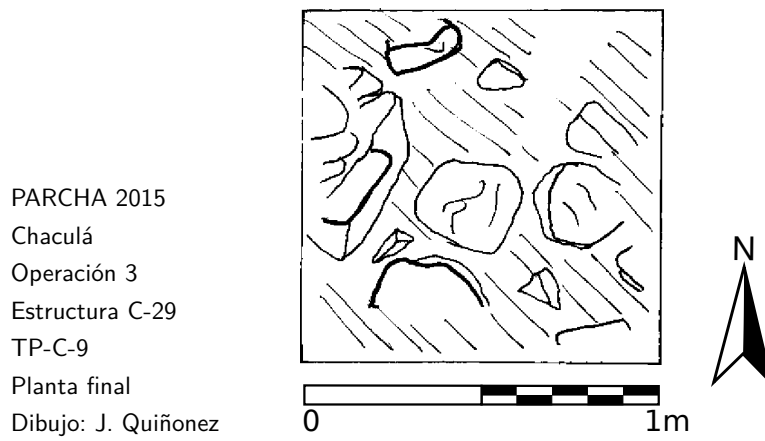


Figura 4.33 Planta final de unidad TP-C-9, dibujo por J. Quiñonez

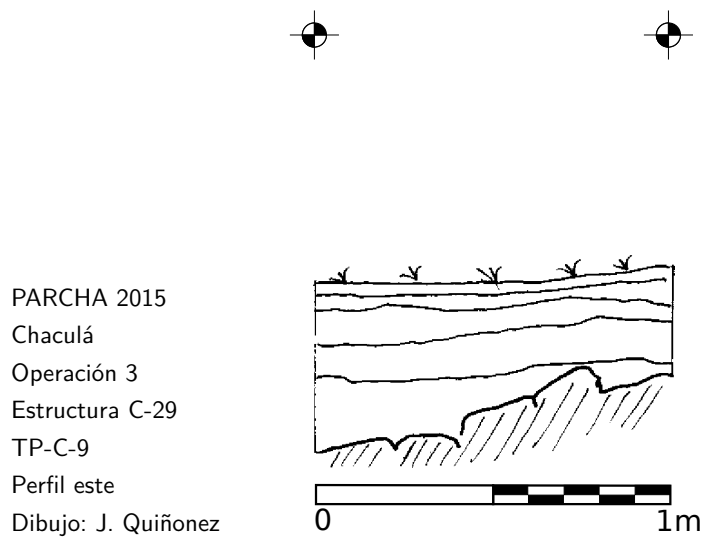


Figura 4.34 Perfil este de unidad TP-C-9, dibujo por J. Quiñonez

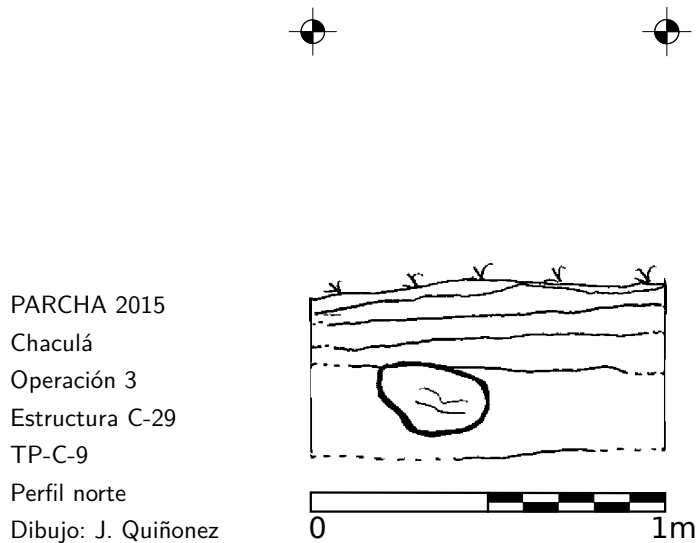


Figura 4.35 Perfil norte de unidad TP-C-9, dibujo por J. Quiñonez

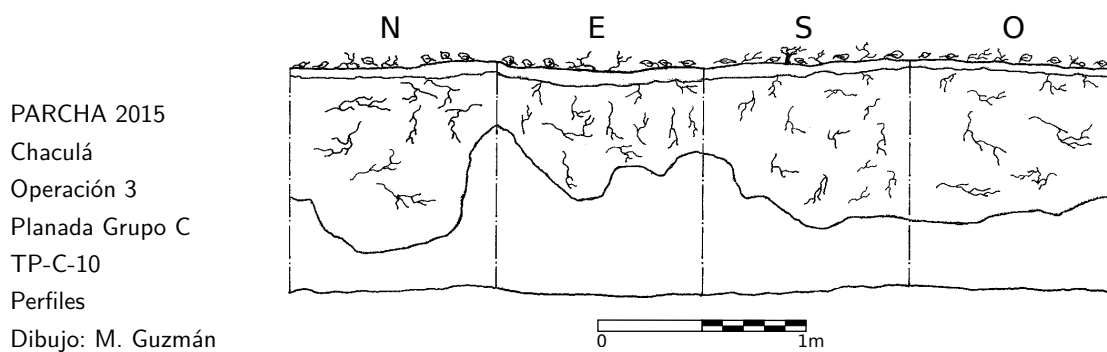


Figura 4.36 Perfiles de unidad TP-C-10, dibujo por M. Guzmán



Figura 4.37 Planta final de unidad TP-C-11, dibujo por J. Quiñonez

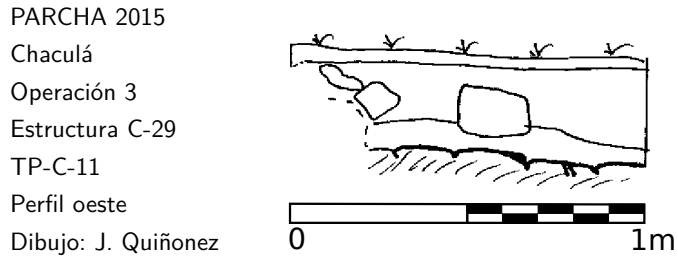


Figura 4.38 Perfil oeste de unidad TP-C-11, dibujo por J. Quiñonez

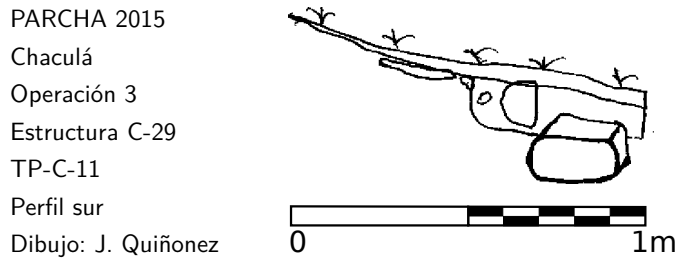


Figura 4.39 Perfil sur de unidad TP-C-11, dibujo por J. Quiñonez

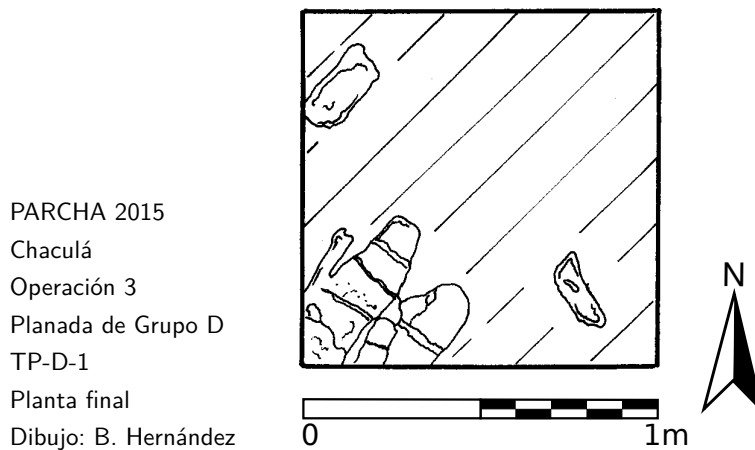


Figura 4.40 Planta final de unidad TP-D-1, dibujo por B. Hernández

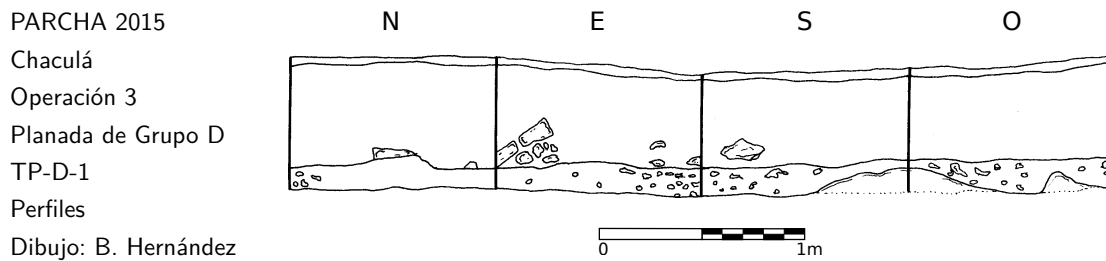


Figura 4.41 Perfiles de unidad TP-D-1, dibujo por B. Hernández

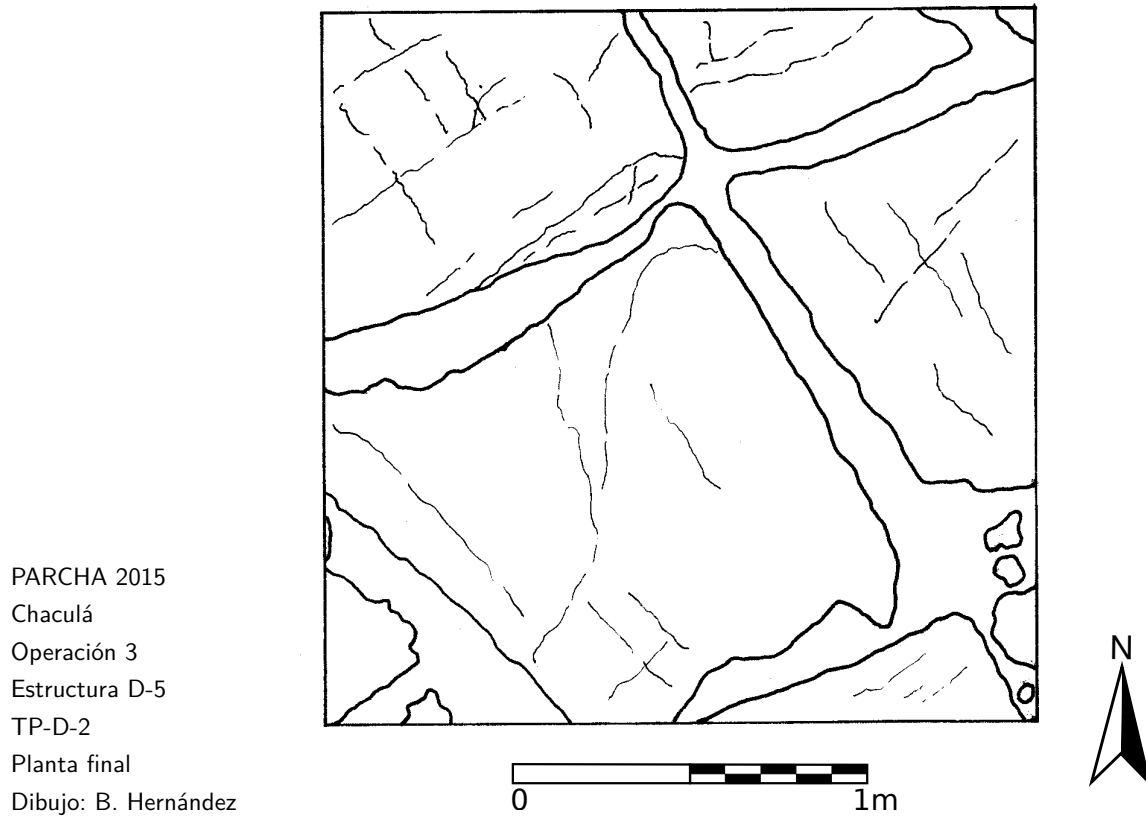


Figura 4.42 Planta final de unidad TP-D-2, dibujo por B. Hernández

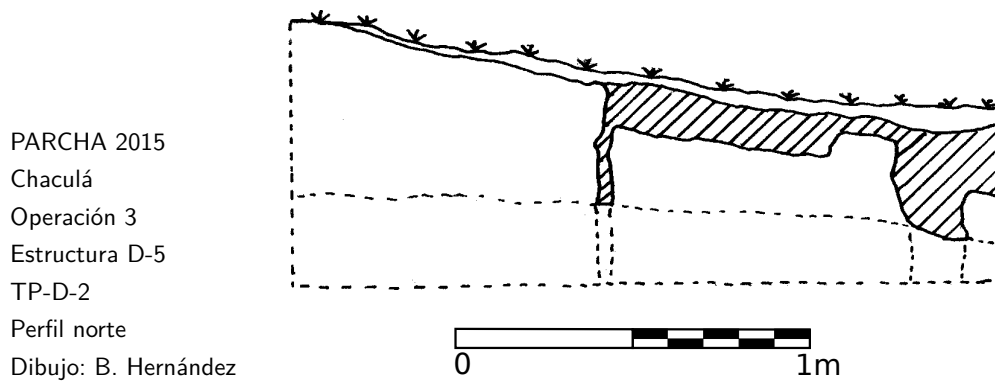


Figura 4.43 Perfil norte de unidad TP-D-2, dibujo por B. Hernández

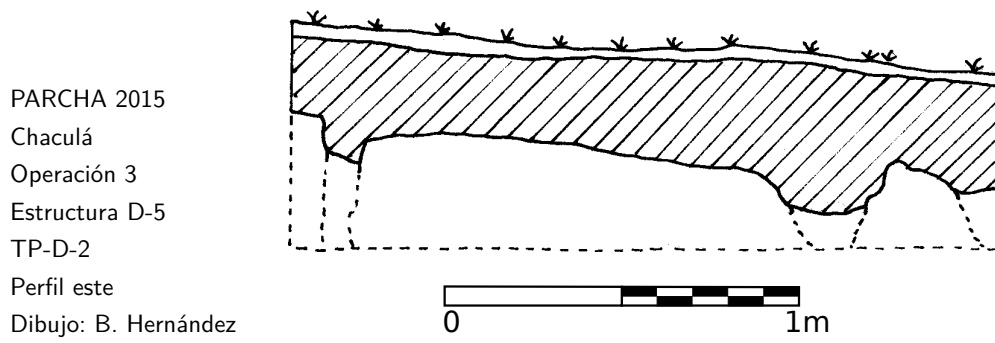


Figura 4.44 Perfil este de unidad TP-D-2, dibujo por B. Hernández

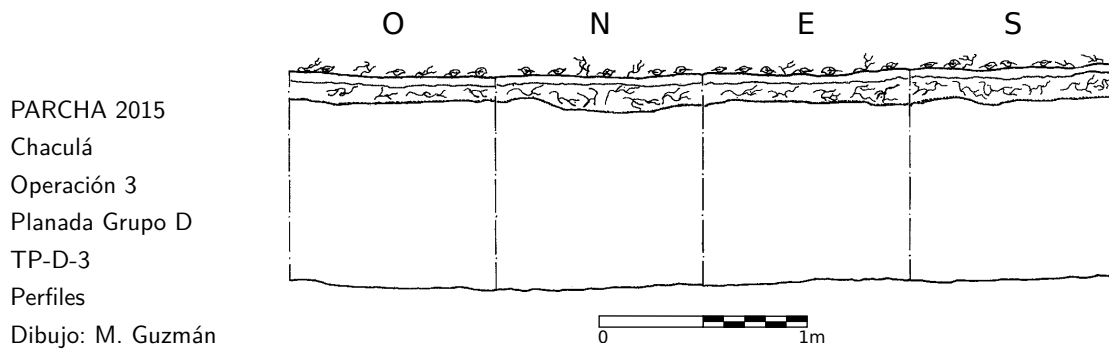


Figura 4.45 Perfiles de unidad TP-D-3, dibujo por M. Guzmán

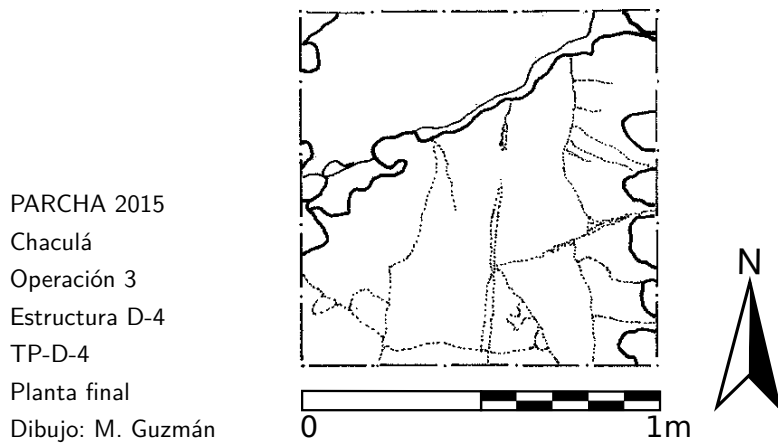


Figura 4.46 Planta final de unidad TP-D-4, dibujo por M. Guzmán

PARCHA 2015

Chaculá

Operación 3

Estructura D-4

TP-D-4

Perfiles

Dibujo: M. Guzmán

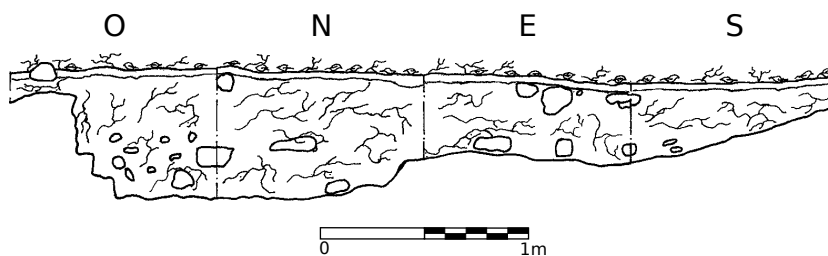


Figura 4.47 Perfiles de unidad TP-D-4, dibujo por M. Guzmán

PARCHA 2015

Chaculá

Operación 3

Estructura E-8

TP-E-1

Planta final

Dibujo: M. Guzmán

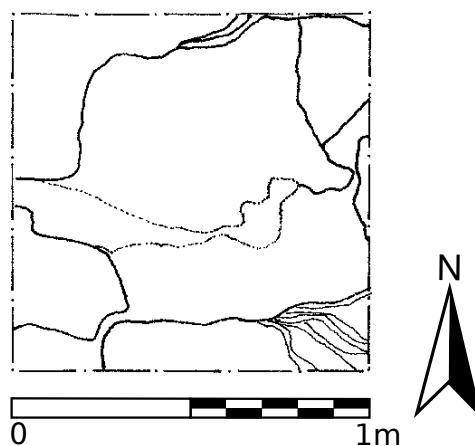


Figura 4.48 Planta final de unidad TP-E-1, dibujo por M. Guzmán

PARCHA 2015

Chaculá

Operación 3

Estructura E-8

TP-E-1

Perfiles

Dibujo: M. Guzmán

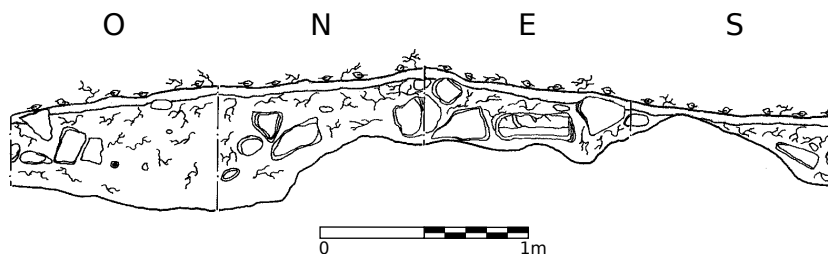


Figura 4.49 Perfiles de unidad TP-E-1, dibujo por M. Guzmán

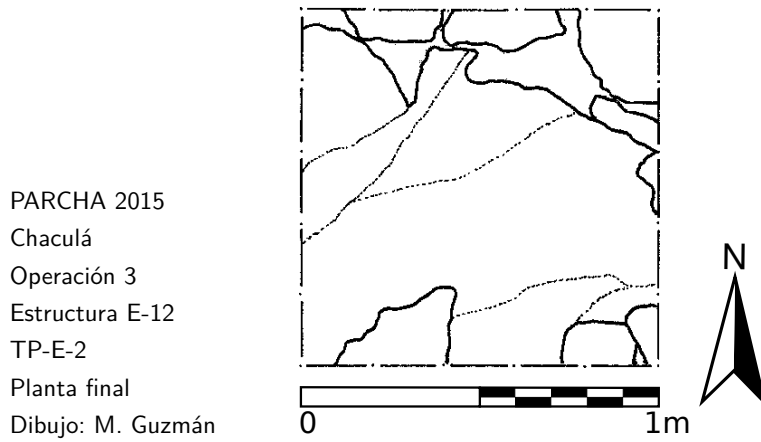


Figura 4.50 Planta final de unidad TP-E-2, dibujo por M. Guzmán

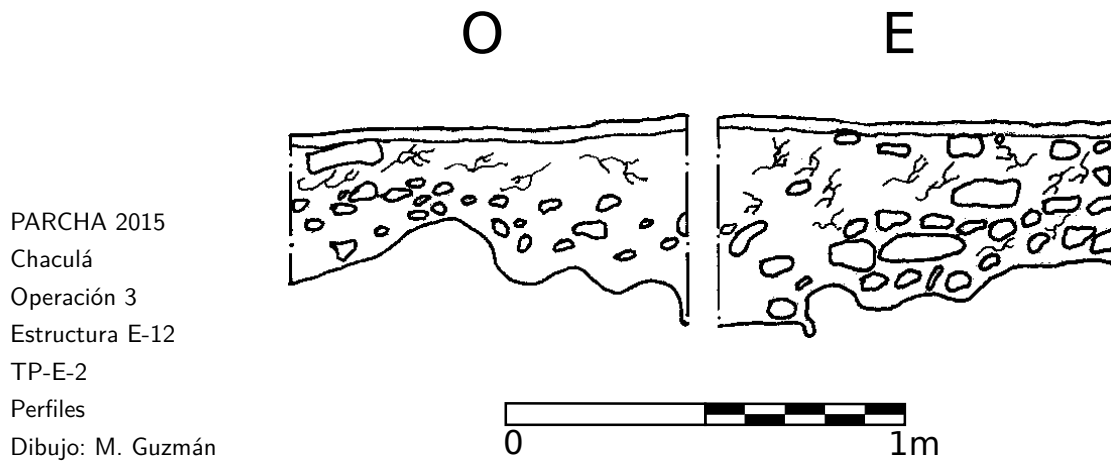


Figura 4.51 Perfiles de unidad TP-E-2, dibujo por M. Guzmán

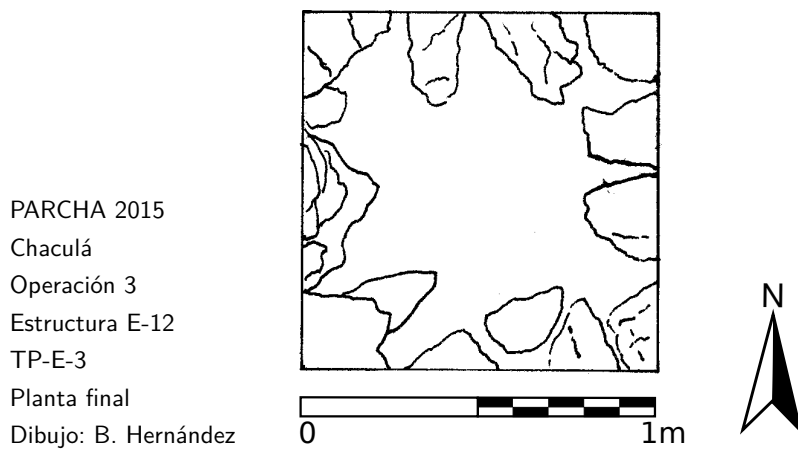


Figura 4.52 Planta final de unidad TP-E-3, dibujo por B. Hernández

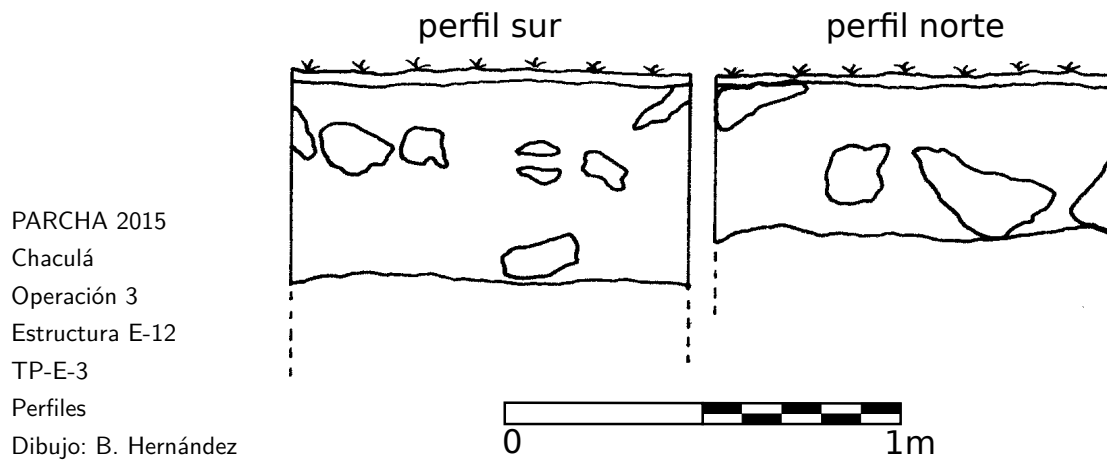


Figura 4.53 Perfiles de unidad TP-E-3, dibujo por B. Hernández

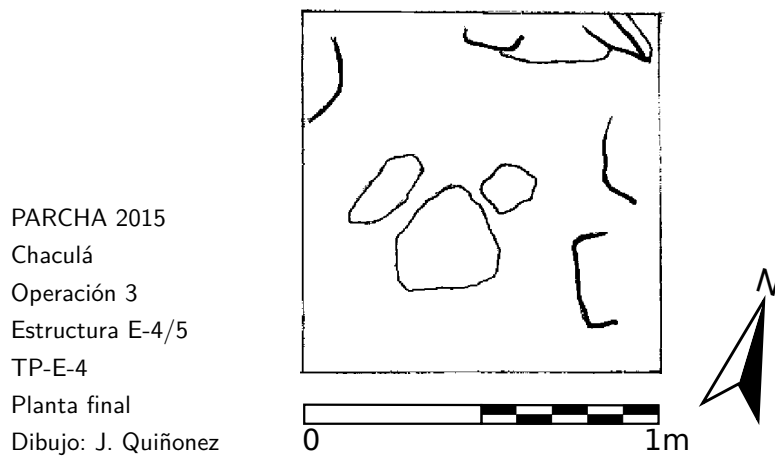


Figura 4.54 Planta final de unidad TP-E-4, dibujo por J. Quiñonez

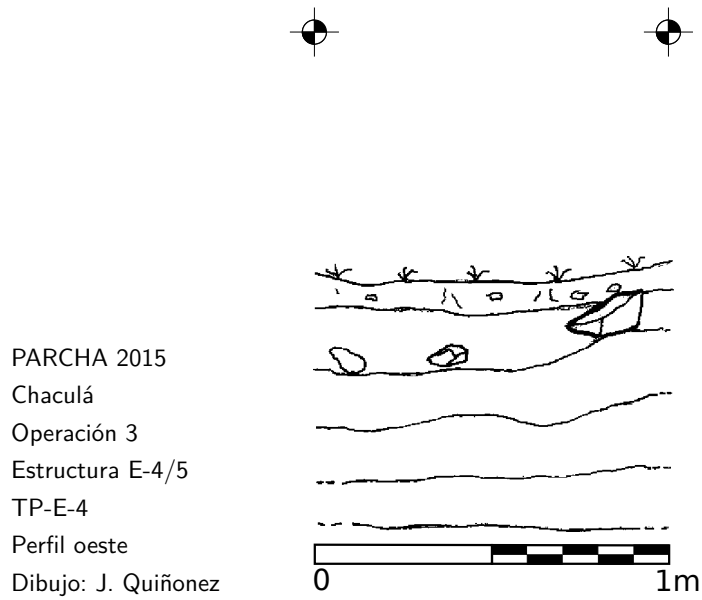


Figura 4.55 Perfil oeste de unidad TP-E-4, dibujo por J. Quiñonez

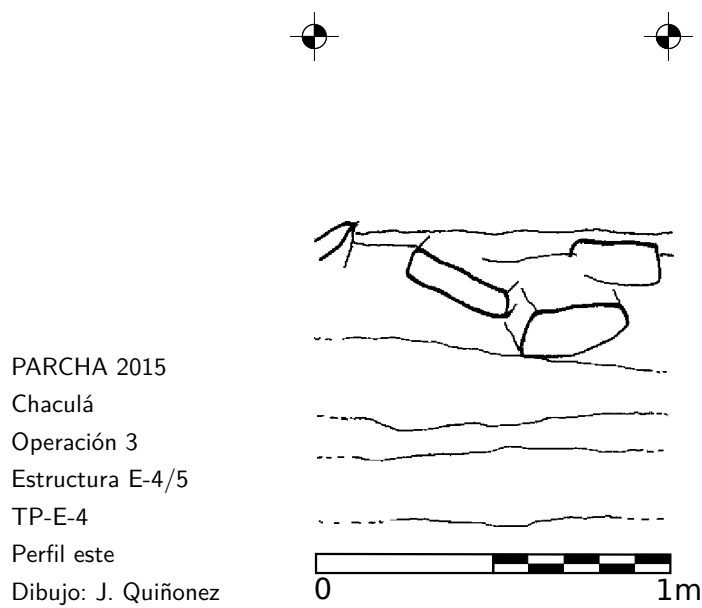


Figura 4.56 Perfil este de unidad TP-E-4, dibujo por J. Quiñonez



Figura 4.57 Planta general de Saqueo-1, dibujo por J. Quiñonez

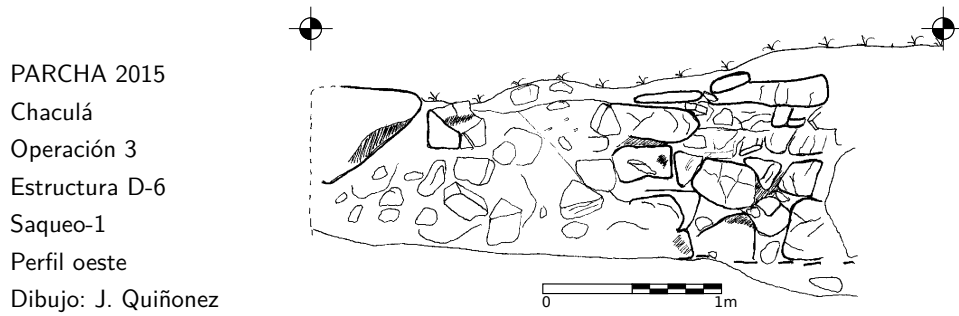


Figura 4.58 Perfil oeste de unidad Saqueo-1, dibujo por J. Quiñonez

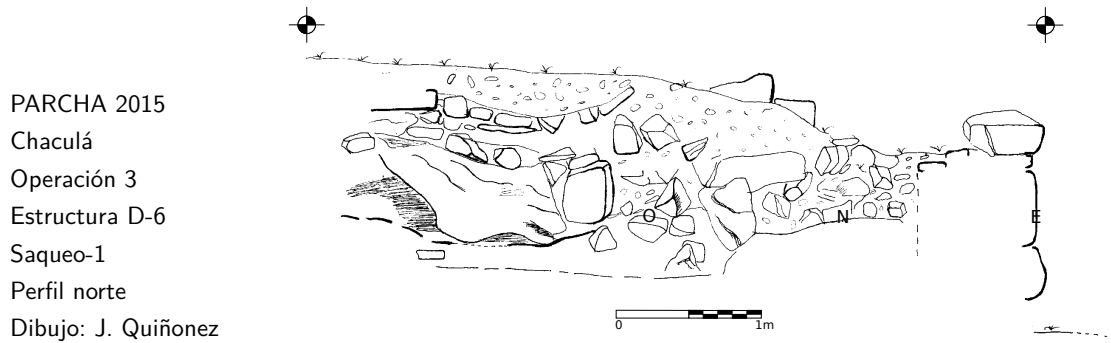


Figura 4.59 Perfil norte de unidad Saqueo-1, dibujo por J. Quiñonez

5 Mapeo del sitio arqueológico Pueblo Viejo Quen Santo

Ulrich Wölfel

Para la temporada 2015 el sitio de Pueblo Viejo Quen Santo constituye un nuevo enfoque del proyecto. De este sitio existe un mapa dibujado por Seler (1901: Fig. 119), reproducido en Figura 5.15. En el reconocimiento de PARCHA durante la temporada 2013 se detectó grupos adicionales en el sitio, así como errores en el mapa de Seler. Por tal razón se inició la Operación 5 con el fin de elaborar un nuevo mapa de Pueblo Viejo Quen Santo que sirve de referencia precisa para futuras investigaciones.

En el mapa de Seler, Pueblo Viejo Quen Santo no está dividido en grupos. Sin embargo, parece razonable considerar por separado por lo menos la parte norte de la sur del sitio, debido a que estos dos conjuntos se encuentran a una distancia de 180 m entre ellos. La parte más al norte se nombró Grupo A, mientras que la parte más al sur se denominó Grupo B.

Se mapearon los Grupos A y la parte norte del Grupo B de Pueblo Viejo Quen Santo (Figura 5.16). El número total de edificios en Grupo A es 24 y en Grupo son 35 edificios. En comparación con el mapa de Seler, hay 17 edificios adicionales en Grupo A y 22 edificios adicionales en Grupo B.

Para evitar confusión con la nomenclatura para los edificios de Seler se continua utilizando los números que él uso en su mapa. Los edificios del Grupo A recibieron los números A-35 hasta A-44 y los del Grupo B los números B-1 hasta B-32. En Grupo A Seler dio el número 35 a un monumento, la “Piedra Mesa”, que no se incluye en esta cuenta de edificios. El edificio 24 en el mapa (parte de Grupo B) de Seler fue incluido como plataforma enfrente y parte de B-25, por esto no existe un edificio B-24 en el mapa nuevo. También es importante mencionar que los números 33 y 34 de Seler corresponden con formaciones rocosas, no con estructuras del sitio, por esto no se incluyó en el mapeo. Finalmente, los edificios 28 hasta 31 en el mapa de Seler quedaron fuera del área de mapeo determinado para 2015. Edificios adicionales dentro del área de mapeo, que fueron identificados por primera vez por PARCHA 2015, recibieron números a partir del

último número del grupo dado por Seler, entonces en Grupo A los números continuaron con A-45 y en Grupo B con B-35.

Los trabajos de limpieza que se necesitó en preparación del mapeo eran mucho más limitados que en el caso de Chaculá, porque solo la parte mas norteña del Grupo A tiene un bosque, el resto del sitio está cubierto con zacate. La buena visibilidad en el sitio facilitó mucho los trabajos de reconocimiento.

La medición fue llevada a cabo con una estación total (Sokkia SET5X), partiendo de un polígono de cinco puntos fijos establecidos alrededor del Grupo A (usando cemento) y puntos temporales que fueron marcados con estacas y clavos durante el mapeo. Aparte de la medición de las estructuras, se mapeó también la topografía del área. Mientras en Chaculá se podía medir la topografía solamente en las partes limpias, como en las brechas y alrededor de los edificios, el levantamiento topográfico en Pueblo Viejo Quen Santo cubrió el terreno por completo.

5.1. El Grupo A

Con los números en su mapa Seler no solamente marcó edificios, pero en algunos casos también monumentos, como es el caso de A-35, también conocida como la “Piedra Mesa” (Figura 5.1). Este monumento consiste de una piedra natural cuya forma se asemeja a un cuadrado, con una superficie plana. Se encuentra colocada encima de tres “patas” de piedras mas pequeñas y en el caso de una tallada, para que ninguna parte de la “mesa” toque el suelo. La manera de colocar la mesa encima de tres patas recuerda las tres piedras que forman un tenamaste.

Los edificios principales del Grupo A flanquean dos pequeñas plazas: A-36 y A-37 la plaza sur donde queda la plataforma baja A-38, así como A-41 y A-42 (Figura 5.2), el último con sus anexos encontrados por PARCHA, A-46 al norte y A-45 al sur. Entre estos dos conjuntos se encuentran tres edificios aproximadamente alineados norte-sur (A-39, A-48 y A-49). Al nor-este de A-39 existe otra plataforma baja, A-47, que se encuentra muy destruida por una trinchera de saqueo. El edificio A-39 era el único incluido en el mapa de Seler. Sin embargo, falta la pequeña plataforma cuadrada A-50 enfrente de A-39 (Figura 5.4). Al lado de esta plataforma se encontró un pequeño pilar de piedra, que se denotó Monumento 18 (véase también Capítulo 6). Es posible que sobre esta plataforma y la plataforma A-38 originalmente fueron erigidos estelas, como los monumentos que Seler encontró en Sacchanná (y que según él vienen de Quen Santo). Directamente al sur de A-49 se abre una cueva natural (AC-2) con una entrada vertical que mide 8 m de profundidad. En el lado sur-oeste se observó unas piedras colocadas como nivelación del terreno en la orilla. La cueva tiene dos entradas, hacia el nor-este y el sur. Una

exploración muy breve por uno de los asistentes del proyecto no resultó en el hallazgo de materiales culturales. Otra cueva notable (AC-1) se encuentra atrás (al este) de A-37. En su lado norte tiene piedras colocadas de igual manera que en el caso de AC-2, para nivelar la orilla. Debido a la profundidad medida de 22.60 m no fue explorada.

En la parte sur-este del grupo se encuentran otras plataformas bajas que no fueron registrados por Seler, A-51–A-55. La plataforma A-55 forma parte del complejo de A-36 y está conectada por un muro con su plataforma inferior (al sur-oeste).

La parte al norte de la plaza de A-41 y A-42 no fue estudiado detalladamente por Seler, debido a la densidad de la vegetación (Seler 1901:127–129). Solo una estructura aparece en su mapa, A-43 (Figura 5.3). Aunque muestra un pequeño saqueo en su parte posterior, los muros de esta estructura se encuentran generalmente en un buen estado de conservación. Junto con A-57 y A-58 forma un pequeño conjunto, posiblemente de carácter habitacional. Al nor-este de A-43 se encuentra otra estructura (A-60) con una pequeña plataforma a su lado (A-61), ambos muy deteriorados. Construido sobre un peñasco aislado, al nor-oeste de A-43, se encuentra otra pequeña plataforma, A-59. Su función aún no es clara, pero se notó la presencia de varias entradas a cuevas profundas en esta parte. Debido a la dificultad del acceso, no se mapeó toda esta parte.

5.2. El Grupo B

El terreno al sur del Grupo A baja ligeramente hacia el oeste, mientras al este se encuentra una pequeña colina. Al norte de esta colina se encuentran dos plataformas bajas, B-35 y B-36, en la orilla del barranco. La orilla de la colina está nivelada, especialmente en sus lados sur, donde también se encuentra una escalinata muy derrumbada, y oeste. Encima de la colina, en la esquina sur-este, queda otra pequeña plataforma, B-37 (Figura 5.7). Desde esta plataforma existe una línea de vista que cruza el barranco y llega a un grupo de estructuras en una elevación del terreno. La orientación es de aproximadamente 10 grados al norte de este y podría haber servido como observatorio, muy similar al “Grupo E” de Uaxac Canal (Wölfel 2015b:14–15). Debido a la falta de exploración más detallada al otro lado del barranco, esta interpretación tiene que ser considerada como hipótesis preliminar. La escalinata al sur de la colina llega al lado posterior de otro edificio, B-38, que se encuentra en un estado muy derrumbado, especialmente en su lado sur, aunque partes de su fachada frontal todavía son reconocibles (Figura 5.8).

Cerca de la orilla del barranco occidental se encuentra un edificio muy derrumbado, B-32, que solamente preserva partes de su fachada oriental (Figura 5.6). Probablemente es esta estructura a que se refiere el número 32 en el mapa de Seler, aunque el no lo reconoce como edificio, pero como parte de una muralla que solamente permite el

paso en el espacio angosto entre sus números 32 y 33 (Seler 1901:108–109), el último posiblemente idéntico con el edificio B-40 en el mapa de PARCHA. En esta parte existen varias plataformas bajas que faltan en el mapa de Seler, como los edificios B-39, B-43 y B-44.

El complejo principal del Grupo B se encuentra directamente al sur de B-44. Una plaza hundida está flanqueada por los edificios B-22–B-26, B-53 y B-20. En la plaza se encuentra un conjunto para el juego de pelota, con dos edificios paralelos, B-21 y B-55 (Figuras 5.9 y 5.10). Los números más altos de B-53 y B-55 indican que estas no fueron identificados con números individuales por Seler. Al sur de la plaza con el juego de pelota una escalinata con tres gradas que se extiende por toda la parte sur de la plaza, lleva a otra plaza, flanqueada por los edificios B-15–B-19 y B-56. En la plaza, cerca de la escalinata, queda una plataforma baja (B-52) y mas al sur hay un alineamiento de piedras que posiblemente formaba una plataforma muy pequeña (B-54).

Las Estructuras B-53, B-20, B-19, B-18, B-56 y B-15 forman (de norte al sur) un complejo grande, el más grande de Pueblo Viejo Quen Santo descubierto hasta la fecha, que se puede llamar un “palacio” (Figura 5.11). El palacio está orientado hacia la plaza con el conjunto para el juego de pelota al oeste, con escalinatas visibles enfrente de B-53, B-19 y B-18. El edificio B-55, parte del conjunto para el juego de pelota, está integrado en el complejo del palacio (Figura 5.10), conformando al patrón de “Integración Cancha-Plataforma Principal”, descubierto por PARCHA 2013 (Castillo y Wölfel 2013a:77).

El estado de conservación del palacio generalmente es muy bien, especialmente el edificio B-53 casi no muestra daños por derrumbe y solo un pequeño saqueo (Figura 5.12). En la parte superior de B-19 se logra distinguir las alfardas y partes de la escalinata (Figura 5.13, véase también el dibujo de Seler 1901: Fig. 126). Otras partes muestran más derrumbe, como la escalinata enfrente de B-18 y el lado oriental del complejo. En el edificio B-18 se observó unos saqueos, incluso uno que ya fue marcado por Seler (1901: Fig. 125) en su mapa, un subterráneo abierto en la plataforma enfrente del edificio. También se nota unas paredes bien preservadas en los otros edificios circundando las plazas, como en el caso de B-16 (Figura 5.5).

Atrás (es decir, al oriente) del complejo principal se encuentra una fila de cuatro edificios bajos, B-27 y B-49–B-51 (Figura 5.14). De estos, solo B-27 aparece en el mapa de Seler. El terreno sube hacia el nor-este, donde dos terrazas grandes sirven para aplanarlo en dos niveles, sobre los cuales están construidos los edificios de un conjunto de carácter habitacional, B-41 y B-42 en la terraza alta, así como B-45 y la pequeña plataforma A-46 en la terraza baja. Enfrente de la terraza más baja se encuentran otros dos edificios, B-47 y B-48. Esta última estructura podría ser considerada parte de la fila de edificios que empieza con B-49. Todos estos edificios no fueron registrados por Seler.

5.3. Perfiles de las excavaciones de Eduard Seler

Durante el reconocimiento en la temporada 2013 de PARCHA se descubrió las trincheras de excavación realizadas por Eduard Seler en 1896 en las Estructuras B-23, A-37 y A-41. Una trinchera adicional, en la Estructura 44 del mapa de Seler no podía ser asociado con certeza con las actividades de Seler. Dos de las trincheras, en B-23 y A-41, muestran un excelente estado de conservación que permite el registro de información estratigráfica, mientras la trinchera en A-37 está colapsada en grandes partes. Por tal razón, se decidió la elaboración de dibujos de perfiles en las trincheras de B-23 y A-37.

La metodología utilizada en la producción de los perfiles se asemejó a la metodología empleada en el mapeo. Primero se dibujó un croquis del perfil, sin escala, que muestra los rasgos importantes, como nivel de superficie y del fondo, piedras talladas y capas de estuco. Con la estación total se recordó puntos en estos rasgos. Para las piedras importantes, se tomó por lo menos tres puntos en piedras rectangulares y en casos de piedras con formas irregulares, se tomó más puntos. Debido a que las trincheras no fueron excavados con paredes rectas (es decir, ortogonales con respecto al nivel del mar), los datos recordados de esta manera no muestran un perfil en el sentido tradicional, pero una composición de rasgos de varios posibles perfiles. Sin embargo, la superposición de estos rasgos aumenta la información que se pudo obtener en estas trincheras antiguas. Luego al recordar los datos con la estación total, se tenía que proyectar los puntos recordados a un plano ortogonal con respecto al nivel del mar, cuya orientación en el plano x - y es definida por una recta $y = ax + b$ de regresión, con a, b siendo los coeficientes que minimizan la distancia entre la recta y los puntos medidos en el sentido de mínimos cuadrados,

$$\min_{a,b} \sum_{i=0}^n (y_i - (ax_i + b))^2 .$$

Al plano definido por esta recta, se proyecta las coordenadas medidas con la estación total, es decir, un punto medido $P = (p_1, p_2, p_3)$ es transformado en un punto proyectado $P' = (p_1, p_2, p_3) + \alpha(a, b, c)$, con

$$\alpha = -\frac{ap_1 + bp_2 + cp_3}{a^2 + b^2 + c^2} .$$

Para determinar a , b y c se busca una solución non-trivial de un sistema linear de ecuaciones,

$$\begin{aligned} av_1 + bv_2 + cv_3 &= 0 \\ aw_1 + bw_2 + cw_3 &= 0 , \end{aligned}$$

con (v_1, v_2, v_3) y (w_1, w_2, w_3) siendo puntos del plano. Figura 5.18 muestra gráficas de las proyecciones para los perfiles en B-23 y A-41.

A base de las proyecciones de los puntos medidos en los perfiles de las trincheras de Seler en B-23 y A-41 se realizaron dos dibujos de perfiles, uno para el perfil norte de B-23 (Figura 5.19) y uno para el perfil nor-este de A-41 (Figura 5.19). Estos constituyen una parte importante de la documentación de las excavaciones de Seler. En su libro, Seler solamente da descripciones breves de los contextos en que hizo sus hallazgos. En los siguientes párrafos se compara las descripciones de Seler con los perfiles y observaciones que se hizo en los perfiles durante la temporada 2015 de PARCHA. La primera excavación se ejecutó en B-23.

“Der Hügel war durchweg aus Steinen aufgebaut. Unter der mit Erde überschütteten lockeren Steinpackung des Gipfels folgte in 0,75 m Tiefe eine etwa 16 cm starke Schicht schwarzer Humuserde. Darunter eine etwa 12 cm starke Schicht weisser kalkiger Erde (Mörtelschicht). Darunter kamen plattenförmige Steine zum Vorschein.” (Seler 1901:106)

El túmulo estaba construido completamente de piedras. Debajo de la capa floja de piedras cubierta con tierra en la cumbre siguió en 0.75 m de profundidad una capa de humus negro con un grosor de 16 cm. Debajo había una capa de tierra blanca calcárea (capa de argamasa) de 12 cm de grosor. Debajo salieron a la luz piedras en forma de losas. (traducción por U. Wölfel)

Se logró identificar esta capa de estuco reportada por Seler. Según las medidas tomadas en el perfil por PARCHA, la capa de estuco tiene un grosor de 0.15 m y se encuentra en una profundidad de aproximadamente 0.55 m desde la cumbre. Probablemente se trata de un piso de estuco. La secuencia de capas que describe Seler sugiere que las piedras flojas que descubrió en la cumbre constituyen el derrumbe de partes del edificio que se encontraron encima del piso de estuco, es decir, es posible que el edificio tenía paredes de piedras. La cantidad del material que se encuentra encima del piso y que cayó alrededor de la cumbre, cubriendo los muros y dando la apariencia de un montículo, encaja bien con esta interpretación. El hecho que Seler encontró una capa de humus debajo de las piedras flojas indica que por cierto tiempo después de su abandono las paredes estaban intactos. La forma de construcción del piso es típico para la región, con lajas formando el fundamento para una capa de estuco.

En la parte oriental de la trinchera, donde se supone la fachada del edificio, se encontró un pequeño fragmento de estuco modelado (Figura 5.23). Este hallazgo abre la posibilidad de que el edificio tenía un friso de estuco en su fachada. La existencia de frisos de estuco en ciertos edificios ya fue notada por Seler. En Uaxac Canal, Grupo de túmulos 1 en el lado de la Ventana, el encontró varios fragmentos de caras y figuras modeladas con estuco (Seler 1901:35–38). En algunos casos, el estuco estaba aplicado sobre

un esqueleto de madera. Otro ejemplo de un friso de estuco fue encontrado en la Casa del Sol, al norte de Pueblo Viejo Quen Santo. Seler (1901:144–145; Fig. 212) reporta “unas cabezas y fragmentos de figuras de argamasa”, también montados sobre palos de madera que ya eran podridos en el tiempo de Seler, y supone que originalmente eran colocados en la fachada del edificio principal de este complejo. Navarrete (1975:15–17, 22; Fig. 6, 10) reporta fragmentos de estuco modelado descubiertas en la Estructura 1 del sitio arqueológico Chinkultic en Chiapas y considera estos estilísticamente similares a ejemplos de estuco modelado en sitios de la Selva Lacandona y la costa de Tabasco.

Seler continua su descripción de las excavaciones en B-23.

“Bei der Eröffnung der Breche an der westlichen, der Barranca zugekehrten Seite zeigte sich eine zweite innere Wandbekleidung oder Steinstufe, die wohl die Seitenbekleidung eines früheren niedrigeren Hügels darstellt. Bei dem Tiefergraben wurde es deutlich, dass der Damm 22 unter dem Hügel sich fortsetzte und mit der lockeren Steinsetzung, aus der die Hauptmasse des Hügels aufgebaut war, überschüttet war. Eine Art festen Gerippes gaben der lockeren Steinsetzung größere Quadern derben Gesteins, die in der Mitte des Hügels etwas regelmässiger über einander gebaut waren. [...] Ein Grab, oder auch nur eine Andeutung eines solchen, wurde in dem Hügel, soweit ich ihn aufgraben konnte, nicht gefunden.” (Seler 1901:106–107)

Mientras abriendo la brecha al lado oeste, orientado hacia la barranca, apareció un segundo revestimiento interno o escalón de piedra, que probablemente presenta el revestimiento lateral de un túmulo anterior, más bajo. Excavando mas profundo se clareó que el terraplén 22 siguió debajo del túmulo y estaba cubrido con el relleno flojo con que está construida la mayor parte del túmulo. Unos sillares de piedras burdas formaban un tipo de esqueleto para el relleno flojo, los cuales estaban puestos mas regularmente hacia el centro del túmulo. [...] No se encontró ningún indicio de una tumba dentro del túmulo, por lo que yo podía abrirlo. (traducción por U. Wölfel)

Este “revestimiento” en forma de dos cuerpos de muros bajos fue encontrado y medido por PARCHA. Su altura corresponde muy bien con el muro frontal del edificio que queda expuesto por la “entrada” a la trinchera de Seler (Figura 5.22). Si la identificación de Seler de estos muros como parte de una plataforma basal o anterior es correcta y el muro frontal es parte de la misma plataforma, la extensión este-oeste de la misma estuviera aproximadamente 9 m. La otra observación de Seler, que la plataforma B-22 siguió debajo de B-23, no se podía corroborar, aunque se notó la presencia de piedras no talladas de grandes dimensiones en esta parte. Sin embargo, estas piedras simplemente podrían

formar parte del relleno de B-23, sin conexión con B-22. De todas formas, se nota como la trinchera de Seler es menos profunda justamente en la parte donde podría haber sido la extensión de B-22 debajo de B-23. Es posible que Seler, guiado por su interpretación, dejó de excavar en esta parte.

Además de la descripción estratigráfica que es de gran interés para esta comparación con los datos nuevos de PARCHA, Seler hace mención de objetos hallados en sus excavaciones. La integración de estos objetos con la información estratigráfica expuesta aquí será el tema de un estudio futuro.

La descripción de Seler sigue con sus excavaciones en la Estructura A-37. Sin embargo, porque no fue mapeado el perfil de la trinchera en esta estructura, se sigue con la trinchera en A-41.

“In 1,10 m Tiefe unter der Gipffläche, von der Vorder- und Hinterwand um etwa 1,50 m entfernt, fand ich in der That eine Grabkammer mit Skelettresten. [...] In der Längsrichtung (O.–W.) 0,70 m, in der Breite (N.–S.) 0,40 m, in der Höhe 0,36 m. Die Seiten der Kammer waren aus einer leidlich regelmässigen Steinsetzung erbaut. Die Decke bildeten drei grosse, 10–12 cm dicke Steine.” (Seler 1901:124)

En una profundidad de 1.10 m debajo de la cumbre, distando de las paredes frontales y posteriores aproximadamente 1.50 m, encontré de hecho una cámara mortuoria con restos de esqueleto. [...] De largo (E.–O.) [mide] 0.70 m, de ancho (N.–S.) 0.40 m, de alto 0.36 m. Los lados de la cámara fueron contruidos de una mampostería mas o menos regular. El techo fue formado por tres piedras grandes con 10–12 cm de grosor. (traducción por U. Wölfel)

Durante el reconocimiento de PARCHA 2013 se encontró esta “cámara mortuoria” (véase también Figura 5.25) y con la identificación de las piedras que forman este subterráneo, utilizando la fotografía que muestra Seler (1901:Lám. XXX), se logró verificar que la trinchera no es un saqueo reciente, pero la excavación de Seler que todavía queda abierta (Wölfel 2013:21–22; Fig. 3.39). Las medidas de Seler encajan bien con la situación documentada por PARCHA. El subterráneo se encuentra en una profundidad de aproximadamente 1.00 m debajo de la cumbre del montículo, su altura es de 0.35 m, su extensión norte-sur (= este-oeste de Seler) mide 0.50 m y dista 1.50 m de la pared posterior. No se podía identificar la pared frontal que, según Seler, también dista 1.50 m.

“Hinter dieser Grabkammer fanden sich die Scherben eines Gefässes von grossen Dimensionen und ausserordentlicher Wandstärke. Die Mündung hatte

einen Durchmesser von 65 cm und von 55 cm im Lichten. Die Wanddicke betrug gegen 2 1/2 cm.” (Seler 1901:124)

Atrás de esta cámara mortuoria se encontraron los pedazos de una vasija de grandes dimensiones y de un grosor excepcional. La boca tenía un diámetro [exterior] de 65 cm y de 55 cm en el interior. El grosor ascendió a alrededor de 2 1/2 cm. (traducción por U. Wölfel)

Restos de esta cerámica se encuentran todavía en el lugar, como muestra la Figura 5.26.

“Wiederum an der Westseite dieses Gefäßes, etwa in der Höhe des Bodens der Grabkammer und genau unter der westlichen Begrenzung der obersten Terrasse, fand sich in der Steinsetzung eine geebnete und oben rot bemalte Mörtelschicht, die in ost-westlicher Richtung etwa eine Ausdehnung von 0,30 m hatte, und unter der Schichten von Asche und Erde folgten.” (Seler 1901:124)

Por otra parte, al lado oeste de esta vasija, aproximadamente a la altura del suelo de la cámara mortuoria y exactamente debajo del límite occidental de la terraza superior, se encontró entre las piedras una capa de argamasa allanada y pintado en rojo en su parte superior, que tenía una extensión de aproximadamente 0.30 m en dirección este-oeste y debajo de la cual seguían capas de ceniza y tierra. (traducción por U. Wölfel)

Debido al mal estado de la trinchera en esta parte, no se logró identificar esta capa de argamasa.



Figura 5.1 Pueblo Viejo Quen Santo, “Estructura” A-35 / Monumento 9, la Piedra Mesa, fotografía por M. Guzmán



Figura 5.2 Pueblo Viejo Quen Santo, Estructura A-42, fotografía por M. Guzmán



Figura 5.3 Pueblo Viejo Quen Santo, Estructura A-43, fotografía por M. Guzmán



Figura 5.4 Pueblo Viejo Quen Santo, Estructura A-39 con plataforma A-50 enfrente, fotografía por M. Guzmán



Figura 5.5 Pueblo Viejo Quen Santo, Pared preservada de Estructura B-16, fotografía por M. Guzmán



Figura 5.6 Pueblo Viejo Quen Santo, Estructura B-32, fotografía por M. Guzmán



Figura 5.7 Pueblo Viejo Quen Santo, Estructura B-37, fotografías por M. Guzmán



Figura 5.8 Pueblo Viejo Quen Santo, Estructura B-38, fotografía por M. Guzmán



Figura 5.9 Pueblo Viejo Quen Santo, Estructura B-21, edificio oeste del conjunto para el juego de pelota, fotografía por M. Guzmán



Figura 5.10 Pueblo Viejo Quen Santo, Estructura B-55, edificio este del conjunto para el juego de pelota, fotografía por M. Guzmán



Figura 5.11 Pueblo Viejo Quen Santo, Estructuras B-53, B-55, B-20 y B-19, fotografía por M. Guzmán



Figura 5.12 Pueblo Viejo Quen Santo, pared preservada de Estructura B-53, fotografía por M. Guzmán



Figura 5.13 Pueblo Viejo Quen Santo, alfarda y escalinata de la Estructura B-19, fotografía por M. Guzmán



Figura 5.14 Pueblo Viejo Quen Santo, Estructuras B-49, B-27, B-50 y B-51, fotografía por U. Wölfel

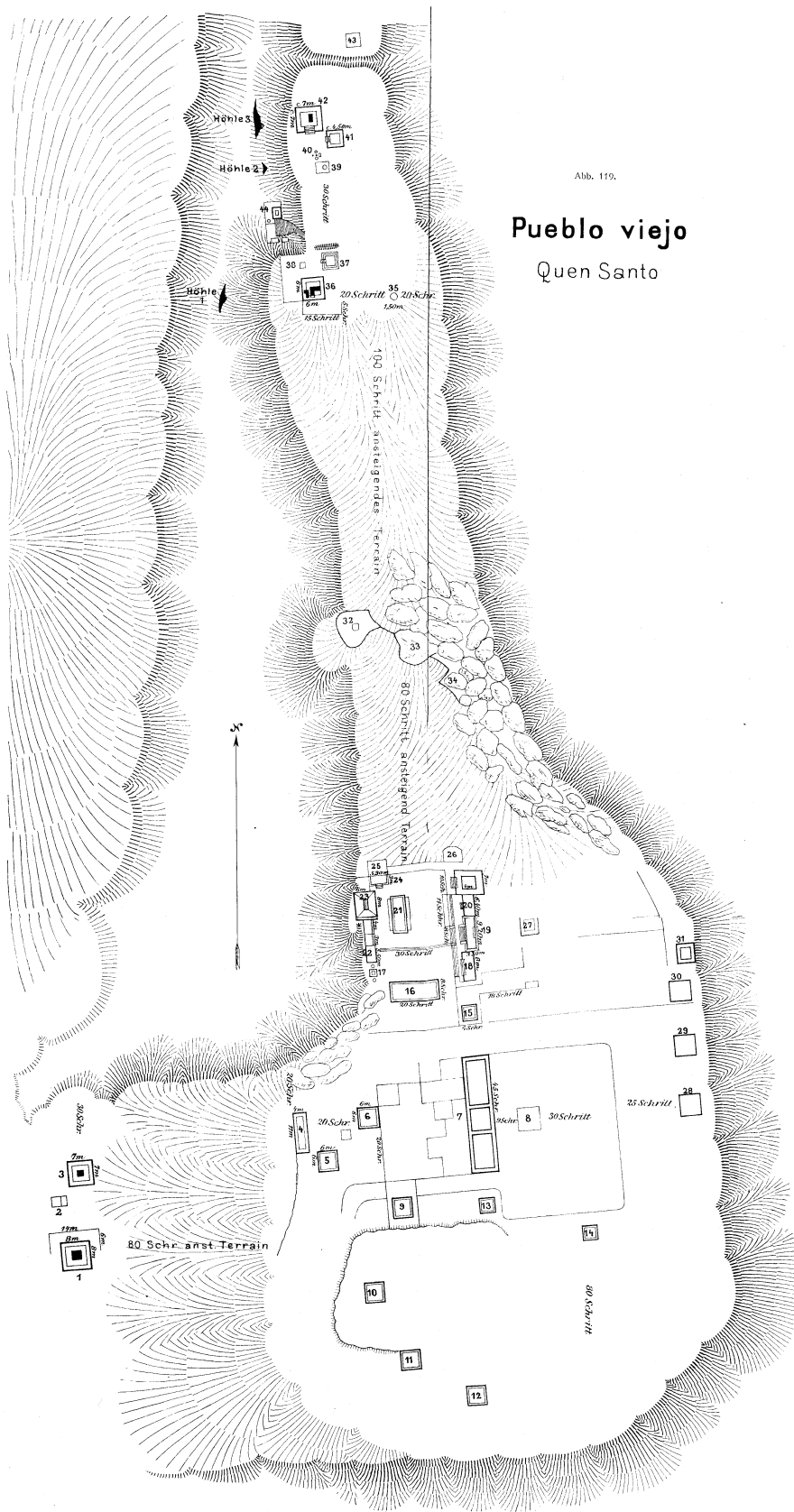


Figura 5.15 Mapa de Pueblo Viejo Quen Santo, Grupos A y B, tomado de Seler (1901: Fig. 119)

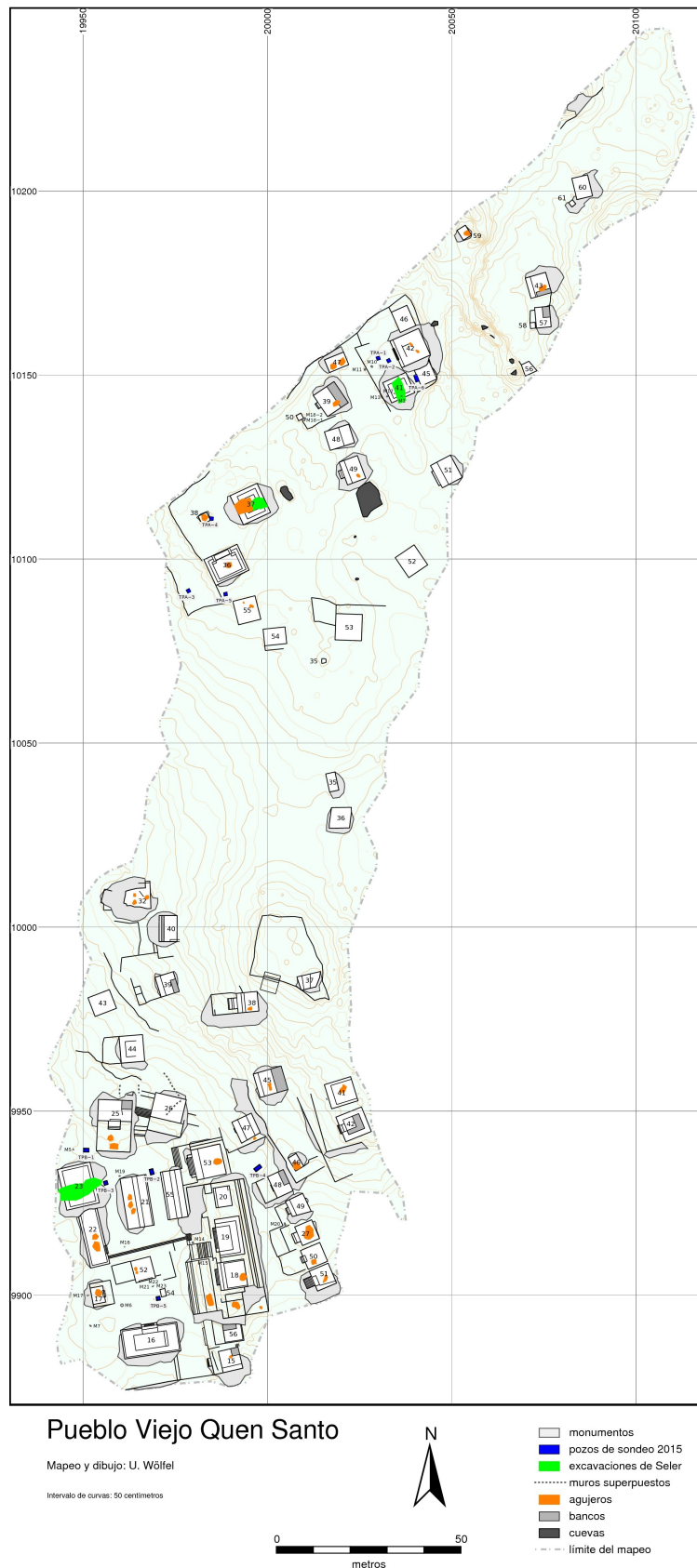


Figura 5.16 Mapa del sitio arqueológico Pueblo Viejo Quen Santo, dibujo por U. Wölfel

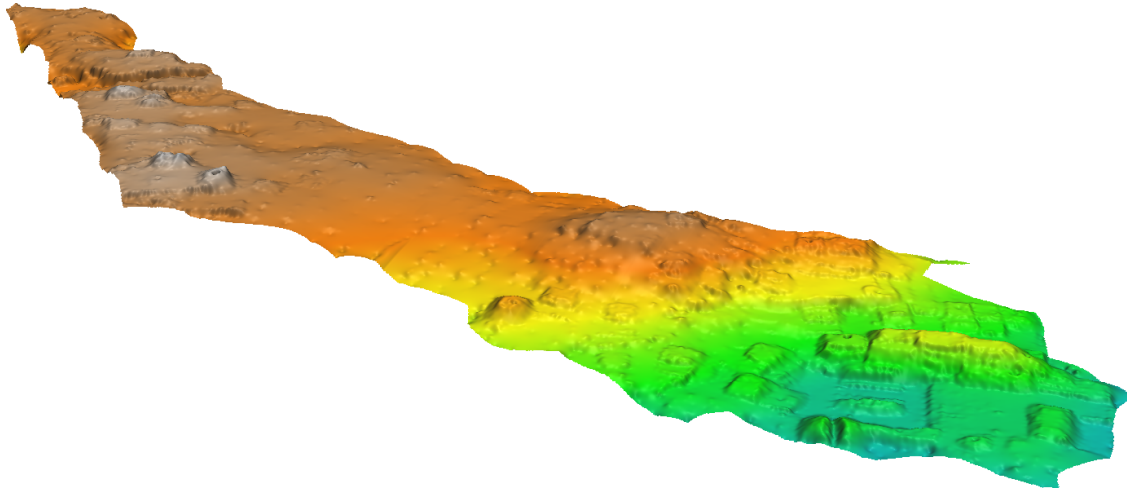


Figura 5.17 Pueblo Viejo Quen Santo, Superficie en 2.5D del terreno mapeado

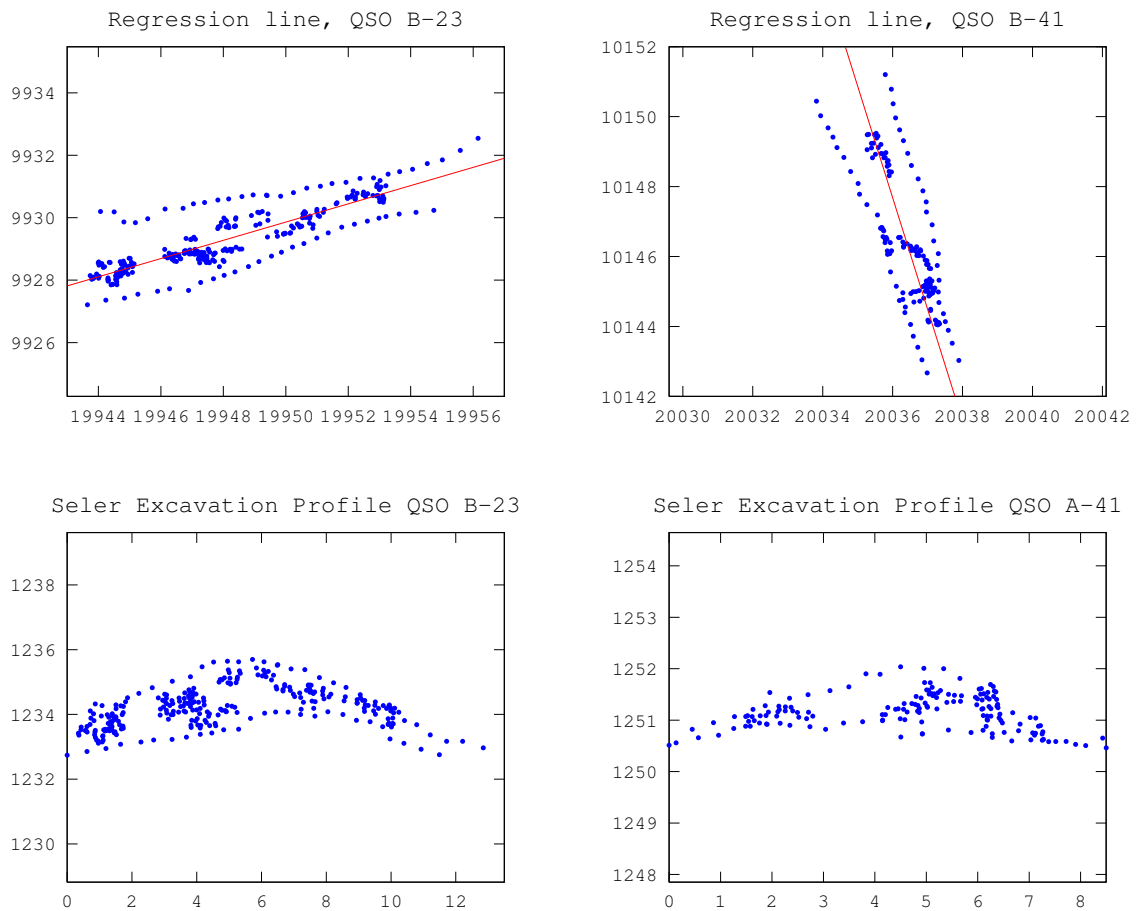


Figura 5.18 Pueblo Viejo Quen Santo, gráficas de la proyección de puntos en los perfiles de Seler, gráficas por U. Wölfel

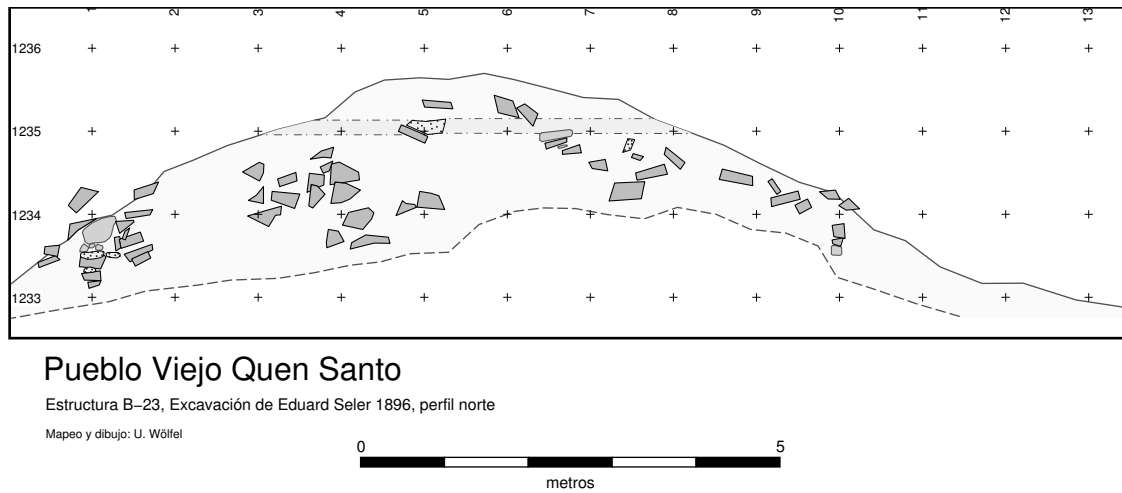


Figura 5.19 Pueblo Viejo Quen Santo, perfil norte de la trinchera de Seler en la Estructura B-23, dibujo por U. Wölfel

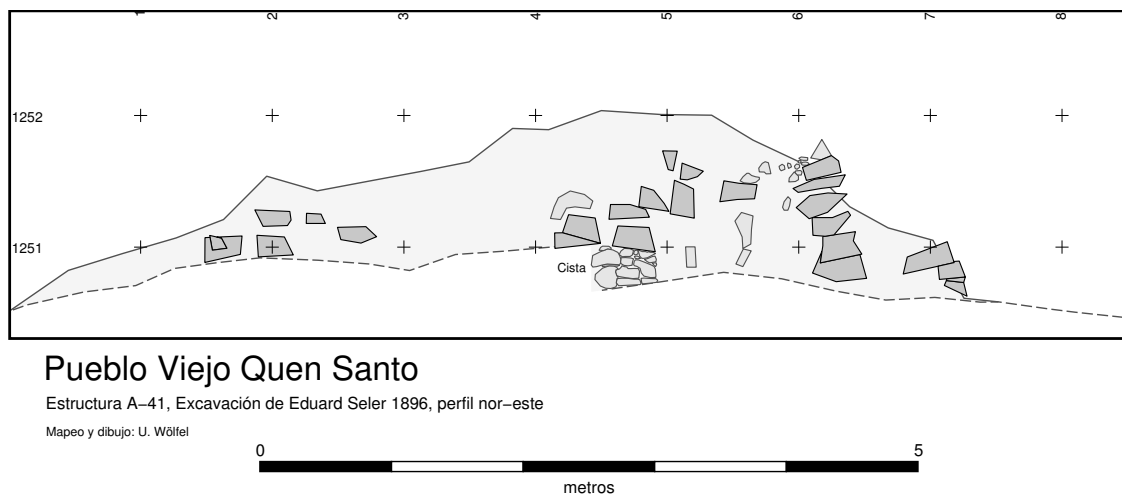


Figura 5.20 Pueblo Viejo Quen Santo, perfil nor-este de la trinchera de Seler en la Estructura A-41, dibujo por U. Wölfel



Figura 5.21 Pueblo Viejo Quen Santo, la trinchera de Seler en la Estructura B-23, lado oeste, fotografía por U. Wölfel



Figura 5.22 Pueblo Viejo Quen Santo, la trinchera de Seler en la Estructura B-23, lado este, con partes del muro frontal visibles, fotografía por M. Guzmán



Figura 5.23 Pueblo Viejo Quen Santo, fragmento de estuco modelado en la trinchera de Seler en la Estructura B-23, fotografía por U. Wölfel



Figura 5.24 Pueblo Viejo Quen Santo, trinchera de Seler en la Estructura A-41, vista del lado noroeste, fotografía por M. Guzmán



Figura 5.25 Pueblo Viejo Quen Santo, subterráneo de la trinchera de Seler en la Estructura A-41, fotografía por M. Guzmán



Figura 5.26 Pueblo Viejo Quen Santo, tiestos de cerámica al noroeste de la trinchera de Seler en la Estructura A-41, fotografía por M. Guzmán

6 Monumentos en el sitio arqueológico Pueblo Viejo Quen Santo

Ulrich Wölfel

Este capítulo fue revisado en el informe para la temporada 2016 con una nueva enumeración de los monumentos. Para evitar confusión, se omitió este capítulo de la versión web del informe 2015.

7 Excavaciones de pozos de sondeo en los Grupos A y B del sitio arqueológico Pueblo Viejo Quen Santo

Ulrich Wölfel y Alejandro Garay

El sitio Pueblo Viejo Quen Santo ha sido investigado por Eduard Seler con excavaciones en varias estructuras (entre estos B-23, A-37 y A-41). Estas excavaciones tenían sobre todo el fin de recuperar materiales cuya iconografía Seler podría estudiar. Aunque Seler da algunas descripciones textuales de los contextos y muestra dos fotografías de sus excavaciones, la documentación es inadecuada y hace difícil responder preguntas sobre la cronología de los materiales recuperados.

Debido a que en el tiempo de Seler la cronología de los sitios arqueológicos en el área Maya era desconocida, el estudio de este pionero carece por completo de información cronológica. Posterior al estudio de Seler, la situación cronológica del sitio ha sido propuesta como alrededor del año 1000 d.C., es decir, entre el Clásico Tardío o Terminal y el Posclásico Temprano (Navarrete y Martínez 1977; Navarrete 1979). Sin embargo, estas observaciones deben ser considerados preliminares, basados en observaciones sobre cerámica encontrada en el superficie. Solo con un estudio cronológico del sitio Pueblo Viejo Quen Santo basado en materiales recuperados en contextos estratigráficos se puede mejorar el conocimiento del desarrollo temporal de este sitio.

7.1. Objetivos

En la Operación 6 de PARCHA 2015 se llevaron a cabo las primeras excavaciones científicas después de la visita de Seler hace mas que cien años. Al igual que en el sitio arqueológico Chaculá, los objetivos para ejecutar los pozos de sondeo eran (a) buscar posibles basureros, (b) documentar la secuencia de pisos en plazas y plataformas, (c) encontrar esquinas, muros y otros rasgos arquitectónicos. Sobre todo, cada pozo tenía como fin la recuperación de materiales para estudiar la secuencia cronológica de los gru-

pos investigados. Debido a esto se analizó la estratigrafía de las plazas y plataformas del sitio y se recuperó material cerámico de contextos estratigráficos controlados para incluirlas en el análisis de tipo-variedad que se llevó a cabo durante el trabajo de laboratorio del proyecto. De esta manera se extiende la cronología regional establecida por PARCHA que hasta ahora se basa solamente en los materiales excavados en Chaculá y algunos hallazgos de superficie realizados durante los reconocimientos.

7.2. Metodología

Se realizó un total de once pozos de sondeo en Pueblo Viejo Quen Santo, seis en Grupo A (Figura 7.1) y cinco en Grupo B (Figura 7.2). La metodología empleada en la ejecución de los pozos siguió el mismo patrón como en Chaculá. En algunos casos, se extendió los pozos originales de 1.00 m × 1.00 m, siguiendo rasgos arquitectónicos o ampliando en contextos de basureros.

7.3. Descripción de las Excavaciones

La nomenclatura utilizada para designar las unidades realizadas en la Operación 6 siguió el mismo patrón como en el caso de Chaculá, TP-A y TP-B para unidades en Grupo A y Grupo B, respectivamente. El número total era de 11 pozos de sondeo, seis en Grupo A y cinco en Grupo B. Estos cubrieron un área total de 14 metros cuadrados que fueron excavados.

Grupo A

Unidad: TP-A-1

Dimensiones: 1.00 m × 1.00 m

No. Estratos: 1

No. Lotes: 1

Profundidad Máxima: 0.265 m

Ubicación: al oeste de A-42 y al norte de A-41

Objetivo: Determinar la posible presencia de un piso frente a las Estructuras A-41 y A-42 o una plataforma asociada con los monumentos indicados en el mapa de Seler con el número 40

Figuras: 7.3

Descripción: Se identificó un estrato y un lote en la unidad, que se describen a continuación:

Estrato 1: Capa orgánica de hojas, raíces y humus, de color negro, poco compactada. Hay presencia de pocas raíces, debido a que la roca madre está muy cerca de la superficie. Presentó un grosor máximo de 0.125 m, solo se identificó un lote, que corresponde con el estrato descrito.

Lote 1: 65 tiestos y 1 fragmento de obsidiana.

Se alcanzó el nivel de la roca madre que se encontraba a poca profundidad desde la superficie.

Comentarios: No se observó la presencia de un piso en el área excavada, tampoco se logró encontrar una plataforma asociada con los monumentos.

Unidad: TP-A-2

Dimensiones: 1.00 m × 1.00 m

No. Estratos: 2

No. Lotes: 2

Profundidad Máxima: 0.59 m

Ubicación: al oeste de A-42 y al norte de A-41, a 1.55 m al sureste de TP-A-1

Objetivo: Determinar la posible presencia de un piso o pisos frente a las Estructuras A-41 y A-42 o una plataforma asociada con los monumentos indicados en el mapa de Seler con el número 40

Figuras: 7.4, 7.5, 7.6

Descripción: Se identificaron dos estratos y dos lotes en la unidad, que se describen a continuación:

Estrato 1: Capa orgánica de hojas, raíces y humus, de color negro, poco compactada, con algún piedrín ocasional. Presentó un grosor máximo de 0.185 m, se identificó un lote.

Lote 1: 16 tiestos, 1 fragmento de pedernal, 3 fragmentos de obsidiana y 2 fragmentos de estuco.

Estrato 2: Capa de tierra café oscura con algunas raíces, encontrada debajo de una capa de piedras colocadas como relleno y/o nivelación. Se observó al noroeste del pozo una concentración de piedrín, con un diámetro no mayor a 5.0 cm ni menor de 2.0 cm, con estuco pulverizado o en fragmentos. En esta zona la roca madre se encontraba a mayor profundidad, debido a un desnivel natural, que produjo una oquedad que fue rellenada parcialmente con el material descrito. Presentó un grosor máximo de 0.90 m, se identificó un lote.

Lote 1: 89 tiestos, 1 fragmento de cuarzo y 128 fragmento de estuco.

Se alcanzó la roca madre, por lo que se detuvo la excavación.

Comentarios: La capa de piedra registrada en esta unidad se encontraba directamente sobre la roca madre lo que parece indicar que quizás fuera parte de una nivelación y/o relleno realizado frente a A-41 y A-42.

Unidad: TP-A-3

Dimensiones: 1.00 m × 1.00 m

No. Estratos: 2

No. Lotes: 2

Profundidad Máxima: 0.83 m

Ubicación: plataforma al oeste de A-36

Objetivo: determinar la presencia de pisos frente a la Estructura A-36, además de definir la existencia de un posible basurero en el área.

Figuras: 7.7, 7.8

Descripción: Se identificaron dos estratos y dos lotes en la unidad, que se describen a continuación.

Estrato 1: Capa orgánica poco compactada con hojas, raíces y humus, de color negro, tiene poco piedrín como inclusión. Se observaron rocas grandes al oeste del pozo, donde la roca madre se encuentra más profunda. Presentó un grosor máximo de 0.23 m. Solo se identificó un lote.

Lote 1: 276 tiestos, 10 fragmentos de pedernal, 2 fragmentos de obsidiana, 2 fragmentos de cuarzo y 1 piedra pequeña pulida.

Estrato 2: Capa ligeramente compactada de tierra café con piedrín uniforme en su composición y tamaño. Se observaron rocas grandes — de entre 0.30 m–0.40 m de diámetro — al oeste del pozo, utilizadas para rellenar y salvar un desnivel en la roca madre, creando una superficie uniforme para la plataforma. Presentó un grosor máximo de 0.14 m. Se identificó un lote.

Lote 1: 43 tiestos y 1 fragmento de pedernal.

La excavación finalizó al haberse alcanzado la roca madre.

Comentarios: La capa de tierra con piedrín que se observó principalmente al este y noroeste del pozo, probablemente corresponde con el antiguo piso en uso de la plataforma, ya que se encuentra justo sobre la roca madre, al nivel de las grandes rocas de relleno al oeste. No hay evidencias de un basurero en el área excavada.

Unidad: TP-A-4

Dimensiones: 1.00 m × 1.00 m

No. Estratos: 2

No. Lotes: 2

Profundidad Máxima: 0.69 m

Ubicación: al este de A-38

Objetivo: determinar la presencia de un piso u otro tipo de arquitectura frente a la Estructura A-38

Figuras: 7.9, 7.10, 7.11

Descripción: Se identificaron dos estratos y dos lotes en la unidad, que se describen a continuación.

Estrato 1: Capa orgánica poco compacta de hojas, raíces y humus, de color café oscuro. Presentó un grosor máximo de 0.14 m, se identificó un lote.

Lote 1: 110 tiestos, 7 fragmentos de estuco, 3 posibles fragmentos de figurilla, 1 caracol y 1 piedra pequeña pulida.

Estrato 2: Capa de tierra café oscura con raíces y algunos fragmentos de estuco, ligeramente compactada, colocada sobre la roca madre. Esta tierra se encuentra directamente debajo de la capa de piedras planas que se encontró al final del estrato anterior. Presentó un grosor máximo de 0.15 m, se identificó un lote.

Lote 1: 37 tiestos, 8 fragmentos de estuco, 2 fragmentos de cuarzo y 2 posibles fragmento de figurilla.

Se finalizó la excavación al encontrar la roca madre.

Comentarios: En esta unidad se encontró una capa de piedras o empedrado, que podría corresponder parcialmente con la plataforma baja denominada A-38, o con un piso enfrente de la misma, entre esa estructura y A-37. Es importante resaltar que el contexto arqueológico en esa área se encuentra altamente alterado por un saqueo realizado en el centro de A-38, producto del cual hay muchas piedras removidas en superficie. El Estrato 1 fue el más afectado por estas piedras, creando alineaciones donde no las había y alterando la apariencia de la estratigrafía donde se las encontró.

Unidad: TP-A-5

Dimensiones: 1.00 m × 1.00 m

No. Estratos: 5

No. Lotes: 5

Profundidad Máxima: 1.82 m

Ubicación: plataforma al sur de A-36

Objetivo: determinar la existencia de un posible basurero en el área

Figuras: 7.12, 7.13

Descripción: Se identificaron cinco estratos y cinco lotes en la unidad, que se describen a continuación.

Estrato 1: Capa orgánica de hojas, raíces y humus, color café oscuro, poco compactada, con poco pedrín. Presentó un grosor máximo de 0.07 m. Se identificó un lote.

Lote 1: 8 tiestos.

Estrato 2: 1. Capa de tierra café ligeramente compactada con raíces y pedrín de entre 5.0 cm y 2.0 cm de diámetro. Al sureste del pozo se identificó una saliente de roca madre. Presentó un grosor máximo de 0.42 m.

Lote 1: 45 tiestos y 2 fragmentos de estuco.

Estrato 2: 2. Capa de tierra café con poco o nulo piedrín, ligeramente más compactada que la anterior. Se encuentra debajo de unas piedras grandes de relleno, con un diámetro mayor a 0.25 m, con las que inicia el estrato. La composición y color de la tierra en este estrato son iguales que las del anterior, con excepción de la falta de piedrín. Las piedras parecen haber sido colocadas para rellenar una oquedad dentro de la roca madre y crear una superficie uniforme para la plataforma adosada a la estructura. Presentó un grosor máximo de 0.41 m.

Lote 2: 2 tiestos, 1 fragmento de pedernal y 5 fragmentos de estuco.

Estrato 3: Capa de tierra café clara muy compacta y dura, con piedrín de caliza finamente molido, casi arenoso. Se encontraron piedras grandes, de más de 0.20 m de diámetro, quizás de relleno. La roca madre fue identificada al oeste y al este del pozo, por lo que la zona donde se excavó este estrato corresponde a una pequeña oquedad dentro de la roca madre, que se fue tornando más angosta a medida que se excavó. Presentó un grosor máximo de 0.60 m.

Lote 1: 1 muestra de tierra con piedrín molido, no hubo material cultural.

Estrato 4: Capa de barro café rojizo muy compacto y duro, con inclusiones de piedrín fino de caliza y otras piedras molidas, es un estrato natural. Se encuentra dentro de la oquedad identificada en la roca madre, que va cerrándose en forma de V. Presentó un grosor máximo de 0.60 m. Sin material cultural. Se finalizó la excavación.

Comentarios: El material cultural encontrado no parece indicativo de un basurero, por lo que se descarta la presencia de uno al sur de A-36. Se documentó una capa de relleno o nivelación, que formaba la plataforma al sur de A-36, cuyo piso estaba formado por tierra con piedrín de caliza. Esta plataforma podría haber sido el acceso al edificio A-36.

Unidad: TP-A-6

Dimensiones: 2.00 m × 1.00 m

No. Estratos: 7

No. Lotes: 16

Profundidad Máxima: 1.90 m

Ubicación: frente al muro oeste de A-45

Objetivo: identificar la presencia de un posible basurero en el espacio entre A-41, A-42 y A-45, además de documentar posibles pisos u otro rasgo arquitectónico presente en dicho espacio

Figuras: 7.14, 7.15

Descripción: Se identificaron siete estratos y dieciséis lotes en la unidad, que se describen a continuación.

Estrato 1: Capa orgánica poco compactada, con hojas, raíces y humus, de color café oscuro con presencia de pedrín y varias piedras de derrumbe, también hubo presencia de barro quemado. Presentó un grosor máximo de 0.22 m. Un solo lote fue identificado. Este estrato fue encontrado tanto en la unidad original, como en las extensiones que se realizaron al norte y al sur.

Lote 1: 205 tiestos, 181 fragmentos de barro quemado y 1 fragmento de estuco.

Lote 1 (extensión sur): 44 tiestos y 2 fragmentos de estuco.

Lote 1 (extensión norte): 111 tiestos, 3 fragmentos de hueso, 1 fragmento de pedernal, 2 fragmentos de barro quemado y 4 fragmentos de carbón.

Estrato 2: Capa de tierra café-anaranjada arenosa, con barro quemado y abundantes piedrines, además de fragmentos ocasionales de estuco, como inclusiones. Se observó mucho material cultural, sobre todo en la parte excavada de la unidad original. Se notó un alineamiento de piedra que se extendía de norte a sur, probablemente parte de un muro de A-45. La extensión norte solo se excavó superficialmente, para dejarla como testigo de este estrato. Presentó un grosor máximo de 0.28 m.

Se identificaron dos lotes, la división entre ambos lotes es arbitraria, debida a diferentes momentos de excavación. Este estrato fue identificado tanto en la unidad original, como en las extensiones que se realizaron al norte y al sur. El Lote 2 solo se excavó en la unidad original, ya que en la extensión sur se encontró un muro que conecta con el de A-45.

Lote 1: 125 tiestos, 2 fragmentos de pedernal, 6 fragmentos de barro quemado y 8 fragmentos de estuco.

Lote 1 (extensión sur): 47 tiestos y 2 fragmentos de estuco.

Lote 2: 210 tiestos, 5 fragmentos de pedernal, 1 fragmento de obsidiana, 8 fragmentos de carbón y 7 fragmentos de estuco.

Estrato 3: Capa de tierra gris oscura, con inclusiones de piedrín y caliza pulverizada, también se encontró carbón y estuco. Se siguió observando el alineamiento identificado en el estrato anterior, claramente definido como un muro de A-45 que se cierra en la extensión sur con otro muro, formando una “L”. Se excavó solamente en el área frente a ambos muros. Presentó un grosor máximo de 0.13 m. Este estrato parece haber sido un relleno que quizás se colocó para cubrir un piso o suelo anterior, que sirvió de apoyo al muro de A-45.

Lote 1: 48 tiestos, 1 fragmento de pedernal y 15 fragmentos de estuco.

Lote 1 (extensión sur): 3 tiestos.

Estrato 4: Capa gruesa de estuco con tierra, que parece corresponder con los restos de un antiguo piso, al nivel de la base del muro de A-45, contiene pocas inclusiones de piedrín. El estuco es muy fino, se lo observa en pulverizado y en fragmentos pequeños. Hay presencia de algunas piedras grandes de caliza, que parecen haber sido colocadas como relleno o mortero para dar sostén al piso. Presentó un grosor máximo de 0.28 m. Tan solo se identificó un lote. Este estrato fue identificado tanto en la unidad original, como en la extensión sur. Solamente el área frente a los muros identificados en el estrato anterior fue excavada.

Lote 1: 9 tiestos y 9 fragmentos de estuco.

Lote 1 (extensión sur): 2 tiestos.

Estrato 5: Capa gruesa de barro café oscuro, muy compactado, con piedrín (de menos de 2.0 cm de diámetro) y polvo de caliza como inclusiones. Se identificaron dos lotes, que se definieron horizontales, la división entre ambos es arbitraria. El Lote 1 presentó un grosor máximo de 0.43 m, mientras que el del Lote 2 fue 0.44 m. Este estrato fue documentado tanto en la unidad original, como en la extensión sur. Solamente el área frente a los muros registrados fue excavada.

Es importante notar que hacia el final del Lote 2 la presencia de la caliza pulverizada y el piedrín fue disminuyendo, apareciendo gradualmente un material diferente, conformado por unas piedras de superficie irregular y rugosa de color anaranjado rojizo con un diámetro promedio de 0.10 m. También se empezaron a encontrar los primeros indicios de roca madre, que presentaba una pendiente, que de manera gradual reduciría la superficie a excavar por su inclinación.

Lote 1: 39 tiestos y 2 fragmentos de barro quemado.

Lote 1 (extensión sur): 19 tiestos y 1 fragmento de pedernal.

Lote 2: 24 tiestos y 1 fragmento de carbón.

Estrato 6: Capa de barro café compactado, de una tonalidad más clara que la del estrato anterior, hubo grandes piedras de caliza que formaban parte del relleno. Se continuó observando la presencia de piedras similares al cascajo, como inclusión. La roca madre fue identificada con claridad, pero el desnivel que presentó no permitió verla en su totalidad en el área excavada ya que siguió parcialmente cubierta por el estrato siguiente. Presentó un grosor máximo de 0.12 m. Solo un lote fue identificado, que fue excavado simultáneamente en la unidad original y la extensión sur. No se encontró material cultural.

Estrato 7: Capa de tierra arenosa fina de color café claro amarillento muy compactada, con inclusión de pedrín de caliza y arena. Hay algunas piedras de caliza de diámetro cercano a los 0.20 m, que quizás sirvieron relleno. Se encuentra directamente sobre la roca madre, que siguió con su desnivel, hasta alcanzar a cubrir la totalidad del área excavada. Este estrato presentó un grosor máximo de 0.29 m. Se identificó un lote, que fue excavado simultáneamente en la unidad original y en la extensión sur, sin material cultural.

Se alcanzó el nivel de la roca madre, por lo que se detuvo la excavación.

Comentarios: Las dimensiones originales de esta unidad fueron de 1.00 m × 1.00 m, al finalizar el Estrato 1 de la unidad original, se realizaron dos extensiones de 1.00 m × 0.50 m al norte y sur, que fueron excavadas por separado. A partir del Lote 2 del Estrato 5 — de la unidad original y la extensión sur — se decidió unificar el registro de la excavación para facilitar el control de materiales.

En esta unidad se documentaron varias etapas de construcción de la plataforma que sostiene a A-45, que parece haberse erigido sobre una colina natural que fue nivelada con barro y piedras (Estratos 5 y 6) y luego cubierta por varias remodelaciones y pisos (Estratos 2-4), además se registraron dos muros, uno de ellos claramente perteneciente a A-45, en el lado este de la excavación. Se puede deducir que la colina donde se asienta A-45 fue nivelada con barro para poder construir sobre ella. Se puede observar el muro de contención al sur y al este de A-45 que hace visible el desnivel que fue superado para poder construir sobre él.

Es importante comentar que el carbón encontrado en diferentes partes de la excavación puede haberse originado en el incendio de un árbol — a causa de un rayo —

que habría carbonizado el tronco y las raíces del mismo. No es posible determinar si el barro quemado corresponde con material prehispánico o contemporáneo, debido a que en el lugar se producen quemas intencionales para fines agrícolas, que parecen haber alterado los estratos superiores encontrados en la excavación.

Varias de las piedras de derrumbe observadas en la superficie del área excavada podrían haberse originado en las excavaciones de Seler en A-41.

El barro encontrado en el Estrato 5 podría haber sido extraído de aguadas o lagunas, debido a su composición maciza y dureza, quizás se lo colocó por la firmeza que habría dado a la nivelación que se realizó sobre la colina natural en la que se asienta la Estructura A-45 y parte de A-41 y A-42, creando con ello una base uniforme para construir sobre ella.

Grupo B

Unidad: TP-B-1

Dimensiones: 1.00 m × 1.50 m

No. Estratos: 4

No. Lotes: 8

Profundidad Máxima: 1.83 m

Ubicación: al norte de B-23 y al oeste de B-24

Objetivo: identificar la presencia de un posible basurero, para obtener material cultural para fechamiento

Figuras: 7.16, 7.17

Descripción: Se identificaron cuatro estratos y ocho lotes en la unidad, que se describen a continuación.

Estrato 1: Capa orgánica con hojas, raíces y humus, de color café, ligeramente compactada y con presencia de pedrín. Presentó un grosor máximo de 0.18 m. Fue identificado un lote. Este estrato fue identificado tanto en la unidad original, como en la extensión que se realizó al oeste.

Lote 1: 1104 tiestos, 17 fragmentos de pedernal, 8 fragmentos de obsidiana, 4 fragmentos de figurilla, 3 fragmentos de hueso y 1 disco pulido de cerámica reutilizada.

Lote 1 (extensión): 64 tiestos.

Estrato 2: Capa poco compacta de tierra café clara arenosa con raíces y escasa presencia de pedrín y piedras de caliza. Se documentó un muro de piedra. Presentó un grosor máximo de 0.46 m, solo un lote fue identificado. Este estrato fue definido tanto en la unidad original, como en la extensión que se realizó al oeste.

Lote 1: 356 tiestos y 1 fragmento de hueso.

Lote 1 (extensión): 530 tiestos, 2 fragmentos de obsidiana, 2 fragmentos de cuarzo, 2 fragmentos de hueso (incluyendo un diente, quizás un incisivo) y 6 fragmentos de pedernal.

Estrato 3: Capa de tierra café clara compacta arenosa con presencia muy densa de pedrín de caliza, con pocas raíces. La presencia del material cultural disminuyó. Esta tierra con pedrín parece haber sido colocada como base para el muro identificado en el estrato anterior. Este estrato fue identificado tanto en la unidad original, como en la extensión que se realizó al oeste.

Solo se excavó el área frente al muro. Se identificaron dos lotes delimitados arbitrariamente, que fueron separados porque fueron excavados en momentos diferentes. El Lote 1 fue excavado en secciones separadas, entre la unidad original y la extensión, mientras que el Lote 2 fue excavado en ambas partes del pozo, de manera conjunta. Se observó que el pedrín de caliza fue disminuyendo en el Lote 2 a medida que se excavaba, hasta casi desaparecer. También se notaron algunas piedras pequeñas de caliza hacia el inicio del siguiente estrato. Presentó un grosor máximo de 0.41 m (Lote 1) y 0.27 m (Lote 2).

Lote 1: 124 tiestos y 1 cuenta tubular de hueso.

Lote 1 (extensión): 217 tiestos, 4 fragmentos de obsidiana y 1 posible decoración de incensario, en forma de trenza.

Lote 2: 181 tiestos 1 fragmento de hueso y 1 fragmento de obsidiana.

Estrato 4: Capa de tierra café clara, menos compactada que la del estrato anterior, contiene caliza pulverizada. El material cultural empezó a desaparecer. Se encontraron algunas piedras de caliza y la roca madre al final del estrato. Presentó un grosor máximo de 0.21 m. Un lote fue identificado.

Lote 1: 22 tiestos y 1 fragmento de pedernal.

Se alcanzó el nivel de la roca madre, por lo que se detuvo la excavación.

Comentarios: El muro que se documentó quizás corresponde con una plataforma adosada a una fase constructiva más temprana de la plataforma de B-25 o posiblemente otro edificio que anteriormente se encontraba en este lugar. Este muro quedó cubierto por una capa de tierra que contenía material cultural diverso, que sirvió de sustento para crear un nuevo nivel de piso, que podría haber sido una preparación antes de iniciar una nueva construcción en el área. El Estrato 3, sobre el que se sostiene el muro, seguramente representa una preparación de este tipo, que permitió crear un nivel uniforme para construir sobre él.

Unidad: TP-B-2

Dimensiones: 1.00 m × 1.50 m

No. Estratos: 5

No. Lotes: 6

Profundidad Máxima: 2.02 m

Ubicación: extremo norte de la Cancha de Juego de Pelota, entre B-20 y B-21

Objetivo: determinar la posible existencia de una secuencia de pisos en la cancha de juego de pelota, junto con la presencia de una ofrenda o escondite en el eje central de la cancha, en su extremo norte

Figuras: 7.18, 7.19

Descripción: Se identificaron cinco estratos y seis lotes en la unidad, que se describen a continuación.

Estrato 1: Capa orgánica de tierra negra con raíces, ligeramente compactada, con muy pocas inclusiones de pedrín. Presentó un grosor máximo de 0.27 m, se identificó un lote. Este estrato fue identificado tanto en la unidad original, como en la extensión que se realizó al sur. La extensión al sur fue excavada solo hasta el final de este estrato, para dejar un testigo del piso de la cancha de juego de pelota, que fue excavada en la unidad original.

Lote 1: 105 tiestos, 5 fragmentos de pedernal y 1 fragmento de cuarzo.

Lote 1 (extensión): 102 tiestos y 2 fragmentos de pedernal.

Estrato 2: Piso de la cancha de juego de pelota, de pedrín y estuco con tierra. El pedrín es de caliza. Hay abundante presencia de material cerámico. La

tierra presenta inclusiones de caliza pulverizada. Presentó un grosor máximo de 0.20 m, solo un lote fue identificado.

Lote 1: 174 tiestos, 7 fragmentos de pedernal, 1 carbón y 6 fragmentos de estuco.

Estrato 3: Capa de barro café oscuro compactado, con inclusiones de piedras pequeñas de caliza y de un pedrín parecido al cascajo. Se notó un descenso en la presencia de material cultural. Hay restos de caliza pulverizada o estuco. Presentó un grosor máximo de 0.67 m solo un lote fue identificado.

Lote 1: 93 tiestos, 7 fragmentos de pedernal, 7 piedras de tipo cascajo y 2 fragmentos de estuco.

Estrato 4: Capa de tierra arcillosa café amarillenta, muy compactada. Hay algunos fragmentos de pedernal y presencia de algunas piedras, como inclusiones. Es importante notar que en el perfil norte el Estrato 3 es intrusivo hacia el Estrato 4. Presentó un grosor máximo de 0.64 m, se identificó un lote. No hubo material cultural.

Estrato 5: Capa muy compacta de tierra arcillosa anaranjada rojiza, con pedrín triturado, con un diámetro menor a 1.0 cm. No hay material cultural. Hubo presencia de la posible roca madre al noreste del pozo, aunque no se pudo determinar con seguridad. Se encontraron algunas piedras de caliza y algunos fragmentos de pedernal como inclusiones, la presencia de estas piedras parece ser natural y no debido a actividad cultural. No se encontró material cultural. Debido a la ausencia de material cultural en los últimos estratos y a la dificultad que reportaba continuar con la excavación a causa de la profundidad alcanzada y a la dureza del terreno excavado, se decidió finalizar la excavación en este estrato.

Comentarios: Las dimensiones originales de esta unidad fueron de 1.00 m × 1.00 m, al finalizar el Estrato 1 en la unidad original, se realizó una extensión de 1.00 m × 0.50 m y a partir del Lote 2 del Estrato 3 se registró como una sola unidad para facilitar su registro.

En esta unidad no se encontró ningún escondite u ofrenda. Se documentó el piso de estuco y pedrín de la cancha (Estrato 2), se excavó bajo el mismo y se observó que el material cultural empezaba a desaparecer, a partir del Estrato 4. Es probable que el Estrato 3 representara el terreno original que los primeros habitantes del Grupo B vieron y modificaron, para construir posteriormente la parte más compleja del sitio sobre él (Estrato 2), utilizándolo como base de edificación.

Se debe notar que la forma intrusiva del Estrato 3 en el perfil norte, entrando abruptamente al Estrato 4, apunta que se extrajo arcilla de este último y luego se rellenó el agujero de la extracción.

Unidad: TP-B-3

Dimensiones: 1.00 m × 1.00 m

No. Estratos: 4

No. Lotes: 7

Profundidad Máxima: 1.56 m

Ubicación: frente a la Estructura B-23, en el Grupo B

Objetivo: identificar secuencia de pisos enfrente de la estructura, pozo excavado en niveles naturales y culturales

Figuras: 7.20, 7.21

Descripción: Se identificaron cuatro estratos y 7 lotes en la unidad, descritos a continuación.

Estrato 1: capa orgánica moderna y humus. Color negro, granuloso. Muchos raíces, sobre todo de zacate. Presentó un grosor máximo de 0.16 m. Se identificó un lote.

Lote 1: 21 tiestos de cerámica, 6 fragmentos de pedernal.

Estrato 2: capa de barro negro, grueso. El estrato grosor máximo del estrato era de 0.20 m. Se llegó a nivel de piso de estuco muy fragmentado. En la esquina nor-oriental el estrato es muy delgado, por lo cual casi no se distingue del estrato anterior. Se identificó un lote.

Lote 2: 20 tiestos de cerámica, 1 fragmento de obsidiana, 3 fragmentos de pedernal.

Estrato 3: relleno con fragmentos de estuco. Tierra de color café, arenosa y quebradiza con muchos fragmentos de estuco y pedrín. En el centro se conservaron todavía restos de un posible piso de estuco. Este estrato presentó un grosor máximo de 0.20 m. Se definió tres lotes con el material debajo del piso.

Lote 3: 23 tiestos de cerámica, 3 fragmentos de pedernal.

Lote 4: 52 tiestos de cerámica, 3 fragmentos de pedernal.

Lote 6: 4 tiestos de cerámica, 1 fragmento de pedernal.

Estrato 4: relleno. Barro de color café oscuro, compacto y chicoso. Sin fragmentos de estuco. Contiene fragmentos muy pequeños (molidos) de cerámica y en algunas partes carbón. Generalmente una capa homogénea con muy pocos artefactos. Encima de la roca madre se encontró unos fragmentos más grandes de cerámica en la esquina nor-occidental. Este estrato tiene un grosor máximo de 0.88 m. Se definió un lote.

Lote 5: 13 tiestos de cerámica, 2 fragmentos de pedernal, 1 jute.

Se llegó a nivel de roca madre, por lo que se detuvo la excavación.

Comentarios: En esta unidad se identificó una capa con fragmentos de estuco que posiblemente eran partes de un piso de estuco. En algunas partes, especialmente en el centro y la esquina sur-occidental, la concentración de fragmentos del piso era más densa. El estrato debajo del piso constituye un relleno de barro con un gran desnivel desde la esquina nor-oriental (la más alta) hacia la esquina sur-occidental (la más baja) en el pozo. Esto podría corresponder a las huellas de trabajos de nivelación observados en el pozo TP-B-2. Debido a la distancia entre el pozo y Estructura B-23 no se logró asociar el piso con una etapa constructiva del edificio. Se descartaron 226 fragmentos de cerámica.

Unidad: TP-B-4

Dimensiones: 1.00 m × 2.00 m

No. Estratos: 3

No. Lotes: 5

Profundidad Máxima: 1.15 m

Ubicación: al lado norte de la Estructura B-48 y al este de las Estructuras B-53 y B-20

Objetivo: determinar la posible presencia de un basurero en el área, detrás del complejo monumental conformado por B-18–B-20 y B-53

Figuras: 7.22, 7.23

Descripción: Se identificaron tres estratos y cinco lotes en la unidad, que se describen a continuación.

Estrato 1: Capa orgánica con hojas, raíces y humus, de color negro, poco compactada, porosa. Se observó una considerable acumulación de cerámica en superficie. Presentó un grosor máximo de 0.19 m. Un lote fue identificado. Este estrato fue identificado tanto en la unidad original, como en la extensión que se realizó al este.

Lote 1: 736 tiestos, 4 fragmentos de obsidiana, 4 fragmentos de pedernal, 4 fragmentos de hueso y 2 fragmentos de estuco.

Lote 1 (extensión): 1050 tiestos, 1 fragmento de obsidiana, 9 fragmentos de pedernal, 3 piedras lajas, 7 fragmentos de hueso, 3 fragmentos de estuco y 1 piedra de tipo esquisto.

Estrato 2: Capa de tierra café con pocas raíces y piedrín, ligeramente compactada. Probablemente sea el piso en uso durante la ocupación del sitio, que fue rellenado y nivelado con material cultural descartado. Presentó un grosor máximo de 0.30 m. Se identificó un lote. Este estrato fue identificado tanto en la unidad original, como en la extensión que se realizó al este. Se encuentra directamente sobre la roca madre, con excepción de una pequeña sección del pozo en la esquina sureste en la extensión, donde se identificó un estrato más.

Lote 1: 725 tiestos, 5 fragmentos de pedernal, 4 fragmentos de obsidiana, 6 fragmentos de hueso, 3 fragmentos de cuarzo, 3 muestras/fragmentos de barro quemado y 2 fragmentos de estuco.

Lote 1 (extensión): 915 tiestos, 10 fragmentos de pedernal, 7 fragmentos de obsidiana, 8 fragmentos de hueso, 1 fragmento de concha y 1 fragmento de cuarzo.

Se detuvo la excavación, cuando se alcanzó la roca madre.

Estrato 3: Capa de tierra café amarillenta con mucho piedrín fino de caliza, distribuido densamente. Se encontró solamente en la esquina sureste de la extensión del pozo, en una pequeña oquedad en la roca madre. Presentó un grosor máximo de 0.46 m. Este estrato fue identificado en la extensión que se realizó al este.

Lote 1: 15 tiestos.

Se alcanzó el nivel de la roca madre, por lo que se detuvo la excavación.

Comentarios: La abundancia de materiales culturales indica la presencia de un basurero entre las Estructuras B-47 y B-48, cuya extensión completa sobrepasa las dimensiones del pozo realizado. Se encontró un piso de tierra café con piedrín pequeño

descansando directamente sobre la roca madre (Estrato 2). Solo en el sureste de la extensión que se realizó al este, se encontró otro estrato, quizás un relleno colocado para nivelar una oquedad natural de la roca madre.

Unidad: TP-B-5

Dimensiones: 1.00 m × 1.00 m

No. Estratos: 2

No. Lotes: 2

Profundidad Máxima: 1.09 m

Ubicación: entre B-16 y la cancha de juego de pelota

Objetivo: determinar la posible presencia de pisos en la plataforma enfrente de B-16, además de confirmar la existencia de un basurero en el área

Figuras: 7.24, 7.25

Descripción: Se identificaron dos estratos y dos lotes en la unidad, que se describen a continuación.

Estrato 1: Capa orgánica poco compacta de hojas, raíces y humus, de color café oscuro, con poco piedrín. Hay afloramientos irregulares de la roca madre, que presenta múltiples oquedades. Presentó un grosor máximo de 0.17 m, se identificó un lote.

Lote 1: 256 tiestos, 5 fragmentos de obsidiana, 1 fragmento de cuarzo, 1 fragmento de hueso, 1 fragmento de pedernal y 1 placa de material indeterminado.

Estrato 2: Capa de tierra café clara con pocas raíces, con mucha cerámica y poca presencia de piedras pequeñas y piedrín. Se continuó observando las formas excéntricas de la roca madre. Presentó un grosor máximo de 0.56 m. Solo se identificó un lote.

Lote 1: 371 tiestos y 1 fragmento de estuco.

Se alcanzó el nivel de la roca madre, por lo que se detuvo la excavación.

Comentarios: Se encontró abundante material cerámico que se utilizó para rellenar las oquedades irregulares de la roca madre en vez de piedras. Aunque en la excavación se encontraron una variedad de materiales, su presencia parece indicar que solo

fueron utilizados para rellenar las oquedades de la roca madre, para crear con ellos una superficie uniforme. No se ve otra motivación para su colocación.

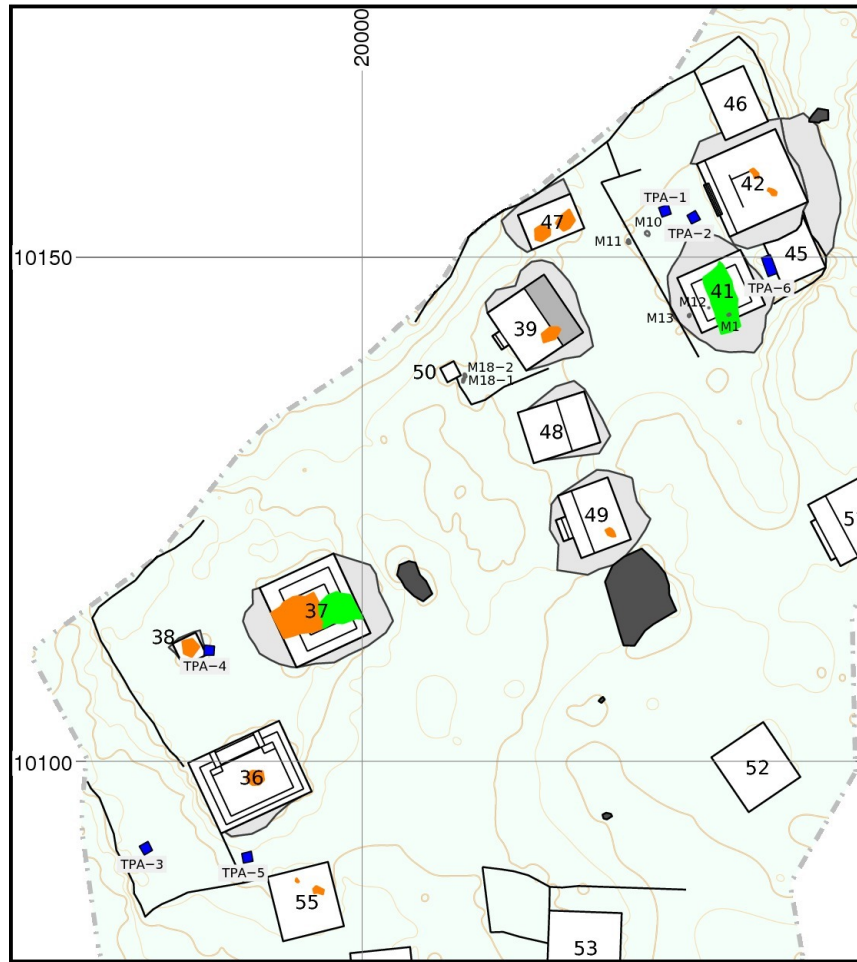
7.4. Conclusiones

Los resultados de las excavaciones, específicamente las observaciones sobre la estratigrafía en varios pozos, en conjunto con los el análisis de los materiales recuperados, que se presenta en el siguiente capítulo (García, Capítulo 8) muestran que el sitio Pueblo Viejo Quen Santo tenía una ocupación mas larga que Chaculá, empezó por lo menos en el Clásico Temprano, en la fase Kau (250–500 d.C.), y duró hasta los inicios del Posclásico Temprano, fase Nichim (900–1250 d.C.).

El sitio Pueblo Viejo Quen Santo muestra una estratigrafía más profunda que Chaculá. Se logró observar remodelaciones, por ejemplo en el área de la plataforma A-45 (TP-A-6) y también posibles construcciones abandonadas, como el muro de plataforma que se encontró en el Estrato 2 de TP-B-1, al norte de B-23. La plaza del Grupo B en que se encuentra el conjunto para el juego de pelota muestra modificaciones que incluyeron excavaciones y nivelaciones. Se espera entender mejor la secuencia de construcción en este complejo monumental con investigaciones más extensas en futuras temporadas.

Los pisos que se encontró en varias partes de Pueblo Viejo Quen Santo fueron compuestos por tierra (apisonado) con piedrín (TP-A-3, TP-A-5, TP-B-1, TP-B-4) y en el caso de TP-A-4 por piedras planas (lajas). Se encontró pisos de estuco solamente en asociación directa con edificios (TP-A-6, TP-B-3) y la cancha para el juego de pelota (TP-B-2).

La búsqueda por basureros resultó en los hallazgos del basurero entre los edificios B-47 y B-48 (TP-B-4) con abundancia de materiales culturales con carácter cotidiano, incluso huesos de animales que muestran exposición térmica (véase también capítulo 10) que posiblemente eran parte de la dieta de los antiguos habitantes de Pueblo Viejo Quen Santo. De una manera similar, los materiales de TP-B-1 podrían indicar la presencia de un basurero que se se acumuló encima de una plataforma abandonada y enterrada que se encontró al norte de B-23. En el caso de TP-A-6 los materiales culturales están más directamente asociados con construcciones, especialmente en el caso de TP-A-6, donde se construyó la plataforma A-45 y por tal razón se interpreta estos como parte de rellenos.



Pueblo Viejo Quen Santo

Excavaciones 2015 en Grupo A

Mapeo y dibujo: U. Wölfel

Intervalo de curvas: 50 centímetros

- monumentos
- pozos de sondeo 2015
- excavaciones de Seler
- agujeros
- bancos
- cuevas
- límite del mapeo

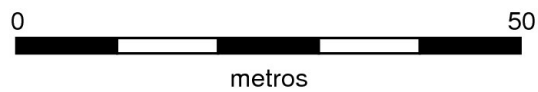
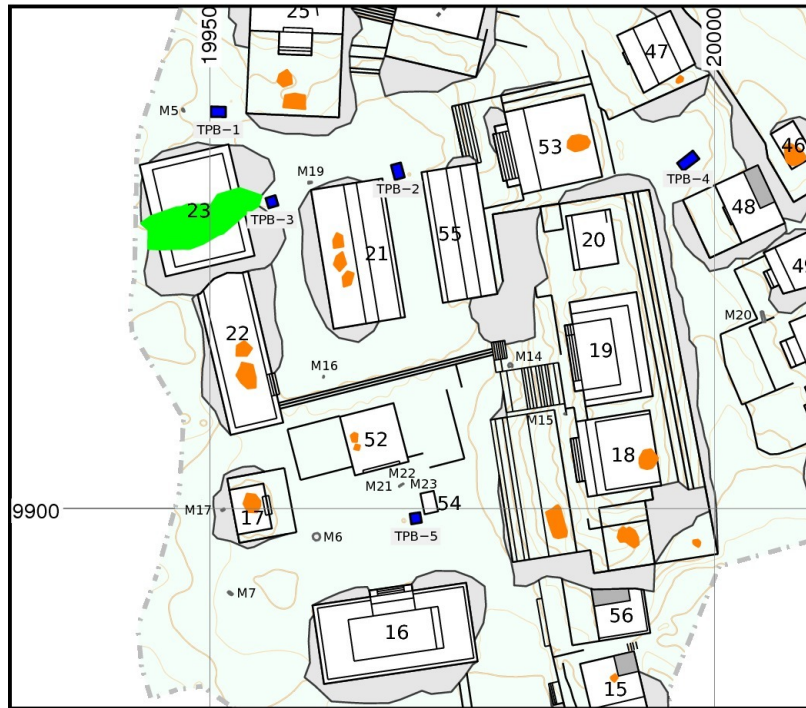


Figura 7.1 Mapa con pozos de sondeo, Pueblo Viejo Quen Santo, Grupo A, dibujo por U. Wölfel



Pueblo Viejo Quen Santo

Excavaciones 2015 en Grupo B

Mapeo y dibujo: U. Wölfel

Intervalo de curvas: 50 centímetros

- monumentos
- pozos de sondeo 2015
- excavaciones de Seler
- muros superpuestos
- agujeros
- bancos
- - - - límite del mapeo

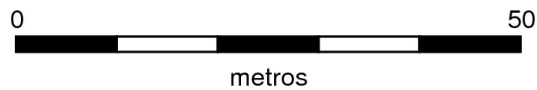


Figura 7.2 Mapa con pozos de sondeo, Pueblo Viejo Quen Santo, Grupo B, dibujo por U. Wölfel

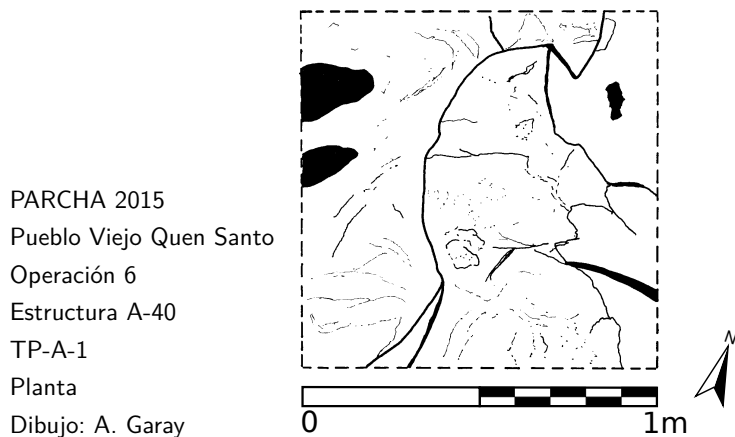


Figura 7.3 Planta final de unidad TP-A-1, dibujo por A. Garay

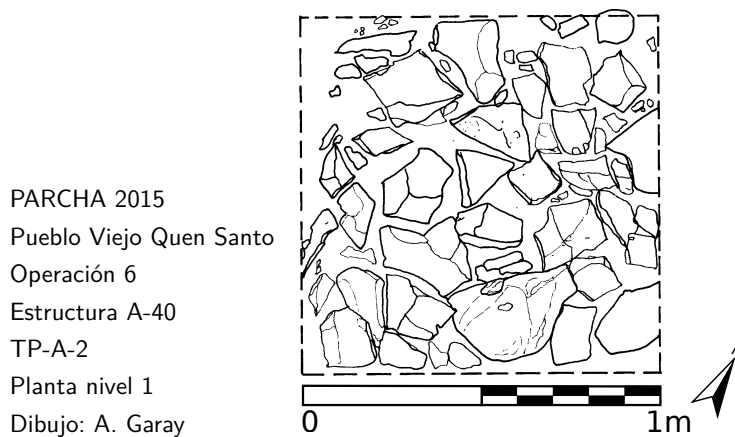


Figura 7.4 Planta nivel 1 unidad TP-A-2, dibujo por A. Garay

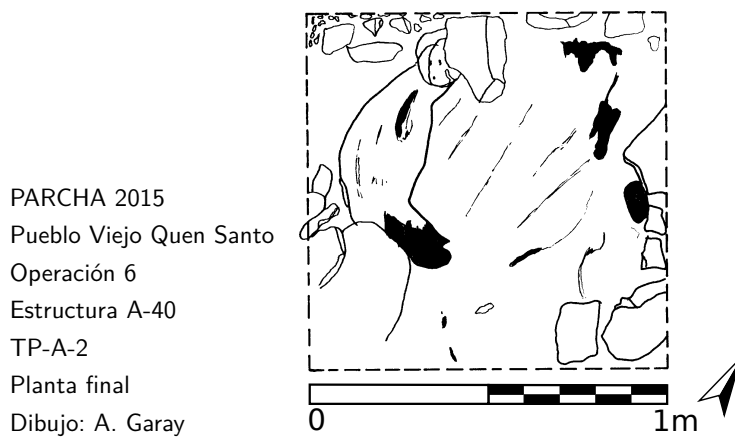


Figura 7.5 Planta final de unidad TP-A-2, dibujo por A. Garay

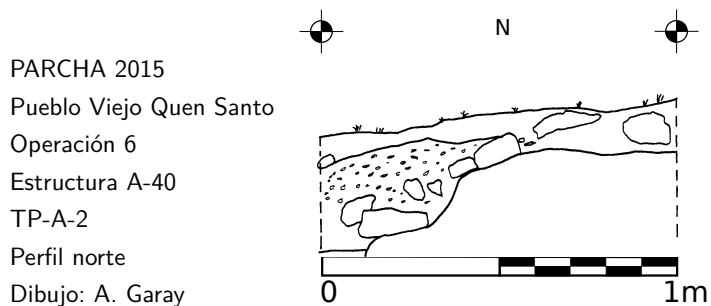


Figura 7.6 Perfil norte de unidad TP-A-2, dibujo por A. Garay

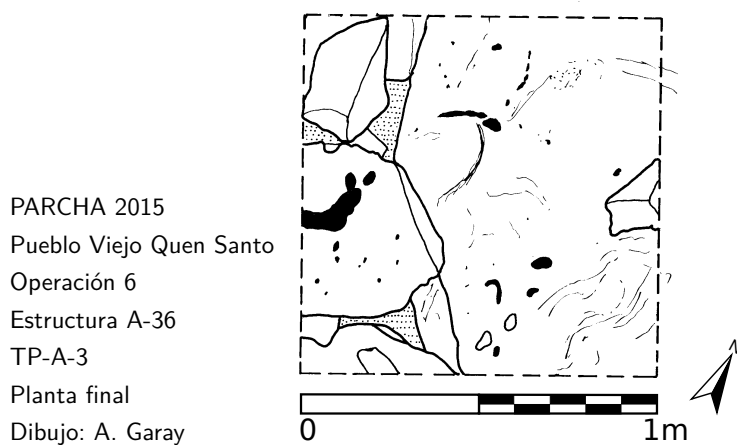


Figura 7.7 Planta final de unidad TP-A-3, dibujo por A. Garay

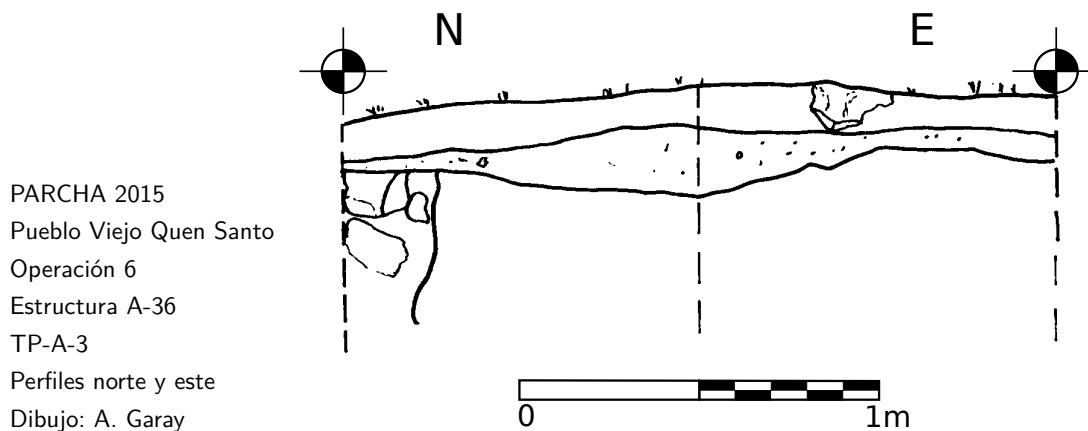


Figura 7.8 Perfiles norte y este de unidad TP-A-3, dibujo por A. Garay

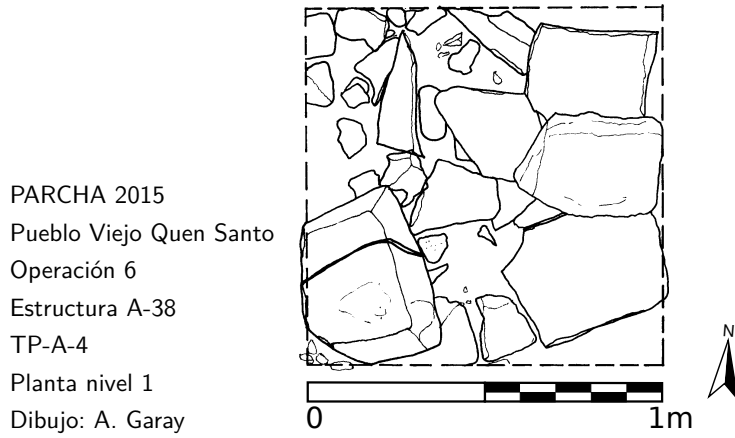


Figura 7.9 Planta nivel 1 de unidad TP-A-4, dibujo por A. Garay



Figura 7.10 Planta final de unidad TP-A-4, dibujo por A. Garay

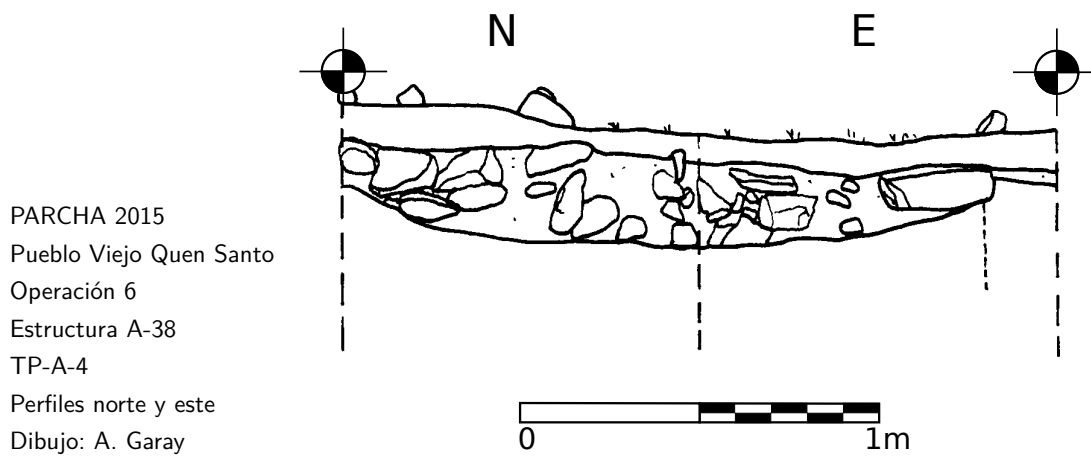


Figura 7.11 Perfiles norte y este de unidad TP-A-4, dibujo por A. Garay

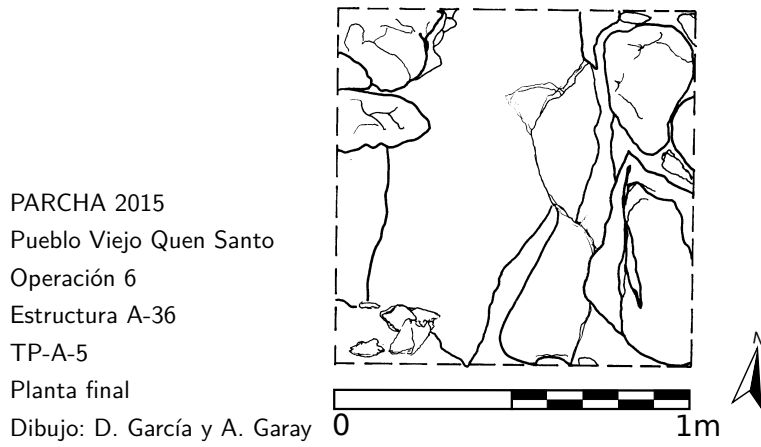


Figura 7.12 Planta final de unidad TP-A-5, dibujo por A. Garay y D. García

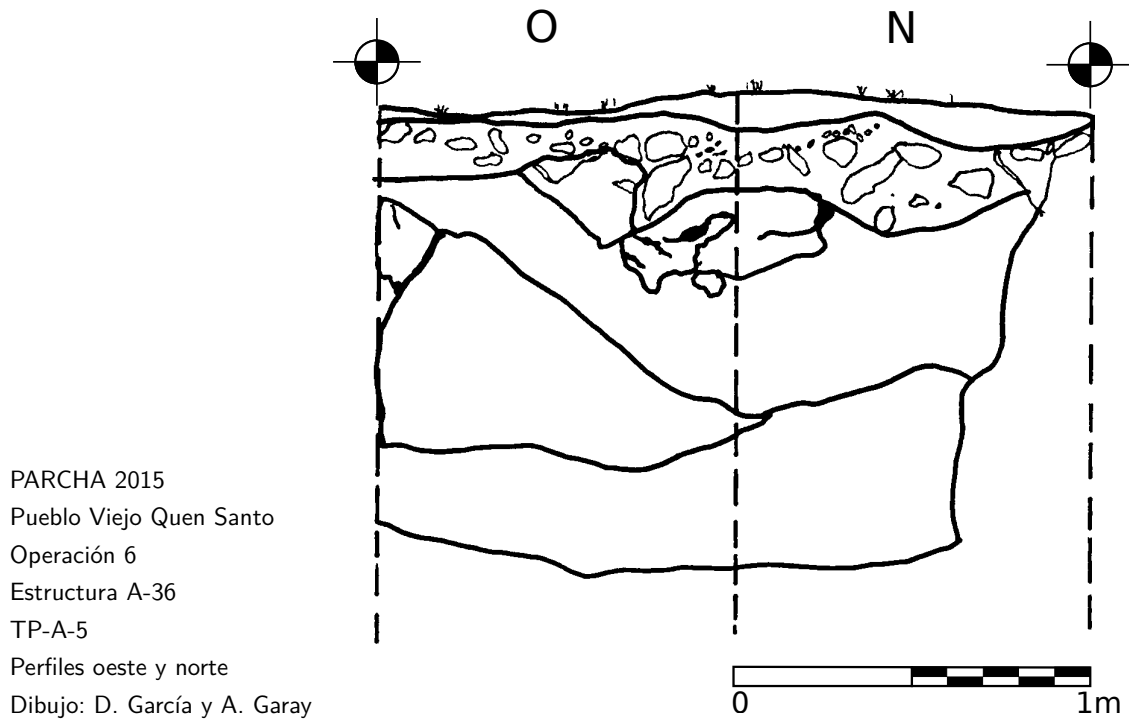


Figura 7.13 Perfiles oeste y norte de unidad TP-A-5, dibujo por A. Garay

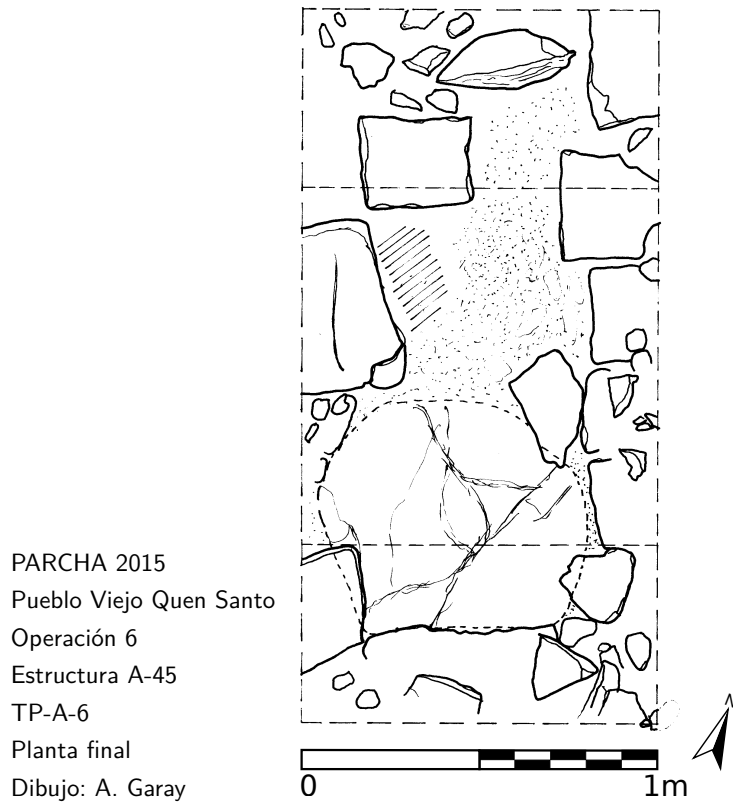


Figura 7.14 Planta final de unidad TP-A-6, dibujo por A. Garay

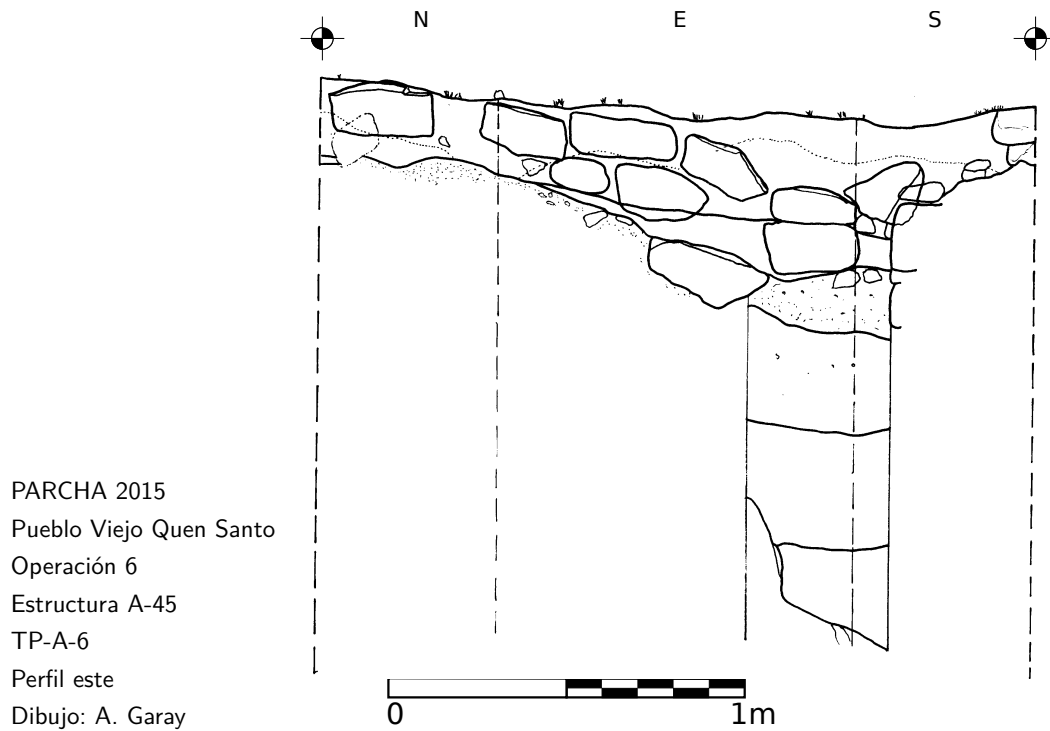


Figura 7.15 Perfil este de unidad TP-A-6, dibujo por A. Garay

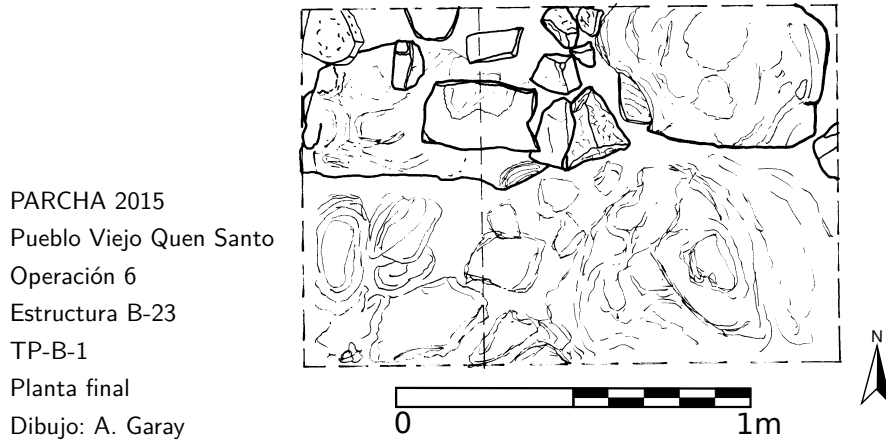


Figura 7.16 Planta final de unidad TP-B-1, dibujo por A. Garay

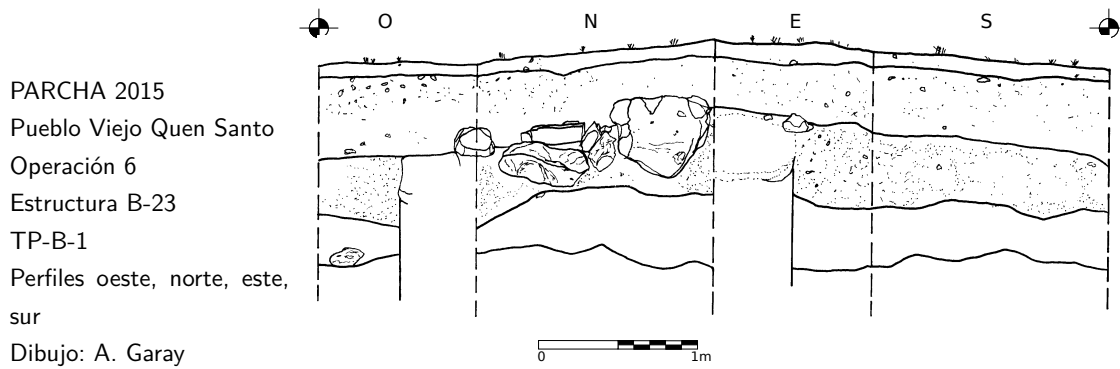


Figura 7.17 Perfiles oeste, norte, este, sur de unidad TP-B-1, dibujo por A. Garay

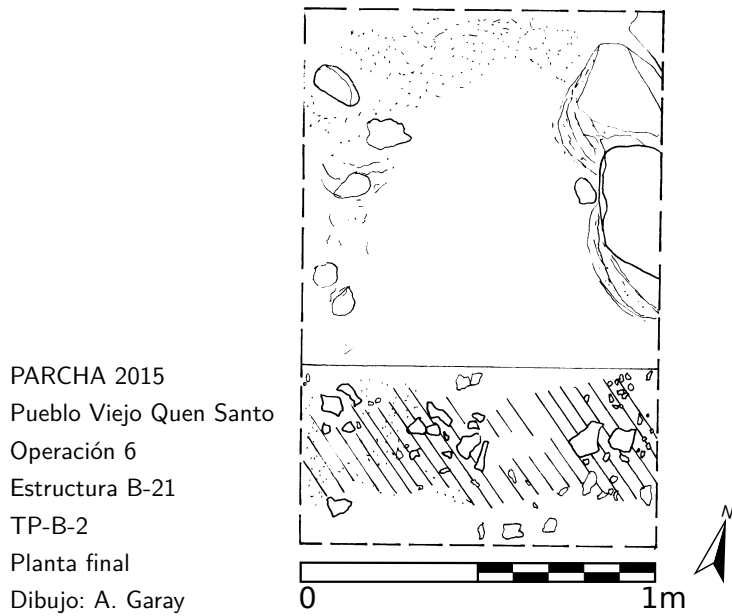


Figura 7.18 Planta final de unidad TP-B-2, dibujo por A. Garay

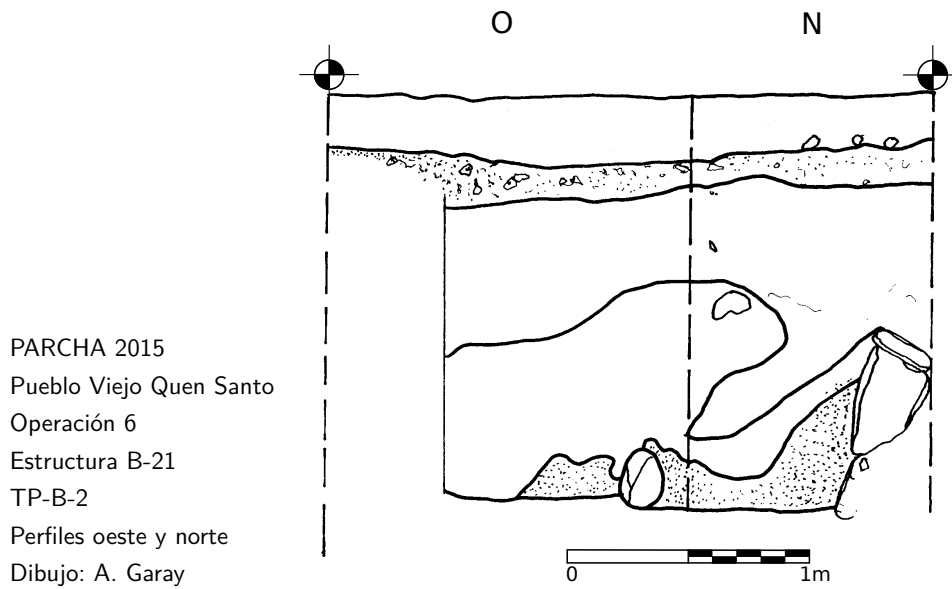


Figura 7.19 Perfiles oeste y norte de unidad TP-B-2, dibujo por A. Garay

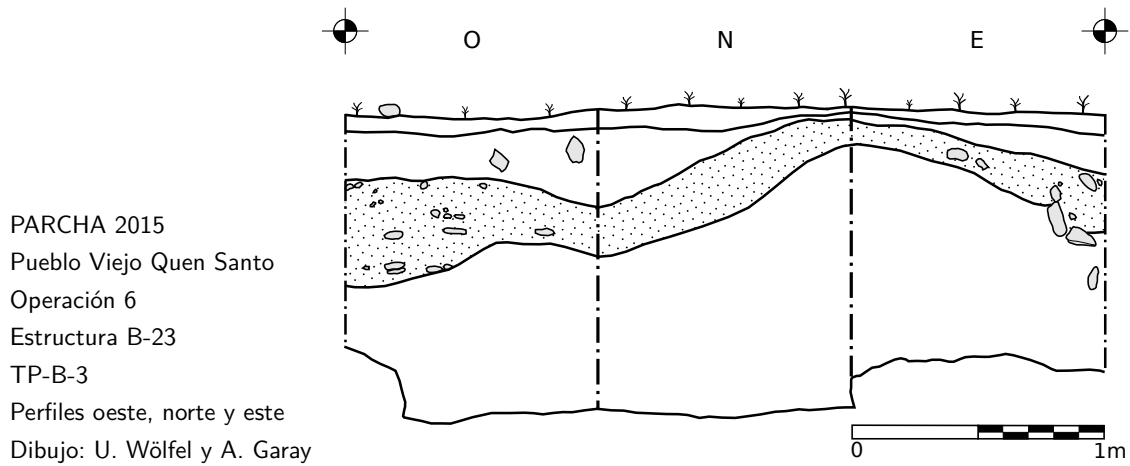


Figura 7.20 Perfiles de unidad TP-B-3, dibujo por U. Wölfel y A. Garay

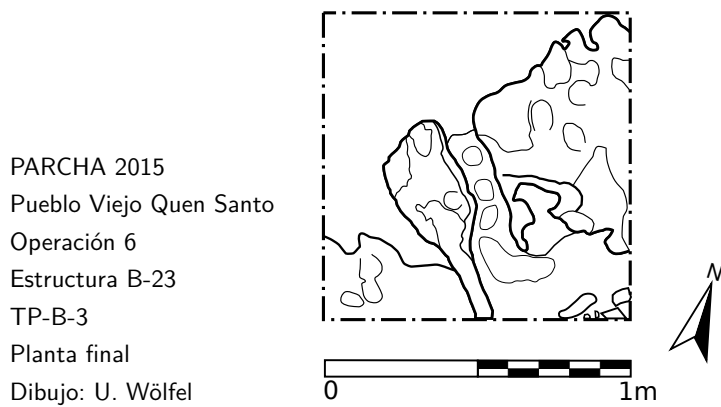


Figura 7.21 Planta de unidad TP-B-3, dibujo por U. Wölfel

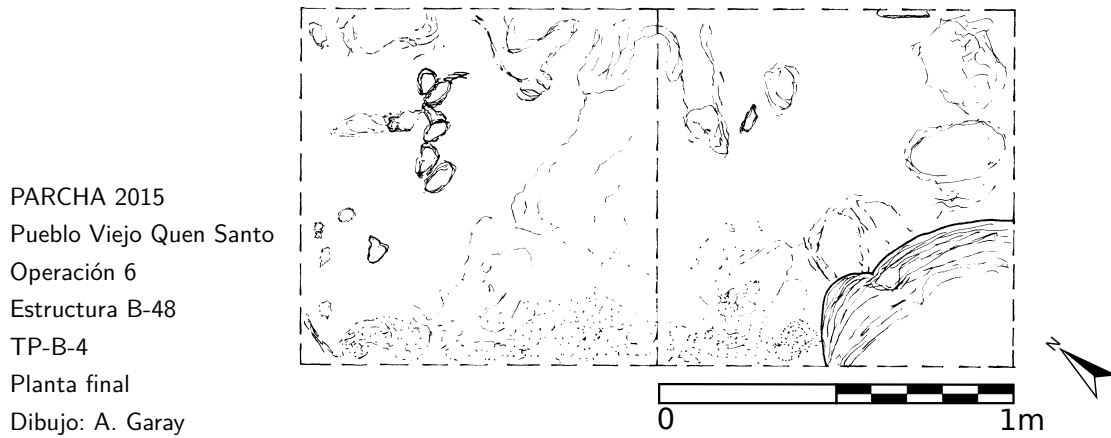


Figura 7.22 Planta final de unidad TP-B-4, dibujo por A. Garay

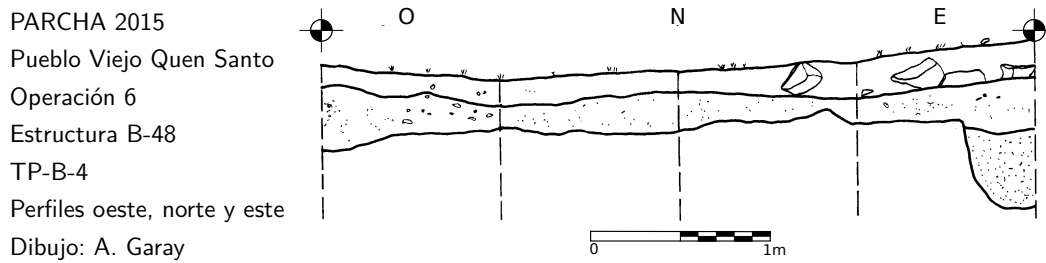


Figura 7.23 Perfiles oeste, norte y este de unidad TP-B-4, dibujo por A. Garay

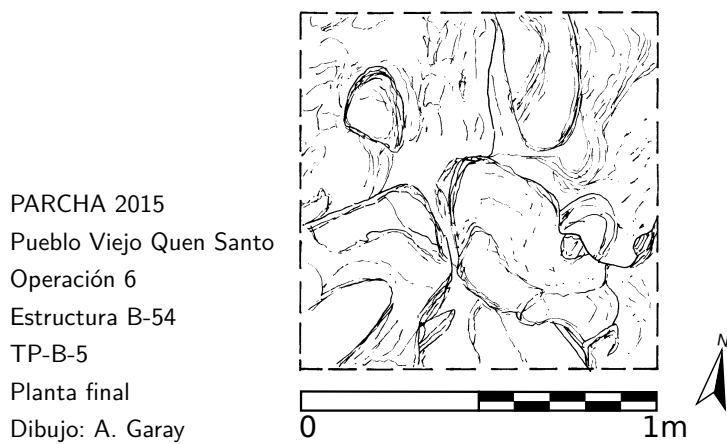


Figura 7.24 Planta final de unidad TP-B-5, dibujo por A. Garay

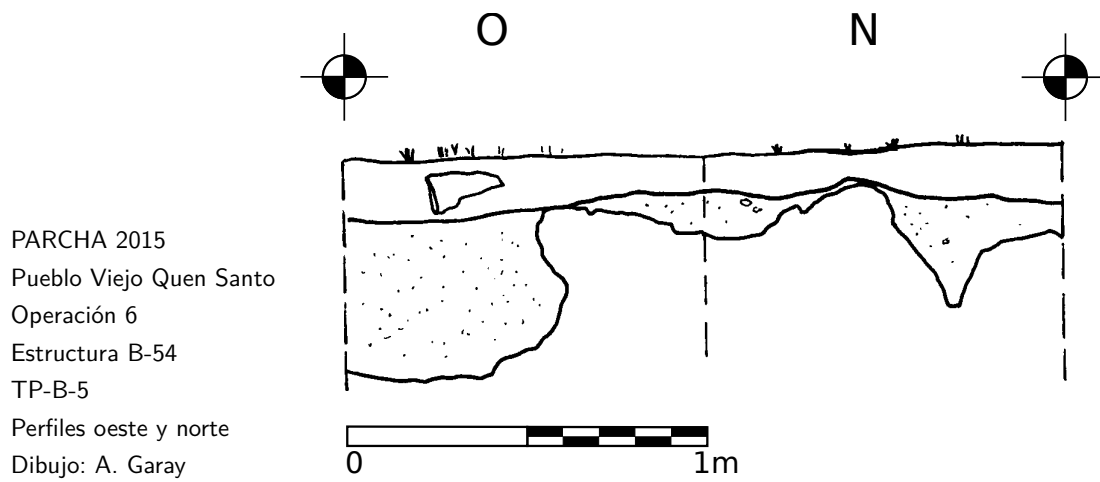


Figura 7.25 Perfiles oeste y norte de unidad TP-B-5, dibujo por A. Garay

8 Análisis de cerámica

Dora García

8.1. Introducción

El análisis de laboratorio de la temporada 2015 del Proyecto Arqueológico Regional de Chaculá, fue más amplio, abarcando dos sitios arqueológicos: Chaculá, investigado desde 2013 (Castillo y Wölfel 2013b; Wölfel y Torres 2015), y Pueblo Viejo Quen Santo, realizando en este último las primeras excavaciones a cargo del proyecto, luego de las investigaciones de Seler (1901).

Anteriormente se habían expuesto los resultados del análisis de la cerámica de Chaculá y de reconocimiento del área (García y Torres 2015), es así como el análisis de la temporada 2015 se enfocó en continuar con el fechamiento de otros grupos no excavados anteriormente (Grupos C, D y E), además de continuar con la definición de la tipología en relación al contexto de los materiales. Por otra parte en el caso de Pueblo Viejo Quen Santo, el objetivo primordial de análisis fue el fechamiento del sitio, así como comparar los resultados en cronología y tipología con otros sitios, principalmente con Chaculá.

Uno de los objetivos de la temporada 2014, era conocer las filiaciones o rol de Chaculá en esta área cultural poco conocida en la frontera de Guatemala-Chiapas, por lo que los resultados de la presente temporada en este sitio, en conjunto con los nuevos datos obtenidos de Pueblo Viejo Quen Santo, permitirán tener un panorama más amplio de investigación.

A nivel comparativo, se continuó tomando como referentes importantes los estudios realizados en toda la zona del Grijalva y Chinkultic, Chiapas, México (Bryant et al. 2005a; Ball 1980), entre otros nuevos referentes (Piña Chan y Navarrete 1967) También se contó la visita de arqueólogos investigadores de los sitios de Cancuén y Salinas de los Nueve Cerros y de la Dra. Marion Popenoe de Hatch.

Dentro de las actividades de investigación, fue oportuno y necesario el análisis de algunas colecciones privadas, la primera que corresponde a una serie de piezas completas y semi-completas de cerámica, expuestas en una vitrina, así como algunas cajas de cartón con tiestos, que se resguardan en la Casa Patronal de la Finca Chaculá, propiedad de

Nombre del Sitio (Iniciales)	Unidad de Excavación	Estructura	Nivel	Lote
CHA	TP-C (Grupo C)	1	2	3
	TP-D (Grupo D)	2	3	3
QS	TP-A (Grupo A)	2	1	2
	TP-B (Grupo B)	3	2	3

Cuadro 8.1 Nomenclatura de marcaje del material arqueológico.

la comunidad y personas particulares. El segundo caso un lote de 10 vasijas de procedencia poco conocida, en su mayoría completas resguardadas en la Casa Patronal de la Finca Los Espinos, donde se ubica el sitio Pueblo Viejo Quen Santo. El objetivo de este acercamiento y análisis fue, además de la obtención de datos e información de las piezas, su resguardo y preservación por las condiciones en las que actualmente se encuentran, ya que son parte de la arqueología de una zona poco conocida y por su carácter de Patrimonio Cultural.

Un tercer campo abarcado durante las investigaciones de la temporada 2015, fue la continuación de la investigación etnográfica sobre los procesos de elaboración de cerámica en la actualidad entre las mujeres de comunidades Chuj de la región.

8.2. Metodología

El análisis de los materiales dio inicio un mes después de iniciadas las excavaciones, en el laboratorio ubicado en la casa para visitantes de la la comunidad Nueva Esperanza, Chaculá, municipio de Nentón, departamento de Huehuetenango. El lavado de cerámica se realizó con la colaboración de mujeres de la comunidad, haciendo uso de cepillos de cerdas suaves, en el marcado se empleó esmalte de uñas, tinta china blanca y negra. La nomenclatura de marcado se presenta en el Cuadro 8.1, para Chaculá y Pueblo Viejo Quen Santo.

El registro de la cerámica se llevó en las fichas con igual formato de análisis del 2014 (García y Torres 2015), (ver tabla 1), registrando las formas cerámicas de acuerdo a la nomenclatura de Hatch y Castillo (1984:80). Cada forma presenta variantes en la morfología de su cuerpo, paredes, base, cuello, borde, etc., y distintos tipos de decoración. Las descripciones de formas y decoraciones son un indicador importante de características temporales y de ocupación en todos los estudios cerámicos.

Nomenclatura de formas básicas

A: Cántaro

- B: Cuenco
- C: Vaso o cilindro
- D: Plato
- E: Comal
- F: Incensario
- G: Misceláneo

Sistema de análisis Tipo-Variedad

Para el análisis de los materiales cerámicos se utilizó el ampliamente conocido sistema Tipo-Variedad, el cual permite clasificar los materiales a partir de categorías tipológicas establecidas y con un orden jerárquico (clases, tipos, grupos y variedades) (Laporte 2007; Smith et al. 1960; Sabloff y Smith 1969), es decir una estructura con varios niveles definidos, que basa sus estudios en el acabado de superficie y decoración como herramienta interpretativa de procesos culturales inferidos mediante la identificación de tipos y variedades (Rivera 2009).

Además de la identificación y combinación de ciertos atributos, que también pueden incluir modos de forma y pasta, es posible el registro de aquellos cambios estilísticos temporales (Ford, Woodman y Lucero 1992 citados en Laporte 2007) que permitirán una comparación con secuencias cerámicas de otras áreas (Figura 8.1).

Chaculá

En total se recolectaron un total de 11083 tiestos, de los cuales fueron analizados 2560, descartando 8523 fragmentos pequeños y cuerpos erosionados.

El análisis de Chaculá no mostró cambios significativos en temporalidad y tipología, aunque si fue posible determinar nuevos tipos, situando al sitio en la Fase Mix (650–900 d.C.), siguiendo la secuencia cerámica de la región del Grijalva, predominando los tipos domésticos y de servicio, los engobes rojos y naranjas de textura cerosa característica aparentemente constante de esta región, que comparte fuertemente con la tipología establecida por Bryant et al. (2005a).

Dentro de las referencias de investigación recordamos las utilizadas en la investigación de Chaculá 2014: los estudios en Lagartero (Rivero Torres y Chávez Jiménez 2007), Ixquisis, San Mateo Ixtatán (Garrido López 2012a, 2012b), reconocimiento en el occidente de Huehuetenango (Clark et al. 2001), Tierras Altas Occidentales (Ciudad Ruiz e Iglesias Ponce de León 1995; Tejada et al. 2000), La Sierra del Lacandón, cuenca del Usumacinta (Arroyave 2010), Chinkultic (Ball 1980). Estos trabajos resumen la problemática de

estudio de esta zona transicional entre Tierras Altas y Tierras Bajas, características compartidas, relaciones, migraciones y otros procesos durante el Clásico Tardío.

Otros sitios de la región de Chiapas México, presentan una fuerte ocupación durante el Clásico Tardío, Los Cimientos es un ejemplo de ello (Rivero Torres 1987), presentando la cerámica de tradición del centro de Chiapas durante este período, en cerámica utilitaria doméstica. Una corta ocupación que termina en el Posclásico Temprano, siendo recurrente la mención de migraciones, en este caso hacia el sureste de los Cuchumatanes.

Pueblo Viejo Quen Santo

El total de tiestos recuperados durante las excavaciones fue de 7465, de los cuales fueron sometidos a análisis 1933, además de 997 cuerpos erosionados no analizados y 4535 fragmentos descartados.

A partir del análisis realizado fue posible establecer una cronología preliminar hasta el momento de los Grupos A y B, mostrando una ocupación desde el Clásico Temprano (Fase Kau), siguiendo también las fases de la Cuenca Superior del Grijalva, ya que también encontramos el mismo corpus tipológico de esta región y por tanto de Chaculá, aunque en fases más tempranas. A pesar de la aparente ocupación durante el Clásico Temprano, debemos suponer que el auge de Pueblo Viejo Quen Santo, fue durante el Clásico Tardío (Fase Mix) al igual que Chaculá, con la misma tipología e incluso la aparición constante de tipos domésticos (Chachalaca Rojo y Tasajo Rojo).

La ocupación de éste sitio también propone continuar hasta el Posclásico, que aunque en menor frecuencia y no pudiendo definir con exactitud la tipología, aparece en tipos como el Chachalaca Rojo V. Posclásico y el conocido Plomizo Tohil.

Navarrete en su libro sobre las esculturas de Chaculá (1979), menciona el sitio de Quen Santo con varias esculturas y características, algunas de ellas presentes en el trabajo de Seler en la región, siendo las principales referencias de este sitio. Específicamente de cerámica se presenta la primera ocupación de las cuevas, relacionado con incensarios de pedestal y urnas con la representación de la deidad solar, vasijas con tapadera efigie y algo de policroma (Ibíd.).

8.2.1. Metodología de análisis de colecciones privadas

Para el análisis de las colecciones privadas tanto de Chaculá como de Quen Santo, se utilizó una ficha de registro interno (Figura 8.2), con un número correlativo de piezas de ambos sitios, con los datos básicos y descriptivos para su identificación y preservación. En el caso de Chaculá fue posible dejar una copia del para la cooperativa de la comunidad, con el objetivo de brindar información a la población sobre las piezas, así como la

	Chinkultic	Cuenca Superior Grijalva	Huehuetenango	Cancún
1500				
1400		Tan Posclásico Tardío	Huehue XII Complejo N	
1300				
1200	Tepancuapan	Nichim Postclásico Temprano	Huehue XI Complejo M	
1100				
900				
800	Yobnajib	Mix Clásico Tardío	Huehue X Complejo L	Chamán
700				Los Laureles
600				Concordía
500	Hiatus	Lek Clásico Medio		
400				
300		Kau Clásico Temprano	Huehue IX Complejo K	
200	Chanujabab Tardío		Huehue VIII Complejo J	
100			Huehue VI Complejo I	
0				
100	Chanujabab Temprano		Huehue V Complejo G	
200				
300				
400			Huehue IV Complejo F	
500				
600				
700			Huehue III Complejo E	
800		Huehue II Complejo D		

Figura 8.1 Cronología de sitios de Chiapas y Guatemala (Modificado por García 2014, a partir de Ball, Bryant, Clark y Forné)

Ficha de Registro

No. de Registro Interno		No. de Registro IDAEH
No. de Frag.		Fecha de Ingreso
Sitio de Procedencia		
Donado por		
Contexto		
Temporalidad		
Grupo cerámico		Variedad
Forma		
Pasta	Color	
	Textura	
	Desgrasante	
Descripción		
Estado de Conservación		
Medidas en cm.	Diámetro	Alto
	Grosor	Alto con soportes
Fotografía:		

Figura 8.2 Ficha de registro para piezas completas y semi completas.

importancia de su resguardo. La nomenclatura del número correlativo se asignó de la siguiente manera: CGC Casa Grande Chaculá; QS Quen Santo, seguido del número de pieza 1, 2, 3, etc., tomando en cuenta el estado de las piezas en dos categorías: completas y semi completas.

Además del análisis de piezas completas y semi completas, para el caso de la colección de la Casa Grande de Chaculá, se realizó una separación de 546 fragmentos por tipo y parte de la vasija (borde, cuerpo, base), definiendo su forma de ser posible su definición. Acompañando las piezas completas y semi completas también se analizó una colección de fragmentos puestos en exposición, algunos con decoraciones y características importantes utilizando los mismos principios de separación, siendo un total de 27 tiestos.

8.3. Resultados de Análisis

Sitio Arqueológico Chaculá

Durante la temporada 2014, fue posible definir una cronología y tipología preliminar para el sitio arqueológico de Chaculá (García y Torres 2015), los resultados mostraron un corpus tipológico exclusivo del Clásico Tardío (Fase Mix), de la región de la Cuenca Superior del Grijalva (Bryant et al. 2005a), en este sentido, el objetivo del análisis de esta temporada fue continuar con la definición de tipos en Chaculá y fechar otros grupos aún no excavados.

Tipos de la Cuenca Superior del Grijalva

En general la tipología y cronología, en los nuevos grupos excavados se mantuvo (Grupo C, D y E), predominando los tipos domésticos y de servicio Chachalaca Rojo Rojo y Tasajo Rojo, además de otros tipos ya definidos en la temporada anterior. Los resultados del presente análisis fueron importantes, ya que fue posible definir con más claridad las formas y acabados y decoraciones, ampliando así la muestra, así como la identificación de nuevos tipos.

Tipo-Variedad: *Pumus*

Grupo Cerámico: *Pumus*

Total de tuestos identificados: Grupo C: 2

Figuras: 8.3

Descripción:

Además de la forma de cuenco ya identificada (García y Torres 2015), se pudo definir la forma de un plato de pared divergente y labio redondeado, las superficies se muestran sin engobe, aunque un poco más amarillentas y desgrasantes de calcita, mica y ferruginosos.

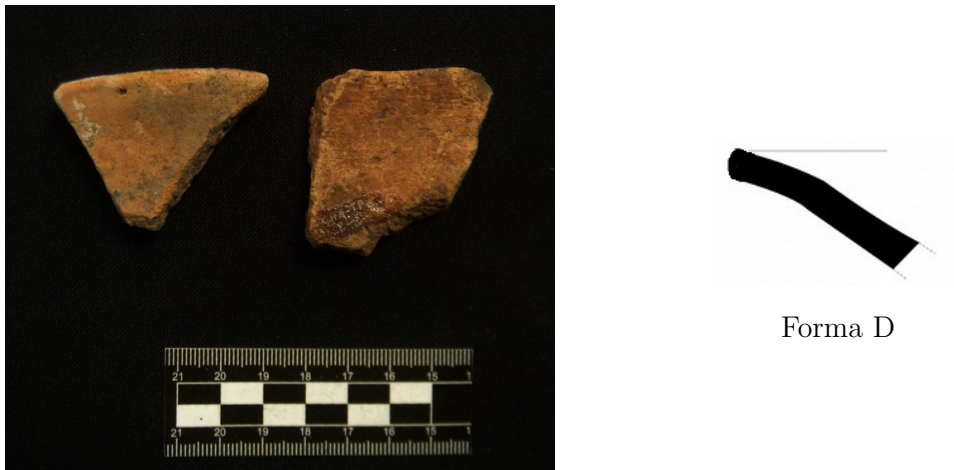


Figura 8.3 Ejemplares del tipo cerámico Pumus V. Pumus, fotografía y dibujo por D. García, digitalización del dibujo por T. Cantoral

Tipo-Variiedad: *Santa Cruz*

Grupo Cerámico: Santa Cruz

Total de tiosos identificados: Grupo C: 16. Grupo D: 2. Grupo E: 15

Figuras: 8.4

Descripción:

Este tipo utilitario predomina la forma de cántaros, apareciendo con mayor frecuencia en los Grupos C y E. Su superficie sin engobe, pero de acabado y pasta más fina que Lagarto sin engobe, con desgrasante de calcita, cuarzo y mica. Forma de cántaro de cuello divergente, borde evertido y labio redondeado, pero principalmente engrosado en el exterior.



Figura 8.4 Ejemplares del tipo cerámico Santa Cruz. V. Santa Cruz, fotografía y dibujo por D. García, digitalización por T. Cantoral

Tipo-Variedad: *Santa Cruz Estriado*

Grupo Cerámico: Santa Cruz

Total de tiosos identificados: Grupo C: 5. Grupo E: 13

Figuras: 8.5

Descripción:

La muestra de este tipo únicamente consiste en cuerpos de cántaro, con las mismas características del tipo Santa Cruz, sin embargo el acabado de superficie es estriado. Es importante mencionar que por sus atributos, tanto Santa Cruz como Santa Cruz Estriado, son equivalentes a los tipos Cambio sin engobe y Encanto Estriado de Tierras Bajas.



Figura 8.5 Ejemplares del tipo cerámico Santa Cruz V. Santa Cruz Estriado, fotografía por D. García

Tipo-Variedad: *Cuatzi*

Grupo Cerámico: Cuatzi

Total de tiosos identificados: Grupo A: 2

Figuras: 8.6

Descripción:

La presencia de este tipo fue menor, con solo dos ejemplares de los cuales no fue posible determinar otras formas de las ya definidas (cuenco y vaso) (Ibíd.).



Figura 8.6 Ejemplares del tipo cerámico Cuatzi V. Cuatzi, fotografía por D. García

Tipo-Variedad: *Nutria*

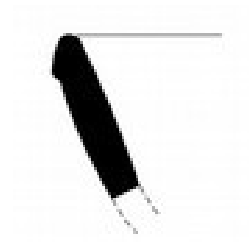
Grupo Cerámico: Nutria

Total de tiosos identificados: Grupo C: 14. Grupo E: 1

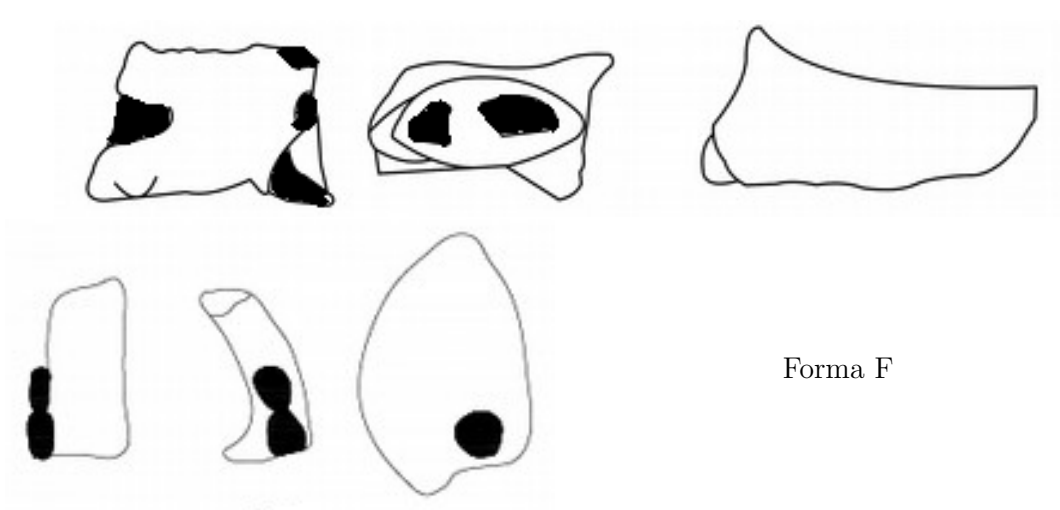
Figuras: 8.7

Descripción:

La presencia de este tipo fue más fuerte en el Grupo C, presentando más diversidad de formas y aplicaciones, apareciendo en los estratos de barro gris negro compacto (nivel de ocupación), y en rellenos. Es consistente la aparición de este tipo de incensarios en forma de platos de paredes divergentes y labio redondeado, mangos tubulares y aplicaciones modeladas, que por su erosión no es posible definir características más precisas.



Forma D



Forma F

Figura 8.7 Ejemplares del tipo Nutria V. Nutria, Fotografía y dibujo por D. García, digitalización por T. Cantoral

Tipo-Variiedad: *Chachalaca Rojo***Grupo Cerámico:** Chachalaca**Total de tiestos identificados:** Grupo A: 4. Grupo C: 287. Grupo D: 19. Grupo E: 196**Figuras:** 8.8**Descripción:**

La forma que predomina en este tipo es el típico cuenco de pared divergente, labio redondeado y levemente engrosado en el exterior, y cuencos de pared convergente y labio redondeado. Los cántaros son de bordes evertidos y labio redondeado, además se identificó un asa en forma de trenza, típica de este tipo. Fue posible definir una tercera forma, el plato de pared divergente, borde evertido y labio redondeado. Aunque Chachalaca Rojo es frecuente en todos los grupos, su presencia en el Grupo C y E es mayor.

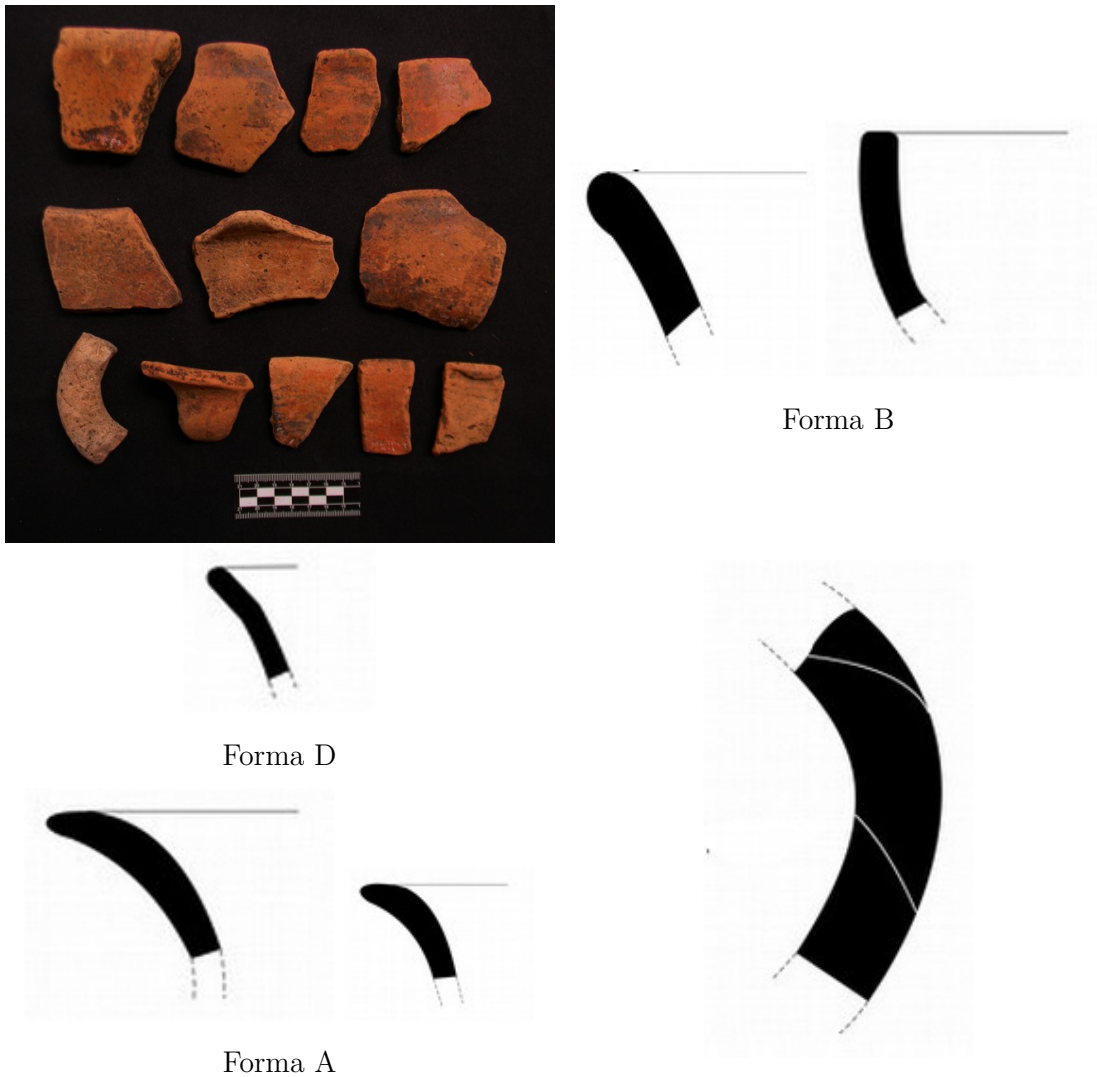


Figura 8.8 Ejemplares del tipo Chachalaca V. Chachalaca Rojo, fotografía y dibujo por D. García, digitalización por T. Cantoral

Tipo-Variiedad: *Chachalaca Rojo Impreso*

Grupo Cerámico: Chachalaca

Total de tiosos identificados: Grupo C: 30. Grupo D: 2. Grupo E: 5

Figuras: 8.9

Descripción:

De este tipo son frecuentes los cuencos con paredes curvas convergentes y divergentes, de labios redondeados y con la decoración impresa en el exterior del borde. Otras muestras evidencian la presencia de forma de cántaro, dónde la decoración impresa aparece en el cuerpo, así como el engobe de color rojo.

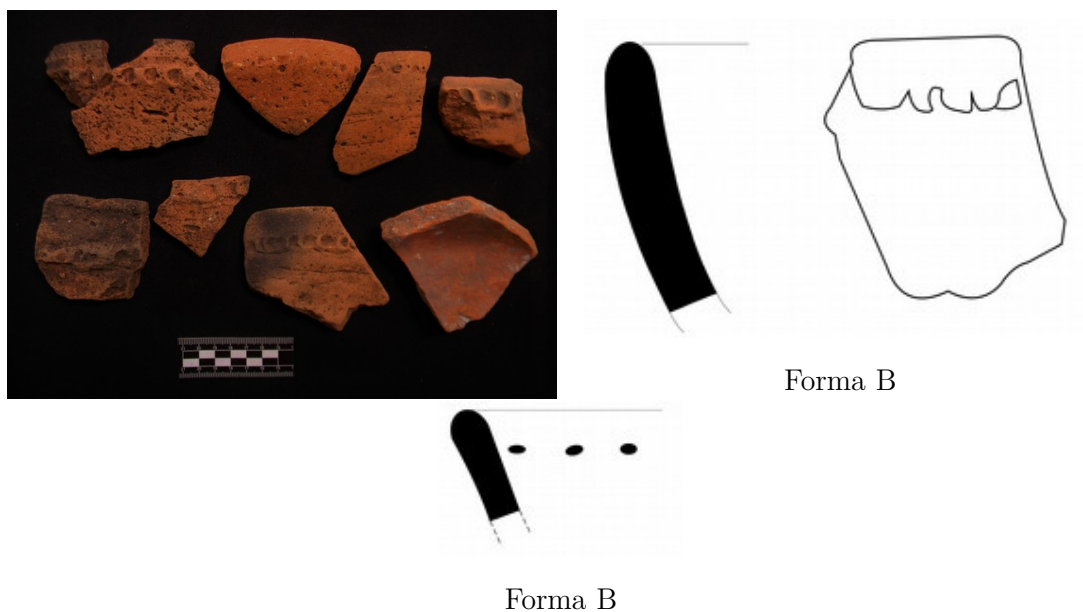


Figura 8.9 Ejemplares tipo Chachalaca Rojo V. Impreso, fotografía y dibujo por D. García, digitalización por T. Cantoral

Tipo-Variiedad: *Chachalaca Rojo/Negro*

Grupo Cerámico: Chachalaca

Total de tiosos identificados: Grupo C: 35. Grupo D: 4. Grupo E: 24

Figuras: 8.10

Descripción:

La forma siempre presente en este grupo cerámico es el cuenco, de pared divergente, borde evertido, labio redondeado y base plana, además del acabado de superficie en el interior.



Figura 8.10 Ejemplares del tipo Chachalaca V. Rojo/Negro, fotografía por D. García

Tipo-Variiedad: *Tasajo Rojo*

Grupo Cerámico: Tasajo

Total de tiestos identificados: Grupo A: 3. Grupo C: 292. Grupo D: 99. Grupo E: 73

Figuras: 8.11, 8.12

Descripción:

Este tipo de uso doméstico utilitario, es el segundo más frecuente del sitio hasta el momento, muy similar al grupo Chachalaca en su pasta y superficies (García y Torres 2015), en forma de platos, sin embargo fue posible identificar la forma de cuenco y cántaro principalmente en el Grupo C y D. Un rasgo importante de los platos, es la presencia de algunos fragmentos de soportes vacíos, esféricos de tamaño pequeño. En el caso de los cuencos, presentan paredes divergentes, pueden o no presentar un borde evertido y generalmente de labio redondeado. Otra nueva forma identificada es el cántaro de cuello largo y curvo directo al labio redondeado y en ocasiones levemente engrosado en el exterior.

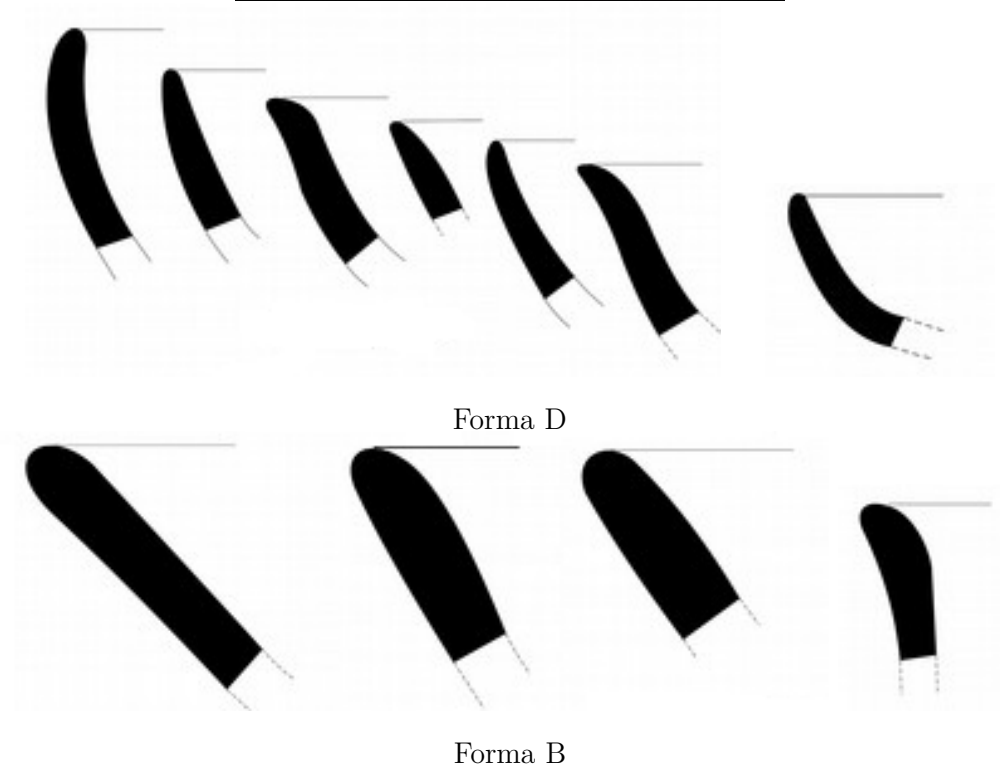
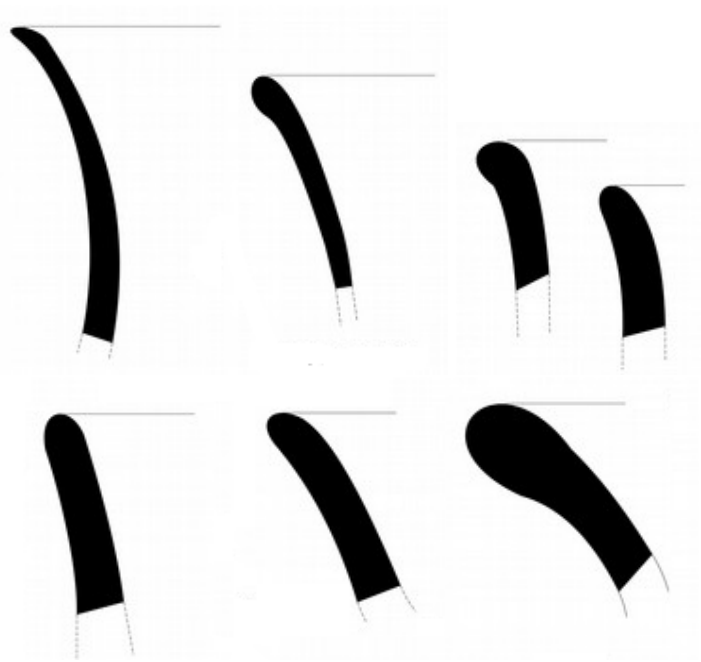


Figura 8.11 Ejemplares del tipo Tasajo V. Tasajo Rojo, fotografía y dibujos por D. García, digitalización por T. Cantoral



Forma A

Figura 8.12 Ejemplares del tipo Tasajo V. Tasajo Rojo, dibujos por D. García, digitalización por T. Cantoral

Tipo-Variedad: *Chat Rojo Inciso*

Grupo Cerámico: Chat

Total de tiosos identificados: Grupo E: 2

Figuras: 8.13

Descripción:

La muestra fue mucho menor, con solo dos fragmentos decorados con incisiones de fino a medio, por lo que no se pudo definir más características de la forma de cántaro ya identificada (Ibíd.).



Figura 8.13 Ejemplares del tipo Chat Rojo V. Inciso, fotografía por D. García

Tipo-Variiedad: *Tasajo Rojo Estriado*

Grupo Cerámico: Tasajo

Total de tientos identificados: Grupo C: 13. Grupo D: 7

Figuras: 8.14

Descripción:

Además de la forma característica de cuenco de pared divergente o convergente, fue posible definir la de cántaro de borde divergente de labio redondeado, así como la de plato de un plato de pared divergente de labio redondeado. Las superficies son estriadas y sin engobe, con la pasta de Tasajo Rojo.

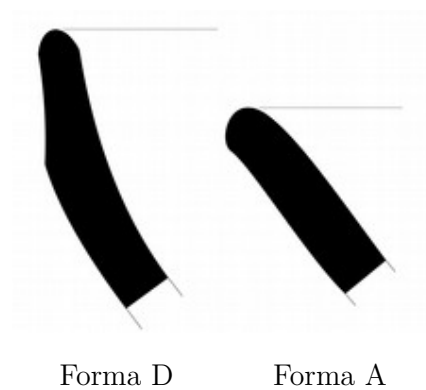


Figura 8.14 Ejemplares del tipo Tasajo V. Tasajo Rojo Estriado, fotografía y dibujo por D. García, digitalización por T. Cantoral

Tipo-Variiedad: *Chanal Gubiado***Grupo Cerámico:** Nichel**Total de tiestos identificados:** Grupo C: 4**Figuras:** 8.15**Descripción:**

Las muestras de esta cerámica fina, aparecen únicamente en el Grupo C, siendo característico de esta cerámica fina, los diseños de cuerpos decorados con representaciones antropomorfas (manos), y otros motivos (Bryant et al. 2005a). Esta cerámica de pasta fina, parece ser una imitación local del tipo Pabellón Modelado, una reproducción local al considerar la consistencia de su pasta, con desgrasantes de mica, calcita y cuarzo, en la región.

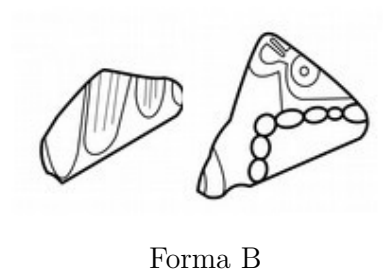


Figura 8.15 Ejemplares del tipo Chanal V. Gubiado, fotografía y dibujo por D. García, digitalización por T. Cantoral

Tipo-Variiedad: *Tang/Nichel policromo***Grupo Cerámico:** Tang/Nichel**Total de tiestos identificados:** Grupo D:1**Figuras:** 8.16**Descripción:**

La única muestra de este tipo, consiste en un fragmento de plato de pared divergente y labio redondeado, con decoración de líneas de color rojo sobre el engobe naranja pulido, atributos característicos de la cerámica fina y decorada de la región.

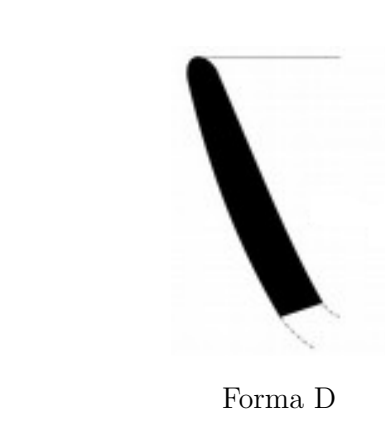


Figura 8.16 Ejemplares del tipo Tang/Nichel V. policromo, fotografía y dibujo por D. García, digitalización por T. Cantoral

Tipo-Variiedad: *Musaraña Rojo y Anaranjado*

Grupo Cerámico: Musaraña

Total de tiestos identificados: Grupo C: 4. Grupo D: 12. Grupo E: 5

Figuras: 8.17

Descripción:

Se identificó la forma principal de platos de pared convergente y labio redondeado, con decoración de líneas y puntos de color rojo sobre naranja en el borde exterior.



Figura 8.17 Ejemplares del tipo Musaraña V. Rojo/Naranja, fotografía por D. García

Tipo-Variedad: *Danta Café***Grupo Cerámico:** Danta**Total de tientos identificados:** Grupo C: 27. Grupo E: 5**Figuras:** 8.18**Descripción:**

La forma ya identificada es de cántaro (Ibíd.), aumentando la muestra (Grupo C), con la presencia de otros desgrasantes que en conjunto son mica, calcita y ferruginosos. El acabado de superficie rojizo café presenta nubes de color negro.



Figura 8.18 Ejemplares del tipo Danta V. Café, fotografía por D. García

Tipo-Variedad: *Yol***Grupo Cerámico:** Tasajo**Total de tientos identificados:** Grupo C: 1**Figuras:** 8.19**Descripción:**

Además de la forma de un cuenco, se identificó una única muestra de un cilindro, de pared recta divergente con borde levemente divergente y labio redondeado. Superficie con engobe rojizo anaranjado y decoración de dos acanaladuras en el exterior, con variantes en los desgrasantes de su pasta, incluyendo en esta muestra mica y calcita.



Forma C

Figura 8.19 Ejemplares del tipo Yol, fotografía y dibujo por D. García, digitalización por T. Cantoral

Tipo-Variedad: *Patal Blanco*

Grupo Cerámico: Patal

Total de tiosos identificados: Grupo C: 8. Grupo D: 3

Figuras: 8.20

Descripción:

La forma predominante es de cántaro de borde evertido y labio redondeado (García y Torres 2015), sin embargo se identificó la forma de un plato de pared divergente, borde evertido y labio redondeado. La pasta con desgrasantes de cuarzo, calcita, ferruginosos y mica, las superficies muestran nubes de color gris a negro.



Forma D

Figura 8.20 Ejemplares del tipo Patal V. Patal Blanco, fotografía y dibujo por D. García, digitalización por T. Cantoral

Tipo-Variiedad: *Las Rosas Blanco***Grupo Cerámico:** Las Rosas**Total de tiosos identificados:** Grupo C: 2**Figuras:** 8.21**Descripción:**

A pesar de ser una pequeña muestra, fue posible definir la forma de un cilindro de pared recta y labio plano. Superficies con engobe delgado, blanco a amarillento por la erosión.



Figura 8.21 Ejemplares del Tipo Las Rosas V. Blanco, fotografía por D. García

Tipo-Variiedad: *Chascal Naranja Impreso***Grupo Cerámico:** Chascal**Total de tiosos identificados:** Grupo D: 2. Grupo E: 1**Figuras:** 8.22**Descripción:**

Continúa la presencia de cuencos de este tipo, con engobe naranja pulido en el interior y desgrasantes de mica y calcita. La decoración impresa siempre esta presente en el exterior del borde.

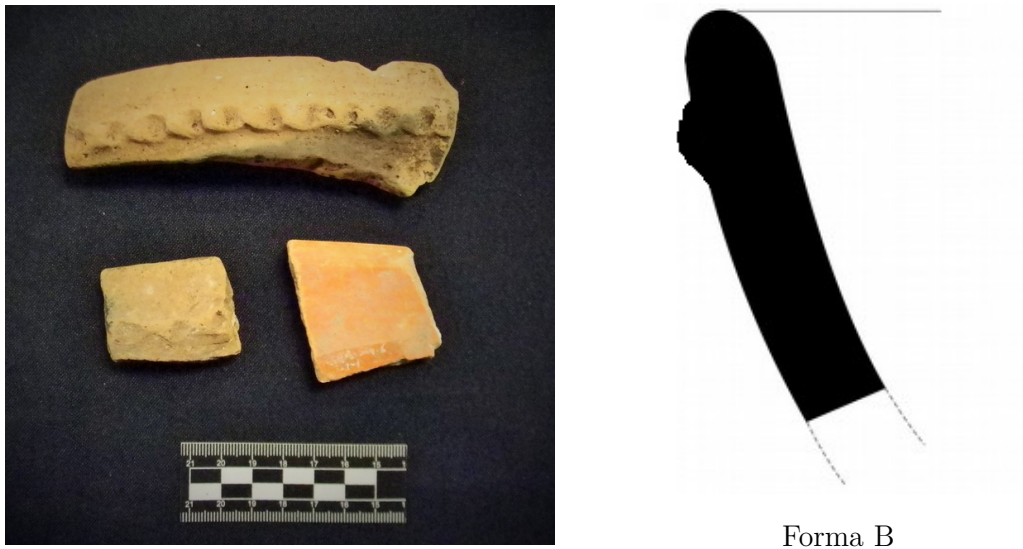


Figura 8.22 Ejemplares del tipo Chascal Naranja V. Impreso, fotografía y dibujo por D. García, digitalización por T. Cantoral

Tipo-Variiedad: *Tartaleta Compuesto*

Grupo Cerámico: Tasajo

Total de tiosos identificados: Grupo C: 8. Grupo E: 1

Figuras: 8.23

Descripción:

Son frecuentes las aplicaciones modeladas de este tipo correspondiente a incensarios, identificando la forma de cuencos de pared divergente y labio redondeado. Pasta y superficie del tipo Tasajo Rojo.

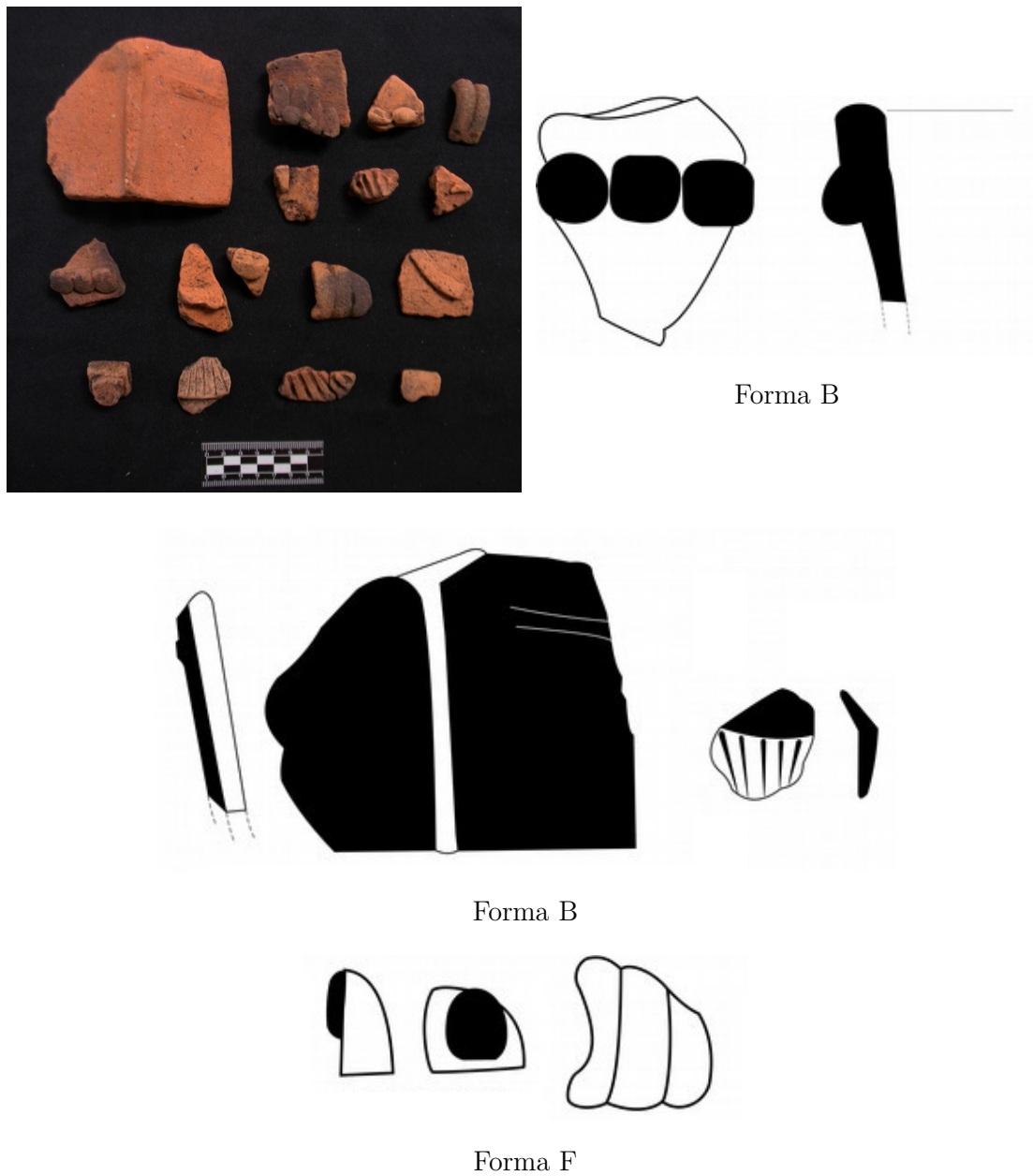


Figura 8.23 Ejemplares del tipo Tartaleta V. Compuesto, fotografía y dibujo por D. García, digitalización por T. Cantoral

Tipo-Variiedad: *Huelga Rojo/Negro*

Grupo Cerámico: Nichel

Total de tuestos identificados: Grupo C: 1. Grupo D: 1. Grupo E: 6

Figuras: 8.24

Descripción:

Gracias a la presencia de más muestras de este tipo, se definió, además de la forma de cuenco (Ibíd.), un plato de pared divergente y labio redondeado.



Forma B

Figura 8.24 Ejemplares del tipo Huelga Rojo/Negro, fotografía y dibujo por D. García, digitalización por T. Cantoral

Tipo-Variiedad: *Sasben Café Negro Gubiado*

Grupo Cerámico: Sasben

Total de tiosos identificados: Grupo C: 2. Grupo D: 1

Figuras: 8.25

Descripción:

La muestra corresponde a cuerpos decorados sin forma definida. Pasta y superficie del tipo Sasben Café Negro (Ibíd.).



Figura 8.25 Ejemplares del tipo Sasben Café Negro V. Gubiado, fotografía por D. García

Tipo	TOTAL GRUPO A	TOTAL GRUPO C	TOTAL GRUPO D	TOTAL GRUPO E	TOTALES
Pumus		2			2
Santa Cruz		16	2	15	33
Santa Cruz Estriado		5		13	18
Cuatzi	2				2
Nutria		14		1	15
Chacalaca Rojo	4	287	19	196	506
Chacalaca Impreso		30	2	5	37
Chacalaca Rojo/Negro		35	4	24	63
Tasajo Rojo	3	292	99	73	467
Tasajo Rojo Estriado		13	7		20
Chat Rojo Inciso				2	2
Chanal Gubiado		4			4
Tang/Nichel			1		1
Musaraña		4	12	5	21
Danta Café		27		5	32
Yol		1			1
Patal		8	3		11
Las Rosas Blanco		2			2
Chascal Naranja Impreso			2	1	3
Tartaleta		8		1	9
Huelga rojo y negro		1	1	6	8
Sasben negro café gubiado		2	1		3

Figura 8.26 Tabla de conteo final de los tipos ya identificados (García y Torres 2015), totales por grupo

Tipo-Variedad: *Lagarto sin engobe*

Grupo Cerámico: Lagarto

Total de tiosos identificados: Grupo C: 112. Grupo D: 13. Grupo E: 77

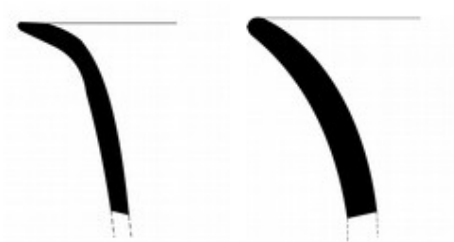
Figuras: 8.27

Descripción:

Este tipo había sido identificado como Cambio sin engobe (Ibíd.), en el presente análisis se logró definir su equivalencia al Lagarto sin engobe. Forma de cántaro de cuello largo curvo y divergente, borde divergente o evertido de labio redondeado o engrosado exterior; plato de pared divergente y labio redondeado. Pasta de textura media a gruesa con calcita, cuarzo, mica y ferruginosos.



Cuello completo, Forma A TP-C-1-4-3



Forma A



Forma D

Figura 8.27 Ejemplares tipo Lagarto V. sin Engobe, fotografía y dibujo por D. García, digitalización por T. Cantoral

Tipo-Variiedad: *Lagarto Estriado*

Grupo Cerámico: Lagarto

Total de tuestos identificados: Grupo C: 80. Grupo D: 6. Grupo E: 15

Figuras: 8.28

Descripción:

Pasta y forma de cántaro del tipo Lagarto sin engobe. Superficies estriadas de color café rojizo a gris.



Figura 8.28 Ejemplares del tipo Lagarto V. Estriado, fotografía por D. García

Tipo-Variiedad: *Chachalaca Rojo Estriado*

Grupo Cerámico: Chachalaca

Total de tiosos identificados: Grupo C: 3. Grupo D: 2. Grupo E: 9

Figuras: 8.29

Descripción:

Forma de cuenco de pared divergente, borde evertido y labio redondeado; cántaro de cuello recto divergente, borde evertido plano y labio redondeado. Superficies estriadas y pasta del tipo Chachalaca Rojo.



Figura 8.29 Ejemplares del tipo Chachalaca Rojo V. Estriado, fotografía por D. García

Tipo-Variiedad: *Chachalaca Rojo Modelado***Grupo Cerámico:** Chachalaca**Total de tuestos identificados:** Grupo C: 2**Figuras:** 8.30**Descripción:**

Pasta y superficie del grupo Chachalaca Rojo. Cuerpos de forma indeterminada con presencia de decoración modelada de un posible rostro zoomorfo.



Figura 8.30 Ejemplares del tipo Chachalaca Rojo V. modelado, fotografía por D. García

Tipo-Variiedad: *Chachalaca Rojo/Negro Impreso***Grupo Cerámico:** Chachalaca**Total de tuestos identificados:** Grupo D: 1**Figuras:** 8.31**Descripción:**

Pasta y superficie de Chachalaca Rojo/Negro. Forma de cuenco de pared divergente, labio redondeado engrosado exterior, con decoración impresa en el exterior del borde.

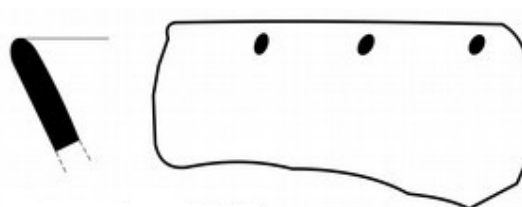


Forma B

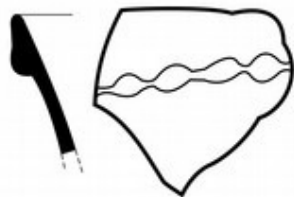
Figura 8.31 Ejemplar del tipo Chachalaca Rojo/Negro V. Impreso, dibujo por D. García, digitalización por T. Cantoral

Tipo-Variiedad: *Tasajo Rojo Impreso***Grupo Cerámico:** Tasajo**Total de tiestos identificados:** Grupo C: 6. Grupo D: 4. Grupo E: 2**Figuras:** 8.32**Descripción:**

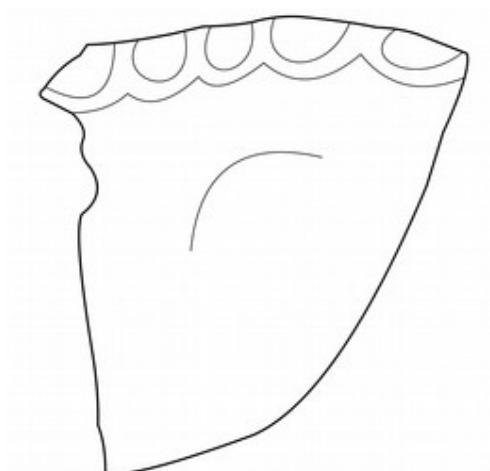
Pasta y superficie del grupo Tasajo. La muestra corresponde a cuerpos de cántaro con aplicaciones impresas; cuencos de paredes divergentes labio redondeado y decoración impresa en el exterior del borde.



Forma B



Forma B



Forma A

Figura 8.32 Ejemplares del tipo Tasajo Rojo V. Impreso, fotografía y dibujo por D. García, digitalización por T. Cantoral

Tipo-Variiedad: *Tasajo Rojo Inciso***Grupo Cerámico:** Tasajo**Total de tiosos identificados:** Grupo D: 1**Figuras:** 8.33**Descripción:**

Pasta y superficie del grupo Tasajo. Forma de plato de pared divergente y labio redondeado, decoración incisa gruesa en el exterior de la pared del mismo en diseño geométrico.



Figura 8.33 Ejemplares del tipo Tasajo Rojo V. Inciso, fotografía por D. García

Tipo-Variiedad: *Tasajo Rojo Modelado***Grupo Cerámico:** Tasajo**Total de tiosos identificados:** Grupo E: 9**Figuras:** 8.34**Descripción:**

Pasta y superficie del grupo Tasajo. Forma de plato de pared divergente y labio redondeado; cuerpos indeterminados.



Figura 8.34 Ejemplares del tipo Tasajo Rojo V. Modelado, fotografía y dibujo por D. García, digitalización por T. Cantoral

Tipo-Variiedad: *Tasajo Rojo Acanalado*

Grupo Cerámico: Tasajo

Total de tiestos identificados: Grupo C: 3. Grupo D: 1

Figuras: 8.35

Descripción:

Pasta y superficie del grupo Tasajo. Forma de plato y cuenco de pared divergente y labio redondeado, con decoración acanalada.



Figura 8.35 Ejemplares del tipo Tasajo Rojo V. Acanalado, fotografía y dibujo por D. García, digitalización por T. Cantoral

Tipo-Variiedad: *Tasajo Rojo Aplicado***Grupo Cerámico:** Tasajo**Total de tuestos identificados:** Grupo C: 2**Figuras:** 8.36**Descripción:**

Pasta y superficie del grupo Tasajo. Cuerpos de forma indeterminada.



Figura 8.36 Ejemplares del tipo Tasajo Rojo V. Aplicado, fotografía por D. García

Tipo-Variiedad: *Chat Rojo***Grupo Cerámico:** Chat**Total de tuestos identificados:** Grupo C: 7**Figuras:** 8.37**Descripción:**

Pasta de textura media, color rojizo café, con desgrasantes de mica, calcita y ferruginosos. Superficies alisadas con engobe rojizo naranja; forma de cántaro de cuello divergente, borde evertido y labio redondeado.



Figura 8.37 Ejemplares del tipo Chat Rojo, fotografía por D. García

Tipo-Variedad: *Sasben Café Negro*

Grupo Cerámico: Sasben

Total de tiosos identificados: Grupo C: 10. Grupo E: 8

Figuras: 8.38

Descripción:

Pasta de textura media a fina, color café rojizo a gris, con desgrasantes de mica, calcita y ferruginosos. Superficies alisadas con engobe café rojizo a negro; forma de plato de pared divergente y labio redondeado engrosado levemente en el exterior, y cuenco de pared divergente y labio redondeado.



Figura 8.38 Ejemplares del tipo Sasben Café Negro, fotografía por D. García

Tipo-Variedad: *Sasben Café Negro Impreso*

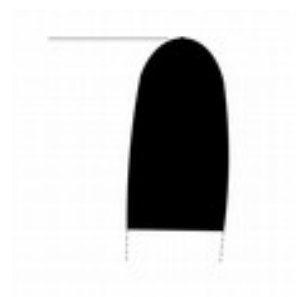
Grupo Cerámico: Sasben

Total de tiestos identificados: Grupo C: 2

Figuras: 8.39

Descripción:

Pasta y superficie interior del tipo Sasben Café Negro; cuenco de pared divergente y labio redondeado, exterior alisado sin engobe con decoración impresa en el borde.



Forma B

Figura 8.39 Ejemplares del tipo Sasben Café Negro V. Impreso, fotografía y dibujo por D. García, digitalización por T. Cantoral

Tipo-Variiedad: *Sasben Café Negro Acanalado*

Grupo Cerámico: Sasben

Total de tiestos identificados: Grupo C: 6. Grupo E: 6

Figuras: 8.40

Descripción:

Pasta y superficie del tipo Sasben Café Negro. Forma de cilindro y plato de pared divergente, borde evertido y labio redondeado.



Figura 8.40 Ejemplares del tipo Sasben Café Negro V. Acanalado, fotografía y dibujo por D. García, digitalización por T. Cantoral

Tipo-Variiedad: *Sasben Café Negro Inciso*

Grupo Cerámico: Sasben

Total de tiosos identificados: Grupo D: 1. Grupo E: 2

Figuras: 8.41

Descripción:

Pasta y superficie del tipo Sasben Café Negro. La muestra consiste en cuerpos con decoración incisa fina, de forma indeterminada.



Figura 8.41 Ejemplares del tipo Sasben Café Negro V. Inciso, fotografía por D. García

Tipo-Variiedad: *Sasben Café Negro Modelado*

Grupo Cerámico: Sasben

Total de tiosos identificados: Grupo E: 1

Figuras: 8.42

Descripción:

Pasta y superficie del tipo Sasben Café Negro, ejemplar de forma indeterminada con decoración modelada.



Figura 8.42 Ejemplar del tipo Sasben Café Negro V. Modelado, fotografía por D. García

Tipo-Variiedad: *Patal Blanco Estriado*

Grupo Cerámico: Patal

Total de tiosos identificados: Grupo C: 1

Figuras: 8.43

Descripción:

Pasta y acabado del tipo Patal Blanco. La muestra corresponde a un cuerpo estriado de forma indeterminada.



Figura 8.43 Ejemplar del tipo Patal Blanco V. Estriado, fotografía por D. García

Tipo-Variiedad: *Sat Modelado***Grupo Cerámico:** Nichel**Total de tiestos identificados:** Grupo C: 14**Figuras:** 8.44**Descripción:**

Pasta de textura fina a media, color rojizo café con desgrasantes de calcita, mica y ferruginosos. La muestra corresponde a cuerpos de cántaro, con decoraciones modeladas.



Figura 8.44 Ejemplares del tipo Sat Modelado, fotografía por D. García

Tipo-Variiedad: *Senso Compuesto***Grupo Cerámico:** Lagarto**Total de tiestos identificados:** Grupo C: 5. Grupo D: 2**Figuras:** 8.45**Descripción:**

Pasta y superficies del grupo Lagarto sin engobe, forma de incensario. La muestra corresponde a fragmentos de pestañas y aplicaciones de espiga y antropomorfos, además de otras indeterminadas.



Figura 8.45 Ejemplares del tipo Senso Compuesto, fotografía y dibujo por D. García, digitalización por T. Cantoral

Tipo-Variiedad: *Nichel Rojo*

Grupo Cerámico: Nichel

Total de tiestos identificados: Grupo C: 37. Grupo D: 7. Grupo E: 1

Figuras: 8.46

Descripción:

Pasta de textura fina a media, de color naranja a beige, con desgrasantes de mica, calcita y ferruginosos. Superficies alisadas con engobe anaranjado a rojizo pulido. Forma de cántaro de borde evertido y labio redondeado, plato de pared divergente y labio redondeado; cuenco de pared convergente y labio agudo. Este tipo posee características equivalentes al tipo Tinaja Rojo de Tierras Bajas.



Figura 8.46 Ejemplares del tipo Nichel Rojo, fotografía y dibujo por D. García, digitalización por T. Cantoral

Tipo-Variiedad: *Yerba Buena*

Grupo Cerámico:

Total de tiosos identificados: Grupo C: 76. Grupo E: 6

Figuras: 8.47

Descripción:

Pasta de textura fina compacta, color naranja a beige con desgrasantes de mica, calcita y ferruginosos, superficies alisadas con engobe naranja amarillento pulido, talcoso al tacto. Forma de cuenco y plato de pared convergente y divergente que puede tener o no borde evertido, y labios redondeado y agudo.



Forma D y B

Figura 8.47 Ejemplares del tipo Yerba Buena, fotografía y dibujo por D. García, digitalización por T. Cantoral

Tipo-Variación: *Bon Polícromo*

Total de tiestos identificados: Bon

Total de tiestos identificados: Grupo C: 8. Grupo E: 2

Figuras: 8.48

Descripción:

Pasta fina de color naranja amarillento, desgrasantes de calcita y ferruginosos. Superficies alisadas con engobe naranja pulido, sobre el cual se aplicó decoración polícroma de color rojo y negro, al estilo del tipo Saxché Palmar de Tierras Bajas. Forma de cuencos de pared convergente y labio redondeado; platos de pared divergente, labio redondeado y agudo; vaso de pared curva, borde divergente y labio redondeado.



Figura 8.48 Ejemplares del tipo Bon polícromo, fotografía y dibujo por D. García, digitalización por T. Cantoral

Tipo-Variedad: *Bon Polícromo Inciso*

Grupo Cerámico: Bon

Total de tientos identificados: Grupo E: 1

Figuras: 8.49

Descripción:

Pasta y textura del tipo Bon Polícromo, forma de cilindro o vaso de pared recta y labio redondeado, presenta decoración de dos líneas incisas finas en el exterior del borde.



Figura 8.49 Ejemplar del tipo Bon polícromo V. inciso, fotografía por D. García

Tipo-Variiedad: *Grupo Altar Naranja***Grupo Cerámico:** Altar**Total de tiestos identificados:** Grupo C: 2**Figuras:** 8.50**Descripción:**

Pasta de textura fina, color beige con desgrasantes de mica y calcita. Superficies alisadas con engobe naranja pulido. Cuerpos de forma indeterminada con decoración incisa fina.



Figura 8.50 Ejemplares del tipo Altar, fotografía por D. García

Tipo-Variiedad: *Cox Inciso Naranja***Grupo Cerámico:** Chascal**Total de tiestos identificados:** Grupo E: 2**Figuras:** 8.51**Descripción:**

Pasta fina de color rojizo café, con desgrasantes de mica, calcita, ferruginosos. Superficies alisadas del color de la pasta, forma de plato de pared divergente y labio redondeado. Decoración de líneas incisas finas en forma de volutas.



Figura 8.51 Ejemplares del tipo Cox Inciso Naranja, fotografía por D. García

Tipo-Variiedad: *Insla Gubiado Inciso*

Grupo Cerámico: Nichel

Total de tientos identificados: Grupo E: 7

Figuras: 8.52

Descripción:

Pasta fina a media, color rojizo café a beige con desgrasantes de mica, calcita, ferruginosos. Superficies alisadas del mismo color de la pasta, debido a la erosión no se conserva el engobe, únicamente las decoraciones de líneas incisas.



Figura 8.52 Ejemplares del tipo Insla Gubiado Inciso, fotografía por D. García

Tipo-Variiedad: *Balancan Anaranjado***Grupo Cerámico:** Balancan**Total de tiestos identificados:** Grupo D: 1**Figuras:** 8.53**Descripción:**

Pasta fina de color naranja amarillento, desgrasantes de calcita y ferruginosos. Las superficies son alisadas con engobe naranja pálido, pulido sobre el cual se observa un baño de color blanco. Cuerpo de forma indeterminada. Tipo definido por Smith (1971) (Rivero Torres y Chávez Jiménez 2007).



Figura 8.53 Ejemplar de Balancan Anaranjado, fotografía por D. García

Tipo-Variiedad: *Kavas Rojo/Anaranjado sobre blanco***Grupo Cerámico:****Total de tiestos identificados:** Grupo C: 1**Figuras:** 8.54**Descripción:**

Pasta de textura fina a media, de color naranja con desgrasantes de mica, calcita, ferruginosos. Superficie de color naranja rojizo sobre blanco. Cuerpo de forma indeterminada.



Figura 8.54 Ejemplar del tipo Kavas Rojo/Anaranjado sobre blanco, fotografía por D. García

Tipo-Variiedad: *Sha Rojo*

Grupo Cerámico: Sha

Total de tiestos identificados: Grupo C: 1

Figuras: 8.55

Descripción:

Pasta de textura fina a media, color café rojizo con desgrasantes de mica, calcita, ferruginosos. Superficie externa, alisada con engobe rojo, forma de una olla miniatura ya identificada en el sitio de Lagartero (Rivero Torres y Chávez Jiménez 2007).



Figura 8.55 Ejemplar del tipo Sha Rojo, fotografía por D. García

Tipo-Variiedad: *Cerámica Café, San Fernando***Grupo Cerámico:** Indeterminado**Total de tiestos identificados:** Grupo E: 1**Figuras:** 8.56**Descripción:**

Pasta de textura fina compacta, color café a beige y desgrasantes de mica, calcita y ferruginosos. Superficie alisada sin engobe del color de la pasta, con decoración incisa gruesa en líneas cruzadas, típico de los cántaros de este tipo domestico de cerámica café del sitio San Fernando (Piña Chan y Navarrete 1967).



Figura 8.56 Ejemplar de cerámica café, San Fernando, fotografía por D. García

Tipo-Variiedad: *Chachalaca Rojo Tanilná***Grupo Cerámico:** Chachalaca**Total de tiestos identificados:** Grupo C: 11**Figuras:** 8.57**Descripción:**

Pasta del tipo Chachalaca Rojo, superficies alisadas con un engobe ralo de color rojo mate. Forma indeterminada.



Figura 8.57 Ejemplares del tipo Chachalaca Rojo V. Tanilná, fotografía por D. García

	GRUPO A	GRUPO C	GRUPO D	GRUPO E	TOTALES
Lagarto sin Engobe		112	13	77	202
Lagarto Estriado		80	6	15	101
Chachalaca Rojo Estriado		3	2	9	14
Chachalaca Rojo Modelado		2			2
Chachalaca Rojo/Negro Impreso			1		1
Tasajo Rojo Impreso		6	4	2	12
Tasajo Rojo Inciso			1		1
Tasajo Rojo Modelado				9	9
Tasajo Rojo Acanalado		3	1		4
Tasajo Rojo Aplicado		2			2
Chat Rojo		7			7
Sasben Café Negro		10		8	18
Sasben Café Negro Impreso		2			2
Sasben Café Negro Acanalado		6		6	12
Sasben Café Negro Inciso			1	2	3
Sasben Café Negro Modelado				1	1
Patal Blanco Estriado		1			1
Sat Modelado		14			14
Senso Compuesto		5	2		7
Nichel Rojo		37	7	1	45
Yerba Buena		76		6	82
Bon Polícromo		8		2	10
Bon Polícromo Inciso				1	1
Altar Naranja		2			2
Cox Inciso Naranja				2	2
Insla Gubiado Inciso				7	7
Balancan Anaranjado			1		1
Kavas Rojo/Anaranjado sobre Blanco		1			1
Sha/Rojo		1			1
Cerámica Café (San Fernando)				1	1
Chachalaca Rojo V. Tanilná		11			11

Figura 8.58 Tabla de conteo final de nuevos tipos y variedades identificados, totales por grupo

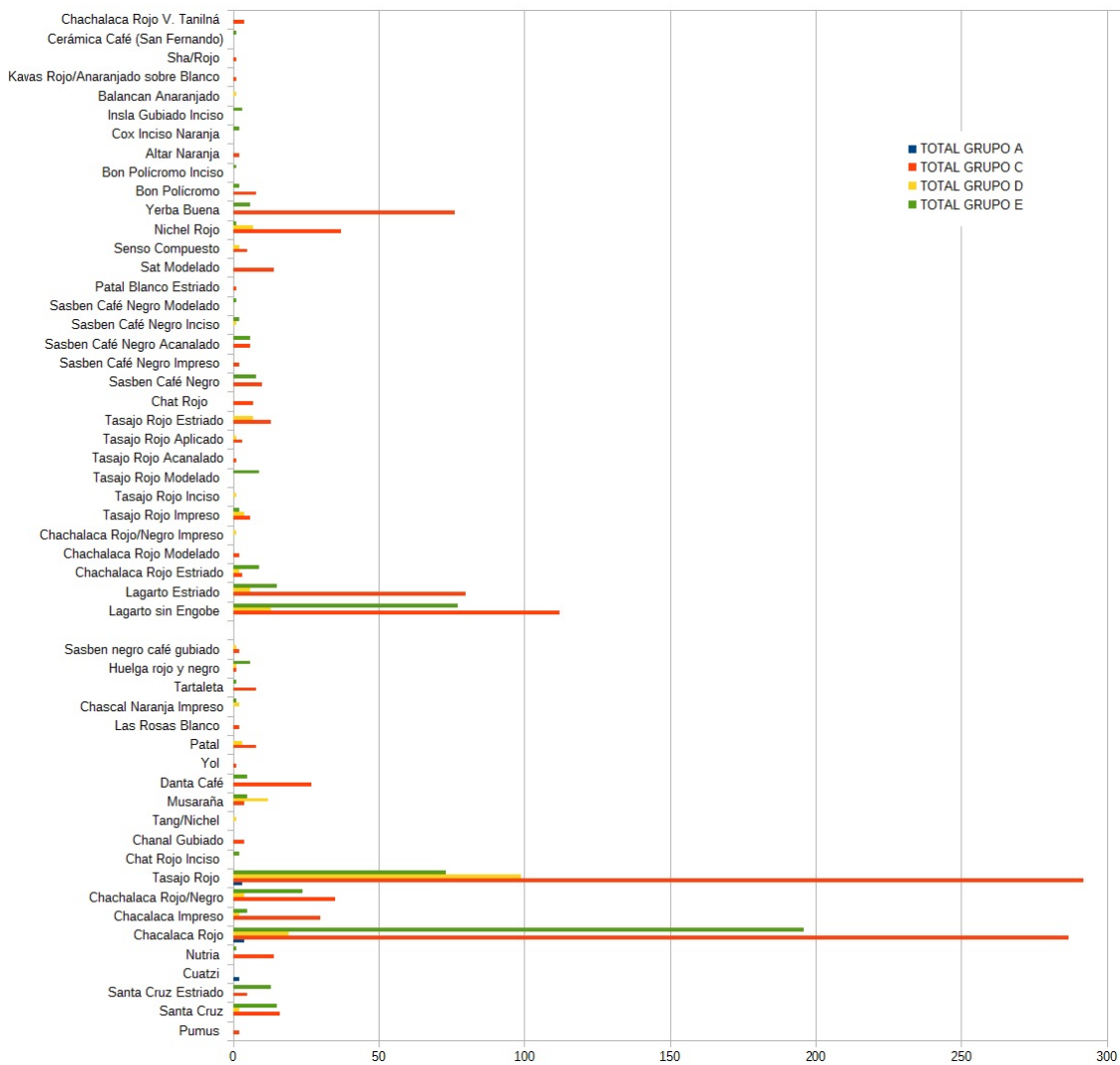


Figura 8.59 Gráfica de frecuencias de tipos por grupo

Resultados Generales

En general, de acuerdo a los porcentajes (Figuras 8.26, ??, 8.59), la presencia de cerámica es más abundante en el Grupo C, seguido del Grupo E, lo cual a nivel interpretativo puede significar una ocupación o mayor actividad en ambas áreas. En cuanto a tipología predominan los tipos de carácter doméstico y utilitario del grupo Chachalaca y Tasajo, seguido del grupo Lagarto sin engobe. Otros tipos como Yerba Buena, Nichel Rojo y Musaraña, posiblemente también de servicio (platos, cuencos, etc.), aparecen en menor cantidad pero siempre constantes. Los tipos finos como Bon Polícromo, Chanal Gubiado y los que corresponden a incensarios Tartaleta, Nutria y Senso aunque en menor cantidad prevalecen en el Grupo C.

Tipos de Tierras Bajas

Tipo-Variedad: *Máquina Café***Grupo Cerámico:** Máquina**Total de tiestos identificados:** Grupo C: 65. Grupo D: 6. Grupo E: 6**Figuras:** 8.60**Descripción:**

Pasta y superficie del grupo Máquina (García y Torres 2015). Forma de cántaro de cuello y borde divergente, de labio redondeado; cuenco de pared convergente y labio agudo.

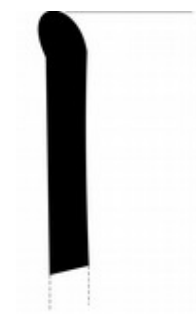


Forma A

Figura 8.60 Ejemplares del tipo Máquina Café, fotografía y dibujo por D. García, digitalización por T. Cantoral

Tipo-Variedad: *Máquina Modelado***Grupo Cerámico:** Máquina**Total de tiestos identificados:** Grupo C: 2**Figuras:** 8.61**Descripción:**

Pasta y superficie del tipo Máquina Café. Forma de cántaro de cuello recto, borde divergente y labio redondeado. Decoración modelada en el exterior del cuello.



Forma A

Figura 8.61 Ejemplares del tipo Máquina Modelado, fotografía y dibujo por D. García, digitalización por T. Cantoral

Tipo-Variedad: *Infierno Negro*

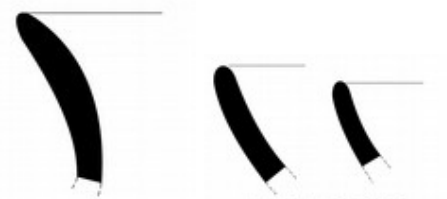
Grupo Cerámico: Infierno

Total de tiosos identificados: Grupo C: 19. Grupo D: 9. Grupo C: 12

Figuras: 8.62

Descripción:

Pasta y superficie del tipo Infierno Negro (Ibíd.). forma de cántaro de cuello curvo, borde divergente y labio redondeado. Plato de pared curva y labio redondeado.



Forma A y D

Figura 8.62 Ejemplares del tipo Infierno Negro, fotografía y dibujo por D. García, digitalización por T. Cantoral

Tipo-Variedad: *Chaquiste Impreso*

Grupo Cerámico: Chaquiste

Total de tiosos identificados: Grupo D: 2

Figuras: 8.63

Descripción:

Pasta y superficie del tipo Chaquiste Impreso (Ibíd.). Forma de cuenco de pared convergente y labio redondeado.



Figura 8.63 Ejemplares del tipo Chaquiste Impreso, fotografía por D. García

	GRUPO A	GRUPO C	GRUPO D	GRUPO E	TOTALES
Máquina Café		65	6	6	77
Máquina Modelado		2			2
Infierno Negro		19	9	12	40
Chaquiste Impreso			2		2
Subtotal		86	17	18	121

Figura 8.64 Tabla de conteo final de tipos y variedades identificados, totales por grupo

Resultados Generales

Dentro de este conjunto predomina la presencia del grupo Máquina Café e Infierno Negro (Figura 8.64), identificados de acuerdo a la tipología de Tierras Bajas, sin embargo por la consistencia de las pastas en general pudieran ser imitaciones locales. Por último aparece el tipo Chaquiste Impreso en el Grupo D. Otros tipos identificados anteriormente en este conjunto, equivalen a la producción de tipos locales con las mismas características como el Lagarto sin engobe que es igual al Cambio sin engobe, sin embargo se prefirió mantener los nombres locales, esperando realizar otros estudios de pastas que afirmen este supuesto.

Tipos de Tierras Altas

Tipo-Variiedad: *Mostaza Rojo sobre Natural*

Grupo Cerámico: Mostaza

Total de tiestos identificados: Grupo C: 166. Grupo D: 9. Grupo E: 36

Figuras: 8.65

Descripción:

Pasta y superficie del tipo Mostaza Rojo ya identificado (García y Torres 2015), aunque la muestra es mucho mayor definiendo la consistencia de mica, cuarzo y ferruginosos como desgrasantes. La forma predominante son de cántaros de borde divergente o evertido y labio redondeado o engrosado en el exterior.

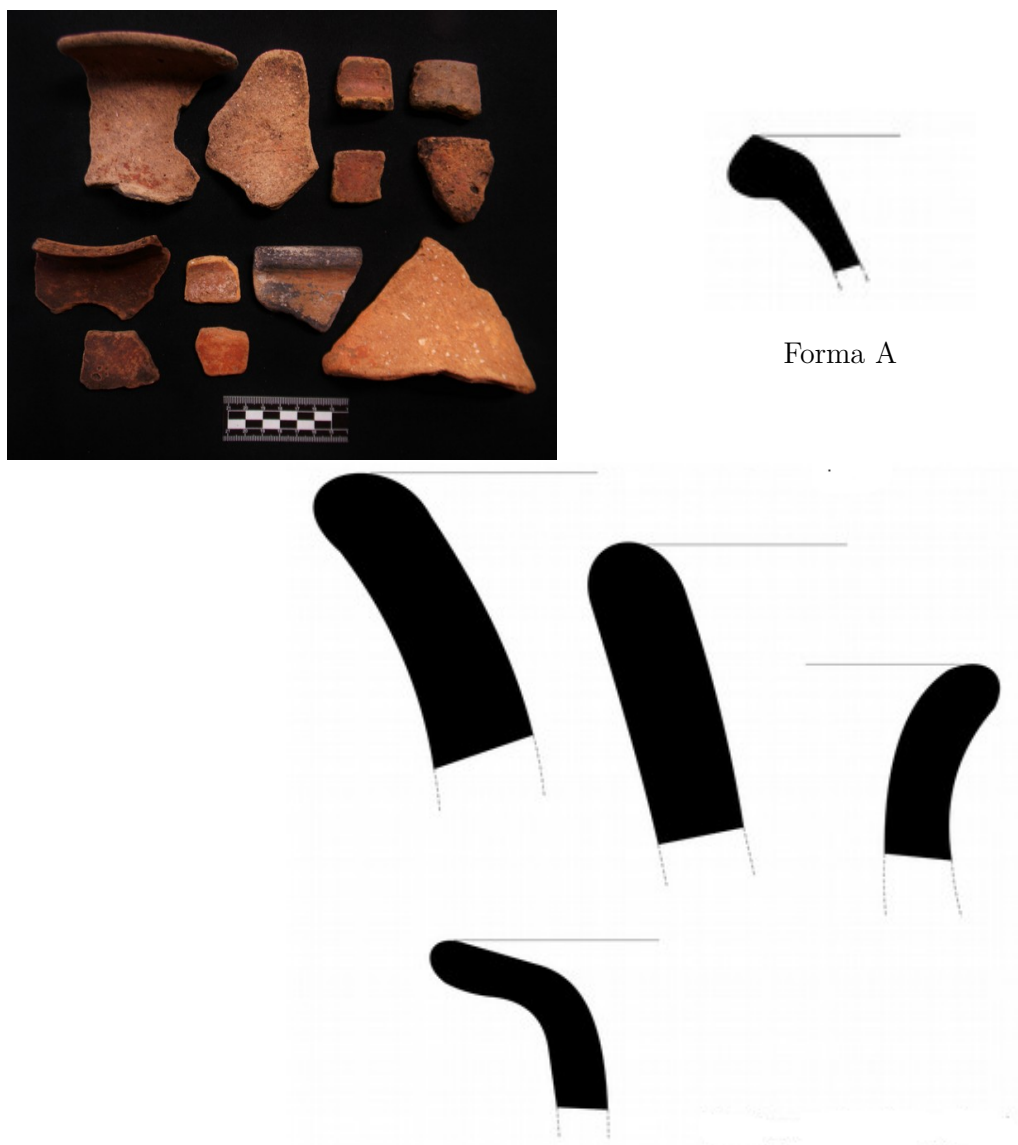


Figura 8.65 Ejemplares del tipo Mostaza Rojo sobre Natural, fotografía y dibujos por D. García, digitalización por T. Cantoral

Tipo-Variiedad: *Plomizo*

Grupo Cerámico: Plomizo

Total de tiosos identificados: Grupo C: 1. Grupo D: 1

Figuras: 8.66

Descripción:

Pasta y superficies del tipo plomizo (Ibíd.), la muestra corresponde a cuerpos de forma indeterminada.



Figura 8.66 Ejemplares del tipo Plomizo, fotografía por D. García

	GRUPO A	GRUPO C	GRUPO D	GRUPO E	TOTALES
Mostaza Rojo s/Natural		166	9	36	211
Plomizo		1	1		2
Subtotal		167	10	36	213

Figura 8.67 Tabla de conteo final de tipos y variedades identificados, totales por grupo

Resultados Generales

La presencia del tipo Mostaza Rojo sobre Natural, identificado en la región de Alta Verapaz, parece continuar con más frecuencia (Figura 8.67), en este caso en el Grupo C, logrando establecer otros modos de bordes de la única forma que aparece hasta el momento (cántaro). La presencia de esta cerámica de superficie roja sobre ante debe ser más estudiada, ya que existen pocas referencias y estudios que aborden el alcance de este tipo en esta región poco conocida. Otro tipo conocido para este conjunto, es la típica cerámica plomiza que continua apareciendo con pocas muestras (2 fragmentos), en contextos de cerámica Clásico Tardío, por lo cual el Posclásico de Chaculá no se define con exactitud.

	GRUPO A	GRUPO C	GRUPO D	GRUPO E	TOTALES	
Naranja Indeterminado			8		8	
Incisos Indeterminados			3		3	
Asas Indeterminados			17	1	4	22
Policromos erosionados			21	1	5	27
Naranja Fino			4			4
Engobe Rojo			21	2		23
Engobe Café			4			4
Acanalado Indeterminado			2			2
Misceláneo			8			8
Café Gris sin engobe			6			6
Pasta Naranja			1			1
Engobe Crema			3	1		4
Negro Impreso			1			1
Engobe Negro			3	3		6
Impreso			1			1
Micáceo sin engobe			1		1	2
Rojo Mate			2			2
Rojo Micáceo			1			1
Engobe Negro Fino			1			1
Bícromo Naranja/Blanco			4			4
Café Mate			1			1
Soprote Indeterminado			2		3	5
Engobe Café Negro			5			5
Naranja Policromo erosionado			6	42		48
Naranja Mate				1		1
Engobe Rojo Inciso				1		1
Pasta Rojo				3		3
Naranja Inciso				1		1
Subtotal			127	51	18	195

Figura 8.68 Tabla de conteo final de tipos no identificados por grupo

Vasijas semi-completas fragmentadas

Durante las excavaciones fue posible encontrar un total de siete vasijas, tres de las cuales fueron recuperadas del Saqueo del Grupo D. Otras tres del mismo contexto en el Grupo E, en una concentración abundante de cerámica, y una última del Grupo C. A continuación se presentan las fichas de análisis de cada pieza, donde en general prevalecen los tipos domésticos Chachalaca Rojo, Tasaño y Lagarto. Además de algunos tipos policromos en platos de servicio Musaraña, Tang/Nichel y Yerba Buena, típicos de la región con engobe naranja y decoraciones de pintura roja.

Ficha de Registro

No. de Registro Interno	CHA-1	No. de Registro IDAEH	
No. de Frag.	23	Nivel y Lote	2/3, 3/4
Sitio de Procedencia	Chaculá		
Grupo	Grupo C, Estructura 9		
Contexto	Tierra negra, dura compacta/ Relleno con piedrín		
Temporalidad	Clásico Tardío		
Grupo cerámico	Lagarto	Variedad	Lagarto Sin Engobe
Forma	Plato		
Pasta	Color	Café claro	
	Textura	Fina compacta	
	Desgrasante	Mica, cuarzo, calcita y ferruginosos	

Descripción

Plato de base plana, pared divergente, borde curvodivergente y labio redondeado, sin decoración.

Estado de Conservación

Completo, fragmentado

Medidas aprox., en cm.	Diámetro	12.5	Alto	4.7
	Grosor	0.5		

Fotografía:



Ficha de Registro

No. de Registro Interno	CHA- 2	No. de Registro IDAEH	
No. de Frag.	14	Nivel y Lote	0
Sitio de Procedencia	Chaculá		
Grupo	Grupo D, Estructura 6		
Contexto	Saqueo		
Temporalidad	Clásico Tardío		
Grupo cerámico	Tang/Nichel	Variedad	Tang/Nichel Policromo
Forma	Plato		
Pasta	Color	Beige a naranja pálido	
	Textura	Fina compacta	
	Desgrasante	Mica, calcita y ferruginosos	

Descripción

Plato de base plana, pared curvoconvergente, labio redondeado. Superficie con engobe naranja sobre ante. Decoración de una línea de color rojo en el interior del labio.

Estado de Conservación

Semicompleto, fragmentado

Medidas aprox., en cm.	Diámetro	11.2	Alto	3.7
	Grosor	0.5		

Fotografía:



Ficha de Registro

No. de Registro Interno	CHA- 3	No. de Registro IDAEH	
No. de Frag.	8	Nivel y Lote	0
Sitio de Procedencia	Chaculá		
Grupo	Grupo D, Estructura 6		
Contexto	Saqueo		
Temporalidad	Clásico Tardío		
Grupo cerámico	Musaraña	Variedad	Musaraña Rojo/Naranja
Forma	Plato		
Pasta	Color	Beige claro	
	Textura	Media a fina	
	Desgrasante	Mica, cuarzo y otros.	

Descripción

Plato de base y fondo plano, pared curva convergente, labio redondeado. Superficie alisada con engobe naranja rojizo pulido. Decoración de una banda de dos bandas de color rojo en el labio exterior.

Estado de Conservación

Semicompleto, fragmentado

Medidas aprox., en cm.	Diámetro	112	Alto	37
	Grosor	0.5		

Fotografía:



Ficha de Registro

No. de Registro Interno	CHA-4	No. de Registro IDAEH	
No. de Frag.	7	Nivel y Lote	0
Sitio de Procedencia	Chaculá		
Grupo	Grupo D, Estructura 6		
Contexto	Saqueo		
Temporalidad	Clásico Tardío		
Grupo cerámico	Yerba Buena	Variedad	Yerba Buena
Forma	Plato		
Pasta	Color	Naranja	
	Textura	Fina a media	
	Desgrasante	Mica, calcita, ferruginosos	

Descripción

Plato de base y fondo plano, pared curva, labio redondeado. Superficie alisada con engobe naranja pulido sin decoración.

Estado de Conservación

Semicompleto, fragmentado

Medidas aprox., en cm.	Diámetro	14.3	Alto	4
	Grosor	0.5		

Fotografía:



Ficha de Registro

No. de Registro Interno CHA-5 No. de Registro IDAEH

No. de Frag. 11 Nivel y Lote 2-4

Sitio de Procedencia Chaculá

Grupo Grupo E, Estructura 12

Contexto Barro Café Oscuro

Temporalidad Clásico Tardío

Grupo cerámico Tasajo Variedad Tasajo Rojo

Forma Plato

Pasta Color Café-rojizo
 Textura Fina a media
 Desgrasante Mica, calcita, ferruginosos

Descripción

Plato de fondo plano, base anular, pared curva divergente, labio redondeado. Superficie alisada con engobe rojizo-anaranjado en el exterior y café negro pulido en el interior, talcoso al tacto.

Estado de Conservación

Semicompleto, fragmentado

Medidas aprox., en cm.	Diámetro	15.5	Alto de fondo	5.4
	Grosor	0.5	Alto de base	5.6

Fotografía:



Ficha de Registro

No. de Registro Interno	CHA-6	No. de Registro IDAEH	
No. de Frag.	9	Nivel y Lote	2-4
Sitio de Procedencia	Chaculá		
Grupo	Grupo E, Estructura 12		
Contexto	Barro Café Oscuro		
Temporalidad	Clásico Tardío		
Grupo cerámico	Chachalaca	Variedad	Chachalaca Rojo/Negro
Forma	Cuenco		
Pasta	Color	Rojizo	
	Textura	Media porosa	
	Desgrasante	Mica, cuarzo, calcita, ferruginosos	

Descripción

Cuenco de base levemente cóncava, pared recta divergente y labio redondeado.
Superficies alisadas con engobe color rojizo a café y negro pulido.

Estado de Conservación

Semicompleto, fragmentado

Medidas aprox., en cm.	Diámetro	13	Alto de fondo	7.4
	Grosor	0.4	Alto de base	7.6

Fotografía:



Ficha de Registro

No. de Registro Interno	CHA-7	No. de Registro IDAEH	
No. de Frag.	28	Nivel y Lote	2-4
Sitio de Procedencia	Chaculá		
Grupo	Grupo E, Estructura 12		
Contexto	Barro Café Oscuro		
Temporalidad	Clásico Tardío		
Grupo cerámico	Chachalaca	Variedad	Chachalaca Rojo Impreso
Forma	Cuenco		
Pasta	Color	Rojizo anaranjado	
	Textura	Media a gruesa, porosa	
	Desgrasante	Mica, calcita y ferruginosos	

Descripción

Cuenco de base plana, pared curva convergente y labio agudo. Superficie interna hasta 1.5 cm del labio exterior con engobe rojo grueso, pulido y ceroso, exterior sin engobe con algunas áreas quemadas. Decoración impresa en el exterior del labio.

Estado de Conservación

Semicompleto, fragmentado

Medidas aprox., en cm.	Diámetro	29 Alto de fondo	13.3
	Grosor	2 Alto de base	15.3

Fotografía:



Resultados del análisis cerámico del sitio arqueológico Chaculá

Gracias a las nuevas excavaciones durante la temporada 2015, fue posible tener un panorama más amplio de la tipología cerámica, reafirmando los tipos ya identificados y ampliando la muestra en cuanto a formas, acabados y decoraciones. Por otra parte se definieron nuevos tipos y variedades de los mismos, en otros grupos no excavados con resultados satisfactorios. En cuanto a cronología no existe hasta el momento evidencia de cerámica más temprana o más tardía, situando el sitio en una ocupación única y fuerte durante el Clásico Tardío.

A partir de la tipología ya establecida que se continua desarrollando, se definieron nuevamente tres conjuntos (Figuras 8.69, 8.70), el primero que relaciona a Chaculá fuertemente con la Cuenca Superior del Grijalva debido a la aparición fuerte y consistente de los tipos de dicha región (Bryant et al. 2005a) en todos los grupos, especialmente en el Grupo C (Figuras 8.69 y 8.70).

El segundo grupo aunque en menor frecuencia, su presencia es más marcada, en tanto muchos de los tipos definidos para la región de la Cuenca Superior del Grijalva, se relacionan fuertemente con la tradición cerámica de Tierras Bajas para este período en específico. El caso del tipo Cambio sin Engobe es un buen ejemplo de ello, su nombre para la región investigada Lagarto sin Engobe, por lo que, se decidió retomar los nombres locales hasta no haber realizado otros estudios que permitan definir si lo son o no. En este sentido la muestra que corresponde a este conjunto, son de tipos en específico que no poseen relación con ningún tipo de la región, es el caso del Chaquiste Impreso, Máquina Café e Infierno Negro.

El conjunto definido como Tierras Altas, se definió prácticamente a partir de la presencia, ahora mayor del tipo Mostaza Rojo sobre natural, del cual es necesario continuar su definición e investigación, al ser un rasgo único que aún causa muchos cuestionamientos por su lugar de pertenencia (Alta Verapaz).

	GRUPO A	GRUPO C	GRUPO D	GRUPO E
Cuenca Superior del Grijalva	9	1132	192	492
Tierras Bajas		86	17	18
Tierras Altas		167	10	36
Indeterminados		127	51	18

Figura 8.69 Tabla de conteo final por grupo y región

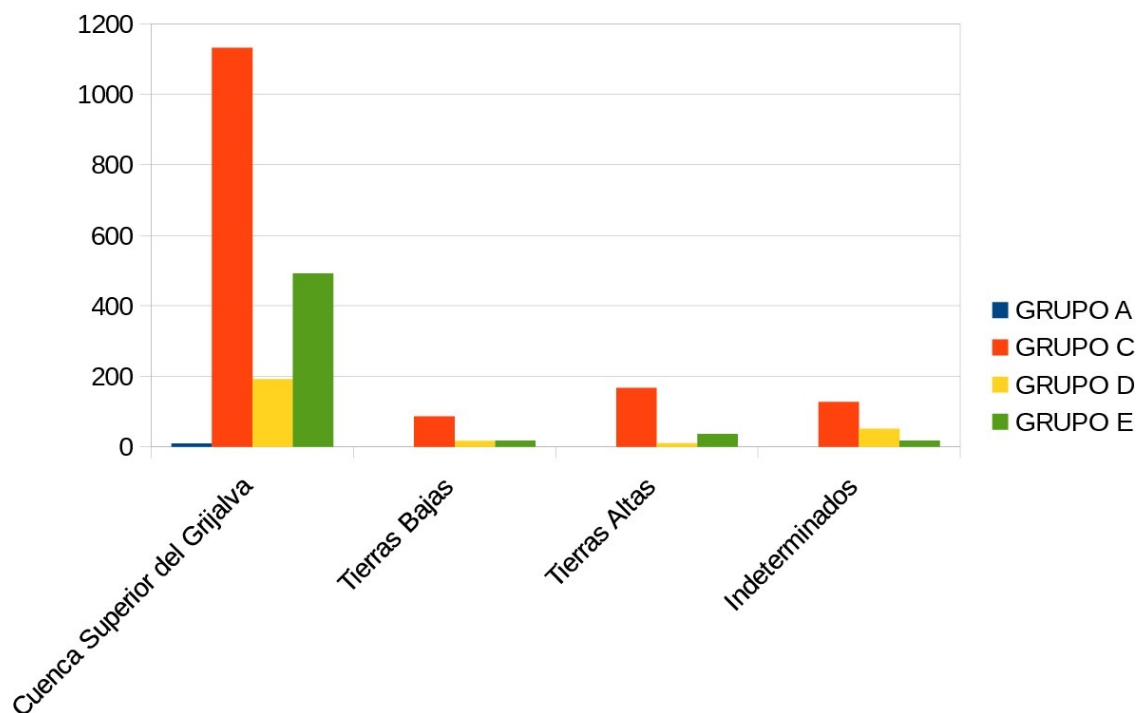


Figura 8.70 Gráfica de frecuencias de tipos por región en cada grupo

Análisis cerámico del sitio arqueológico Pueblo Viejo Quen Santo

Período Clásico Temprano / Fase Kau

Tipo-Variedad: *Chichón Rojo*

Grupo Cerámico: Chichón

Total de tiosos identificados: Grupo B: 1

Figuras: 8.71

Descripción:

Pasta de textura media, color rojizo naranja con desgrasantes de mica, calcita y ferruginosos. Superficie interior con engobe rojizo café. Soporte esférico, vacío con sonaja, forma indeterminada.



Figura 8.71 Ejemplar del tipo Chichón Rojo, fotografía por D. García

Tipo-Variiedad: *Lapak Rojo Café sin Engobe*

Grupo Cerámico: Lapak

Total de tiestos identificados: Grupo A: 2. Grupo B: 3

Figuras: 8.72

Descripción:

Pasta de textura fina a media, color café rojizo pálido con desgrasantes de mica y cuarzo. Superficies alisadas de color rojizo a café claro mate. La muestra consiste en cuerpos de forma indeterminada.



Figura 8.72 Ejemplares del tipo Lapak Rojo Café sin Engobe, fotografía por D. García

Resultados Generales

La evidencia del Clásico Temprano en Pueblo Viejo Quen Santo, es la primera muestra de cerámica temprana de las excavaciones del proyecto. A pesar de ser pocas muestras (Figura 8.73), la existencia de estos tipos nos hace saber que a diferencia de Chaculá, este sitio tiene una ocupación más larga y continua.

	GRUPO A	GRUPO B	TOTALES
Chichón Rojo		1	1
Lapak Rojo Café sin Engobe	2	2	4
Subtotal	2	3	5

Figura 8.73 Tabla de conteo final por grupo y tipo

Período Clásico Tardío / Fase Mix

Tipos de la Cuenca Superior del Grijalva

Tipo-Variedad: *Chachalaca Rojo*

Grupo Cerámico: Chachalaca

Total de tiestos identificados: Grupo A: 71. Grupo B: 489

Figuras: 8.74, 8.75

Descripción:

Pasta y superficie del tipo Chachalaca Rojo. Las formas identificadas para este tipo son cántaro, cuenco y plato. Los cántaros son de cuello curvo y borde divergente, labio redondeado. Cuencos de pared divergente, borde evertido, labio redondeado y engrosado en el exterior. Cuencos de pared convergente, labio redondeado y agudo. Platos de pared curva y pared divergente, labio redondeado, biselado interior y agudo.



Forma A



Forma B

Figura 8.74 Ejemplares del tipo Chachalaca Rojo, fotografía y dibujo por D. García, digitalización por T. Cantoral

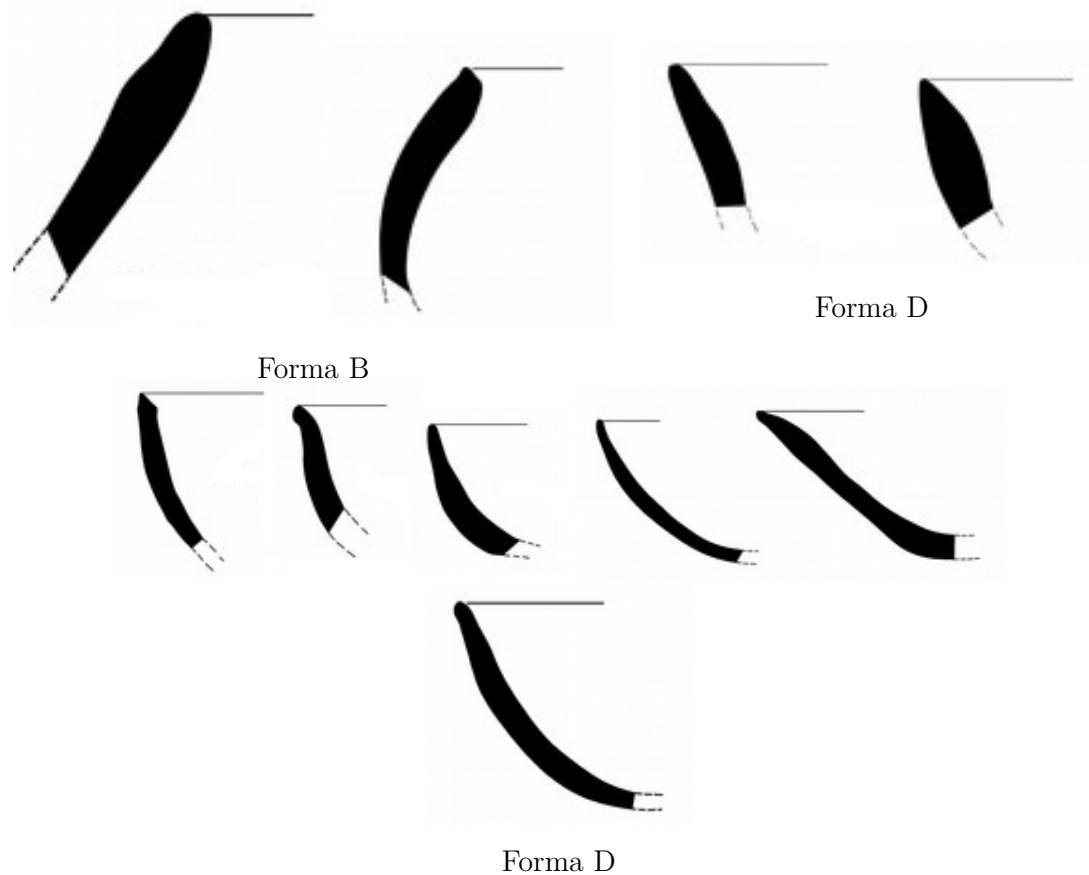


Figura 8.75 Ejemplares del tipo Chachalaca Rojo, dibujo por D. García, digitalización por T. Cantoral

Tipo-Variiedad: *Chachalaca Rojo Estriado*

Grupo Cerámico: Chachalaca

Total de tiestos identificados: Grupo A: 4. Grupo B: 6

Figuras: 8.76

Descripción:

Pasta y superficie del tipo Chachalaca Rojo. Forma de Cuenco de pared divergente, borde evertido y labio redondeado engrosado en el exterior, las superficies del exterior son estriadas.



Figura 8.76 Ejemplares del tipo Chachalaca Rojo Estriado, fotografía y dibujo por D. García, digitalización por T. Cantoral

Tipo-Variiedad: *Chachalaca Rojo Impreso*

Grupo Cerámico: Chachalaca

Total de tiosos identificados: Grupo A: 8 Grupo B: 16

Figuras: 8.77

Descripción:

Pasta y superficies del tipo Chachalaca Rojo. Forma de cuenco de pared divergente y curva convergente, labio redondeado, engrosado en el exterior o plano con acanaladura. Decoración aplicada e impresa en el exterior del borde. Cuerpo de cántaro con decoración impresa.

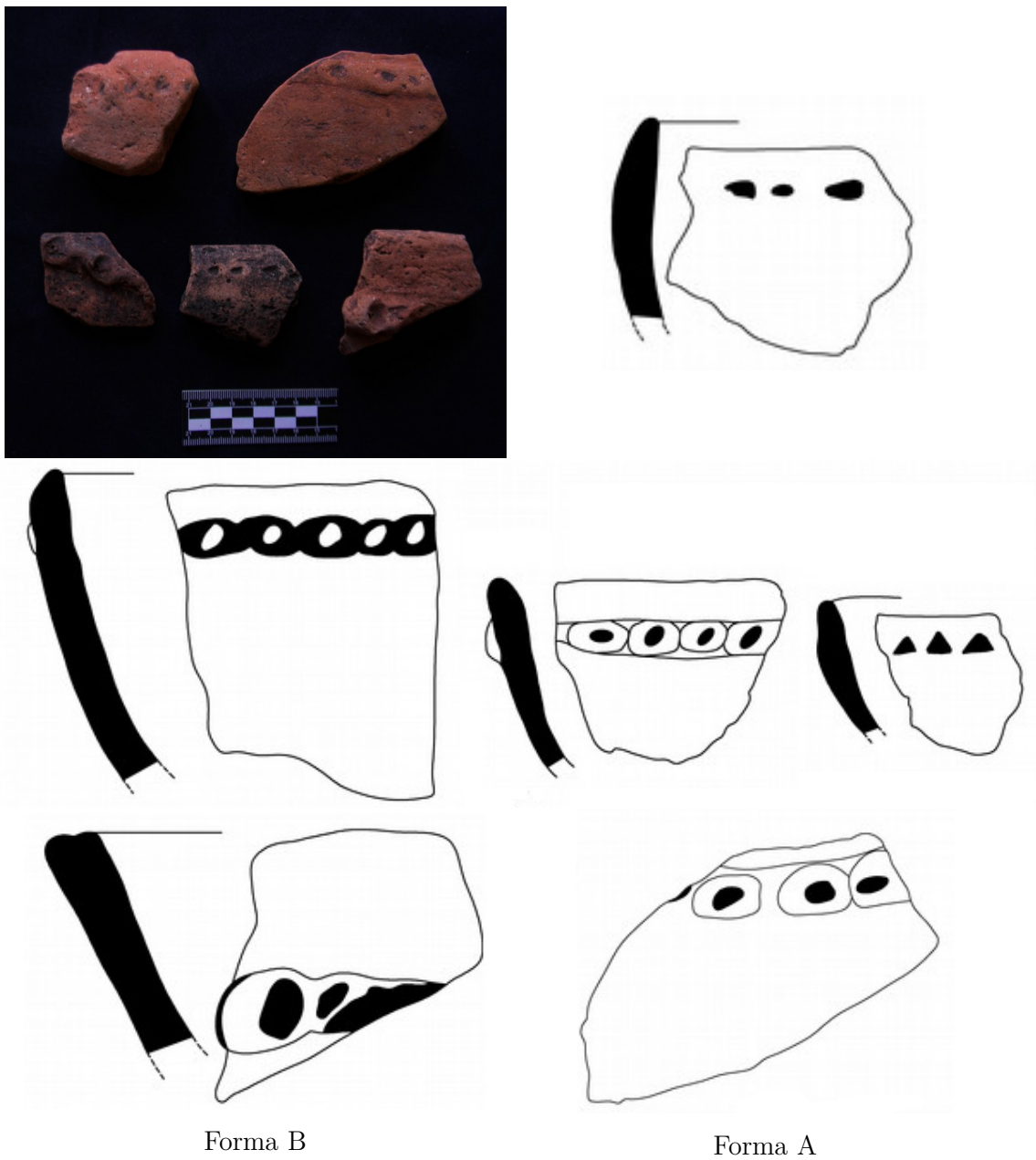


Figura 8.77 Ejemplares del tipo Chachalaca Rojo Impreso, fotografía y dibujo por D. García, digitalización por T. Cantoral

Tipo-Variiedad: *Chachalaca Rojo/Negro*

Grupo Cerámico: Chachalaca

Total de tiestos identificados: Grupo A: 2. Grupo B: 13

Figuras: 8.78

Descripción:

Pasta y superficie del tipo Chachalaca Rojo/Negro. Forma de cuenco de pared divergente y labio redondeado.



Figura 8.78 Ejemplares del tipo Chachalaca Rojo/Negro, fotografía por D. García

Tipo-Variiedad: *Chachalaca Rojo Impreso-Estriado*

Grupo Cerámico: Chachalaca

Total de tiosos identificados: Grupo B: 1

Figuras: 8.79

Descripción:

Pasta y superficie del tipo Chachalaca Rojo. Forma de Cuenco de pared divergente y labio redondeado. Decoración impresa en exterior del borde y superficie estriada.



Figura 8.79 Ejemplares del tipo Chachalaca Rojo Impreso Estriado, fotografía por D. García

Tipo-Variiedad: *Tasajo Rojo***Grupo Cerámico:** Tasajo**Total de tiosos identificados:** Grupo A: 17. Grupo B: 69**Figuras:** 8.80**Descripción:**

Pasta y superficie del tipo Tasajo Rojo. Forma de cántaro de cuello divergente y labio redondeado. Platos de pared curva convergente y pared divergente de labio redondeado y agudo. Cuenco de pared convergente y labio redondeado.



Forma A



Forma D



Forma B

Figura 8.80 Ejemplares del tipo Tasajo Rojo, fotografía y dibujo por D. García, digitalización por T. Cantoral

Tipo-Variiedad: *Tasajo Rojo Estriado***Grupo Cerámico:** Tasajo**Total de tiosos identificados:** Grupo A: 1. Grupo B: 7**Figuras:** 8.81**Descripción:**

Pasta y superficie del tipo Tasajo Rojo. La muestra corresponde a cuerpos estriados de forma indeterminado.

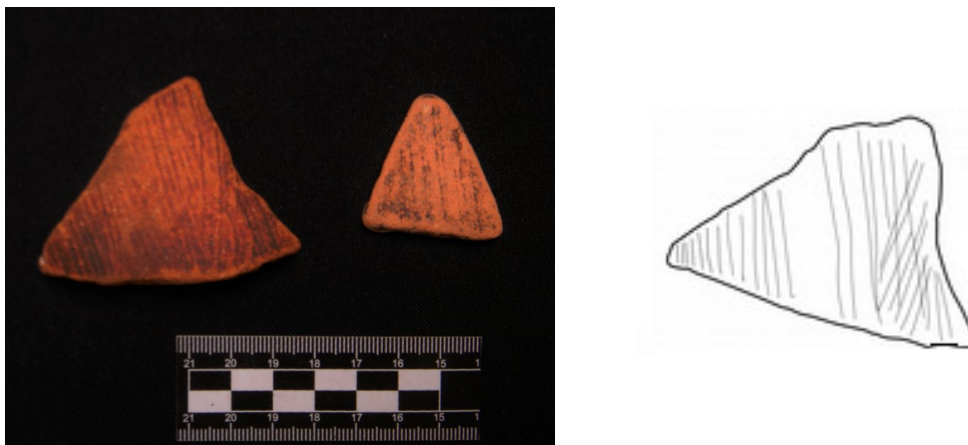


Figura 8.81 Ejemplares del tipo Tasajo Rojo Estriado, fotografía y dibujo por D. García, digitalización por T. Cantoral

Tipo-Variiedad: *Tasajo Rojo Inciso*

Grupo Cerámico: Tasajo

Total de tientos identificados: Grupo A: 2. Grupo B: 6

Figuras: 8.82

Descripción:

Pasta y superficie del tipo Tasajo Rojo. Forma de plato de pared divergente y labio redondeado. Decoración incisa gruesa en el exterior de la pared.



Figura 8.82 Ejemplar del tipo Tasajo Rojo Inciso, dibujo por D. García

Tipo-Variiedad: *Tasajo Rojo Acanalado*

Grupo Cerámico: Tasajo

Total de tientos identificados: Grupo B: 9

Figuras: 8.83

Descripción:

Pasta y superficie del tipo Tasajo Rojo. Forma de plato de pared divergente y labio redondeado, decoración acanalada en el exterior de la pared.



Figura 8.83 Ejemplares del tipo Tasaño Rojo Acanalado, fotografía y dibujo por D. García, digitalización por T. Cantoral

Tipo-Variedad: *Lagarto sin Engobe*

Grupo Cerámico: Lagarto

Total de tiosos identificados: Grupo A: 13. Grupo B: 186

Figuras: 8.84

Descripción:

Pasta y superficie del tipo Lagarto sin Engobe. Forma de cántaro de cuello curvo, borde divergente, labio redondeado, y engrosado en el exterior.

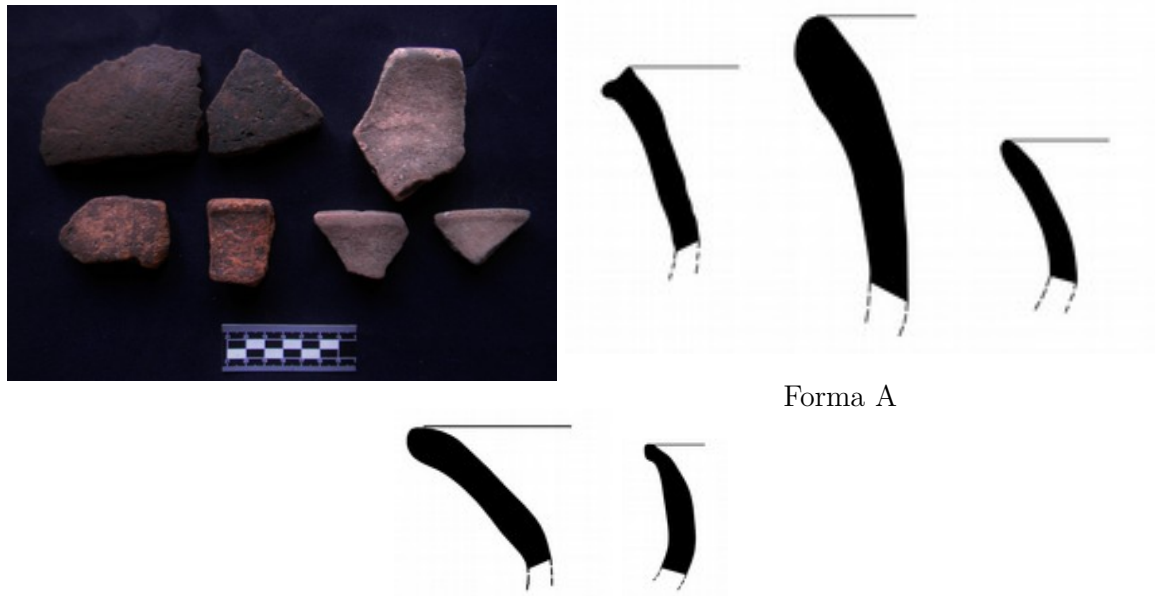


Figura 8.84 Ejemplares del tipo Lagarto sin Engobe, fotografía y dibujo por D. García, digitalización por T. Cantoral

Tipo-Variedad: *Lagarto Estriado*

Grupo Cerámico: Lagarto

Total de tiosos identificados: Grupo A: 8. Grupo B: 12

Figuras: 8.85

Descripción:

Pasta y superficie del tipo Lagarto sin Engobe. Forma cántaro de cuello curvo y labio redondeado, superficie exterior estriada.



Figura 8.85 Ejemplares del tipo Lagarto Estriado, fotografía y dibujo por D. García, digitalización por T. Cantoral

Tipo-Variiedad: *Lagarto Estriado-Aplicado*

Grupo Cerámico: Lagarto

Total de tiosos identificados: Grupo B: 2

Figuras: 8.86

Descripción:

Pasta y superficie del tipo Lagarto sin Engobe. Forma de cántaro de cuello recto, borde divergente, labio redondeado. Presenta decoración aplicada en el exterior del cuello.



Figura 8.86 Ejemplares del tipo Lagarto Estriado-Aplicado, fotografía por D. García

Tipo-Variiedad: *Santa Cruz***Grupo Cerámico:** Santa Cruz**Total de tiestos identificados:** Grupo A: 8. Grupo B: 47**Figuras:** 8.87**Descripción:**

Pasta y superficie del tipo Santa Cruz. Forma de cántaro de cuello curvo y divergente, bordes evertidos, labio redondeado, engrosado en el interior y exterior, típico de este tipo aunque también comparte estos atributos con el tipo Lagarto sin Engobe.



Figura 8.87 Ejemplares del tipo Santa Cruz, fotografía y dibujo por D. García, digitalización por T. Cantoral

Tipo-Variiedad: *Santa Cruz Estriado***Grupo Cerámico:** Santa Cruz**Total de tiestos identificados:** Grupo A: 1. Grupo B: 3**Figuras:** 8.88**Descripción:**

Pasta y superficie del tipo Santa Cruz. Esta variedad presenta un acabado de superficie exterior estriado, la muestra corresponde a cántaros posiblemente de la forma típica de cántaros.



Figura 8.88 Ejemplares del tipo Santa Cruz Estriado, fotografía por D. García

Tipo-Variación: *Santa Cruz Impreso*

Grupo Cerámico: Santa Cruz

Total de tiosos identificados: Grupo B: 1

Figuras: 8.89

Descripción:

Pasta y superficie del tipo Santa Cruz. Con tan solo un ejemplar, esta variedad no se reporta anteriormente, por lo que posiblemente es un nuevo tipo decorativo identificado, aunque no se puede observar con exactitud la forma.

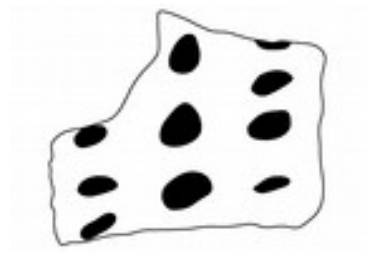


Figura 8.89 Ejemplar del tipo Santa Cruz Impreso, fotografía y dibujo por D. García, digitalización por T. Cantoral

Tipo-Variedad: Cuatzi**Grupo Cerámico:** Cuatzi**Total de tiosos identificados:** Grupo B: 1**Figuras:** 8.90**Descripción:**

Pasta y superficie del tipo Cuatzi. Forma de plato de pared divergente y labio redondeado, este único ejemplar presenta una perforación en la parte media del cuerpo, típica en los comales de este tipo.



Figura 8.90 Ejemplar del tipo Cuatzi, fotografía y dibujo por D. García, digitalización por T. Cantoral

Tipo-Variedad: Pumus estucado**Grupo Cerámico:** Pumus**Total de tiosos identificados:** Grupo B: 1**Figuras:** 8.91**Descripción:**

Pasta y superficie del tipo Pumus, con la variación de estuco en la superficie exterior. Forma de vaso o cilindro de pared recta levemente divergente en el borde y labio redondeado.



Figura 8.91 Ejemplar del tipo Pumus estucado, dibujo por D. García, digitalización por T. Cantoral

Tipo-Variedad: *Chat Rojo*

Grupo Cerámico: Chat

Total de tuestos identificados: Grupo B: 3

Figuras: 8.92

Descripción:

Pasta y superficie del tipo Chat Rojo. Forma de cántaro, dentro de la muestra encontramos un asa y bases cóncava típica de este tipo.

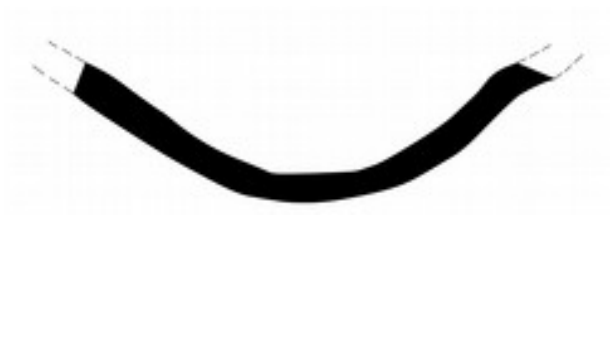


Figura 8.92 Ejemplar del tipo Chat Rojo, fotografía y dibujo por D. García, digitalización por T. Cantoral

Tipo-Variedad: *Sha Rojo*

Grupo Cerámico: Sha

Total de tuestos identificados: Grupo B: 1

Figuras: 8.93

Descripción:

Pasta y superficie del tipo Sha Rojo. Forma de plato de pared divergente, borde evertido y labio redondeado.



Figura 8.93 Ejemplar del tipo Sha Rojo, fotografía por D. García

Tipo-Variiedad: *Danta Café*

Grupo Cerámico: Danta

Total de tuestos identificados: Grupo A: 7

Figuras: 8.94

Descripción:

Pasta y superficie del tipo Danta Café. La muestra corresponde a cuerpos de cántaro, con la típica decoración de un pequeño filete impreso.



Figura 8.94 Ejemplares del tipo Canta Café, fotografía por D. García

Tipo-Variedad: *Nichel Rojo***Grupo Cerámico:** Nichel**Total de tientos identificados:** Grupo B: 4**Figuras:** 8.95**Descripción:**

Pasta y superficie del tipo Nichel Rojo. Forma de cuenco de pared convergente y labio agudo. Plato de pared divergente y labio redondeado.

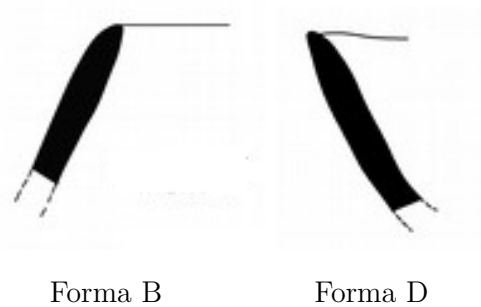
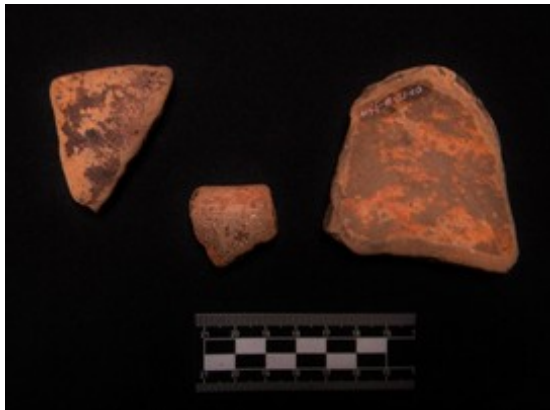


Figura 8.95 Ejemplares del tipo Nichel Rojo, fotografía y dibujo por D. García, digitalización por T. Cantoral

Tipo-Variedad: *Las Rosas Blanco***Grupo Cerámico:** Las Rosas Blanco**Total de tientos identificados:** Grupo B: 1**Figuras:** 8.96**Descripción:**

Pasta y superficie de Las Rosas Blanco. La muestra corresponde a un único cuerpo de forma indeterminada.



Figura 8.96 Ejemplar del tipo Las Rosas Blanco, fotografía por D. García

Tipo-Variiedad: *Tang/Nichel*

Grupo Cerámico: Tang/Nichel

Total de tiosos identificados: Grupo B: 31

Figuras: 8.97

Descripción:

Pasta y superficie del tipo Tang/Nichel. La muestra más representativa es un soporte sólido cónico truncado, posiblemente de un plato.



Figura 8.97 Ejemplar del tipo Tang/Nichel, dibujo por D. García, digitalización por T. Cantoral

Tipo-Variiedad: *Musaraña Rojo/Anaranjado*

Grupo Cerámico: Musaraña

Total de tiosos identificados: Grupo B: 8

Figuras: 8.98

Descripción:

Pasta y superficie del tipo Musaraña. Forma de platos de pared curva y divergente con labio redondeado y agudo.



Figura 8.98 Ejemplares del tipo Musaraña, fotografía y dibujo por D. García, digitalización por T. Cantoral

Tipo-Variiedad: *Huelga Rojo/Negro*

Grupo Cerámico: Nichel

Total de tuestos identificados: Grupo B: 1

Figuras: 8.99

Descripción:

Pasta y superficie del tipo Huelga Rojo/Negro. Forma de plato de pared curva y labio redondeado.

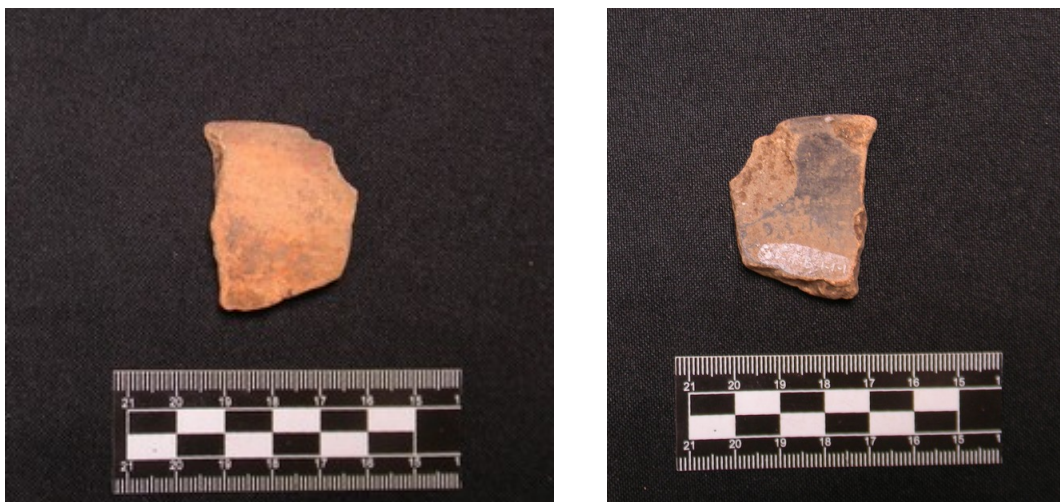


Figura 8.99 Ejemplares del tipo Huelga Rojo/Negro, fotografías por D. García

Tipo-Variiedad: *Yerba Buena***Grupo Cerámico:** Yerba Buena**Total de tiosos identificados:** Grupo A: 10. Grupo B: 10**Figuras:** 8.100**Descripción:**

Pasta y superficie del tipo Yerba Buena. Forma de plato de pared divergente y labio redondeado.



Figura 8.100 Ejemplar del tipo Yerba Buena, fotografía y dibujo por D. García, digitalización por T. Cantoral

Tipo-Variiedad: *Sasben Café Negro***Grupo Cerámico:** Sasben**Total de tiosos identificados:** Grupo A: 12. Grupo B: 55**Figuras:** 8.101**Descripción:**

Pasta y superficie del tipo Sasben Café Negro. Forma de cántaro de cuello divergente y labio redondeado. Forma de cuenco de pared divergente o convergente de labio redondeado. Platos de pared curva y divergente de labio redondeado, plano y agudo.

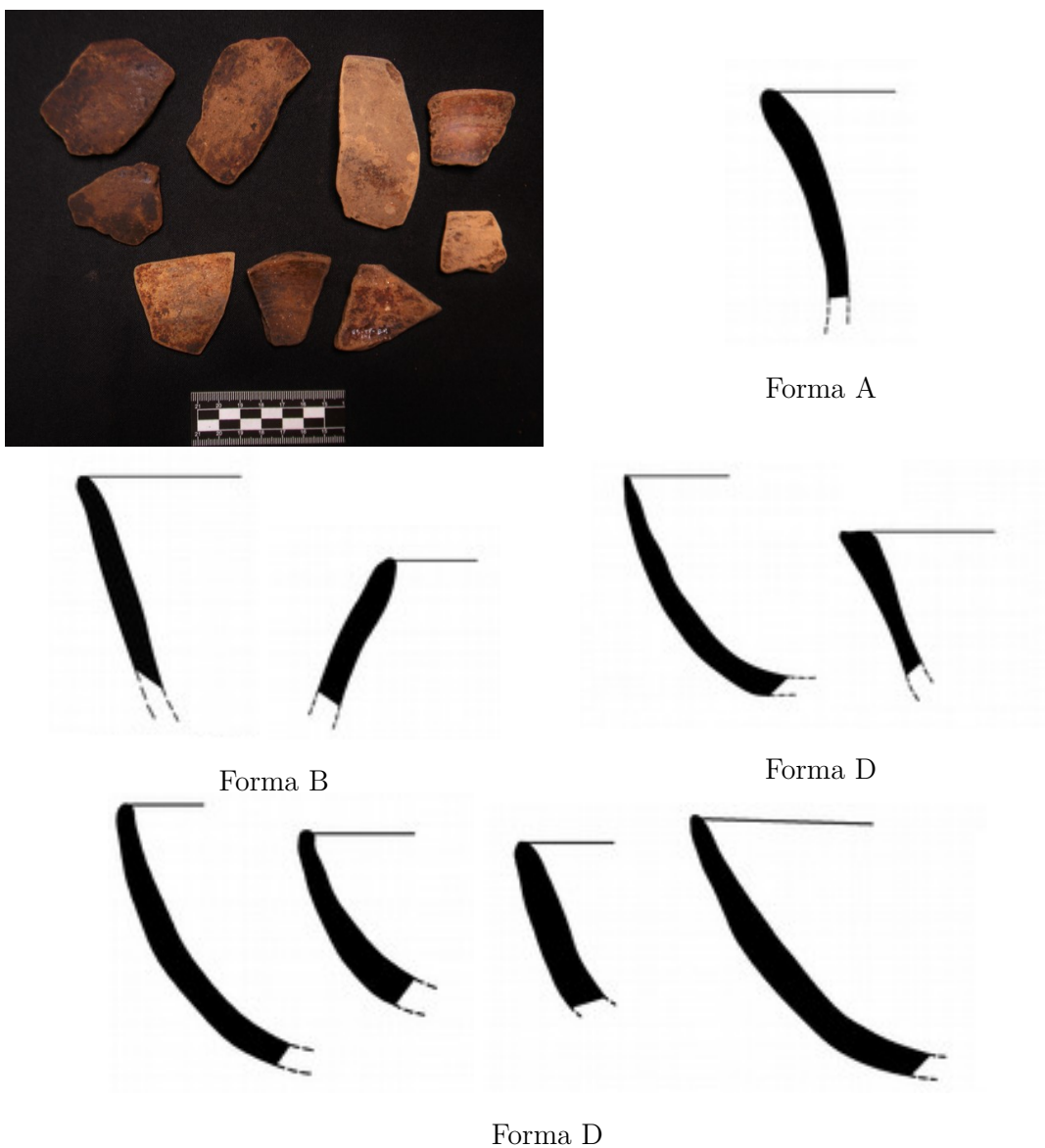


Figura 8.101 Ejemplares del tipo Sasben Café Negro, fotografía y dibujo por D. García, digitalización por T. Cantoral

Tipo-Variiedad: *Sasben Café Negro Acanalado*

Grupo Cerámico: Sasben

Total de tientos identificados: Grupo B: 6

Figuras: 8.102

Descripción:

Pasta y superficies del tipo Sasben Café Negro. Forma de plato de pared divergente y labio redondeado. Cilindro o vaso de pared recta, borde divergente y

labio redondeado. La decoración acanalada se encuentra en la superficie exterior en formas verticales y horizontales.



Figura 8.102 Ejemplares del tipo Sasben Café Negro Acanalado, fotografía y dibujo por D. García, digitalización por T. Cantoral

Tipo-Variiedad: *Chascal Naranja Impreso*

Grupo Cerámico: Chascal

Total de tiestos identificados: Grupo B: 10

Figuras: 8.103

Descripción:

Pasta y superficie del tipo Chascal Naranja. Forma de plato de pared divergente y labio redondeado. Cuenco de pared divergente y labio redondeado. La decoración aplicada impresa se presenta en la parte superior del borde y un ejemplar en la parte inferior de la pared del plato.

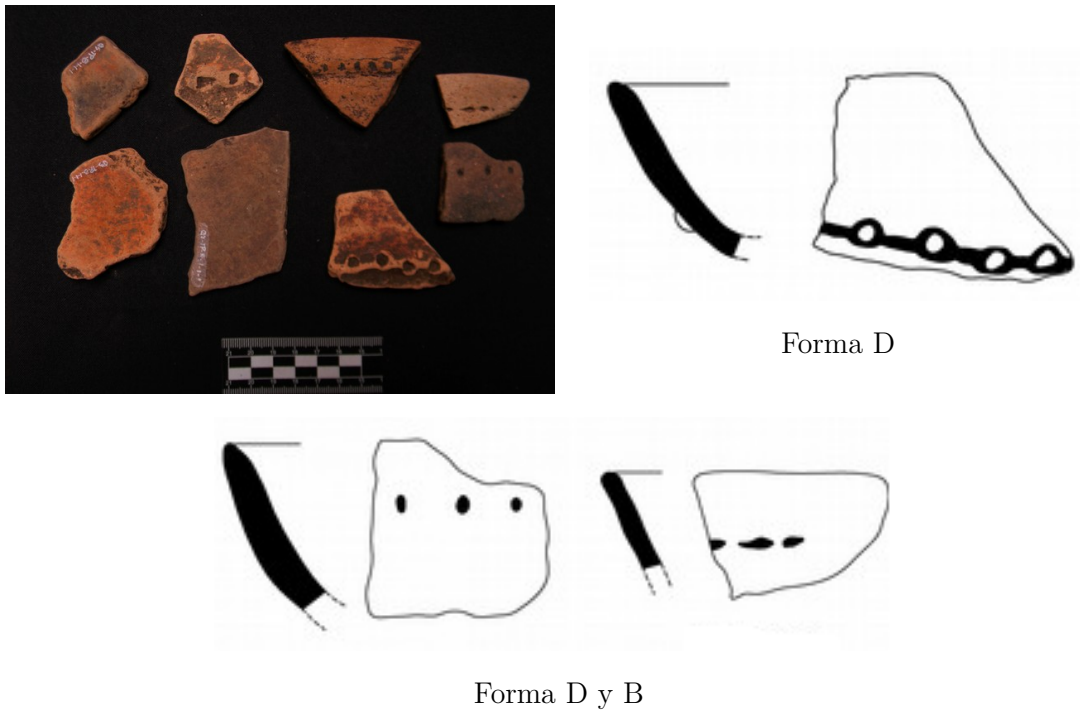


Figura 8.103 Ejemplares del tipo Chascal Naranja Impreso, fotografía y dibujo por D. García, digitalización por T. Cantoral.

Tipo-Variiedad: *Cox Naranja Inciso*

Grupo Cerámico: Chascal

Total de tiosos identificados: Grupo B: 5

Figuras: 8.104

Descripción:

Pasta y superficie de Cox Naranja. Forma de plato de pared divergente y labio redondeado, decoración incisa en el exterior en líneas y volutas.



Figura 8.104 Ejemplares del tipo Cox Naranja Inciso, fotografía y dibujo por D. García, digitalización por T. Cantoral

Tipo-Variación: *Guatero*

Grupo Cerámico: Guatero

Total de tiosos identificados: Grupo B: 1

Figuras: 8.105

Descripción:

Pasta de textura fina compacta, color rojizo café sin desgrasantes visibles. Superficie alisada con engobe de color rojizo rosáceo. Fragmento de forma indeterminada con decoración excisa, típica de este tipo.



Figura 8.105 Ejemplar del tipo Guatero, fotografía por D. García

Tipo-Variación: *Bon Polícromo*

Grupo Cerámico: Bon

Total de tiosos identificados: Grupo B: 21

Figuras: 8.106

Descripción:

Pasta y superficie del tipo Bon Polícromo. Forma de plato de pared divergente y curva de labio redondeado o levemente engrosado exterior. Cuenco de pared convergente y labio agudo. Decoración polícroma de color negro sobre naranja pulido.

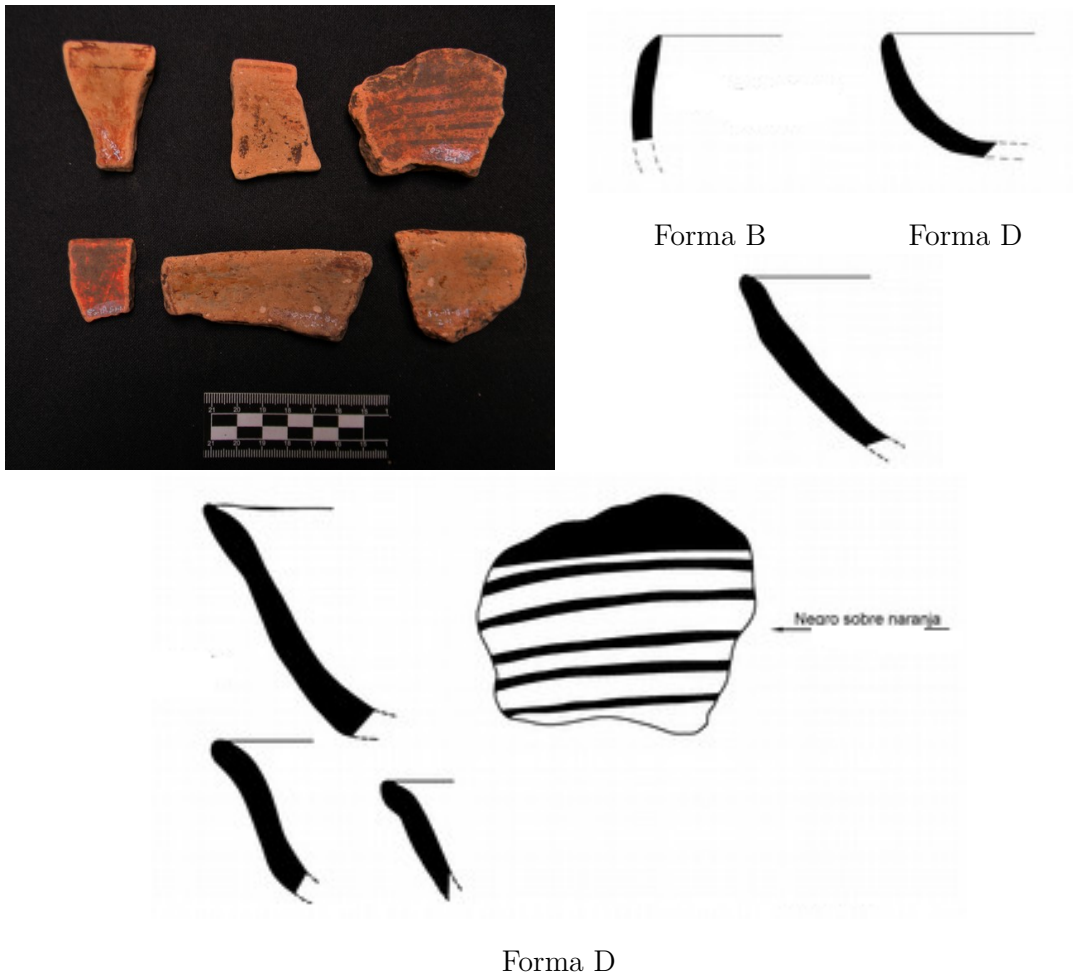


Figura 8.106 Ejemplares del tipo Bon Polícromo, fotografía y dibujo por D. García, digitalización por T. Cantoral

Tipo-Variiedad: *Bon Polícromo Acanalado*

Grupo Cerámico: Bon

Total de tuestos identificados: Grupo B: 1

Figuras: 8.107

Descripción:

Forma y superficie del tipo Bon Polícromo. Forma de cilindro o vaso de pared recta y labio redondeado, decoración acanalada en el exterior.



Figura 8.107 Ejemplar del tipo Bon Polícromo Acanalado, fotografía por D. García

Tipo-Variedad: *Altar*

Grupo Cerámico: Altar Naranja

Total de tiestos identificados: Grupo B: 2

Figuras: 8.108

Descripción:

Pasta y superficie del grupo Altar. Forma indeterminada fragmentos con decoración gubiada.

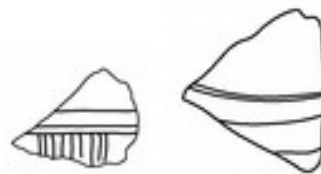


Figura 8.108 Ejemplares del tipo Altar Naranja, fotografía y dibujo por D. García, digitalización por T. Cantoral

Tipo-Variedad: *Tekor Naranja***Grupo Cerámico:** Tekor**Total de tientos identificados:** Grupo A: 1. Grupo B: 2**Figuras:** 8.109**Descripción:**

Pasta de textura fina compacta de color rojizo café, con desgrasante de mica, calcita y ferruginosos. Superficies aliadas con engobe naranja rojizo pulido. Forma de cilindro o vaso de pared recta convergente y labio redondeado. Fragmento de cuerpo de forma indeterminada con decoración gubiada. Este tipo cerámico esta relacionado con el tipo Tiquasate de la cosa sur (Bryant et al. 2005a).



Figura 8.109 Ejemplares del tipo Tekor Naranja, fotografía y dibujo por D. García, digitalización por T. Cantoral

Tipo-Variedad: *Nutria***Grupo Cerámico:** Nutria**Total de tientos identificados:** Grupo B: 6**Figuras:** 8.110**Descripción:**

Pasta y superficie del tipo Nutria. Forma de plato de pared curva y labio redondeado, de un incensario con aplicación indeterminada.



Figura 8.110 Ejemplares del tipo Nutria, fotografía y dibujo por D. García, digitalización por T. Cantoral

Tipo-Variación: *Senso Compuesto*

Grupo Cerámico: Senso

Total de tiosos identificados: Grupo A: 1. Grupo B: 4

Figuras: 8.111

Descripción:

Pasta y superficie del tipo Senso. La muestra corresponde a fragmentos de aplicaciones de incensario con pintura roja y azul.



Figura 8.111 Ejemplares del tipo Senso Compuesto, fotografía y dibujo por D. García, digitalización por T. Cantoral

Tipo-Variiedad: *Tartaleta Compuesto***Grupo Cerámico:** Tartaleta**Total de tiestos identificados:** Grupo A: 6. Grupo B: 8**Figuras:** 8.112**Descripción:**

Pasta y superficie del tipo Tartaleta. Forma de cuenco de pared divergente, borde evertido y labio redondeado, con aplicaciones circulares. Fragmentos de aplicaciones decorativas de incensarios.

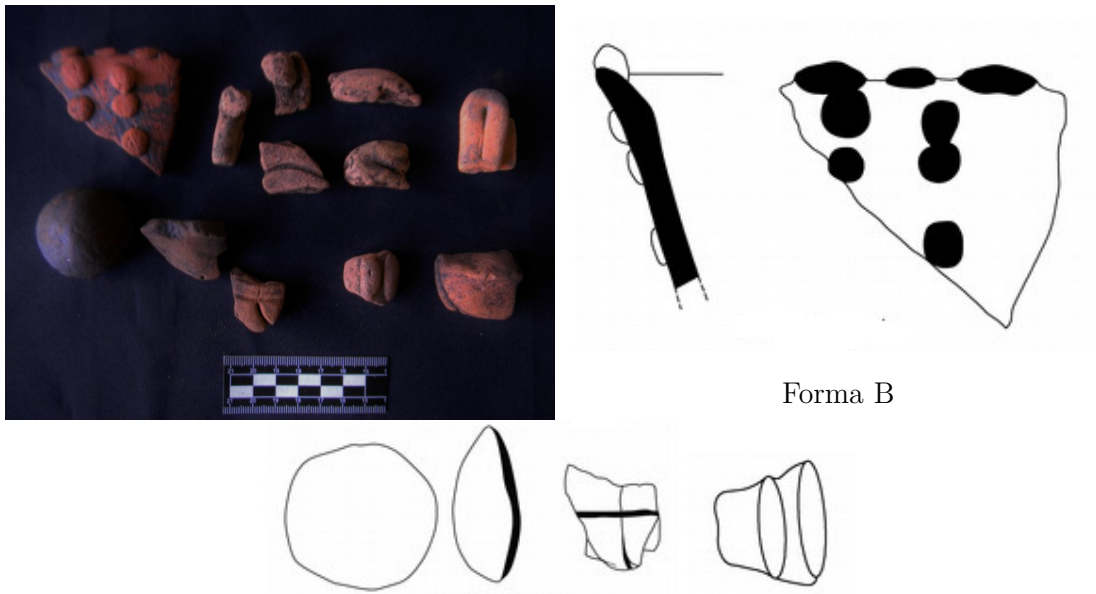


Figura 8.112 Ejemplares del tipo Tartaleta Compuesto, fotografía y dibujo por D. García, digitalización por T. Cantoral

Tipo	TOTAL GRUPO A	TOTAL GRUPO B	TOTALES
Chachalaca Rojo	71	489	560
Chachalaca Rojo Estriado	4	6	10
Chachalaca Rojo Impreso	8	16	24
Chachalaca Café Negro	2	13	15
Chachalaca Rojo Impreso-Estriado		1	1
Tasajo Rojo	17	69	86
Tasajo Rojo Estriado	1	7	8
Tasajo Rojo Inciso	2	6	8
Tasajo Rojo Acanalado		9	9
Lagarto Sin Engobe	13	186	199
Lagarto Estriado	8	12	20
Lagarto Estriado-Aplicado		2	2
Santa Cruz	8	47	55
Santa Cruz Estriado	1	3	4
Santa Cruz Impreso		1	1
Cuatzi		1	1
Pumus V. Estuco		1	1
Chat Rojo		3	3
Sha Rojo		1	1
Danta Café	7		7
Nichel Rojo		4	4
Las Rosas Blanco		1	1
Tang Nichel		31	31
Musaraña		8	8
Huelga Rojo/Negro		1	1
Yerba Buena	10	10	20
Sasben Café Negro	12	55	67
Sasben Café Negro Acanalado		6	6
Chascal Naranja Impreso		10	10
Cox Naranja Inciso		5	5
Guatero		1	1
Bon Polícromo		21	21
Bon Polícromo Acanalado		1	1
Altar		1	1
Tekor	1	2	3
Nutria		6	6
Senso Compuesto	1	4	5
Tartaleta Compuesto	6	8	14
Subtotal	172	1048	1220

Figura 8.113 Cuadro de conteo de material por tipo y grupo

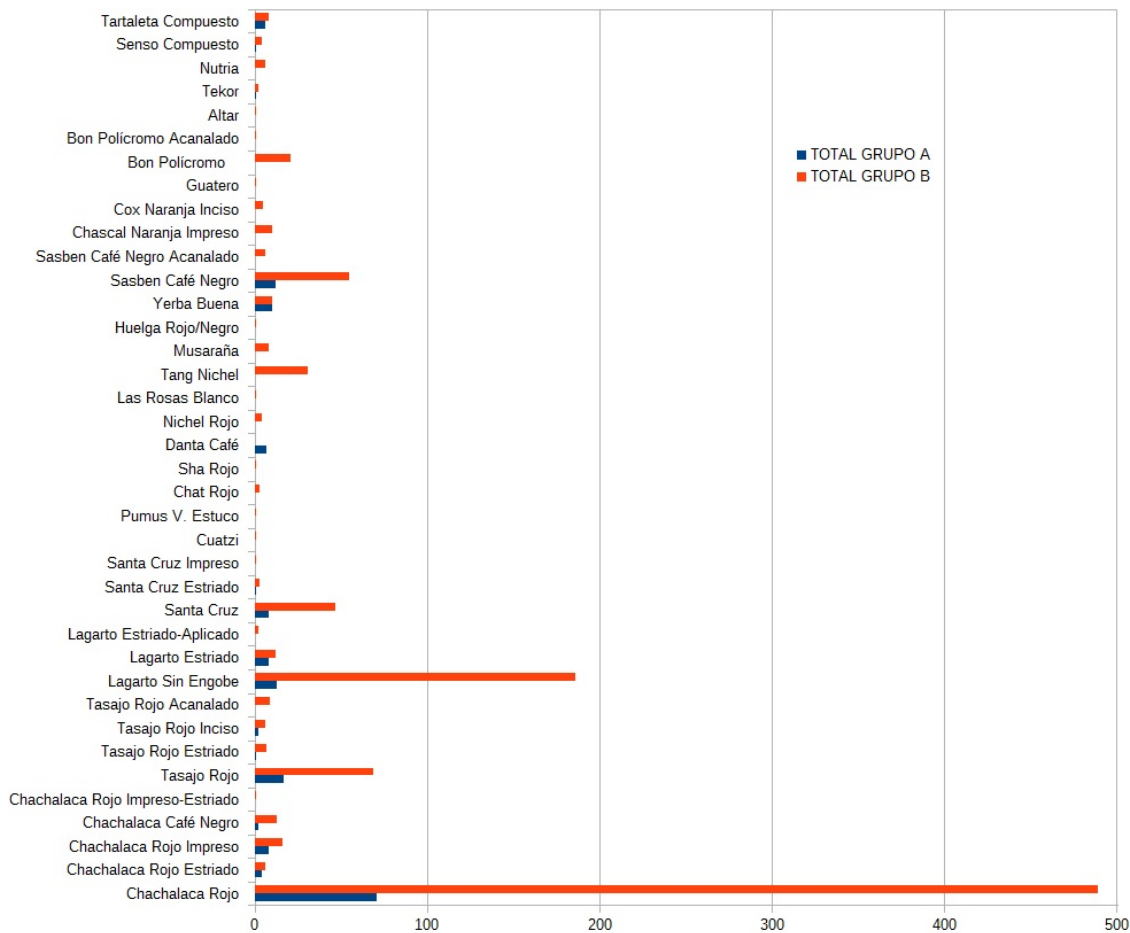


Figura 8.114 Gráfica de frecuencia de tipos por tipo y grupo

Resultados Generales

A partir del análisis de cerámica en este sitio, fue posible definir la presencia y consistencia de los tipos del Clásico Tardío en Chaculá, siendo el Grupo B el más abundante en muestras para análisis. De este grupo es más frecuente la presencia de tipos domésticos principalmente de Chachalaca Rojo, Lagarto Sin Engobe, Tasajo Rojo y Santa Cruz respectivamente, en contexto de rellenos. Por otra parte cerámica fina, aunque en menor medida también se encuentra, siendo los tipos Sasben Café Negro, Tang Nichel, Bon Policromo los de mayor frecuencia, así como los tipos Nutria y Senso Compuesto de incensarios.

Tipos de Tierras Bajas

Tipo-Variedad: *Infierno Negro*

Grupo Cerámico: Infierno

Total de tiosos identificados: Grupo A: 1. Grupo B: 19

Figuras: 8.115

Descripción:

Pasta y Superficie del tipo Infierno Negro. Forma de plato de pared divergente y labio redondeado.



Figura 8.115 Ejemplares del tipo Infierno Negro, fotografía por D. García

Tipo-Variedad: *Máquina Café*

Grupo Cerámico: Máquina

Total de tiosos identificados: Grupo B: 2

Figuras: 8.116

Descripción:

Pasta y superficie del tipo Máquina Café. La muestra corresponde a cuerpos de forma indeterminada.



Figura 8.116 Ejemplares del tipo Máquina Café, fotografía por D. García

	GRUPO A	GRUPO B	TOTALES
Infierno Negro	1	19	20
Máquina Café		2	2
Subtotal	1	21	22

Figura 8.117 Tabla de frecuencia de tipos por grupo

Resultados Generales

El conjunto determinado como cerámica de Tierras Bajas, se define a partir del análisis realizado en Chaculá, contando los tipos que poseen características de esta región (Figura 8.117). Para el caso de Pueblo Viejo Quen Santo se evidenció la presencia constante del tipo Infierno Negro principalmente en el Grupo B, seguido del tipo Máquina Café, su aparición en este sitio debe ser investigada en base a muestras y su presencia en el resto del sitio, por lo que estos resultados son preliminares.

Tipos de Tierras Altas

Tipo-Variedad: *Rojo Mate*

Grupo Cerámico: Indeterminado

Total de tiosos identificados: Grupo A: 45. Grupo B: 79

Figuras: 8.118

Descripción:

Pasta de textura media a gruesa con desgrasantes de cuarzo, mica y ferruginosos. Superficies alisadas con engobe rojo mate. Forma predominante de cántaro de cuello largo y divergente, borde directo y labio redondeado.



Figura 8.118 Ejemplares del tipo Rojo Mate, fotografía y dibujo por D. García, digitalización por T. Cantoral

	GRUPO A	GRUPO B	TOTALES
Rojo Mate	45	79	124
Subtotal	45	79	124

Figura 8.119 Tabla de frecuencia de tipo por grupo

Resultados Generales

Este conjunto se define a partir de la presencia del tipo por ahora definido como Rojo Mate, que por sus características y frecuencia en el sitio es importante (Figura 8.119), debido a su parecido con el tipo Mostaza Rojo sobre Natural, ya identificado para el sitio Chaculá, sin embargo aún es prematuro afirmar esta relación con Pueblo Viejo Quen Santo. En este sentido una línea de investigación futura será conocer no solo la interacción de la región con Tierras Bajas, como hasta el momento se ha realizado, sino también con Tierras Altas, y en el caso de este tipo con la región norte de la Verapaz.

	GRUPO A	GRUPO B	TOTALES
Policromo Erosionado	3	28	31
Gris Indeterminado		1	1
Negro Inciso Indeterminado		3	3
Engobe Rojo Indeterminado		1	1
Blanco sobre rojo Indeterminado		3	3
Micáceo Indeterminado		1	1
Estucado		1	1
Asa incisa de canasta	1		1
Asa indeterminada	2	3	5
Impreso Indeterminado	2		2
Acanalado Indeterminado		1	1
Cuerpo decorado Indeterminado		1	1
Inciso Indeterminado	2	5	7
Cuerpo con moldura	1		1
Soporte Indeterminado	1	1	2
Base Indeterminado	1		1
Misceláneo		8	8
Subtotal	13	57	70

Figura 8.120 Tabla de frecuencia de tipos indeterminados

CLÁSICO TARDÍO	GRUPO A	GRUPO B
Cuenca Superior del Grijalva	172	1048
Tierras Bajas	1	21
Tierras Altas	45	79
Indeterminados	13	57

Figura 8.121 Tabla de conteo de material por grupo y región, para el período Clásico Tardío

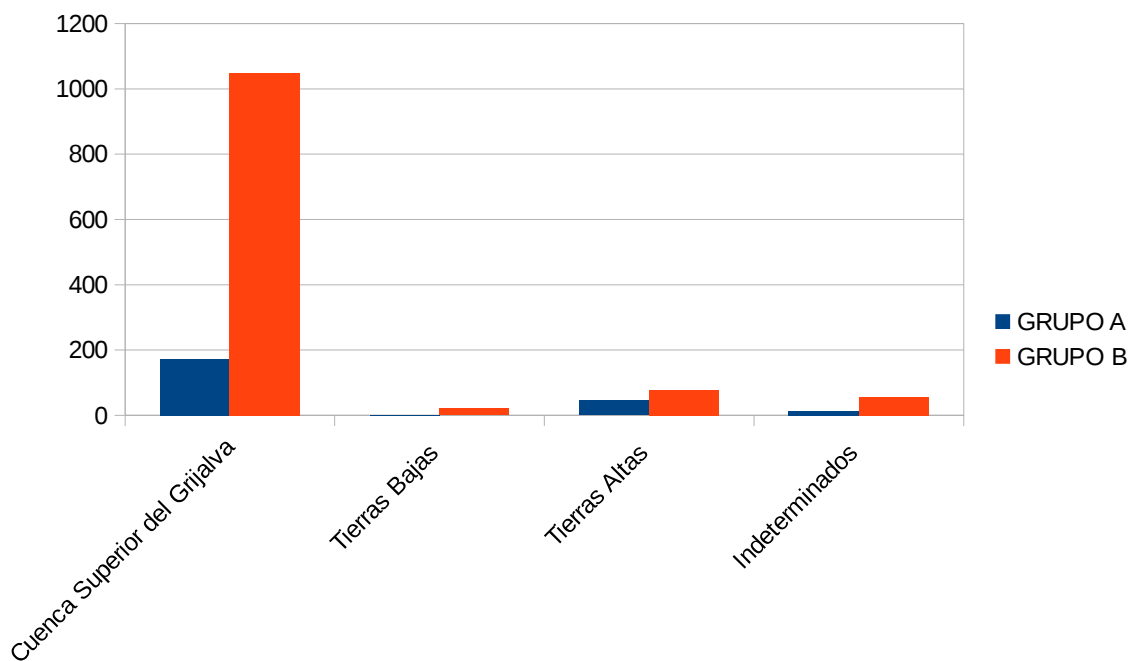


Figura 8.122 Gráfica de frecuencias por región durante el período Clásico Tardío en Pueblo Viejo Quen Santo

Período Posclásico / Fase Nichim

Tipo-Variiedad: *Chachalaca Rojo Posclásico*

Grupo Cerámico: Chachalaca

Total de tiosos identificados: Grupo A: 1. Grupo B: 3

Figuras: 8.123

Descripción:

Pasta del grupo Chachalaca Rojo de la Fase Mix. Superficies alisadas con un baño de color rojizo naranja mate. La forma única de este tipo corresponde a cántaros sencillos de cuello divergente, borde directo y labio redondeado.



Figura 8.123 Ejemplares del tipo Chachalaca Rojo Posclásico, fotografía y dibujo por D. García, digitalización por T. Cantoral

Tipo-Variación: Posclásico (Categoría)

Grupo Cerámico: Indeterminado

Total de tiosos identificados: Grupo A: 5. Grupo B: 6

Figuras: 8.124

Descripción:

Pasta de textura fina a media, con desgrasante de mica y calcita, su color varia de rojizo a café beige. Superficies por lo general alisadas con un baño mate de color naranja, rojizo o café pálido. Forma de plato de pared divergente y labio engrosado en el exterior.



Figura 8.124 Ejemplares de cerámica posclásica, fotografía y dibujo por D. García, digitalización por T. Cantoral

Tipo-Variiedad: *Plomizo Tohil***Grupo Cerámico:** Plomizo**Total de tiestos identificados:** Grupo B: 3**Figuras:** 8.125**Descripción:**

Pasta y superficie del tipo Plomizo. Fragmentos de cuerpos de forma indeterminada, una muestra presenta decoración aplicada modelada, típica de los rostros antropomorfos de la variedad Tohil para el Posclásico.



Figura 8.125 Ejemplares del tipo Plomizo Tohil, fotografía y dibujo por D. García, digitalización por T. Cantoral

	GRUPO A	GRUPO B	TOTALES
Chachalaca Rojo Posclásico	1	3	4
Posclásico	5	6	11
Plomizo		3	3
Subtotal	6	12	18

Figura 8.126 Tabla de conteo de material por tipo y grupo para el Posclásico

Resultados Generales

PERÍODO	TOTAL
CLÁSICO TARDÍO	1220
CLÁSICO TEMPRANO	5
POSCLÁSICO	18

Figura 8.127 Tabla de conteo de cerámica por período cronológico

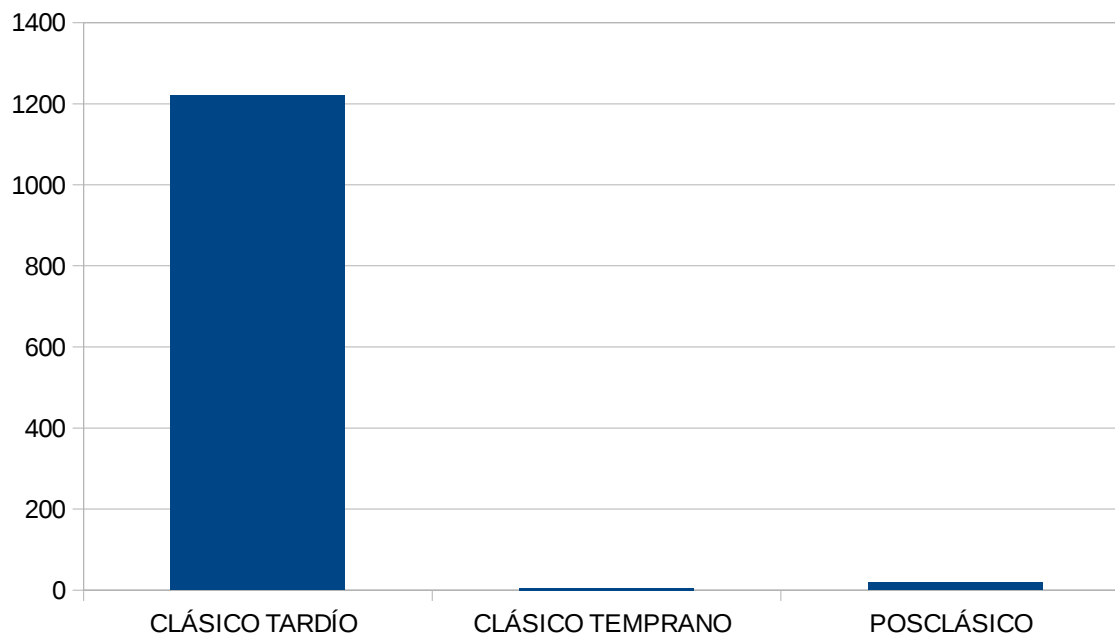


Figura 8.128 Gráfica de frecuencia por período

Resultados del análisis del sitio arqueológico Pueblo Viejo Quen Santo

Con solo dos grupos excavados (A y B), los resultados de análisis de la cerámica de Pueblo Viejo Quen Santo (Figuras 8.127, 8.128), son importantes para dilucidar la relación que este sitio tenía con Chaculá y dentro de la región. A nivel de cronología aporta nueva información de una ocupación más temprana y más tardía en este límite fronterizo entre Guatemala y Chiapas México, sin embargo la constante de una ocupación mayor (auge), durante el período Clásico Tardío, se mantiene. Son pocos los tipos definidos para el Clásico Temprano y Posclásico, sin embargo son el reflejo de un sitio cuya ocupación pudo ser anterior a Chaculá.

En cuanto a tipología, se definieron tres conjuntos Cuenca Superior del Grijalva, Tierras Bajas y Tierras Altas, aunque nuevamente la presencia de tipos definidos para la zona de Chiapas predominan, con cerámica doméstica y de servicio de los tipos Chachalaca Rojo y Tasajo Rojo. Otros tipos aunque en menor frecuencia son consistentes en todo el sitio, con los modos, formas y decoraciones típicos, también definidos para Chaculá.

La comparación de la cerámica de Pueblo Viejo Quen Santo con Chaculá permite definir nuevamente la relación de esta región durante la fase Mix, con tipos que reflejan la interacción de los diferentes centros que lo componen.

8.4. Análisis de Colecciones Privadas

Parte del análisis de la temporada 2015, fue el análisis de las colecciones privadas de materiales arqueológicos con que cuenta la región, un esfuerzo por la puesta en valor del Patrimonio Cultural, así como de educación a las comunidades sobre la protección y resguardo de los bienes culturales. En este sentido, aunque muchas de las piezas no poseen un contexto arqueológico, son importantes en tanto ejemplares únicos y con características objeto de análisis para la investigación de la región.

Casa Grande Chaculá (CGC)

A continuación se presentan las fichas de análisis de la colección denominada para el objeto, Casa Grande Chaculá, piezas obtenidas de distintos lugares de la región, que en su mayoría fueron encontradas ocasionalmente o en actividades agrícolas o fortuitamente por los pobladores de la comunidad, con la idea de ser resguardadas en este espacio con el objeto de mostrar a los turistas parte de la cultura prehispánica con que cuenta.

Esta colección cuenta no solo con piezas completas, que van del período Preclásico Tardío hasta el Posclásico, sino también con fragmentos provenientes de varios sectores y una colección especial del cual se conoce mejor el contexto, un depósito abundante de cerámica conocido como Siete Cuerdas dentro de la finca, donde los pobladores tienen sus cultivos. Este "depósito" ha sido saqueado constantemente y muchas de las piezas (542 fragmentos), con que cuenta esta colección provienen de este lugar, el análisis realizado fue procesado en una tabla por tipo cerámico, donde predominan los ya identificados del material de excavaciones para Chaculá de la fase Mix, Clásico Tardío.

Ficha de Registro

No. de Registro Interno	CGC-1	No. de Registro IDAEH	
No. de Frag.	3	Fecha de Ingreso	01/09/09
Sitio de Procedencia	Cueva 1 Chaculá		
Donado por	Don Miguel Mendez		
Contexto	Indeterminado		
Temporalidad	Clásico Tardío		
Grupo cerámico	Bon	Variedad	Bon Polícromo
Forma	Cuenco		
Pasta	Color	Rojizo anaranjado	
	Textura	Fina compacta	
	Desgrasante	Calcita, mica y ferruginosos	
Descripción	Cuenco trípode, soportes cónicos truncados vacíos con sonaja, base convexa, pared recta vertical, borde divergente y labio agudo. Superficie alisada con engobe naranja pulido, decoración policroma en bandas de color rojo y negro en el borde exterior y otros diseños erosionados no visibles en las paredes.		
Estado de Conservación	Regular, faltan fragmentos de la pared y el borde. Engobe y decoración erosionados.		
Medidas en cm.	Diámetro	15.5	Alto 7.8
	Grosor	0.4	Alto con soportes 11.5



Ficha de Registro

No. de Registro Interno	CGC-2	No. de Registro IDAEH	
No. de Frag.	1	Fecha de Ingreso	1994
Sitio de Procedencia	Cerro de la Casa Grande		
Donado por	Desconocido		
Contexto	Indeterminado, posiblemente de una cueva.		
Temporalidad	Clásico Tardío		
Grupo cerámico	Tang/Nichel	Variedad	Tang Polícromo
Forma	Plato		
Pasta	Color	Café rojizo	
	Textura	Media compacta	
	Desgrasante	No visibles	

Descripción

Plato trípode de base convexa, moldura basal, pared curva convergente y labio redondeado. La superficie exterior presenta un alisado sin engobe, el interior un engobe naranja pulido sobre crema con decoración polícroma en colores rojo y negro. Los diseños geométricos en líneas y otros son poco visibles por la erosión. Apariencia calcificada, posiblemente pertenece a una cueva.

Estado de Conservación

Regular, soportes faltantes y decoración interior erosionada.

Medidas en cm.

Diámetro	21	Alto	6.5
Grosor	0.6		



Ficha de Registro

No. de Registro Interno	CGC-3	No. de Registro IDAEH	
No. de Frag.	9	Fecha de Ingreso	01/09/09
Sitio de Procedencia	Cueva 1 Chaculá		
Donado por	Miguel Mendez		
Contexto	Indeterminado		
Temporalidad	Clásico Tardío		
Grupo cerámico	Tang/Nichel	Variedad	Tang Polícromo
Forma	Cuenco		
Pasta	Color	Rojizo anaranjado	
	Textura	Fina compacta	
	Desgrasante	Calcita, mica y ferruginosos	

Descripción

Cuenco trípode con soportes cónicos truncados vacíos y sonaja, base convexa. Pared recta vertical, borde divergente y labio agudo. Superficie exterior con engobe en el borde, interior con engobe naranja pulido y decoración polícroma de bandas de color rojo y negro poco visibles debido a la erosión.

Estado de Conservación

Malo, fragmentado y algunos fragmentos pegados con goma, engobe y decoración interior erosionado.

Medidas en cm.

Diámetro	15.5	Alto	7.8
Grosor	0.4	Alto con soportes	11.5



Ficha de Registro

No. de Registro Interno	CGC-4	No. de Registro IDAEH	
No. de Frag.	2	Fecha de Ingreso	2009
Sitio de Procedencia	Cueva 1 Chaculá		
Donado por	Miguel Mendez		
Contexto	Indeterminado		
Temporalidad	Clásico Tardío		
Grupo cerámico	Tang/Nichel	Variedad	Tang Polícromo
Forma	Plato		
Pasta	Color	Café rojiza con núcleo gris negro	
	Textura	Media compacta	
	Desgrasante	Calcita, ferruginosos y cuarzo	

Descripción

Plato trípode soportes cónicos vacíos con una perforación, soporte anular. Pared recta divergente y labio redondeado. Superficies con engobe anaranjado pulido en el interior y parte media de la pared exterior. El interior presenta algunas nubes de color negro y decoración de líneas de color rojo en el borde.

Estado de Conservación

Malo, semicompleto fragmentado, engobe y decoración erosionado.

Medidas en cm.

Diámetro	16.5	Alto	5.2
Grosor	0.8		



Ficha de Registro

No. de Registro Interno	CGC-5	No. de Registro IDAEH	
No. de Frag.	1	Fecha de Ingreso	1998
Sitio de Procedencia		Chaculá	
Donado por		Indeterminado	
Contexto		Indeterminado	
Temporalidad		Clásico Tardío	
Grupo cerámico	Lagarto	Variedad	Lagarto sin engobe
Forma	Plato		
Pasta	Color	Café a gris	
	Textura	Media compacta	
	Desgrasante	Calcita, mica y ferruginosos	

Descripción

Plato miniatura de base plana, pared recta divergente y labio redondeado.

Estado de Conservación

Incompleto a la mitad.

Medidas en cm.

Diámetro	10.2	Alto	3
Grosor	0.8		



Ficha de Registro

No. de Registro Interno	CGC-6	No. de Registro IDAEH	
No. de Frag.	3	Fecha de Ingreso	01/09/09
Sitio de Procedencia	Cueva 1 Chaculá		
Donado por	Miguel Mendez		
Contexto	Indeterminado		
Temporalidad	Clásico Tardío		
Grupo cerámico	Tartaleta Compuesto	Variedad	Tartaleta
Forma	Cilindro		
Pasta	Color	Rojizo anaranjado	
	Textura	Media	
	Desgrasante	Mica, ferruginosos y calcita	

Descripción

Cilindro de base plana, pared recta vertical y labio plano. Decoración aplicada modelada de un rostro antropomorfo de una mujer adulta con la boca abierta mostrando un diente, ojos abiertos trenzas a los lados, barbilla y cejas pronunciadas. Tiene un par de aletas, aunque solo se conserva una de ellas. En su base presenta decoración impresa.

Estado de Conservación

Regular, fragmentada pegada con goma.

Medidas en cm.

Diámetro	15	Alto	10.2
Grosor	0.9		



Ficha de Registro

No. de Registro Interno	CGC-7	No. de Registro IDAEH	
No. de Frag.	4	Fecha de Ingreso	1994
Sitio de Procedencia	Camino entre la Trinidad y Quen Santo		
Donado por	Indeterminado		
Contexto	Indeterminado		
Temporalidad	Posclásico Temprano		
Grupo cerámico	Gavilán	Variedad	Gavilán Rojo
Forma	Plato		
Pasta	Color	Café rojizo con núcleo negro	
	Textura	Media compacta	
	Desgrasante	Ferruginosos y mica	

Descripción

Plato trípode, base convexa, soportes cónicos vacíos con sonaja y perforación en vertical en su parte interior; pared recto divergente, borde divergente y labio redondeado. Superficies alisadas sin engobe café rojizo con nubes de color negro en el exterior. En el interior se observan restos de pintura de color rojo.

Estado de Conservación

Fragmentada e incompleta.

Medidas en cm.

Diámetro	17.5	Alto	5.2
Grosor	0.9 soportes	Alto con	
			0.8



Ficha de Registro

No. de Registro Interno	CGC-8	No. de Registro IDAEH	
No. de Frag.	2	Fecha de Ingreso	1994
Sitio de Procedencia	Cerro de la Casa Grande, Chaculá		
Donado por	Indeterminado		
Contexto	Indeterminado		
Temporalidad	Clásico Tardío		
Grupo cerámico	Tartaleta Compuesto	Variedad	Tartaleta
Forma	Cilindro		
Pasta	Color	Rojizo anaranjado	
	Textura	Media compacta	
	Desgrasante	Calcita, mica y ferruginosos	

Descripción

Fragmentos de incensario, paredes recto divergentes, labio plano engrosado en el exterior. Superficies alisadas sin engobe con algunas estrias en el exterior. Decoración de aplicaciones modeladas en el exterior del borde y pestañas verticales en la pared.

Estado de Conservación

Incompleto fragmentado

Medidas en cm.

Diámetro	No aplica	Alto	No aplica
Grosor	1.2		



Ficha de Registro

No. de Registro Interno	CGC-9	No. de Registro IDAEH	
No. de Frag.	2	Fecha de Ingreso	1994
Sitio de Procedencia	Cerro de la Casa Grande, Chaculá		
Donado por	Indeterminado		
Contexto	Indeterminado		
Temporalidad	Clásico Tardío		
Grupo cerámico	Lagarto	Variedad	Senso Compuesto
Forma	Cilindro		
Pasta	Color	Café rojizo, con núcleo gris a negro	
	Textura	Media compacta	
	Desgrasante	Calcita, mica y ferruginosos	

Descripción

Fragmentos de incensario, superficies sin engobe y decoración en el exterior de aplicaciones modeladas alrededor de un círculo con pintura de color blanco y azul.

Estado de Conservación

Incompleto fragmentado

Medidas en cm.

Diámetro	No aplica	Alto	No aplica
Grosor	1.3		



Ficha de Registro

No. de Registro Interno	CGC-10	No. de Registro IDAEH	
No. de Frag.	1	Fecha de Ingreso	2011
Sitio de Procedencia	Siete cuerdas, Chaculá		
Donado por	Indeterminado		
Contexto	Indeterminado		
Temporalidad	Clásico Tardío		
Grupo cerámico	Lagarto	Variedad	Senso Compuesto
Forma	Cilindro		
Pasta	Color	Rojizo anarajado	
	Textura	Media porosa	
	Desgrasante	Calcita, mica y ferruginosos	

Descripción

Fragmento de incensario, pared curva divergente, labio redondeado. Superficies alisadas sin engobe, decoración de aplicaciones modeladas conformando un rostro antropomorfo de un posible hombre viejo con los ojos cerrados. Aplicaciones de filete impreso en el borde, pintura de color blanco y rojo.

Estado de Conservación

Incompleto

Medidas en cm.

Diámetro	No aplica	Alto	No aplica
Grosor	1.2		



Ficha de Registro

No. de Registro Interno	CGC-11	No. de Registro IDAEH	
No. de Frag.	1	Fecha de Ingreso	2011
Sitio de Procedencia	Rumbo a siete cuerdas, Chaculá		
Donado por	Jilberto Maldonado Pérez		
Contexto	Indeterminado		
Temporalidad	Preclásico		
Grupo cerámico	San Felipe Café	Variedad	Preclásico Tardío
Forma	Cuenco		
Pasta	Color	Café-beige con núcleo gris	
	Textura	Media compacta	
	Desgrasante	Calcita	

Descripción

Cuenco de base cóncava, de silueta compuesta, borde curvo divergente y labio redondeado. Superficies con engobe negro rojizo pulido, decoración de dos líneas incisas en el exterior del borde e inicio del cuerpo; triángulos conformados por punzonados y delimitados por dos líneas incisas en la pared superior.

Estado de Conservación

Regular, falta una sección de la base y la pared.

Medidas en cm.

Diámetro	15.5	Alto	11.7
Grosor	5.7		



Ficha de Registro

No. de Registro Interno	CGC-12	No. de Registro IDAEH	
No. de Frag.	9	Fecha de Ingreso	12/04/11
Sitio de Procedencia	Siete Cuerdas		
Donado por	Indeterminado		
Contexto	Indeterminado		
Temporalidad	Clásico Tardío		
Grupo cerámico	Chachalaca	Variedad	Chachalaca Rojo Impreso
Forma	Cuenco		
Pasta	Color	Rojizo anaranjado	
	Textura	Media compacta	
	Desgrasante	Calcita, mica y ferruginosos	

Descripción

Cuenco de base plana, pared curva convergente y labio redondeado. Superficie interior con engobe rojo pulido, exterior burdo y con algunas nubes grises.

Estado de Conservación

Fragmentado y erosionado en algunas áreas, faltan partes de la pieza.

Medidas en cm.

Diámetro 30 aprox. Alto 20 aprox.
Grosor 1



Ficha de Registro

No. de Registro Interno	CGC-13	No. de Registro IDAEH	
No. de Frag.	4	Fecha de Ingreso	12/04/11
Sitio de Procedencia	Siete Cuerdas		
Donado por	Indeterminado		
Contexto	Indeterminado		
Temporalidad	Clásico Tardío		
Grupo cerámico	Chachalaca	Variedad	Chachalaca Rojo
Forma	Cuenco		
Pasta	Color	Rojizo anaranjado	
	Textura	Media compacta	
	Desgrasante	Calcita, mica y ferruginosos	

Descripción

Cuenco de base plana, pared recta divergente y labio redondeado. Superficies con engobe rojo pulido en el interior con algunas nubes negras, y el exterior es burdo.

Estado de Conservación

Regular, faltan fragmentos.

Medidas en cm.

Diámetro	16	Alto	12
Diámetro de base	10	Grosor	1.1



Ficha de Registro

No. de Registro Interno	CGC-14	No. de Registro IDAEH	
No. de Frag.	1	Fecha de Ingreso	12/04/11
Sitio de Procedencia	Siete Cuerdas		
Donado por	Indeterminado		
Contexto	Indeterminado		
Temporalidad	Clásico Tardío		
Grupo cerámico	Lagarto	Variedad	Lagarto sin engobe
Forma	Plato		
Pasta	Color	Beige a gris	
	Textura	Media compacta	
	Desgrasante	Mica y cuarzo	

Descripción

Plato miniatura de base plana, pared recta divergente y labio plano. Superficies sin engobe del color de la pasta con estrias de alisamiento.

Estado de Conservación

Fragmentado, la mitad faltante.

Medidas en cm.

Diámetro	11	Alto	4.5
Grosor	0.8		



Ficha de Registro

No. de Registro Interno	CGC-15	No. de Registro IDAEH	
No. de Frag.	4	Fecha de Ingreso	12/04/11
Sitio de Procedencia	Siete Cuerdas		
Donado por	Indeterminado		
Contexto	Indeterminado		
Temporalidad	Clásico Tardío		
Grupo cerámico	Musaraña	Variedad	Musaraña rojo/anaranjado
Forma	Plato		
Pasta	Color	Beige	
	Textura	Media compacta	
	Desgrasante	Mica, ferruginosos, otros	

Descripción

Plato de base cóncava, pared curvo convergente y labio redondeado. Superficies con engobe naranja pulido sobre ante, base exterior sin engobe. Decoración de una línea y banda de puntos de pintura roja en el exterior del labio.

Estado de Conservación

Faltan fragmentos, engobe erosionado.

Medidas en cm.

Diámetro	14.5	Alto	5.5
Grosor	1		



Ficha de Registro

No. de Registro Interno	CGC-16	No. de Registro IDAEH	
No. de Frag.	2	Fecha de Ingreso	12/04/11
Sitio de Procedencia	Siete Cuerdas		
Donado por	Indeterminado		
Contexto	Indeterminado		
Temporalidad	Clásico Tardío		
Grupo cerámico	Musaraña	Variedad	Musaraña rojo/anaranjado
Forma	Plato		
Pasta	Color	Café beige claro	
	Textura	Media compacta	
	Desgrasante	Ferruginosos	

Descripción

Plato de base plana, pared recta divergente, labio redondeado. Superficies con engobe naranja pulido sobre crema. Decoración en el exterior del borde de una banda y puntos de pintura roja.

Estado de Conservación

Incompleto fragmentado

Medidas en cm.

Diámetro	16 aprox	Alto	5
Grosor	0.9		



Ficha de Registro

No. de Registro Interno	CGC-17	No. de Registro IDAEH	
No. de Frag.	2	Fecha de Ingreso	12/04/11
Sitio de Procedencia	Siete Cuerdas		
Donado por	Indeterminado		
Contexto	Indeterminado		
Temporalidad	Clásico Tardío		
Grupo cerámico	Musaraña	Variedad	Musaraña rojo/anaranjado
Forma	Plato		
Pasta	Color	Café beige con núcleo gris	
	Textura	Media compacta	
	Desgrasante	Ferruginosos, mica y calcita	

Descripción

Plato de base plana, pared curva convergente y labio redondeado. Superficies con engobe naranja pulido sobre crema. Decoración de una banda y puntos de pintura roja en el exterior del borde.

Estado de Conservación

Fragmentado, faltan partes de la pieza

Medidas en cm.

Diámetro	15 aprox.	Alto	6
Grosor	0.8		



Ficha de Registro

No. de Registro Interno	CGC-18	No. de Registro IDAEH	
No. de Frag.	1	Fecha de Ingreso	12/04/11
Sitio de Procedencia	Siete Cuerdas		
Donado por	Indeterminado		
Contexto	Indeterminado		
Temporalidad	Clásico Tardío		
Grupo cerámico	Yerba Buena Fino	Variedad	Pajuil
Forma			
Pasta	Color	Beige anaranjado	
	Textura	Media compacta	
	Desgrasante	Calcita, ferruginosos y mica	

Descripción

Plato de base plana, pared recta divergente y labio redondeado. Superficies con engobe anaranjado pulido. Sin decoración

Estado de Conservación

Fragmentado, faltan partes y engobe erosionado.

Medidas en cm.

Diámetro 15 aprox. Alto 4.5 aprox.
Grosor 0.8



Ficha de Registro

No. de Registro Interno	CGC-19	No. de Registro IDAEH	
No. de Frag.	6	Fecha de Ingreso	Indeter.
Sitio de Procedencia	Cueva 1 Chaculá		
Donado por	Indeterminado		
Contexto	Indeterminado		
Temporalidad	Clásico Tardío		
Grupo cerámico	Bon	Variedad	Bon Polícromo
Forma			
Pasta	Color	Café rojizo con núcleo negro	
	Textura	Media compacta	
	Desgrasante	Calcita, biotita, ferruginosos y cuarzo.	

Descripción

Plato de base cóncava, soporte anular, pared curva convergente y labio redondeado. Superficies con engobe rojo pulido, a excepción de su base. Decoración polícroma en diseños geométricos en el interior de color negro.

Estado de Conservación

Fragmentado e incompleto. Parte de la superficie interior erosionado

Medidas en cm.

Diámetro	22 aprox.	Alto	7.5
Diámetro soporte	0.8	Grosor	0.8



Ficha de Registro

No. de Registro Interno	CGC-20	No. de Registro IDAEH	
No. de Frag.	13	Fecha de Ingreso	01/02/14
Sitio de Procedencia	Indeterminado		
Donado por	Indeterminado		
Contexto	Indeterminado		
Temporalidad	Posclásico Temprano		
Grupo cerámico	Indeterminado	Variedad	Indeterminado
Forma	Cilindro		
Pasta	Color	Café rojizo	
	Textura	Media	
	Desgrasante	Ferruginosos, mica, y calcita	

Descripción

Cántaro de base cóncava, cuerpo globular, cuello corto, borde divergente y labio redondeado. Superficies sin engobe, del color de la pasta y decoración de pintura roja en el interior del borde y otros diseños pintados en la parte superior del cuerpo.

Estado de Conservación

Regular, fragmentada en su base, en un lado del borde presenta una serie de fragmentos de cerámica adosada con residuos de cueva.

Medidas en cm.	Diámetro de boca	17	Alto	32
	Diámetro de borde	30	Grosor	1



Ficha de Registro

No. de Registro Interno	CGC-21	No. de Registro IDAEH	
No. de Frag.	13	Fecha de Ingreso	01/02/14
Sitio de Procedencia	Chaculá Viejo		
Donado por	Elmer Vargas		
Contexto	Indeterminado		
Temporalidad	Clásico Tardío		
Grupo cerámico	Tartaleta	Variedad	Tartaleta Compuesto
Forma	Cilindro		
Pasta	Color	Café rojizo	
	Textura	Media	
	Desgrasante	Ferruginosos, mica, y calcita	

Descripción

Fragmentos de incensario. Dos rostros antropomorfos con la boca abierta, aplicaciones de orejeras y brazos. Fragmentos de aletas con decoración aplicada.

Estado de Conservación

Fragmentado e incompleto

Medidas en cm.

Rostro 1 Alto:10 Ancho: 9.2 Orejeras 4.7
Alto:9 Ancho: 7.3 Brazo 4.1
Ancho: 5 Perfil: 3.5

Rostro 2
Aleta Alto: 18



Fragmentos de cerámica vitrina Casa Grande Chaculá						
No.	Forma	Tipo	Parte de la vasija	Período	Sitio de procedencia, fecha y donante	Observaciones
1	Plato	Musaraña Rojo Anaranjado	Borde	Clásico Tardío	Siete cuerdas, Chaculá 2011	
2	Plato	Insla Gubiado-Inciso	Borde	Clásico Tardío	Cueva 1 Chaculá 2009, Miguel Méndez	
3	Cántaro	Plomizo	Cuerpo	Plomizo	Siete cuerdas, Chaculá 2011	
4	Plato	Indeterminado	Base	Clásico Tardío	Siete cuerdas, Chaculá 2011	
5	Plato	Insla Gubiado-Inciso	Borde	Clásico Tardío	Siete cuerdas, Chaculá 2011	
6	Plato trípode	Lagarto sin engobe	Borde	Clásico Tardío	Siete cuerdas, Chaculá 2011	
7	Plato con gifos	Sasben Gubiado	Borde	Clásico Tardío	Siete cuerdas, Chaculá 2011	Pseudoglifos en bajo relieve
8	Cilindro	Grupo Altar/Cedro Gubiado	Borde	Clásico Tardío	Siete cuerdas, Chaculá 2011	
9	Cántaro	Plomizo	Base	Posclásico Temprano	Siete cuerdas, Chaculá 2011	Acanalado
10	Cuenco	Tasajo rojo impreso	Borde	Clásico Tardío	Camino entre la Trinidad y Quen Santo, 1994	Decoración aplicada impresa
11	Cántaro	Lagarto estriado	Cuerpo	Clásico Tardío	Siete cuerdas, Chaculá 2011	
12	Cuenco	Lagarto sin engobe	Borde	Clásico Tardío	Camino entre la Trinidad y Quen Santo, 1994	Inciso grueso
13	Cuenco	Chachalaca rojo	Base	Clásico Tardío	Siete cuerdas, Chaculá 2011	Hematita especular en el interior de la base
14	Cántaro	Indeterminado	Borde	Clásico Tardío	Siete cuerdas, Chaculá 2011	Engobe erosionado
15	Aplicación	Tartaleta Compuesto	Aplicaciones	Clásico Tardío	Siete cuerdas, parcela de Jesús Silvestre Perez, abril 2013, Isaías Andrés (donante)	Aplicación de fruto de cacao (Incensario)
16	Cántaro	Indeterminado	Base	Clásico Tardío	Siete cuerdas, Chaculá 2011	
17	Cántaro	Indeterminado	Asa	Posclásico	Siete cuerdas, Chaculá 2011	
18	Cántaro	Tasajo rojo	Asa	Clásico Tardío	Siete cuerdas, Chaculá 2011	Decoración de pintura blanca
19	Cántaro	Indeterminado	Asa	Posclásico	Siete cuerdas, Chaculá 2011	
20	Cántaro	Indeterminado	Asa	Posclásico	Siete cuerdas, Chaculá 2011	
21	Cántaro	Indeterminado	Asa	Posclásico	Siete cuerdas, Chaculá 2011	
22	Cántaro	Indeterminado	Cuerpo	Posclásico	Siete cuerdas, Chaculá 2011	Decoración aplicada
23	Cántaro	Indeterminado	Cuerpo	Posclásico	Siete cuerdas, Chaculá 2011	Decoración aplicada
24	Cántaro	Indeterminado	Cuerpo	Posclásico	Siete cuerdas, Chaculá 2011	Decoración aplicada
25	Cántaro	Indeterminado	Cuerpo	Posclásico	Siete cuerdas, Chaculá 2011	Decoración aplicada
26	Cántaro	Indeterminado	Base	Clásico Tardío	Siete cuerdas, Chaculá 2011	
27	Cántaro	Indeterminado	Base	Clásico Tardío	Siete cuerdas, Chaculá 2011	

Colección de cerámica, Siete Cuerdas, Casa Grande Chaculá, donado el 12 de abril de 2011

Grupo	Variedad	Forma	Bordes	Cuerpos	Bases	Observaciones
Chachalaca	Chachalaca Rojo	Cuenco		27	36	
	Chachalaca Rojo Impreso	Cuenco	4			Decoración en el labio
	Chachalaca Rojo Impreso	Bucul	4			
	Chachalaca Rojo	Cuenco	9			Labio reforzado en el ext.
	Chachalaca Rojo Impreso	Cuenco	17			
	Chachalaca Rojo	Cuenco	19			
	Chachalaca Rojo Inciso- impreso	Cuenco	1			
	Chachalaca Rojo Estriado	Cuenco	1			
	Chachalaca Rojo Impreso	Cántaro		13		
	Chachalaca Rojo	Cántaro	1	27		
Chachalaca Rojo	Bucul	1	7			
Chachalaca Rojo	Plato		6			
Mostaza	Mostaza rojo sobre natural	Cántaro	37	19		
Lagarto	Lagarto Estriado	Cántaro	46	44		
	Lagarto Sin Engobe	Plato	1			
Tasajo	Tasajo Rojo	Cántaro	9	18		
	Tasajo Rojo	Cántaro	2	6		Decoración de pintura blanca
Musaraña	Musaraña Rojo Anaranjado	Plato	2	5		
Sasben	Sasben Café Negro Inciso	Plato	1			
San Felipe	San Felipe Café	Plato	1			
Yerba Buena	Yerba Buena	Plato	3	1		
Tinaja	Tinaja Rojo	Cántaro	1	1		
			166	168	36	
Indeterminados		32				
Erosionados		144				
Total de fragmentos		546				

Colección de piezas Pueblo Viejo Quen Santo (QS)

Esta colección consta de un total de 10 vasijas de cerámica, la mayoría completas y con aparente uso de urnas funerarias ya que aún conservan los restos de hueso y carbón. Cinco de las piezas corresponden al período Posclásico Tardío y las otras al Clásico Tardío. Estas piezas fueron extraídas de una de las grietas de las cuevas de Quen Santo (French et al. 2009) (Figura 8.129), aunque no se conoce las condiciones bajo las cuales estas vasijas quedaron resguardadas en la casa patronal de la comunidad Los Espinos.

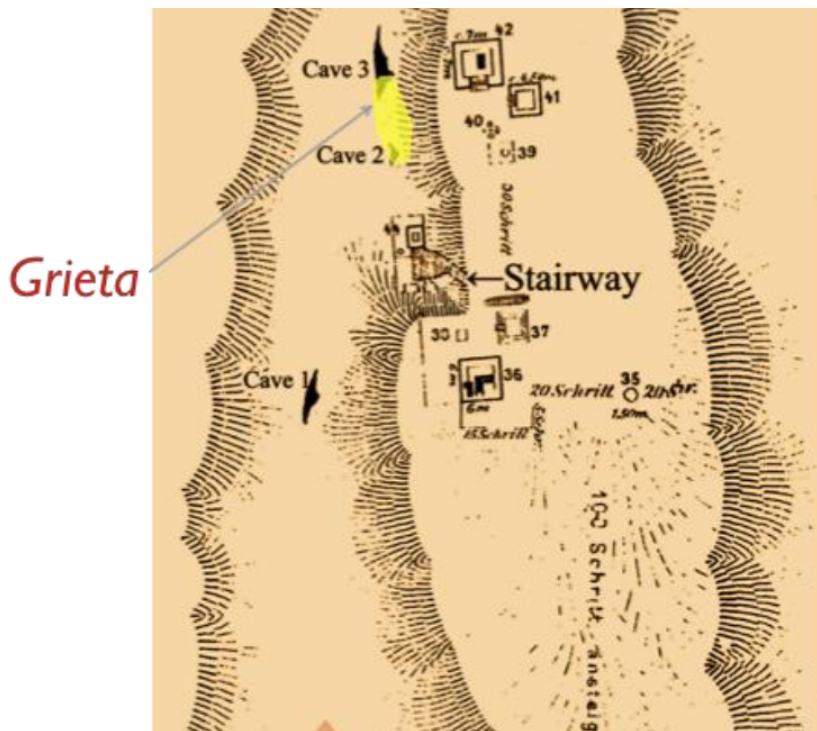


Figura 8.129 Mapa indicando la ubicación de la grieta en Quen Santo, basado en el mapa de Seler (1901) (French et al. 2009)

No. de Registro Interno QS-1 No. de Registro IDAEH

No. de Frag. Completa Fecha de Ingreso Indeter.

Sitio de Procedencia Cuevas de Quen Santo

Donado por Indeterminado

Contexto Indeterminado

Temporalidad Posclásico

Grupo cerámico Quiahuitlan Variedad Sin especificar

Forma Cántaro

Pasta Color Blanco-crema con núcleo gris
 Textura Media a compacta
 Desgrasante Mica

Descripción Cántaro de base plana, cuerpo subglobular, cuello recto vertical, borde divergente y labio redondeado. Presenta tres asas planas de banda equidistantes en el hombro. Dos perforaciones circulares en el cuerpo. Superficie con engobe crema, sobre el cual se aplicó pintura de color rojo, naranja y negro en diseños geométricos, presenta algunas nubes de color gris-negro

Estado de Conservación Completo con algunas despostilladuras en el borde.

Medidas en cm.	Diámetro boca	9.1	Alto	34.5
	Grosor	0.5	Ancho de cuerpo	24

Fotografía:



Ficha de Registro

No. de Registro Interno QS-2 No. de Registro IDAEH

No. de Frag. Completa Fecha de Ingreso Indeter.

Sitio de Procedencia Cuevas de Quen Santo

Donado por Indeterminado

Contexto Indeterminado

Temporalidad Posclásico

Grupo cerámico Quiahuiztlan Variedad Sin especificar

Forma Cántaro

Pasta Color Blanco
Textura Media a compacta
Desgrasante Mica

Descripción Cántaro de base plana, cuerpo subglobular, cuello recto levemente convergente, borde evertido y labio redondeado. Presenta tres asas planas equidistantes en el hombro. Dos perforaciones circulares en el cuerpo. Superficie con engobe blanco a crema, sobre el cual se aplicó pintura de color rojo y negro en diseños geométricos, presenta algunas nubes de color gris-negro.

Estado de Conservación Completo con algunas despostilladuras en el borde y erosión en la superficie de la base.

Medidas en cm.	Diámetro boca	10	Alto	36
	Grosor	0.5	Ancho de cuerpo	27

Fotografía:



Ficha de Registro

No. de Registro Interno QS-3 No. de Registro IDAEH

No. de Frag. Completa Fecha de Ingreso Indeter.

Sitio de Procedencia Cuevas de Quen Santo

Donado por Indeterminado

Contexto Indeterminado

Temporalidad Posclásico

Grupo cerámico Quiahuiztlan Variedad Sin especificar

Forma Cántaro

Pasta Color Blanco
Textura Media a compacta
Desgrasante Mica

Descripción

Cántaro de base plana, cuerpo globular, cuello recto levemente convergente, borde cortado. Presenta tres asas planas equidistantes en el hombro. Una perforación circular en el cuerpo. Superficie con engobe blanco, sobre el cual se aplicó pintura de color café rojizo en diseños geométricos, presenta algunas nubes de color gris-negro.

Estado de Conservación

Semicompleto, con la boca cortada, y erosión en la superficie.

Medidas en cm.	Diámetro boca	7.9	Alto	27.3
	Grosor	0.5	Ancho de cuerpo	26

Fotografía:



Ficha de Registro

No. de Registro Interno QS-4 No. de Registro IDAEH

No. de Frag. Completa Fecha de Ingreso Indeter.

Sitio de Procedencia Cuevas de Quen Santo

Donado por Indeterminado

Contexto Indeterminado

Temporalidad Posclásico

Grupo cerámico Quiahuiztlan Variedad Sin especificar

Forma Cántaro

Pasta	Color	Café a naranja
	Textura	Fina compacta
	Desgrasante	Mica

Descripción

Cántaro de base plana, cuerpo globular, cuello recto cortado. Presenta tres asas planas equidistantes en el hombro. Una perforación circular en el cuerpo. Superficie con engobe naranja a crema, sobre el cual se aplicó pintura de color rojo y naranja en diseños geométricos, presenta algunas nubes de color gris-negro.

Estado de Conservación

Semicompleto, con el cuello cortado y erosión en la superficie.

Medidas en cm.	Diámetro boca	8	Alto	26.5
	Grosor	0.5	Ancho de cuerpo	28

Fotografía:



Ficha de Registro

No. de Registro Interno QS-5 No. de Registro IDAEH

No. de Frag. Completa Fecha de Ingreso Indeter.

Sitio de Procedencia Cuevas de Quen Santo

Donado por Indeterminado

Contexto Indeterminado

Temporalidad Posclásico

Grupo cerámico Torres policromo Variedad Torres policromo

Forma Cántaro

Pasta	Color	Café rojizo
	Textura	Fina a media
	Desgrasante	Mica

Descripción Cántaro de base plana, cuerpo globular, cuello recto vertical, borde divergente y labio redondeado. Presenta tres asas planas equidistantes en el hombro. Una perforación circular en el cuerpo. Superficie con engobe naranja sobre ante, sobre el cual se aplicó pintura de color rojo y naranja en diseños geométricos, presenta algunas nubes de color gris-negro.

Estado de Conservación Completo con erosión en la superficie y un fragmento faltante en el borde.

Medidas en cm.	Diámetro boca	10	Alto	29.5
	Grosor	0.5	Ancho de cuerpo	23

Fotografía:



Ficha de Registro

No. de Registro Interno	QS-6	No. de Registro IDAEH	
No. de Frag.	Completa	Fecha de Ingreso	Indeter.
Sitio de Procedencia	Cuevas de Quen Santo		
Donado por	Indeterminado		
Contexto	Indeterminado		
Temporalidad	Clásico Tardío		
Grupo cerámico	Lagarto	Variedad	Lagarto Estriado
Forma	Cántaro		
Pasta	Color	Café a gris	
	Textura	Media	
	Desgrasante	Cuarzo, calcita y mica	

Descripción

Cántaro de cuerpo subglobuar, base cóncava, cuello corto levemente divergente, borde divergente y labio redondeado. Superficie estriada sin engobe, de color café claro a gris. Presenta un orificio en el cuerpo.

Estado de Conservación

Completo, presenta rajaduras en la base y en la pared, además de un residuo blanco en la superficie.

Medidas en cm.	Diámetro boca	17.5	Alto	17
	Grosor	0.3	Ancho de cuerpo	20

Fotografía:



Ficha de Registro

No. de Registro Interno	QS-7	No. de Registro IDAEH	
No. de Frag.	Completa	Fecha de Ingreso	Indeter.
Sitio de Procedencia	Cuevas de Quen Santo		
Donado por	Indeterminado		
Contexto	Indeterminado		
Temporalidad	Clásico Tardío		
Grupo cerámico	Lagarto	Variedad	Lagarto Sin Engobe
Forma	Cántaro		
Pasta	Color	Café a gris	
	Textura	Media	
	Desgrasante	Cuarzo, calcita y mica	

Descripción

Cántaro de cuerpo subglobular, base plana, cuello curvodivergente borde divergente y labio redondeado, levemente reforzado en el interior. Superficie sin engobe, de color café claro a gris. Presenta un orificio en el cuerpo.

Estado de Conservación

Completo, presenta faltantes en el borde, rajadura en el cuello y un residuo blanco en la superficie.

Medidas en cm.	Diámetro boca	13.5	Alto	18.5
	Grosor	0.3	Ancho de cuerpo	23

Fotografía:



Ficha de Registro

No. de Registro Interno QS-8 No. de Registro IDAEH

No. de Frag. Semicompleto Fecha de Ingreso Indeter.

Sitio de Procedencia Cuevas de Quen Santo

Donado por Indeterminado

Contexto Indeterminado

Temporalidad Clásico Tardío

Grupo cerámico Lagarto Variedad Lagarto Sin Engobe

Forma Cántaro

Pasta Color Café a gris
 Textura Media
 Desgrasante Cuarzo, calcita y mica

Descripción

Cántaro de cuerpo subglobular, base plana, cuello corto, borde divergente y labio redondeado, levemente reforzado en el interior. Superficie sin engobe, de color gris a café.

Estado de Conservación Semicompleto, presenta faltantes en el borde y en la parte inferior del cuerpo, y un residuo blanco en la superficie.

Medidas en cm.	Diámetro boca	13	Alto	20
	Grosor	0.4	Ancho de cuerpo	22

Fotografía:



Ficha de Registro

No. de Registro Interno	QS-9	No. de Registro IDAEH	
No. de Frag.	Completa	Fecha de Ingreso	Indeter.
Sitio de Procedencia	Cuevas de Quen Santo		
Donado por	Indeterminado		
Contexto	Indeterminado		
Temporalidad	Clásico Tardío		
Grupo cerámico	Lagarto	Variedad	Lagarto Sin Engobe
Forma	Cántaro		
Pasta	Color	Café a gris	
	Textura	Media	
	Desgrasante	Cuarzo, calcita y mica	

Descripción

Cántaro de cuerpo globular, base plana, cuello corto, borde divergente y labio redondeado. Superficie sin engobe, de color gris a café. Presenta un orificio en la base.

Estado de Conservación

Completo, presenta rajaduras en la base, parte inferior del cuerpo y labio en el borde, y un residuo blanco en la superficie.

Medidas en cm.	Diámetro boca	10.5	Alto	13.5
	Grosor	0.4	Ancho de cuerpo	15

Fotografía:



Ficha de Registro

No. de Registro Interno	QS-10	No. de Registro IDAEH	
No. de Frag.	Completa	Fecha de Ingreso	Indeter.
Sitio de Procedencia	Cuevas de Quen Santo		
Donado por	Indeterminado		
Contexto	Indeterminado		
Temporalidad	Clásico Tardío		
Grupo cerámico	Lagarto	Variedad	Lagarto Estriado
Forma	Cántaro		
Pasta	Color	Café a gris	
	Textura	Media	
	Desgrasante	Cuarzo, calcita y mica	

Descripción

Cántaro de cuerpo subglobular, cuello corto, borde divergente y labio redondeado.
Superficie estriada sin engobe, de color gris a café.

Estado de Conservación

Completo, presenta rajaduras en la base y un residuo blanco en la superficie.

Medidas en cm.

Diámetro boca	8.6	Alto	12.5
Grosor	0.4	Ancho de cuerpo	16

Fotografía:



8.5. Cerámica de Reconocimiento

Durante la temporada se realizaron actividades de reconocimiento, uno de los objetivos era registrar cerámica de superficie para conocer algunos rasgos y temporalidad de los sitios visitados para futuras comparaciones y relaciones entre sitios en la región.

Río Lagartero

Se identificó cerámica del tipo Torres Polícromo (Figura 8.130, izquierda), para el periodo Posclásico Tardío y Chachalaca Rojo para el Clásico Tardío (Figura 8.130, derecha).



Figura 8.130 Cerámica de Río Lagartero, fotografía por D. García

Pueblo Viejo Quen Santo

Paralelamente al material de las excavaciones, durante el reconocimiento en el sitio fue abundante la presencia de cerámica del grupo Chachalaca Rojo (Figura 8.131, izquierda) y cerámica con engobe naranja pulido, que tiene mucho parecido al tipo Saxché Palmar (Figura 8.131, derecha) para el Clásico Tardío.



Figura 8.131 Cerámica de Pueblo Viejo Quen Santo, fotografías por D. García

Yal Ib'ach

Se identificaron los tipos Tasajo Rojo en la forma de platos (Figura 8.132, izquierda), que pueden tener pequeños soportes esféricos (Figura 8.132, derecha), y Chachalaca Rojo/Negro (Figura 8.132, abajo)



Figura 8.132 Cerámica de Yal Ib'ach, fotografías por U. Wölfel

8.6. Producción de cerámica actual

Una vez más con la colaboración de varias mujeres de las diferentes regiones del occidente de Huehuetenango, fue posible realizar el registro del proceso de manufactura de cerámica actual, con el objetivo de ligar a la cultura prehispánica con la actual, una forma de identidad y recuperación del valor de estas actividades artesanales que se han perdido con el paso del tiempo y corren un riesgo real de desaparecer.

Los lugares visitados fueron San Mateo Ixtatán (Figura 8.133), Yolcultac (Figura 8.134) y Yalambojoch (Figura 8.135), comunidades de habla Chuj, donde las mujeres son las principales productoras de cerámica. A manera general la elaboración de piezas de barro se realiza con la técnica de enrollado, cada mujer implementa nuevas técnicas o uso de ciertos materiales modernos para su realización, así como el tipo de barro que se utiliza (blanco, café y rojo) y los desgrasantes (calcita, arena gris). Otro rasgo en común es la técnica de quemado al aire libre, con algunas excepciones (en la cocina, en el caso de Yolcultac), alrededor de 20 minutos.

Las formas son variada, especialmente cántaros para uso doméstico y otros como cuencos, comales o las formas que se demanden. Esta actividad heredada de la madre o de otra mujer cercana al núcleo familiar, era realizada para obtener alguna remuneración económica. Actualmente esta actividad se ha ido perdiendo con la introducción y uso de ollas de peltre o aluminio, lo que disminuye la demanda de vasijas de barro, además las mujeres jóvenes de las comunidades han perdido el interés por aprender estas técnicas de elaboración.



Figura 8.133 Elaboración de cerámica en San Mateo Ixtatán, fotografía por D. García



Figura 8.134 Elaboración de cerámica en Yalambojoch, fotografía por D. García



Figura 8.135 Elaboración de cerámica en Yolcultac, fotografía por D. García

8.7. Consideraciones Finales

Tanto el análisis de Chaculá como de Pueblo Viejo Quen Santo definen tres puntos importantes, primero la cronología con una ocupación que, a pesar de ser más temprana en Pueblo Viejo Quen Santo, es mucho más fuerte durante el Clásico Tardío, único período de ocupación en Chaculá. En este sentido si tomamos en cuenta estos dos sitios investigados como base, la cerámica de la región parece mantener los mismos patrones de relación con la región de la Cuenca Superior del Grijalva y en menor grado de otras regiones. El posclásico aún no claro del todo, parece más presente en Pueblo Viejo Quen Santo, sin embargo se necesita más investigación al respecto.

Un segundo aspecto es la presencia de ciertas características que tienen consistencia en los tipos cerámicos, esto es su carácter doméstico y utilitario, el color rojizo de la pasta con desgrasantes que básicamente son los mismos (calcita, mica, ferruginosos),

pero principalmente el acabado cerosos de la cerámica de engobe rojo, naranja y café, siendo los tipos Chachalaca Rojo y Tasajo Rojo los mejores ejemplos de ello.

Por último la cerámica a pesar de considerarse local en la mayoría de sus tipos, tiene los mismos rasgos y características de tipos de Tierras Bajas, dentro de los mejores ejemplos podemos mencionar el Lagarto sin Engobe que equivale a Cambio sin Engobe, Musaraña, Tang/Nichel y Bon que son parecidos al grupo Saxché Palmar, el Chanal Gubiado semejante al Pabellón Modelado; estos ejemplos nos hacen pensar nuevamente en la presencia de poblaciones de Tierras Bajas que durante este período tuvieron una fuerte relación o contacto con esta región (García y Torres 2015).

Gracias a las excavaciones de esta temporada, tanto en Chaculá como en Pueblo Viejo Quen Santo, fue posible ampliar el panorama de la tipología y cronología cerámica, reafirmando el período de ocupación más importante de la región, así como la consistencia de tipos y características que van dándonos la idea de una tradición de producción cerámica típica del área.

9 Análisis de materiales líticos

Edgar Carpio

9.1. Análisis de la obsidiana de Chaculá

La muestra consta de 35 artefactos provenientes de diferentes excavaciones en el sitio y una de superficie. Se considera una muestra pequeña pero que puede aportar información sobre el tipo de artefactos que se estaban utilizando, las fuentes de proveniencia y el uso que se puede apreciar.

Tipo

En la variable de tipo se aprecia la presencia segmentos de navaja prismática, lascas, desechos, asociados a segmentos de navaja prismática o lasca, algunos trozos irregulares pequeños y escaso material bipolar. En cuanto a los porcentajes, navaja prismática ocupa el 85.7% (30) seguido muy por debajo por lascas 11.4% (4) y un solo desecho que ocupa el 2.8%. Esto significa que hay una preferencia notable a utilizar navajas prismáticas sobre otro tipo de artefactos. Los segmentos mayoritarios fueron mediales aunque también se reportan algunos proximales. El segmento de mayor tamaño alcanzó 4.0 cm aproximadamente. No se reportan navajas completas.

Fuente

En cuanto a la variable de fuente, aplicando la técnica visual auxiliada con lupas de gran aumento, hay dos que predominan en la muestra siendo estas San Martín Jilotepeque y El Chayal. En cuanto a porcentajes, a San Martín Jilotepeque corresponde el 37.7% (13), a El Chayal el 45.7% (16) y a un probable San Martín Jilotepeque 17.1% (6). Esto parece indicar que no hay un claro predominio en cuanto al uso de las fuentes y que se estaba utilizando material de las dos principales. La probable SMJ, incrementaría el porcentaje de esta fuente con lo que quedarían más equilibradas y esto confirmaría la tendencia. No se pudo establecer la presencia de otras fuentes pero se recomienda un

análisis de rayos x en las 6 de SMJ? y así poder asegurar que se trata en efecto de esta fuente.

Uso

Con relación al uso, este pudo apreciarse en casi todos los segmentos de navaja prismática, y variaba entre leve y fuerte, sin llegar a extremo o un uso especializado que podría dejar estriaciones visibles. Por lo tanto se sugiere un uso moderado de carácter doméstico, aparentemente por corte o raspado de materiales suaves o duros.

9.2. Análisis del Pedernal de Chaculá

El pedernal resultó un material complementario a la obsidiana, posiblemente por la disponibilidad de materia prima. La muestra consta de 25 artefactos.

Tipo

El tipo predominante en los artefactos de pedernal en Chaculá fue el de lascas con 56 % (14), a este le siguen los trozos con 32 % (8), desecho 4 % (1), núcleo de lascas 4 % (1), y punta de proyectil 4 % (1). Este artefacto es el más interesante de la muestra y consiste en el segmento proximal de una punta de tipo triangular, elaborada con técnica bifacial en pedernal de color blanco.

Color

El pedernal de Chaculá presenta una variedad de colores en los que predomina el gris y el blanco, aunque también hay variedades amarillentas y oscuras. Por tratarse de suelos kársticos el pedernal se encuentra a disposición y depende de las variantes del sílice y otros minerales los cambios en la coloración.

Uso

En cuanto al uso es difícil establecer el grado de desgaste que se puede apreciar en las lascas. Por ser materiales opacos no es fácil a simple vista apreciar el desgaste por corte o raspado. Pero se considera que las lascas si fueron utilizadas ocasionalmente con estos fines. La talla in situ de núcleos para obtener lascas de manera discreta es una posibilidad muy alta.

9.3. Análisis de Lítica Mayor en Chaculá

De los artefactos relevantes de lítica mayor solo se cuenta con un fragmento de piedra de moler de tipo plano sin soportes, con un cierto grado de desgaste en superficie y de tamaño más bien pequeño. En roca ígnea extrusiva posiblemente dacita. Otro artefacto interesante es un aparente pulidor cilíndrico un poco mayor que el tamaño de la mano y delgado. También se cuenta con algunos fragmentos de cuarzo.

9.4. Análisis de la obsidiana de Pueblo Viejo Quen Santo

La muestra de artefactos de obsidiana de Pueblo Viejo Quen Santo fue de 43, proveniente de las excavaciones en distintas estructuras y de un saqueo.

Tipo

Con relación a la variable de tipo, 38 corresponden a navaja prismática (88.3 %) y 5 a lasca (11.6 %). Se aprecia una clara preferencia por el tipo navaja prismática que es el más práctico para las tareas de corte y raspado. Por no encontrarse núcleos agotados u otro tipo de artefactos asociados a la producción in situ, se puede considerar que estas navajas pudieron llegar previamente elaboradas.

Fuente

En cuanto a las fuentes la mayoría de los artefactos proviene de El Chayal con un 60.4 % (26), seguido de San Martín Jilotepeque con 32.5 % (14), y San Martín Jilotepeque probable con 6.9 % (3). En esta muestra si se puede observar una clara preferencia por materiales de El Chayal, lo que marca una diferencia que podría estar relacionada con las estrategias de obtención del material.

Uso

El uso se pudo apreciar en casi todas las piezas, especialmente en los bordes de las navajas prismáticas. Se trata de un uso general no especializado que varía entre leve y fuerte, sin llegar a ser uso extremo. Parece más bien asociado a actividades de carácter doméstico.

9.5. Análisis del Pedernal de Pueblo Viejo Quen Santo

Los artefactos de pedernal en la muestra de Pueblo Viejo Quen Santo (108) fueron más abundantes que los de obsidiana, que si bien fue una muestra también mayor que la de Chaculá, se vio rebasada por una preferencia hacia este tipo de material, posiblemente por su abundancia en la región, que como ya mencionamos es de suelos kársticos donde abundan las rocas de contenido silíceo.

Tipo

El tipo predominante fue el de lasca con el 50.9 % (55), luego aparece el tipo trozo con 29.6 % (32), el cual incluye tanto pedazos grandes como pequeños. Luego siguen los desechos con 16.6 % (18), núcleo con 0.9 % (1), trozo tabular 0.9 % (1) y finalmente una navaja (0.9 %). Se puede considerar que se están tallando algunos núcleos de manera discreta para producir lascas potencialmente utilizables. La presencia de un núcleo, los trozos y los desechos parecen confirmar esta tendencia. En cuanto a la navaja de tipo prismático, este objeto es el más elaborado de todos los de pedernal y podría corresponder a un objeto llevado previamente elaborado pues no se contó con más artefactos de este tipo ni núcleos de navajas.

Color

El color en este pedernal es tan variado como en Chaculá, aunque predominan los colores gris, blanco y blanco amarillento. No parece existir una preferencia por el color o la apariencia y se considera que se utiliza el material disponible.

Uso

Es difícil asegurar que todos los objetos tuvieran uso, pero si es muy probable que la mayoría de las lascas lo tuviera, al menos las que no fueron de desecho y que tienen un tamaño que permite un uso potencial. Se debieron emplear en tareas de mantenimiento doméstico pues no se observó un uso especializado y debieron complementar a los artefactos de obsidiana en este tipo de actividades.

9.6. Conclusiones

Este análisis somero permite establecer que los materiales líticos más utilizados tanto en Chaculá como en Pueblo Viejo Quen Santo fueron la obsidiana y el pedernal, que

como pudo observarse parecen complementarse para cubrir la necesidad de herramienta cortante, sobre todo a un nivel no especializado.

En la obsidiana predomina el tipo navaja prismática, seguido de lascas. Al parecer las primeras llegaban elaboradas y provenían de las fuentes de El Chayal y San Martín Jilotepeque. Aquí hay que hacer notar una diferencia entre Chaculá y Pueblo Viejo Quen Santo. Mientras en el primero tanto navajas como lascas, se dan en una proporción similar entre El Chayal y San Martín Jilotepeque, en Pueblo Viejo Quen Santo, existe un claro predominio de la fuente de El Chayal, representada principalmente en las navajas prismáticas. Es muy probable que hubiera una preferencia por este material debido a las esferas económicas o las rutas por donde se abastecían los sitios. Las muestras de Pueblo Viejo Quen Santo son mayores y esto puede deberse a estrategias de obtención del material.

De los artefactos especiales destaca una punta de proyectil bifacial de pedernal blanco, de tipo triangular, así como un pulidor pequeño de riolita. No hay núcleos de obsidiana por lo que se considera que las navajas alcanzaban los sitios ya manufacturadas. Sin embargo en cuanto al pedernal si se reportaron dos núcleos de lascas y varios trozos y desechos, por lo que se puede pensar que si se está tallando este material aunque de una manera discreta.

Se considera que futuras temporadas podrían ayudar a refinar estos datos, que por el momento nos brindan una panorámica general del comportamiento de la lítica en estos sitios del norte de Huehuetenango.

Procedencia	Tipo	Fuente	Uso	Notas
TP-E-3-2-4	desecho de talla	SMJ?	No	
TP-E-3-2-2	2 navajas prismáticas	SMJ	Si	
TP-C-5-2-2	navaja prismática	SMJ	Si	
	navaja prismática	ECH	Si	
TP-C-6 ext C-2-2	navaja prismática	ECH	Si	
TP-C-6 ext 8-2-1	navaja prismática	SMJ	Si	
TP-E-2-1-1	navaja prismática	SMJ	Si	
TP-C-9-4-1	lasca	SMJ?	No	De navaja prismática
TP-C-9-3-2	navaja prismática	SMJ?	Si	
TP-C-9-1-1	lasca	SMJ	No	
TP-C-9-4-3	navaja prismática	SMJ?	Si	
TP-C-7-2-2	navaja prismática	ECH	No	
	navaja prismática	ECH	Si	
TP-C-7-3-3	navaja prismática	ECH	Si	Figura 9.3
TP-C-3-1-1	2 navajas prismáticas	ECH	Si	
	navaja prismática	SMJ	Si	
TP-C-3-2-2	navaja prismática	ECH	Si	Mediales
	navaja prismática	SMJ	Si	Mediales
	2 navajas prismáticas	ECH	Si	Figura 9.4
	2 navajas prismáticas	SMJ	Si	Figura 9.4
	2 lascas	SMJ?	Si	Figura 9.4
TP-C-3-1-1	navaja prismática	ECH	Si	
TP-C-8-2-1	2 navajas prismáticas	ECH	Si	
	navaja prismática	SMJ	Si	
TP-E-4-3-1	2 navajas prismáticas	ECH	Si	Proximales 3.0 cm × 0.5 cm, Figura 9.5
TP-E-4-4-1	navaja prismática	ECH	Si	
Superficie EST 29	navaja prismática	SMJ	Si	
TP-C-8-1-1	navaja prismática	ECH	Si	

Cuadro 9.1 Chaculá: Artefactos de obsidiana

Procedencia	Tipo	Color	Uso	Notas
TP-E-3-2-6	punta de proyectil	blanco	Si	6.0 × 4.4 triangular, Figura 9.6
TP-E-3-2-5	lasca	blanco	Si	
TP-E-3-2-2	lasca	gris	No	
TP-C-11-1-1	lasca	gris	No	
TP-C-5-5-5	trozo	amarillo	No	
TP-E-4-3-1	lasca	café	Si	
	trozo	café	Si	
TP-C-11-1-1	desecho	gris	No	
TP-C-7-3-3	trozo	gris	No	
TP-C-8-2-2	lasca	gris	No	
Saqueo D-6	trozo	blanco		
	2 lascas	gris		
TP-E-2-1-1	núcleo	amarillo	Si	
	4 lascas	amarillo	Si	Figura 9.7
	trozo	amarillo	Si	Figura 9.7
TP-C-9-4-2	trozo	gris	No	
	trozo	café	No	
TP-C-9-4-3	lasca	blanca	No	
	lasca	rojiza	No	
TP-C-9-4-1	lasca	gris	No	
TP-C-9-3-1	trozo	gris	No	

Cuadro 9.2 Chaculá: Artefactos de Pedernal

Procedencia	Tipo	Color	Uso	Notas
TP-E-1-1-1	piedra de moler	grano claro y porosa	Si	fragmento, sin soporte. 17.0 cm × 9.0 cm Figura 9.8
TP-C-9-5-1	semi esfera de cuarzo	blanco a rosado	No	Figura 9.9
TP-E-2-1-1	2 fragmentos de cuarzo irregulares	blanco amarillento	No	
TP-C-1-4-1	pulidor cilíndrico	riolita	Si	8.3 cm × 3.4 cm Figura 9.10
TP-E-4-3-1	guijarro	canto rodado	No	
TP-C-9-4-1	guijarro	rojizo, óxido de hierro?	No	Figura 9.11
TP-E-4-2-1	laja de arenisca?	amarillo claro	No	

Cuadro 9.3 Chaculá: Lítica Mayor

Procedencia	Tipo	Fuente	Uso	Notas
TP-B-5-1-1	3 navajas prismáticas	SMJ	Si	Figura 9.12
	navaja prismática	ECH	Si	Figura 9.12
	lasca	ECH	Si	Figura 9.12
TP-A-1-1-1	navaja prismática	ECH	Si	
TP-A-2-1-1	2 navajas prismáticas	SMJ	Si	
	lasca	ECH	Si	
TP-A-3-1-1	navaja prismática	SMJ	Si	3.4 cm × 2.5 cm
	navaja prismática	ECH	Si	
TP-A-6-2-2	navaja prismática	SMJ?	Si	
TP-B-3-2-2	navaja prismática	ECH	Si	
TP-B-4-1-1	2 lascas	ECH	Si	
	lasca	SMJ	Si	
TP-B-4-2-1	navaja prismática	ECH	Si	3.3 × 1.2
	2 navajas prismáticas	SMJ	Si	
	navaja prismática	SMJ?	Si	
TP-B-4-Ext.A-1-1	navaja prismática	ECH	Si	
TP-B-4-Ext.A-2-1	5 navajas prismáticas	ECH	Si	4.0 × 1.2
	2 navajas prismáticas	SMJ	Si	
TP-B-1-1-1	5 navajas prismáticas	ECH	Si	Figura 9.13
	2 navajas prismáticas	SMJ	Si	Figura 9.13
	navaja prismática	SMJ?	Si	Figura 9.13
TP-B-1-Ext.A-2-1	2 navajas prismáticas	ECH	Si	
TP-B-1-Ext.A	3 navajas prismáticas	ECH	Si	
	navaja prismática	SMJ	Si	
TP-B-1 y TP-B-1-Ext.A-3-2	navaja prismática	ECH	Si	

Cuadro 9.4 Pueblo Viejo Quen Santo: Artefactos de Obsidiana

Procedencia	Tipo	Color	Uso	Notas
TP-A-6-2-1	2 trozos	Blanco amarillento	No	
TP-A-2-1-1	Lasca	Gris	Si	
TP-A-3-2-1	7 desechos	Gris	No	
	3 lascas			
	Lasca columnar	Gris	No	
TP-B-5-1-1	Lasca	Gris	No	
TP-A-5-2-2	Lasca	Gris	No	

Cuadro 9.5 Pueblo Viejo Quen Santo: Artefactos de Pedernal

Procedencia	Tipo	Color	Uso	Notas
TP-B-4	5 lascas 1 trozo	Blanco y gris	Si	
TP-B-4-Ext.A-2-1	5 lascas 3 trozos 1 tabular	Blanco Gris Rosado	Si	Figura 9.14 Figura 9.14 Figura 9.14
TP-B-4-1-1	2 lascas 1 trozo pequeño	Gris	No	
TP-B-4-Ext.A-1-1	trozo	Gris	No	
TP-B-4-Ext.A-1-1	1 navaja 6 lascas 2 trozos	Amarillo Gris Blanco	Si	Figura 9.15
TP-B-2-5-1	4 lascas 1 núcleo	Blanco amarillento	Si	
TP-B-2-3-1	4 lascas 3 trozos	Gris	Si	
TP-B-2-1-1	3 lascas 2 trozos pequeños	Gris	No	
TP-B-2-2-1	1 lasca 3 trozos	Blanco amarillento	No	
TP-B-2-Ext.A-1-1	2 lascas	Blanco amarillento	No	
TP-B-1-1-1	6 trozos pequeños 2 trozos 5 lascas 5 desechos	Blanco amarillento	No	
TP-B-1 y TP-B-1-4-1	2 trozos	Gris	No	
TP-B-3-4-4	2 lascas	Gris	No	
TP-B-3-5-5	2 desechos	Gris	No	
TP-B-3-2-2	3 lascas	Gris	No	
TP-B-3-1-1	4 trozos pequeños 2 lascas	Blanco Amarillento	No	
TP-B-3-5-6	Lasca	Gris	No	
TP-B-3-3-3	2 lascas 1 desecho	Gris	No	
TP-A-6-2-2	2 lascas 3 desechos	Blanco amarillento	No	
TP-A-6-Ext.A-3-1	1 lasca	Gris	Si	
TP-A-6-Ext.B-5-1	1 lasca	Gris	Si	
TP-A-6-Ext.A-1-1	1 lasca	Gris	No	

Cuadro 9.6 Pueblo Viejo Quen Santo: Pedernal

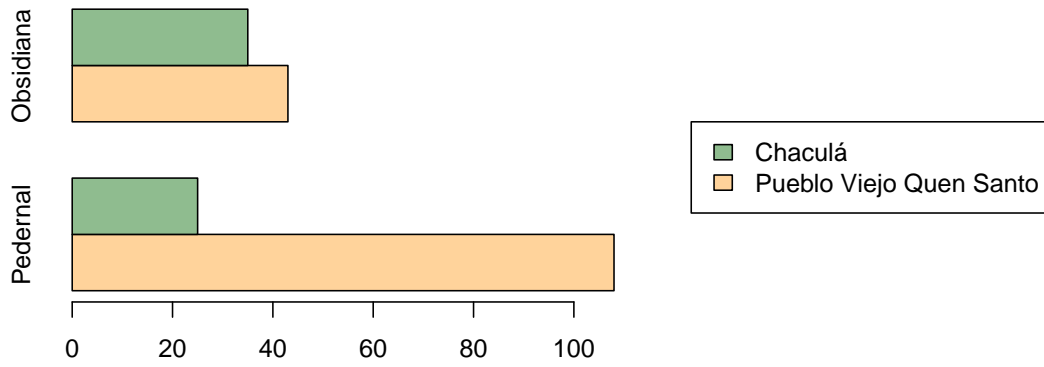


Figura 9.1 Cantidades de materiales líticos entre Chaculá y Pueblo Viejo Quen Santo, gráfica por U. Wölfel

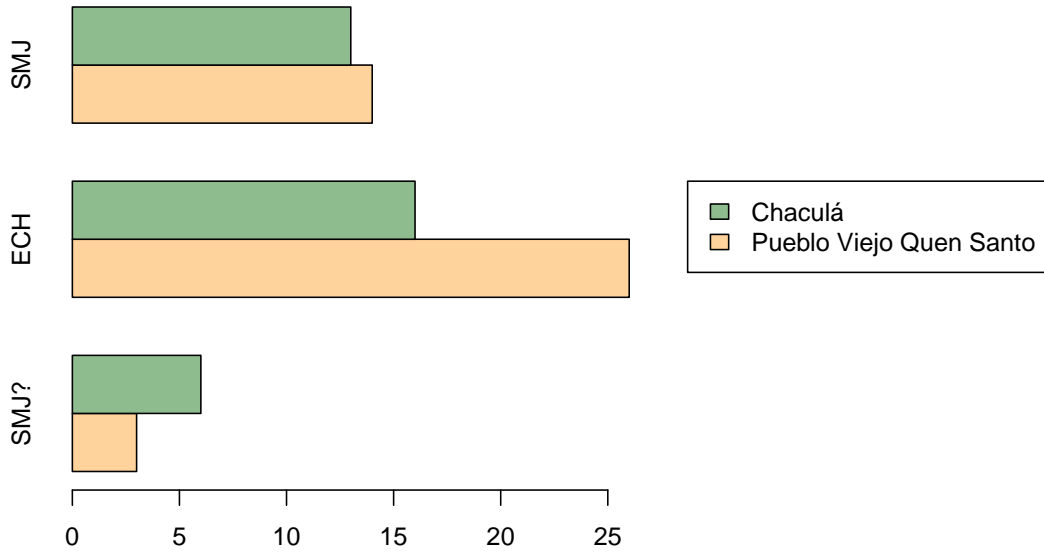


Figura 9.2 Procedencias de materiales de obsidiana en Chaculá y Pueblo Viejo Quen Santo, gráfica por U. Wölfel



Figura 9.3 Chaculá, Segmento medial de navaja prismática de la fuente de El Chayal con huellas de uso, fotografía por B. Hernández



Figura 9.4 Chaculá, Lote de artefactos de obsidiana fuentes El Chayal y San Martín Jilotepeque, fotografía por B. Hernández



Figura 9.5 Chaculá, Segmentos proximales de navaja prismática de la fuente de El Chayal, fotografía por B. Hernández



Figura 9.6 Chaculá, Punta de proyectil bifacial de tipo triangular, fotografía por B. Hernández

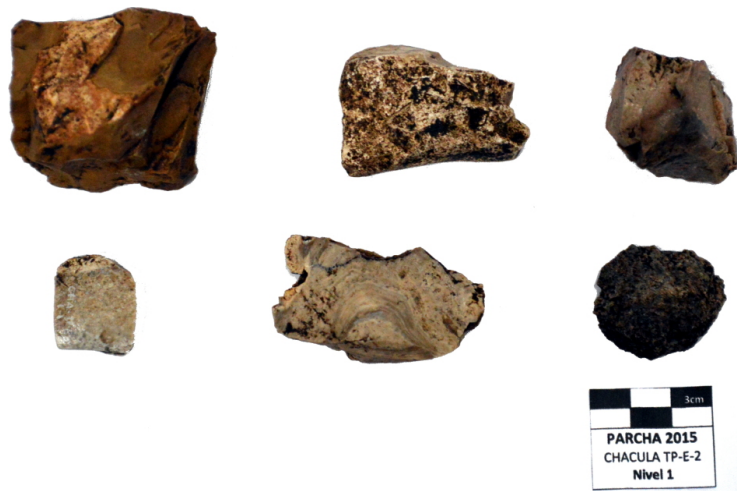


Figura 9.7 Chaculá, Conjunto de artefactos de pedernal de diversos colores, fotografía por B. Hernández



Figura 9.8 Chaculá, Fragmento de piedra de moler de tipo plano apoda de andesita, fotografías por B. Hernández



Figura 9.9 Chaculá, Segmento de objeto esférico de cuarzo rosado, fotografía por B. Hernández

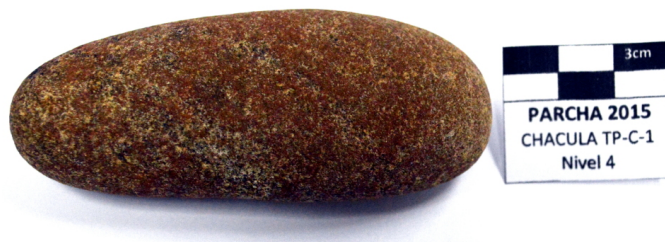


Figura 9.10 Chaculá, Pulidor de riolita con huellas de desgaste, fotografía por B. Hernández



Figura 9.11 Chaculá, Roca de color rojizo, posible óxido de hierro, fotografía por B. Hernández



Figura 9.12 Pueblo Viejo Quen Santo, Conjunto de artefactos de obsidiana con predominio de los segmentos de navaja prismática Fuentes El Chayal y San Martín Jilotepeque, fotografía por B. Hernández



Figura 9.13 Pueblo Viejo Quen Santo, Conjunto de segmentos mediales de navaja prismática con predominio de la fuente de El Chayal, fotografía por B. Hernández



Figura 9.14 Pueblo Viejo Quen Santo, Variedad de objetos de pedernal de diversos colores, fotografía por B. Hernández



Figura 9.15 Pueblo Viejo Quen Santo, Navaja de pedernal, fotografía por B. Hernández

10 Análisis de huesos

Byron Hernández

10.1. Introducción

Los restos óseos, independientemente del espécimen al que pertenezcan, son de gran valor en el registro arqueológico puesto que brinda mucha información relevante en las investigaciones.

En este caso, fueron recuperados distintos fragmentos de huesos en las excavaciones efectuadas en los dos sitios arqueológicos intervenidos en la temporada 2015. Estos remanentes fueron analizados en el laboratorio del proyecto de manera visual, para establecer en lo posible la especie a la que pertenecieron, determinar huellas de uso entre otros.

Se debe tomar en consideración que por ser en su mayoría fragmentos erosionados y muy pequeños, se dificulta su identificación.

10.2. Chaculá

TP-C-1 Nivel 1 Ext. B

Fragmento de pieza dental, probablemente equino. Considerando la ausencia de este tipo de animales en el período prehispánico, el nivel de excavación en donde se dio el hallazgo, esta pieza pudo pertenecer a un animal de los utilizados comúnmente en la región.

TP-C-1 Nivel 2 Ext. B

Fragmentos de cráneo animal. Posiblemente parietal o temporal. No se pudo determinar especie.

TP-C-1 Nivel 2 Ext. B

Fragmento de hueso animal. Según el M.V. Carlos Overall es un metatarsiano de caballo joven, posiblemente de 1 año de edad. Se observan huellas de depredación por algún tipo de roedor.

TP-C-3 Nivel 3

Diáfisis de un radio humano, lateralidad, sexo, no determinados (Figura 10.1). Se observa presencia de posibles procesos infecciosos y un corte.



Figura 10.1 Chaculá, TP-C-3, Nivel 3, diáfisis de un radio humano, fotografía por B. Hernández

TP-C-3 Nivel 3

Molar de felino o canido. Se observa la raíz de la pieza. El esmalte está presente en un 90 por ciento. No se determinó la posición anatómica.

TP-C-6 Nivel 2 Ext. C

Epífisis proximal de fémur (Figura 10.2), posiblemente de animal adulto por observarse un fragmento de diáfisis fusionada a la epífisis, por lo cual, el tamaño es muy pequeño para ser de humano adulto y la fusión indica que no se trata de niño o sub adulto.

TP-C-7 Nivel 4

Fragmento de hueso indeterminado, posiblemente animal. Se observa regeneración de hueso.



Figura 10.2 Chaculá, TP-C-6, Nivel 2, Ext. C, epífisis proximal de fémur, fotografía por B. Hernández

TP-C-8 Nivel 2

Lote de cinco fragmentos de hueso de posible fauna. Se observa una epífisis, un fragmento de diáfisis de hueso largo de aproximadamente 1.5 cm de lado. Un fragmento indeterminado de menos de 1.0 cm. Los anteriores presentan coloración oscura. Dos fragmentos de diáfisis de hueso largo con coloración clara. Todos los descritos presentan evidencia de exposición térmica.

TP-E-3 Nivel 2

Epífisis distal de hueso animal ungulado (Figura 10.3), posiblemente alguna especie de ciervo.

TP-E-4 Nivel 3

Lote de tres fragmentos de hueso indeterminados, posiblemente de fauna. La dimensión del mayor es de 2.3 cm de longitud y el menor de aproximadamente 1.0 cm.

Saqueo 1

Lote de 7 fragmentos. Fragmento de mandíbula lado derecho de roedor. Tres fragmentos de hueso de cráneo indeterminados. Tres fragmentos de diáfisis de hueso largo perteneciente a algún tipo de fauna. Se observa exposición térmica.



Figura 10.3 Chaculá, TP-E-3, Nivel 2, epífisis distal de hueso animal ungulado, fotografía por B. Hernández

10.3. Pueblo Viejo Quen Santo

TP-A-6 Nivel 1 Ext. A

Fragmento óseo de diáfisis no determinada. Presenta coloración naranja. Fragmento de posible vertebra no determinada. Fragmento óseo no determinado.

TP-B-1 Nivel 1

Tres fragmentos óseos de diáfisis no determinada. Posible vertebra de fauna.

TP-B-1 Nivel 2

Fragmento no determinado de hueso largo (posible fémur o tibia) o parte de pelvis (Figura 10.4).

TP-B-1 Nivel 3

Fragmento de hueso no determinado (Figura 10.5). Por el pulimiento de la superficie y su forma, es evidente que se trata de una cuenta tubular.

TP-B-1 Nivel 2 Ext. A

Pieza dental humana, incisivo central superior (8 o 9). Fragmento óseo no determinado.



Figura 10.4 Pueblo Viejo Quen Santo, TP-B-1, Nivel 2, Ext. A, fragmento no determinado de hueso largo, fotografía por B. Hernández



Figura 10.5 Pueblo Viejo Quen Santo, TP-B-1, Nivel 3, fragmento de hueso no determinado, fotografía por B. Hernández

TP-B-1 Nivel 3 Ext. A

Fragmento no determinado. Posible exposición térmica.

TP-B-2 Nivel 1

Cuatro fragmentos óseos de diáfisis no determinada, dos de ellas presentan posible exposición térmica.

TP-B-2 Nivel 2

Fragmento óseo no determinado, presenta exposición térmica. Fragmento de diáfisis de 5.0 cm aproximados de longitud, no determinado. Presenta exposición térmica. Posible epífisis distal de hueso largo, no determinado. Presenta exposición térmica. Fragmento óseo no determinado. Posible fragmento de pelvis.

TP-B-4 Nivel 1 Ext. A

Siete fragmentos óseos no determinados, cuatro de los cuales presentan exposición térmica.

TP-B-4 Nivel 2 Ext. A

Ocho fragmentos óseos no determinados, seis de ellos presentan exposición térmica y de estos se observa un posible fragmento de costilla y un fragmento de diáfisis de aproximadamente 7.0 cm de longitud.

TP-B-5 Nivel 1

Fragmento óseo no determinado. Su tamaño es de aproximadamente 1.0 cm.

10.4. Conclusiones

A pesar de existir un gran porcentaje de fragmentos no determinados, puede inferirse que muchos de estos restos son de origen animal, especialmente para el caso de los hallazgos efectuados en Chaculá. A esto puede agregarse los contextos en los cuales fueron localizados, puesto que fueron encontrados en su mayoría en las proximidades de las estructuras y en nivelaciones, puede tratarse de desechos de fauna que sirviera como alimento a los antiguos habitantes del sitio y fueran lanzados como parte de los rellenos.

Para el caso de Pueblo Viejo Quensanto, tampoco se puede establecer con certeza la procedencia biológica de los restos, sin embargo, resaltan el hallazgo de un diente humano y una cuenta tubular, lo que puede estar indicando para el primer caso la existencia de un basurero, pues la pieza pudo llegar al lugar por ser considerada como algo irrelevante. Esto puede reforzarse por el contexto en que fue encontrado. Para el segundo caso, la aparición de este elemento arroja a luz la utilización de este tipo de material para la manufactura de este tipo de ornamentos.

11 Análisis malacológico

Byron Hernández y Julio Cotóm

11.1. Introducción

Es bastante común localizar este tipo de material en contextos arqueológicos, sin embargo, es pertinente considerar en el registro que se trata de un tipo de fauna que se reproduce en ecosistemas que perduran en la actualidad, por tanto, para la elaboración de este análisis se procedió a la inspección visual de los especímenes con el fin de determinar su especie y los ambientes en los que proliferan y habitan para comprender de mejor manera el contexto en que fueron encontrados.

11.2. Chaculá

TP-C-1, Nivel 6, Lote 8

Material indeterminado. A pesar de que es evidente que se trata de restos malacológicos, no es posible hacer ninguna identificación por encontrarse demasiado fragmentados.

TP-C-1, Nivel 2, Extensión B, Lote 14

Caracoles dulce acuícolas

Familia: Physidae

Género: Indeterminado

Su hábitat lo constituyen lugares húmedos no necesariamente en el agua directamente. La concha de estos moluscos es demasiado para sobrevivir durante mucho tiempo, por lo cual, la gran cantidad de ellos concentrados en un área muy reducida, pone de manifiesto que se trata de animales contemporáneos y dado que fueron encontrados en un reservorio de agua, no es de extrañar la presencia de un gran número.

TP-C-5, Nivel 5, Lote 5

Caracol dulce acuícola

Familia: Pleuroceridae

Género: Pachichilus

Especie: Indeterminada

Figura: 11.1

Presente sin espira. La ausencia de la anterior es evidentemente producida por una fractura y por tratarse de un espécimen que habita en masas de agua, puede evidenciar que fue trasladado hasta el lugar del hallazgo por acción humana y por el contexto arqueológico en que fue encontrado puede inferirse que es de temporalidad prehispánica.



Figura 11.1 Chaculá, TP-C-5, Nivel 5, Caracol dulce acuícola, fotografía por B. Hernández

Caracol terrestre

Familia: Spiraxidae

Genero: Euglandina

Especie: Indeterminada

Figura: 11.2

Presente un fragmento de la última vuelta. Aunque es muy difícil establecer una temporalidad, por el contexto natural, puede ser un espécimen contemporáneo.



Figura 11.2 Chaculá, TP-C-5, Nivel 5, Caracol terrestre, fotografía por B. Hernández

Caracol indeterminado

Solo está presente un fragmento de la última vuelta, inclusive una parte de la columela (Figura 11.3). Por el contexto puede ser de procedencia prehispánica.



Figura 11.3 Chaculá, TP-C-5, Nivel 5, Caracol indeterminado, fotografía por B. Hernández

TP-C-5, Nivel 6, Lote 6

Caracol dulce acuícola

Familia: Pleuroceridae

Género: Pachichilus

Especie: Indeterminada

Se encuentra presente la espira fracturada. Por tratarse de un caracol que habita en masas de agua, puede inferirse que fue trasladado al lugar por intervención humana, posiblemente en época prehispánica.

TP-C-6, Nivel 2, Extensión A, Lote 1

Caracol terrestre

Familia: Annulariidae

Género: Choanopoma

Especie: Indeterminada

Debido a que estos caracoles habitan en la superficie en medios húmedos cubiertos por hojas, no es posible establecer una temporalidad, aunque es probable que se trate de un espécimen contemporáneo.

TP-C-8, Nivel 3, Lote 1

Caracol dulce acuícola

Familia: Pleuroceridae

Género: Pachychilus

Especie: Indeterminada

Figura: 11.4

Se encuentra presente solamente la espira. No es posible establecer una temporalidad específica para este material pues son muy resistentes y su erosión depende de los niveles de acidez del suelo, para lo cual se deben efectuar análisis. Sin embargo, debido a que son caracoles que habitan en fuentes de agua (jutes) su presencia en el lugar del hallazgo puede deberse a intervención humana, posiblemente prehispánica.

Saqueo 1

Caracol terrestre

Familia: Annularidae

Género: Choanopoma



Figura 11.4 Chaculá, TP-C-8, Nivel 3, Caracol dulce acuícola, fotografía por B. Hernández

Especie: Indeterminada

Presentes 24 caracoles. Por tratarse de especímenes de hábitat terrestre, y por el contexto en donde fueron encontrados, es probable que se trate de animales contemporáneos.

Caracol terrestre

Familia: Orthalicidae

Género: Bulimulus ?

Especie: Indeterminada

Presentes 1 completo y 5 incompletos. Por tratarse de especímenes de hábitat terrestre, y por el contexto en donde fueron encontrados, es probable que se trate de animales contemporáneos.

Caracol terrestre

Familia: Spiraxidae

Género: Euglandina

Especie: Indeterminada

Presentes 1 completo y 4 fragmentos de última vuelta. Por tratarse de especímenes de hábitat terrestre, y por el contexto en donde fueron encontrados, es probable que se trate de animales contemporáneos.

Caracol dulce acuícola

Familia: Pleuroceridae

Género: Pachychilus

Figura: 11.5

Presentes dos piezas incompletas. Faltan secciones de la última vuelta. Por ser especímenes que habitan masas de agua, posiblemente fueron trasladados al lugar por acción humana en época prehispánica.



Figura 11.5 Chaculá, Saqueo 1, Caracol dulce acuícola, fotografía por B. Hernández

11.3. Pueblo Viejo Quen Santo

TP-A-4, Nivel 1, Lote 1

Caracol terrestre

Familia: Spiraxidae

Género: Euglanina

Especie: Cumingi?

Por el contexto en el que fue encontrado, y el tipo de espécimen, puede inferirse que se trata de un caracol contemporáneo.

TP-B-3, Nivel 5, Lote 5

Caracol dulce acuícola

Familia: Pleuroceridae

Género: Pachychilus

Especie: Indeterminada

Figura: 11.6

Presente en su mayoría, carente de labio externo. Por el tipo de caracol y el contexto arqueológico del hallazgo, puede inferirse que es de origen prehispánico.



Figura 11.6 Pueblo Viejo Quen Santo, TP-B-3, Nivel 5, Caracol dulce acuícola, fotografía por B. Hernández

TP-B-4, Nivel 2, Lote 1

Caracol dulce acuícola

Familia: Unionidae

Género: Unio

Especie: Indeterminada

Figura: 11.7

Presente fragmento de margen ventral. Por ser un caracol de agua dulce, y el entorno natural del lugar del hallazgo no corresponde con su hábitat, y el contexto arqueológico, puede inferirse que fue llevado a este lugar por actividad humana prehispánica.



Figura 11.7 Pueblo Viejo Quen Santo, TP-B-4, Nivel 2, Caracol dulce acuícola, fotografía por B. Hernández

11.4. Conclusiones

Como se mencionó al inicio, el conocer la especie y el hábitat de los caracoles observados permitió inferir sobre la posible intervención humana en la presencia de los individuos en los lugares de los hallazgos.

Se especificó para cada uno de los casos el tipo de ambiente en que sobreviven este tipo de organismos, por lo que es probable que muchos de ellos sean contemporáneos por el tipo de condiciones que el entorno del sitio proporciona, pues muchos de ellos habitan lugares húmedos, y dentro de la vegetación que cae o cubre el suelo y pueden abrirse paso a poca profundidad, tal como en los contextos en los que fueron encontrados.

También se observó la presencia de algunos ejemplares que habitan en masas de agua como ríos, (acuícolas) por tanto, encontrarlos en excavaciones refleja una gran posibilidad de intervención humana y por los otros materiales asociados, podría indicar que estas acciones pudieron ser efectuadas en épocas prehispánicas.

12 Conclusiones

Ulrich Wölfel y Byron Hernández

Con la tercera temporada del proyecto PARCHA se continuaron las investigaciones iniciados a partir del 2013 en esta región anteriormente poco estudiada por la arqueología. Se logró ampliar el enfoque del proyecto con los trabajos realizados en el sitio Pueblo Viejo Quen Santo. A continuación se presentan resumidas las conclusiones más importantes obtenidas en la temporada de campo de 2015.

1. Durante el reconocimiento regional, la Operación 1 de PARCHA 2015, se logró localizar y documentar varios sitios arqueológicos que anteriormente no eran conocidos. La investigación de sitios en los alrededores de Pueblo Viejo Quen Santo indica que existe una concentración densa de sitios ceremoniales. La selección de cerros, barrancos y cuevas como lugares sagrados muestra que existía un concepto de paisaje ritual (véase también Palka 2014).
2. El hallazgo de pinturas rupestres cerca de Pueblo Viejo Quen Santo subraya la importancia del arte rupestre en la región de Chaculá. Un total de seis sitios con arte rupestre han sido identificados en esta región: Pueblo Viejo Quen Santo, Yal Ib'ach, Cueva de los Pájaros, Tendedero de Palmas, El Encanto y los Cenotes de Candelaria. Unos de estos todavía quedan insuficientemente documentados. Por esto, en futuras investigaciones la documentación de arte rupestre debe que tener prioridad.
3. En las Operaciones 2 y 5, en donde se realizaron trabajos de mapeo en los sitios arqueológicos Chaculá, respectivamente Pueblo Viejo Quen Santo, un área total de 82,401 m² fue mapeado durante la temporada 2015. De esto, en Chaculá se midió un área de 59,250 m² (2013: 26,400 m²; 2014: 41,850 m²), resultando en un total de 127,500 m² para este sitio arqueológico. En Pueblo Viejo Quen Santo se mapeó un área de 23,151 m². Un total de 112 edificios prehispánicos fue añadido al registro en estos dos sitios. En Chaculá se mapearon 16 edificios en Grupo C y 36 en Grupo E, resultando en un total de 177 edificios en los Grupos A–E, si se

toma en cuenta los resultados de los años anteriores (2013: 71 edificios; 2014: 54 edificios). En Pueblo Viejo Quen Santo 24 estructuras fueron medidos en Grupo A y 35 en Grupo B.

4. Con las medidas y dibujos de las trincheras excavados en 1896 por Eduard Seler en las Estructuras B-23 y A-41 de Pueblo Viejo Quen Santo se añade una parte importante a la documentación de estas investigaciones pioneras en dicho sitio arqueológico. Especialmente la identificación de rasgos descritos por Seler textualmente con rasgos en el contexto arqueológico permite un entendimiento mejor de sus trabajos.
5. Los hallazgos en Pueblo Viejo Quen Santo de un total de 21 monumentos y fragmentos adicionales a los 9 anteriormente descritos (Wölfel 2013) subraya la importancia de este lugar como centro ceremonial y sede de poder. Sobre todo, el Monumento 13 con su borde de elementos jeroglíficos es de gran interés, tomando en cuenta que Seler encontró fragmentos de un monumento muy similar en el mismo lugar. En futuras investigaciones se espera poder confirmar que los fragmentos son del mismo monumento y se logra juntar los glifos con el fin de poder leer más de esta inscripción.
6. Uno de los objetivos de la Operación 3 era la recuperación de material cerámico para definir la cronología del sitio, lo cual se consiguió satisfactoriamente por medio de los pozos de sondeo efectuados en los Grupos A, C, D, E. Se recuperó suficiente material cerámico que confirmó los hallazgos obtenidos en la temporada 2014, los cuales ubican el sitio en el periodo Clásico Tardío / Terminal. Además de esto, se recuperaron materiales líticos que son evidencia de actividades diversas dentro de la actividad humana. También se localizaron restos óseos en su mayoría de fauna, los cuales pueden ser evidencia de diferentes actividades como la caza, y hasta la cocina.
7. Dado a que el fechamiento de la cerámica obtenida en las excavaciones, corresponde a la misma temporalidad de lo obtenido el año anterior, puede corroborarse la idea de que este sitio fue construido con demasiada premura, lo cual puede constatarse en la misma arquitectura, pues los bloques de mampostería no fueron tallados como en sitios cercanos y tampoco se encontraron evidencias de pisos que pusieran de manifiesto la dedicación al urbanismo que se demuestra en áreas aledañas. Junto con la duración corta de la ocupación en los grupos investigados, este sitio tiene gran potencial para el estudio de procesos de construcción de asentamientos y la distribución espacial de grupos sociales en lugares anteriormente no poblados.

8. La situación en Chaculá contrasta con Pueblo Viejo Quen Santo, un asentamiento que existió por mucho más tiempo, como se ha mostrado en las excavaciones realizadas durante la Operación 6. Quen Santo posiblemente tenía una gran importancia como centro ceremonial, ubicado en un paisaje ritual que incluye cuevas, cerros, planadas, barrancos, todo marcados con monumentos, pinturas y estructuras. La presencia de cerámica del Clásico Temprano es de gran importancia, debido al “hiatus” durante esta época en el sitio cercano (menos que 15 km en línea directa) Chinkultic en Chiapas (Ball 1980:93–94) que por su arquitectura, patrón de asentamiento y escultura tiene una relación fuerte con Quen Santo. En futuras investigaciones la cronología temprana de Quen Santo es de gran importancia para definir similitudes y divergencias en las historias de Quen Santo en relación con sitios vecindados.
9. Las remodelaciones observadas en varias partes de Pueblo Viejo Quen Santo, especialmente en el área de la plaza del Grupo B en que se encuentra el conjunto para el juego de pelota son de gran interés para entender el desarrollo de este complejo monumental. Se espera estudiar este aspecto en futuras temporadas.
10. Complementario a las investigaciones etnoarqueológicas de la producción de cerámica que se llevaron a cabo en El Aguacate en 2014, se visitó otros centros de producción alfarera, San Mateo Ixtatán, Yalambojoch y Yolcultac. Estas investigaciones permiten aclarar cuestiones de una posible continuidad cultural y la filiación etnolingüística de los pobladores prehispánicos de la región de Chaculá.

13 Bibliografía

Arroyave, Ana Lucía

2010 Cerámica recuperada a lo largo de cinco temporadas de campo, Proyecto Regional Arqueológico sierra del Lacandón. En: *XXIII Simposio de Investigaciones Arqueológicas en Guatemala, 2009*, B. Arroyo, A. Linares, y L. Paiz (eds.), pp. 1170–1179. Guatemala: Museo Nacional de Arqueología y Etnología.

Ball, Joseph W.

1980 *The Archaeological Ceramics of Chinkultic, Chiapas, Mexico*, Papers of the New World Archaeological Foundation 43. Provo: New World Archaeological Foundation.

Blom, Frans Ferdinand y O. La Farge

1927 *Tribes and Temples: A Record of the Expedition to Middle America*. New Orleans: Tulane University.

Brady, James E. (ed.)

2009 *Exploring Highland Maya ritual cave use – archaeology & ethnography in Huehuetenango, Guatemala*, AMCS Bulletin 20. Austin: Association for Mexican Cave Studies.

Bryant, Douglas Donne, J. E. Clark y D. Cheetham (eds.)

2005a *Ceramic Sequence of the Upper Grijalva Region Chiapas, Mexico*. Provo: New World Archaeological Foundation.

Bryant, Douglas Donne, J. Thomas A. Lee y M. Blake

2005b Postclassic Ceramics. En: *Ceramic Sequence of the Upper Grijalva Region Chiapas, Mexico, Part 2*, D. D. Bryant, J. E. Clark, y D. Cheetham (eds.), pp. 549–625. Provo: New World Archaeological Foundation.

Castillo, Victor

2013 El sitio arqueológico Chaculá. En: *Proyecto Arqueológico de la Región de Chaculá, Reporte de las Actividades de Campo de la Temporada 2013*, V. Castillo y U. Wölfel (eds.), pp. 57–76. Guatemala: Informe Presentado al Instituto de Antropología e Historia de Guatemala.

Castillo, Victor y U. Wölfel

2013a Conclusiones. En: *Proyecto Arqueológico de la Región de Chaculá, Reporte de las Actividades de Campo de la Temporada 2013*, V. Castillo y U. Wölfel (eds.), pp. 77–78. Guatemala: Informe Presentado al Instituto de Antropología e Historia de Guatemala.

Castillo, Victor y U. Wölfel (eds.)

2013b *Proyecto Arqueológico de la Región de Chaculá, Reporte de las Actividades de Campo de la Temporada 2013*. Guatemala: Informe Presentado al Instituto de Antropología e Historia de Guatemala.

Ciudad Ruiz, Andrés y M. J. Iglesias Ponce de León

1995 Arqueología del Occidente de Guatemala: Estado Actual y Perspectivas de Futuro. En: *VIII Simposio de Investigaciones Arqueológicas en Guatemala, 1994*, J. P. Laporte y H. Escobedo (eds.), pp. 90–101. Guatemala: Museo Nacional de Arqueología y Etnología / IDAEH.

Clark, John E., M. Tejada Bouscayrol, D. Castillo Valdez, D. Cheetham, D. Nuttall y B. Balcárcel

2001 Prospección Arqueológica de la Cuenca Superior del Río Grijalva en Huehuetenango, Guatemala: Reporte Final de la Temporada 1999, Fundación Arqueológica Nuevo Mundo. Informe presentado a la Dirección del Patrimonio Cultural y Natural de Guatemala y al Departamento de Monumentos Prehispánicos y Coloniales.

Ericastilla Godoy, Sergio A.

2004 Investigando “El Encanto”. *Utz’ib* 3(6):12–21.

French, Matthew, S. Garza, S. Alexandri, C. Christensen y T. Redder

2009 Death and Identity at Quen Santo, Huehuetenango, Guatemala: Analysis of a Newly Discovered Burial in the Ritual Fissure. publicado en línea: <http://www.templehunter.dk/images/PDF/QuensantoFissure.pdf>.

García, Dora y P. Torres

2015 Análisis de materiales arqueológicos. En: *Proyecto Arqueológico de la Región de Chaculá, Reporte de las Actividades de Campo de la Temporada 2014*, U. Wölfel y P. Torres (eds.), pp. 114–200. Guatemala: Informe Presentado al Instituto de Antropología e Historia de Guatemala.

Garrido López, Jose Luis

2012a Proyecto Arqueológico de Rescate Caserío Ixquisis, San Mateo Ixtatán, Huehuetenango. Informe final presentado a la Dirección General de Patrimonio Cultural y Natural de Guatemala y al Departamento de Monumentos Prehispánicos y Coloniales.

2012b Proyecto Arqueológico de Rescate Caserío Ixquisis, San Mateo Ixtatán, Huehuetenango, Investigación de los Montículos Identificados como 1 y 2 de Ixquisis, 2da Fase, PARYIX. Informe final presentado a la Dirección General de Patrimonio Cultural y Natural de Guatemala y al Departamento de Monumentos Prehispánicos y Coloniales.

Gillespie, Alan R., A. B. Kahle y R. E. Walker

1986 Color Enhancement of Highly Correlated Images. I. Decorrelation and HSI Contrast Stretches. *Remote Sensing of Environment* 20:209–235.

Harman, Jon

2005 Using Decorreation Stretch to Enhance Rock Art Images. Poster presented at American Rock Art Research Association meeting in Reno, NV, May 2005.

Hatch, Marion Popenoe y D. Castillo

1984 Un método simplificado para la clasificación en arqueología. *Nacxit Revista de estudiantes, 2da. Época* 5:80–91.

Heitzmann, Rod

1972 Some archaeological sites in the Gracias a Dios area, Guatemala. *Canadian Caver* 4(1):31–35.

Instituto Geográfico Militar

1992 *Yolnajib, Guatemala, 1864 II, E754, Edition 2-DMA*. Guatemala: Instituto Geográfico Militar.

Laporte, Juan Pedro

2007 La Cerámica del Sureste de Petén y la aplicación del Sistema Tipo-Variedad. En: *La secuencia cerámica del Sureste de Petén: Tipos, cifras, localidades, y la historia del asentamiento*, Atlas Arqueológico de Guatemala, Monografía 3, pp. 1–27. Guatemala: Instituto de Antropología e Historia. Versión digital.

Navarrete, Carlos

1975 Chinkultic (Chiapas): Trabajos realizados en 1975. *Boletín INAH Epoca* II(15):11–22.

1979 *Esculturas de Chacula, Huehuetenango, Guatemala*, Cuadernos, Serie Antropológica 31. México, D.F.: Instituto de Investigaciones Antropológicas, UNAM.

Navarrete, Carlos y E. Martínez

1977 *Exploraciones arqueológicas en la Cueva de los Andasolos*. Tuxtla Gutierrez: Universidad Autónoma de Chiapas.

Palka, Joel

2014 *Maya Pilgrimage to Ritual Landscapes, Insights from Archaeology, History, and Ethnography*. Albuquerque: University of New Mexico Press.

Pérez de Batres, Lucrecia, C. Batres, R. Martínez y L. Rosada

2002 Pintura rupestre entre las fronteras este y oeste de Guatemala. *Identidad* (7):29–31.

Piña Chan, Roman y C. Navarrete

1967 *Archaeological Research in the Lower Grijalva River Region, Tabasco and Chiapas*, Papers of the New World Archaeological Foundation 22. Provo: New World Archaeological Foundation.

Pineda, Emeterio

1999 *Descripción Geográfica del Departamento de Chiapas*. México, D.F.: Fondo de Cultura Económica.

Recinos, Adrián

1913 *Monografía del Departamento de Huehuetenango*. Guatemala: Tipografía Sánchez & de Guise.

Rivera, Silvia

2009 Secuencia Cerámica del Período Preclásico del sitio arqueológico San Bartolo, Flores, Peten. Tesis de Licenciatura, Escuela de Historia, Universidad de San Carlos de Guatemala.

Rivero Torres, Sonia E.

1987 *Los Cimientos, Chiapas, Mexico - A Late Classic Maya Community*, Papers of the New World Archaeological Foundation 51. Provo: New World Archaeological Foundation.

Rivero Torres, Sonia E. y U. Chávez Jiménez

2007 Informe de Cerámica presentado para el consejo de Arqueología, Proyecto Arqueológico Lagartero, Trinitaria, Chiapas, Temporada 2007.

Sabloff, Jeremy y R. E. Smith

1969 The importance of both Analytic and Taxonomic Classification in the Type-Variety System. *American Antiquity* 34(3):278–285.

Seler, Caecilie

1900 *Auf alten Wegen in Mexico und Guatemala*. Berlin: Dietrich Reimer.

Seler, Eduard

1901 *Die alten Ansiedlungen von Chaculá im Distrikte Nenton des Departements Huehuetenango der Republik Guatemala*. Berlin: Dietrich Reimer.

Smith, Robert, G. R. Wiley y J. Gifford

1960 The Type-Variety concept as a basis for the Analysis of Maya Pottery. *American Antiquity* 25(3):330–340.

Tejada, Mario, J. Clark y B. Balcárcel

2000 Exploraciones arqueológicas de la cuenca superior del río Grijalva en Huehuetenango, Guatemala. En: *XI Simposio de Investigaciones Arqueológicas en Guatemala, 1999*, J. P. Laporte, H. Escobedo, B. Arroyo, y A. C. de Suasnávar (eds.), pp. 705–717. Guatemala: Museo Nacional de Arqueología y Etnología.

Wölfel, Ulrich

2013 Reconocimiento Arqueológico en la Región de Chaculá. En: *Proyecto Arqueológico de la Región de Chaculá, Reporte de las Actividades de Campo de la Temporada 2013*, V. Castillo y U. Wölfel (eds.), pp. 14–56. Guatemala: Informe Presentado al Instituto de Antropología e Historia de Guatemala.

2015a Mapeo del sitio arqueológico Chaculá. En: *Proyecto Arqueológico de la Región de Chaculá, Reporte de las Actividades de Campo de la Temporada 2014*, U. Wölfel y P. Torres (eds.), pp. 47–67. Guatemala: Informe Presentado al Instituto de Antropología e Historia de Guatemala.

2015b Reconocimiento Arqueológico en la Región de Chaculá. En: *Proyecto Arqueológico de la Región de Chaculá, Reporte de las Actividades de Campo de la Temporada 2014*, U. Wölfel y P. Torres (eds.), pp. 7–46. Guatemala: Informe Presentado al Instituto de Antropología e Historia de Guatemala.

Wölfel, Ulrich y P. Torres (eds.)

2015 *Proyecto Arqueológico de la Región de Chaculá, Reporte de las Actividades de Campo de la Temporada 2014*. Guatemala: Informe Presentado al Instituto de Antropología e Historia de Guatemala.